




OZNAČENÍ	POPIS ZMĚNY			DATUM	PODPIS
HIP	ZODP. PROJEKTANT	VYPRACOVAL	KONTROLOVAL	GENERÁLNÍ PROJEKTANT IM-PROJEKT, INŽENÝRSKÉ A MOSTNÍ KONSTRUKCE, s.r.o. OHRAZENICKÁ 169, 530 09 PARDUBICE TEL: 533 446 080-2 FAX: 533 446 089 im-projekt@im-projekt.cz www.im-projekt.cz	
ING. TOMÁŠ PÁTEČEK	ING. MARTIN VAŠÁK	ING. ORSOLYA KUSTYÁNOVÁ	ING. PAVEL KALÍŠEK		
OBJEDNATEL: Krajská správa a údržba silnic Středočeského kraje, příspěvková organizace, Zborovská 81/11, 150 21 Praha 5					
KRAJ: STŘEDOČESKÝ	ORP: ŘÍČANY	KATASTR: ŘÍČANY U PRAHY			
STAVBA: III/33312 ŘÍČANY, MOST EV.Č. 33312-3 ČÁST: SO 201 - MOST EV.Č. 33312-3 PŘES ŘÍČANSKÝ POTOK				FORMÁT	A4
				DATUM	DUBEN 2020
				STUPEŇ	PDPS
				ČÍSLO ZAK.	2017592
				MĚŘÍTKO	~
PŘÍLOHA: STATICKÝ VÝPOČET				ČÍSLO PŘÍLOHY:	ČÍSLO PARÉ:
				D.1.2.05	

1 . KAPITOLA - TECHNICKÁ ZPRÁVA KE STATICKÉMU VÝPOČTU	2
1.1 . IDENTIFIKAČNÍ ÚDAJE	3
1.2 . DOTČENÉ NORMY A LITERATURA.....	4
1.3 . POPIS NOVÉ KONSTRUKCE	4
1.3.1 . Základní údaje.....	4
1.3.2 . Konstrukce mostu	6
1.3.3 . Příslušenství mostu.....	6
1.4 . VÝPOČETNÍ MODEL NOSNÉ KONSTRUKCE.....	8
1.5 . VÝPOČETNÍ POMŮCKY.....	8
2 . KAPITOLA - PŘEHLEDNÉ VÝKRESY MOSTU	9
3 . KAPITOLA – STATICKÝ VÝPOČET	10
3.1 . GEOLOGICKÝ PRŮZKUM	10
3.2 . ZATÍŽENÍ.....	11
3.3 . VNITŘNÍ SÍLY NA KONSTRUKCI.....	12
3.4 . NÁVRH BETONÁŘSKÉ VÝZTUŽE A JEJÍ POSOUZENÍ	13
3.5 . SCHÉMA VYZTUŽENÍ	14
3.6 . POSOUZENÍ ZALOŽENÍ.....	15
4 . KAPITOLA - ZÁVĚR	16

III/33312 ŘÍČANY, MOST EV.Č. 33312-3

SO 201 - MOST EV.Č. 33312-3 PŘES ŘÍČANSKÝ POTOK

STATICKÝ VÝPOČET

1 . KAPITOLA - TECHNICKÁ ZPRÁVA KE STATICKÉMU VÝPOČTU

III/33312 ŘÍČANY, MOST EV.Č. 33312-3

SO 201 - MOST EV.Č. 33312-3 PŘES ŘÍČANSKÝ POTOK

STATICKÝ VÝPOČET

1.1 . IDENTIFIKAČNÍ ÚDAJE

Stavba:	III/33312 Říčany, most ev.č. 33312-3
Stupeň:	PDPS - Projektová dokumentace o provádění stavby
Druh stavebního objektu:	Rekonstrukce mostu
Objednatel:	Krajská správa a údržba silnic Středočeského kraje, příspěvková organizace Zborovská 81/11 150 21 PRAHA 5
Zástupce objednatele:	Ing. Jiří Čapek email: jiri.capek@ksus.cz Tel.: 728 290 934
Správce stavby:	Krajská správa a údržba silnic Středočeského kraje, příspěvková organizace Zborovská 81/11 150 21 PRAHA 5
Zpracovatel projektu:	IM-PROJEKT, Inženýrské a mostní konstrukce, s.r.o. IČ: 27689328, DIČ: CZ27689328 Ohrazenická 169 530 09 PARDUBICE www.im-projekt.cz Tel.: 533 446 080-2 Fax: 533 446 089
Zodpovědný projektant:	Ing. Martin VAŠÁK Autorizovaný technik pro mosty a inž. konstrukce ČKAIT - 1002663 email: martin.vasak@im-projekt.cz Tel.: 533 446 080, 777 196 970
Přílohu zpracovala:	Ing. Orsolya KUSTYÁNOVÁ email: orsolya.kustyanova@im-projekt.cz Tel.: 533 446 081
Kraj:	Středočeský kraj
Obec s rozšířenou působností:	Říčany
Obec s pověřeným obec. úřadem:	Říčany
Městské a obecní úřady:	Říčany
Katastrální území:	Říčany u Prahy
Pověřený spec. stavební úřad:	MěÚ Říčany - Odbor správních agend a dopravy, oddělení dopravy
Poloha:	Intravilán

1.2. DOTČENÉ NORMY A LITERATURA

- | | | |
|------|-----------------------------|---|
| [1] | ČSN EN 206-1 | Beton - Část 1: Specifikace, vlastnosti, výroba a shoda |
| [2] | ČSN EN 1990 | Eurokód: Zásady navrhování konstrukcí |
| [3] | ČSN EN 1991-1-1 | Eurokód 1: Zatížení konstrukcí - Část 1-1: Obecná zatížení - Objemové tíhy, vlastní tíha a užitná zatížení pozemních staveb |
| [4] | ČSN EN 1991-1-3 | Eurokód 1: Zatížení konstrukcí. Část 1-3: Obecná zatížení - Zatížení sněhem |
| [5] | ČSN EN 1991-1-4 | Eurokód 1: Zatížení konstrukcí - Část 1-4: Obecná zatížení - Zatížení větrem |
| [6] | ČSN EN 1991-1-5 | Eurokód 1: Zatížení konstrukcí. Část 1-5: Obecná zatížení - Zatížení teplotou |
| [7] | ČSN EN 1991-1-6 | Eurokód 1: Zatížení konstrukcí. Část 1-6: Obecná zatížení - Zatížení během provádění |
| [8] | ČSN EN 1991-1-7 | Eurokód 1: Zatížení konstrukcí - Část 1-7: Obecná zatížení - Mimořádná zatížení |
| [9] | ČSN EN 1991-2 | Eurokód 1: Zatížení konstrukcí - Část 2: Zatížení mostů dopravou |
| [10] | ČSN EN 1992-1-1 | Eurokód 2: Navrhování betonových konstrukcí - Část 1-1: Obecná pravidla pro pozemní stavby |
| [11] | ČSN EN 1992-2 | Navrhování betonových konstrukcí - Část 2: Betonové mosty |
| [12] | ČSN EN 1997-1 | Eurokód 7 : Navrhování geotechnických konstrukcí - část 1 : Obecná pravidla |
| [13] | ČSN ISO 9690 | Klasifikace podmínek agresivního prostředí působícího na beton a železobetonové konstrukce, |
| [14] | ČSN 73 1000 | Zakládání stavebních objektů, základní ustanovení pro navrhování |
| [15] | ČSN 73 6200 | Mostní názvosloví |
| [16] | ČSN 73 6201 | Projektování mostních objektů |
| [17] | ČSN 73 1001 | Základová půda pod plošnými základy |
| [18] | ČSN 73 0037 | Zemní tlak na stavební konstrukce |
| [19] | TKP | Technické kvalitativní podmínky staveb pozemních komunikací |
| [20] | Ing. Milan Sečkář | Betonové mosty I, VUT 1998 |
| [21] | Ing. Ludevít Végh | Betonové konstrukce, VUT 1990 |
| [22] | Ing. Otakar Gartner | Betonové konstrukce - Základy objektů a konstrukcí, VUT 1990 |
| [23] | Ing. Jaroslav Eichler | Mechanika zemin, SNTL 1990 |
| [24] | Ing. Jan Masopust | Vrtané piloty 1994 |
| [25] | Ing. J.Hořejší, Ing.J.Šafka | TP 51, SNTL 1988 |

1.3. POPIS NOVÉ KONSTRUKCE

1.3.1. Základní údaje

Po demolici stávajícího mostu bude vystavěn most nový. Nový most je ze statického hlediska navržen jako železobetonový polorám o jednom poli se základovými pasy podepřenými mikropilotami. Základové pasy budou mít tloušťku 1,800 m, výšku 0,740 m a délku 9,650 m. Nosná konstrukce bude rámová, vetknutá do základu a přesypaná, délky 9,150 m. Na opěry budou zavěšena křídla vodorovná s komunikací, délky 4,975 m. Spodní líc mostovky bude zaoblený. Za opěrami bude podkladní beton tloušťky 300 mm na kterém bude položeno drenážní potrubí

DN=150 mm perforované v horní polovině a bude v příčném spádu 5,00 %. Nad toto potrubí bude nadbetonován pás mezerovitého betonu podél opěry tloušťky 300 mm a výšky cca 2,05 m, který bude překrytý filtrační geotextílií. Toto potrubí bude odvádět vodu z přechodové oblasti skrz opěry pomocí nerezové trouby DN 170 mm délky 850 mm. Základy na straně toku budou zasypány zeminou vhodnou do násypu, hutněnou po vrstvách. Na rubu konstrukce bude proveden zásyp štěrkodrtí frakce 0-63 mm, také hutněnou po vrstvách. Ve výšce drenážního potrubí bude provedena těsnící vrstva ve spádu 5,00 % odvádějící vodu z přechodové oblasti do drenážního potrubí.

Součástí mostovky budou poprsní zídky výšky 1050 mm, tloušťky 575 mm s lícem upraveným jako imitace kamenných kvádrů pomocí matric do betonu. Na zídky budou vybetonovány římsy z železobetonu, kotveny k zídce pomocí římsových kotev. Horní líc říms bude zdrsněn stráží, povrch římsy bude 2x natřen čirým hydrofobním nátěrem a dilatační spáry budou vyplněny polystyrenem a utěsněny pryžovým těsněním. Na levé straně komunikace po směru staničení bude před mostem předlážděn stávající chodník. Za mostem bude dlažba chodníku pokračovat až ke sníženému sjezdu křižujícímu chodník. Na pravé straně za mostem, budou na místě stávajícího trávníku vytvořeny tři parkovací místa z žulových kostek do betonu. Na římsách bude upevněno zábradlí výšky 1,100 m se svislými výplňovými pruty a betonovými sloupky. Konstrukce vozovky na mostovce se bude skládat z těchto vrstev: vrstva mechanicky zpevněné zeminy tloušťky 200 mm, podkladní vrstva stmelená cementem tloušťky 210 mm, lože z hrubého drceného kameniva frakce 6/8 mm tloušťky 40 mm, žulové kostky tloušťky 100 mm.

Na přesypávku nosné konstrukce je vybudován také chodník z betonové dlažby tloušťky 60 mm na lože z drceného kameniva tloušťky 30 mm. Prostor chodníku a komunikace odděluje kamenná obruba do betonu a odvodňovací proužek z žulových kostek do betonu. Tento odvodňovací proužek bude vybudován i po pravé straně komunikace. Pod římsami bude provedena ochrana izolace asfaltovými pásy s hliníkovou vložkou natavovanými za horka, která bude vytažena 500 mm na poprsní zídky.

Základní údaje:

- | | |
|---------------------------------------|-------------------|
| • Počet mostních otvorů: | 1 |
| • Délka přemostění: | 5,500m |
| • Světlost mostu: | 5,500m |
| • Délka NK mostu: | 6,700m |
| • Rozpětí nosné konstrukce: | 6,100m |
| • Délka mostu: | 16,650m |
| • Šířka mostu: | 9,750m |
| • Šířka nosné konstrukce: | 9,150m |
| • Volná šířka mezi obrubami: | 6,500m |
| • Volná šířka mezi zábradlím (osa): | 9,000m |
| • Úhel přemostění a křížení: | 90,00° |
| • Úhel podpěrový a úložný: | 90,00° |
| • Konstrukční výška: | 0,350-0,711m |
| • Stavební výška (osa/osa): | 1,210-1,776m |
| • Úložná výška (osa/osa): | 1,776m |
| • Volná výška pod mostem (osa/osa): | 2,683m |
| • Směrové poměry pozemní komunikace: | most je v přímé |
| • Příčný sklon vozovky: | střechovitý 2,50% |
| • Sklonové poměry pozemní komunikace: | +2,43% |
| • Předpokládaný rok výstavby: | 2019 |

1.3.2. Konstrukce mostu

Ze statického hlediska je nosná konstrukce pojata jako otevřený rám - polorám, který je vetknutý do opěr podporovaných základovými pasy na mikropilotách.

Opěry mostu budou realizovány zároveň s mostními křídly, poprsními zídkami a mostovkou. Opěra 01 bude svírat s podélnou osou mostu úhel 90,00° a opěra 02 úhel 90,00°. Opěry budou mít tloušťku 0,600m a výšku 3,233m. V opěrách mostu budou osazeny nerezové vyústky pro protažení drenáže odvodňující přechodovou oblast. Nerezové vyústky DN170mm, budou mít délku 0,700m a budou zhotoveny s přírubou na rubové straně opěry. Vyústky budou osazeny přímo do bednění. Opěry budou zhotoveny ze železobetonu C30/37 a betonářské výztuže B500B.

Monolitické opěry mostu budou založeny na trubkových mikropilotách. Pod opěrou O1 je navrženo 18 ks mikropilot, pod opěrou O2 18 ks mikropilot, vždy ve dvou řadách vzdálených od sebe 1,00m. Mikropiloty jsou trubkové injektované. Všechny mikropiloty jsou navrženy ukloněné o 10° od svislé (vnitřní řada pod most, vnější řada dál od mostu). Úroveň vrtání mikropilot je možné z úrovně cca 325,570 m.n.m (s hluchým vrtáním cca 0,5 m). Vrtat se bude přes základy stávajícího mostu. Pro pohyb vrtné soupravy musí být připravena přiměřeně zpevněná plocha.

Mikropiloty budou mít celkovou délku 9,0m s 6,0m dlouhým injektovaným kořenem. Mikropiloty budou vrtány s pažením ocelovými pažnicemi min. průměru 150mm. Ukončení v základu bude tlakovými hlavami rozměru 250/250/20mm s nátrubkem a dále budou k trubce mikropiloty přivařeny na délku 5cm oboustranným svarem tl. 6mm 4ks betonářské výztuže průměru 14mm (ocel - B500B). Mikropiloty budou z trubek 89/10mm, ocel S235.

Vytvoření kořenové části bude buď pomocí injektážních manžet po 0,5m (bude injektováno pomocí obturátoru vzestupně – ocelová trubka mikropiloty bude buď delší o délku hluchého vrtání nebo nastavena plastovým nástavcem).

Mostní křídla jsou koncepčně navržena jako rovnoběžná. Mostní křídla budou mít tloušťku 0,575m. Jednotlivá křídla mají délku 4,975m a budou zavěšena na ŽB-opěrách. Křídla budou plynule navazovat na ŽB-opěry pomocí náběhu 350x350mm. Mostní křídla budou zhotoveny ze železobetonu C30/37, betonářské výztuže B500B.

Nosná konstrukce (mostovka) bude oblouková a bude vybetonována na pevné skruži. Zároveň s betonáží mostovky budou vybetonovány opěry, křídla a poprsní zídky. Mostovka bude svírat s podélnou osou mostu úhel 90,00°. Mostovka bude mít délku 6,700m a šířku 9,150m. Tloušťka desky bude proměnná 0,350-0,710. Horní líc mostovky bude v podélném směru tvořen střešou, do středu mostu ve sklonu +5,00%, od středu mostu ve sklonu -5,00%. V příčném směru bude vodorovná. Spodní líc mostovky bude v podélném směru v oblouku o poloměru 8,00m.

Nosná konstrukce bude zhotovena ze železobetonu C30/37 a betonářské výztuže B500B.

1.3.3. Příslušenství mostu

Skladba vozovky na mostním objektu bude následující:

Vrstvy vozovky, které jsou součástí SO 101:

- Žulové kostky	DL	100 mm
- Lože z hrubého drceného kameniva fr. 6/8	L	40 mm
- Podkladní vrstva stmelená cementem	SC C8/10	210 mm
- Mechanicky zpevněná zemina	MZ	200 mm

Vrstvy, které jsou součástí SO 201:

- Zásyp štěrkodrtí fr. 0-63	170 - 540 mm
- Tvrdá ochrana izolace - Betonová deska vyztužená KARI-síti	50 mm
- Separační vrstva - Polyethylenová fólie	0,5 mm
- Měkká ochrana izolace - Geotextilie 900g/2	2 mm

- Ochranná izolace - Lítý asfalt	MA 11 IV	35 mm
- Asfaltový izolační pás natavovaný za horka		4 mm
- Pečetící vrstva		1 mm

Na mostě bude realizován chodník šířky 2,00m na levé straně po směru staničení.

Skladba chodníku na mostním objektu bude následující:

Vrstvy chodníku, které jsou součástí SO 102:

- Betonová dlažba		60mm
- Lože z drceného kameniva		30mm
- Podkladní vrstva ze štěrkodrti	ŠD _A	150mm

Římsy budou kotveny k nosné konstrukci pomocí vlepaných nerezových kotev M24-6.8., umístěných v podélném směru po 1000mm. Římsy budou dlouhé 16,650m a široké 0,745m. Římsy budou rozděleny dilatačními spárami na tři celky, přičemž spáry budou ukončeny TPT šedé barvy. Římsy budou zhotoveny rovnoběžně s nosnou konstrukcí. Odrazná hrana říms bude 150mm vysoká na pravé straně a bude v úrovni chodníku na levé straně. Horní plocha říms bude vyspádována směrem do vozovky ve sklonu 4,00%. Na styku vozovky s římsami bude obrušná vrstva profrézována a zalita modifikovanou asfaltovou zálivkou (20x40mm).

Beton říms je navržen z betonu C30/37. Všechny viditelné části betonu, budou provedeny v kvalitě pohledového betonu a hrany budou zkoseny 20x20mm. Hrany pracovních spár budou zkoseny 5x5mm. Výztuž pro římsy je navržena z oceli B500B. Horní povrch říms bude zdrsněn striáží. Celý povrch říms bude natřen dvouvrstevným hydrofobním nátěrem. Tam, kde bude římsa ve styku se zemínou, bude proveden nátěr 1xNp+2xNa.

Záchytné a bezpečnostní zařízení bude na mostě zastoupeno římsou o výšce 150mm nad povrchem vozovky na pravé straně a kamenným obrubníkem výšky 150mm po okraji chodníku na levé straně. Na obou stranách bude ocelové zábradlí se svislou výplní výšky 1,10m.

Povrch vozovky a říms bude odvodněn gravitačně. Komunikace na mostě bude mít střešovitý příčný sklon 2,50% a podélný sklon cca +2,43% (odvodnění směrem na OP1). Horní plocha chodníku (levá strana) bude vyspádována do vozovky v příčném sklonu 2,00%. Římsa na pravé straně bude vyspádována do vozovky v příčném sklonu 4,0%.

Izolace na mostovce bude odvodněna gravitačně – horní povrch nosné konstrukce je v podélném směru vyspádována střešovitě k opěře O1 a O2 ve sklonu 5,00%.

Pro dobré odvodnění přechodových oblastí jsou za oběma opěrami mostu navrženy tuhé plastové (PVC) drenážní trouby DN=150mm perforované pouze v horní polovině. Drenážní trouby budou zaústěny do nerezových vyústek v opěrách mostu. Drenážní potrubí bude mít příčný sklon 5,00%.

Na pravé římse mostu uprostřed na návodní straně bude vyznačen letopočet ukončení výstavby mostu. Letopočet bude realizován vlysem do betonu, tak aby nebylo sníženo krytí betonářské výztuže.

Koryto potoka a svahy u křídel budou opevněny dlažbou z lomového kamene tl. 250mm do betonu C25/30 tl. 150mm. Spáry budou zatřené stěrkou na bázi cementové malty. Opevnění u křídel bude vyspádováno ve sklonu 1:1,5. Toto opevnění bude sloužit ke zvýšení stability svahů v blízkosti mostu. Dlažba v korytě bude vyspádována do středu ve sklonu 5%. Kamenná dlažba bude ukončena na vtoku i výtoku betonovým prahem z betonu C25/30 o rozměrech 600x500mm.

Na návodní straně bude navíc zřízena rovinanina z lomového kamene o hmotnosti 200-250kg/ks.

Svahy v okolí mostu budou plynule navazovat na stávající terén a vyspádovány ve sklonu 1:1,5 a osety protierozní směsí.

1.4 . VÝPOČETNÍ MODEL NOSNÉ KONSTRUKCE

Výpočet vnitřních sil nosné konstrukce, poprsních zídek, opěr, křídel a základů byl proveden v programu Scia Engineer 2015.1. Výpočetní model byl proveden jako deskostěnový model. Prvky opěr, nosné konstrukce, poprsních zídek, křídel a základů byly vytvořeny ze skořepin. Hlubinné základy byly vytvořeny z prutů podepřených pružně v závislosti na podloží, výpočet pružného uložení vychází z geologického vrtu J1 u opěry 02.

Účelem tohoto modelu bylo vyvození maximálních vnitřních sil od kombinací jednotlivých zatížení působících na konstrukci. Na maximální vnitřní síly byla následně navržena a posouzena betonářská výztuž. Při výpočtu deformací je uvažováno s průřezem porušeným trhlinami (Snížený modul pružnosti betonu C30/37 – $E=16\text{MPa}$).

Posouzení jednotlivých vyztužených průřezů bylo provedeno v programu IDEA Statica 5. Návrh výztuže v opěrách, v mostovce, v poprsních zídkách a v křídlech bylo provedeno na 2D dílcích.

1.5 . VÝPOČETNÍ POMŮCKY

Výpočty vnitřních sil byly provedeny pomocí programu Scia Engineer 2015.1. Posouzení výztuže nosné konstrukce bylo provedeno v programu IDEA Statica 5.

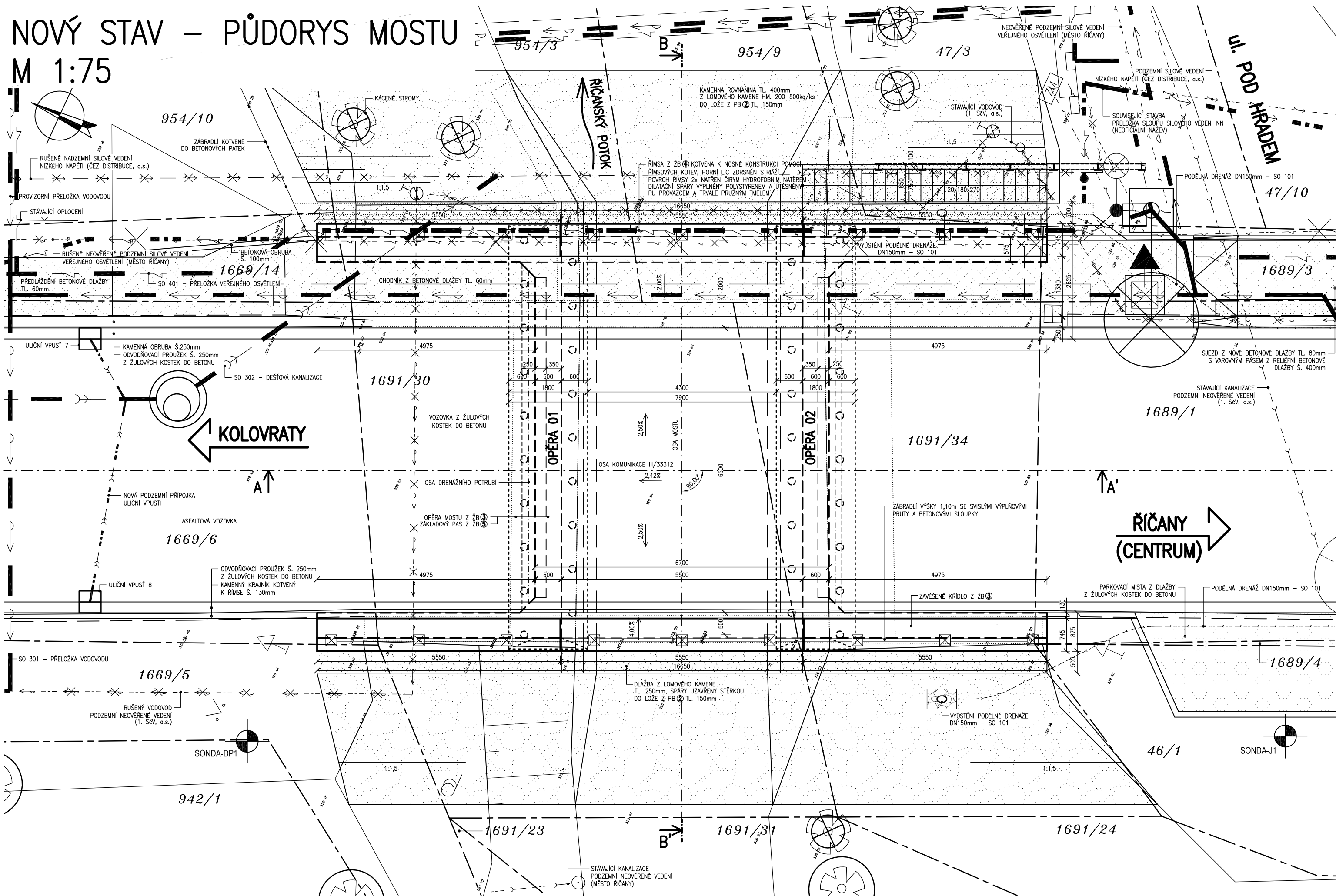
III/33312 ŘÍČANY, MOST EV.Č. 33312-3

SO 201 - MOST EV.Č. 33312-3 PŘES ŘÍČANSKÝ POTOK

STATICKÝ VÝPOČET

2 . KAPITOLA - PŘEHLEDNÉ VÝKRESY MOSTU

NOVÝ STAV – PŮDORYS MOSTU
M 1:75



ŘÍČANY (CENTRUM) 

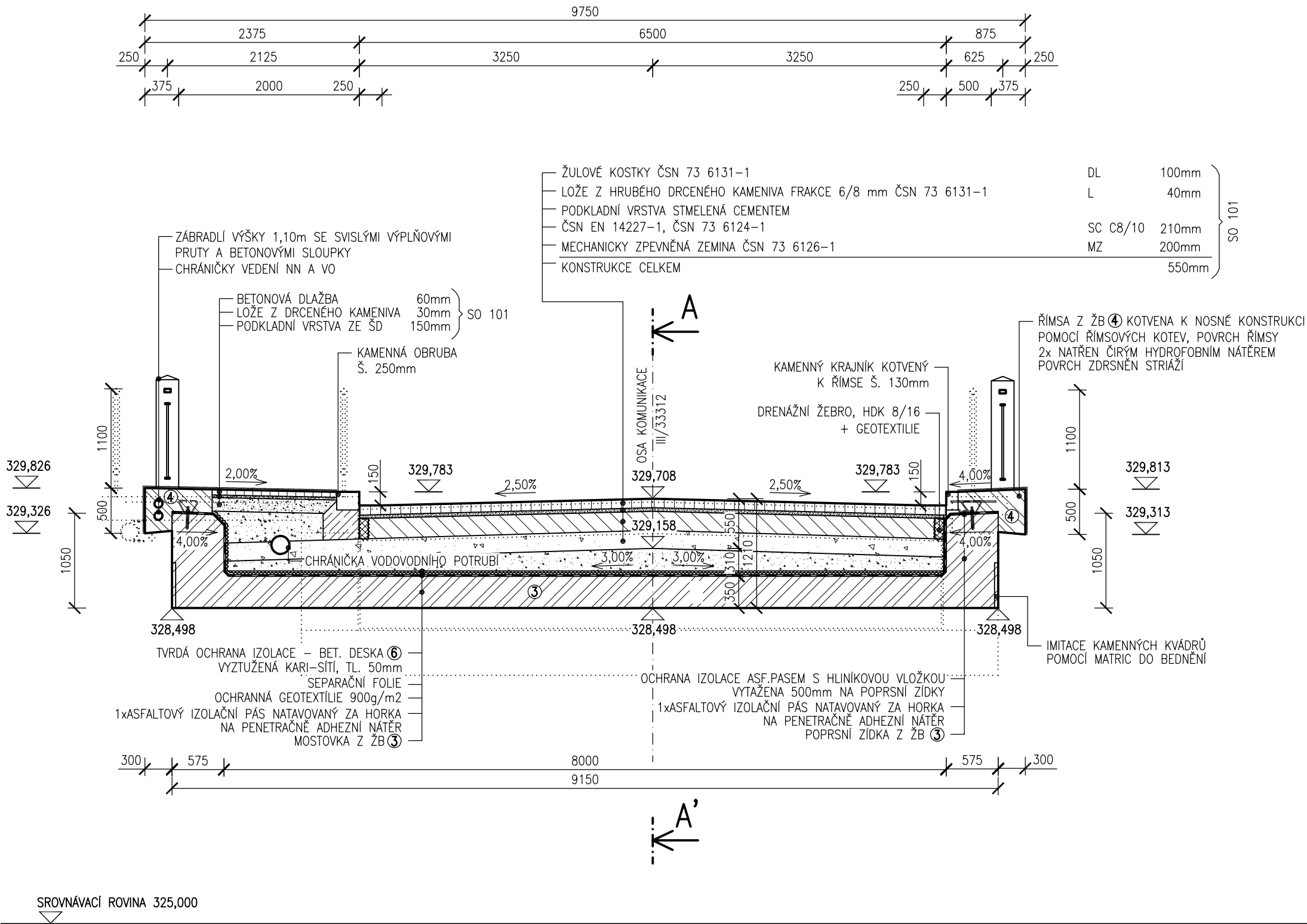


NOVÝ STAV – PŘÍČNÝ ŘEZ MOSTU

M 1:50

ŘÍČANY
(CENTRUM)

KOLOVRATY



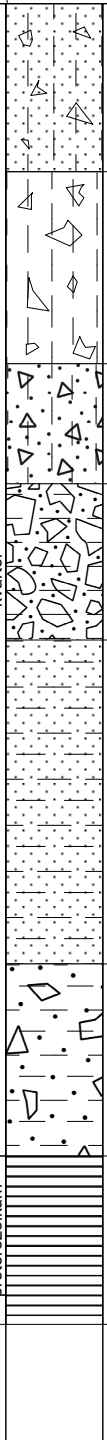
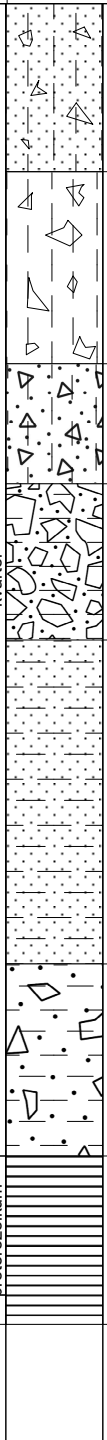
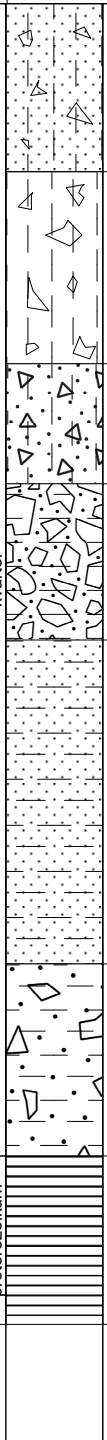
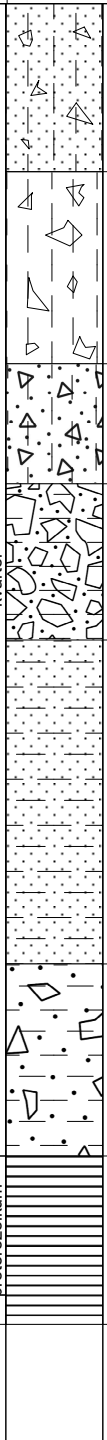
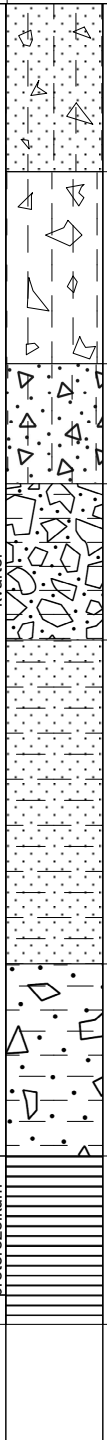
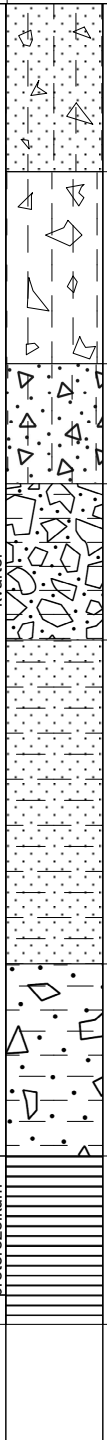
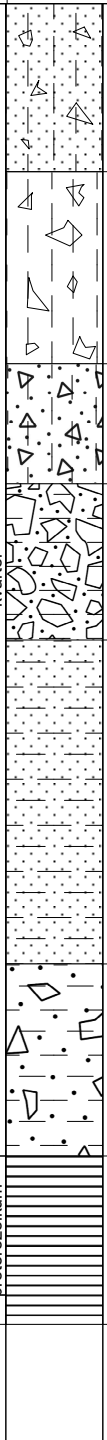
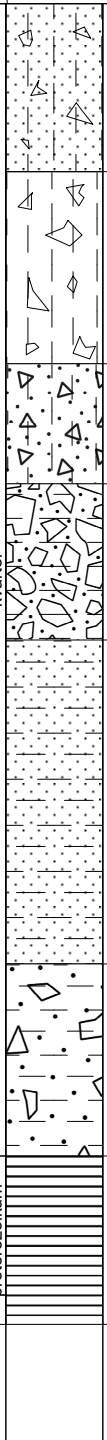
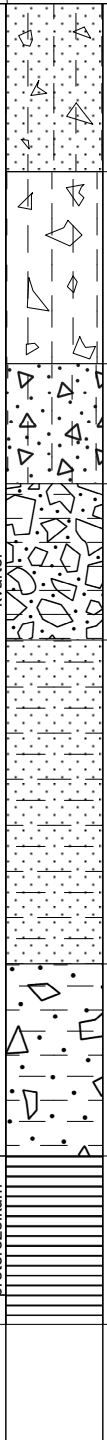
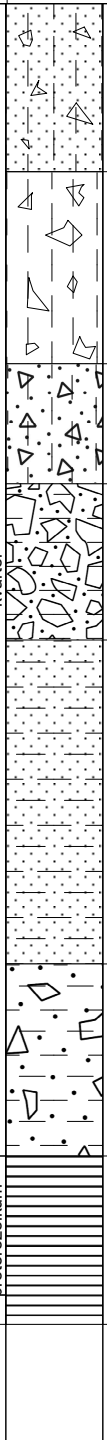
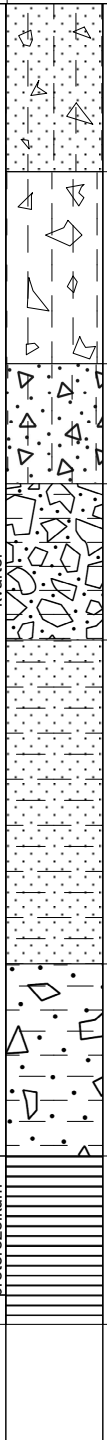
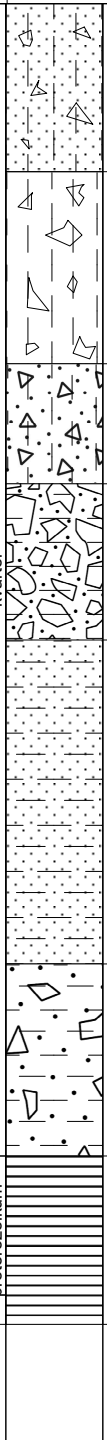
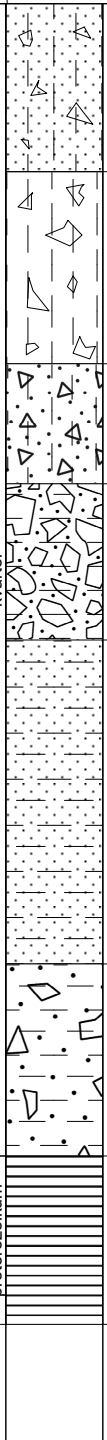
III/33312 ŘÍČANY, MOST EV.Č. 33312-3

SO 201 - MOST EV.Č. 33312-3 PŘES ŘÍČANSKÝ POTOK

STATICKÝ VÝPOČET

3 . KAPITOLA – STATICKÝ VÝPOČET

3.1 . GEOLOGICKÝ PRŮZKUM

PROJEKT:										Inženýrsko geologický průzkum										DOKUMENTACE VRTU J1									
MÍSTO VRTU:										k.ú. Říčany u Prahy																			
ZADAVATEL:										IM - Projekt, s.r.o.										DATUM VRTÁNÍ OD: 18.9.2017					DO: 18.9.2017				
METODA VRTÁNÍ:										jádrově										HLOUBKA (m): 11,0 m									
VRTNÁ SOUPRAVA:										HVS 125 Ø 137 mm										HL. PV. 3,9 m		PRVNÍ: 3,9 m		TYP. ustálená					
ODBĚR VZORKŮ ZEMIN:										poloporušené										DOKUMENTOVAL: Mgr. Aleš Grünwald									
Y: 727927.12										X: 1055787.41										ZODPOVĚDNÝ ŘEŠITEL: RNDr. Zbyněk Grünwald					PŘÍLOHA Č. 5.1				
HLOUBKA (m)		VZORKY			HPV	voda ve vrtu	stáří	POPIS ZEMIN A HORNIN 329.7 m n.m.								KONZISTENCE	R _{dt} (kPa)	ULEHLOST	ČSN EN ISO 14 688-2	73 1005	73 3050	TKP-4							
		VZOREK č.	VZOREK																										
0																													
0.5																													
1																													
1.5	1	PLP																											
2	3																												
2.5	8																												
3	1	P																											
3.5	3																												
4	8																												
4.5	2																												
5																													
5.5																													
6																													
6.5																													
7																													
7.5																													
8																													
8.5																													
9																													
9.5																													
10																													
10.5																													
11																													
11.5																													
12																													

HIG geologická služba, spol. s r.o.

2017/138

Výpočet tuhostí pružin pro mikropiloty											
Zemina	Vrstva	Těžiště vrstvy v hloubce – z	Tloušťka vrstvy	D	Edef	nh	kh	$\beta_i = \varphi/1,4$	$b_i = D + 2 \cdot D \cdot \tan \beta_i$	zvi	$k_i = k_{hi} \cdot b_i \cdot z_{vi}$
G3-GF – nh=4,5 MPa, $\varphi=33^\circ$	Od 0,000 do 0,248	0,124	0,248	0,168	-	4,5	3,321	23,571	0,315	0,248	0,259
	Od 0,248 do 0,698	0,473	0,45	0,168	2,5	-	9,921	15,714	0,263	0,45	1,172
F4 CS – Edef = 2,5 MPa, $\varphi=22^\circ$	Od 0,698 do 1,148	0,923	0,45	0,168	2,5	-	9,921	15,714	0,263	0,45	1,172
	Od 1,148 do 1,598	1,373	0,45	0,168	2,5	-	9,921	15,714	0,263	0,45	1,172
	Od 1,598 do 2,048	1,823	0,45	0,168	2,5	-	9,921	15,714	0,263	0,45	1,172
	Od 2,048 do 2,498	2,273	0,45	0,168	2,5	-	9,921	15,714	0,263	0,45	1,172
	Od 2,498 do 2,948	2,723	0,45	0,168	2,5	-	9,921	15,714	0,263	0,45	1,172
	Od 2,948 do 3,348	3,148	0,4	0,3	-	4,5	47,220	20,000	0,518	0,4	9,791
G5 GC – nh = 4,5 MN/m ³ , $\varphi=28^\circ$	Od 3,348 do 3,748	3,548	0,4	0,3	-	4,5	53,220	20,000	0,518	0,4	11,035
	Od 3,748 do 4,148	3,948	0,4	0,3	-	4,5	59,220	20,000	0,518	0,4	12,279
	Od 4,148 do 4,548	4,348	0,4	0,3	-	4,5	65,220	20,000	0,518	0,4	13,524
	Od 4,548 do 5,024	4,786	0,476	0,3	-	4,5	71,790	16,429	0,477	0,476	16,297
R6 – nh = 4,5 MN/m ³ , $\varphi=23^\circ$	Od 5,024 do 5,500	5,262	0,476	0,3	-	4,5	78,930	16,429	0,477	0,476	17,918
	Od 5,500 do 5,976	5,738	0,476	0,3	-	4,5	86,070	16,429	0,477	0,476	19,539
	Od 5,976 do 6,452	6,214	0,476	0,3	-	4,5	93,210	16,429	0,477	0,476	21,160
	Od 6,452 do 6,928	6,69	0,476	0,3	-	4,5	100,350	16,429	0,477	0,476	22,781
	Od 6,928 do 7,404	7,166	0,476	0,3	-	4,5	107,490	16,429	0,477	0,476	24,401
	Od 7,404 do 7,880	7,642	0,476	0,3	-	4,5	114,630	16,429	0,477	0,476	26,022
	Od 7,880 do 8,356	8,118	0,476	0,3	-	4,5	121,770	16,429	0,477	0,476	27,643
	Od 8,356 do 8,832	8,594	0,476	0,3	-	4,5	128,910	16,429	0,477	0,476	29,264

Poznámka: výpočet kh pro soudržné zeminy: $kh = (2 \cdot E_{def}) / (3 \cdot D)$

pro nesoudržné: $kh = z \cdot nh / D$

D – průměr mikropiloty

nh – konstanta, viz Tab. 3.1. (Masopust, 1997)

zvi – výška vzdorujícího prostředí

ki – tuhost pružiny

III/33312 ŘÍČANY, MOST EV.Č. 33312-3

SO 201 - MOST EV.Č. 33312-3 PŘES ŘÍČANSKÝ POTOK

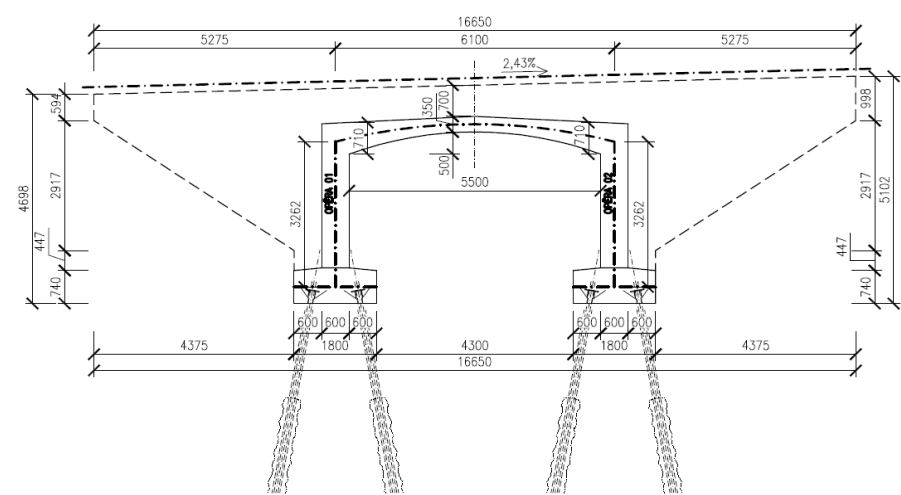
STATICKÝ VÝPOČET

3.2 . ZATÍŽENÍ

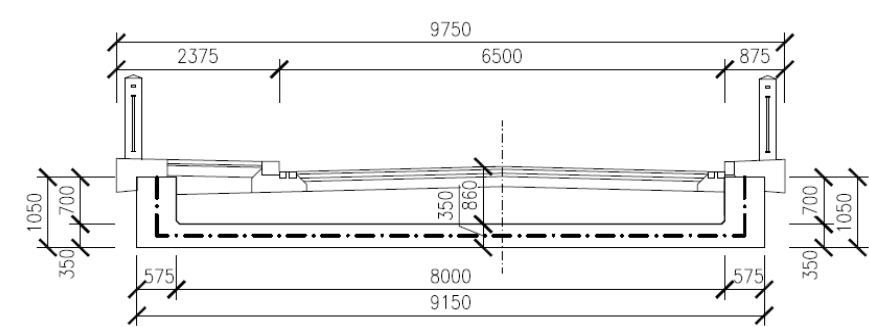
1. GEOMETRIE

Typ nosné konstrukce	ŽB polorámová konstrukce
Úhel křížení	$\alpha = 90,00^\circ$
Rozpětí nosné k-ce (kolmé)	$L = 6,100\text{ m}$
Rozpětí nosné k-ce (šikmé)	$L' = 6,100\text{ m}$
Výška opěr	$H = 3,245\text{ m}$
Tloušťka nosné k-ce ve středu rozpětí	$t_1 = 0,350\text{ m}$
Tloušťka nosné k-ce nad opěrami	$t_2 = 0,710\text{ m}$
Tloušťka opěr	$t_3 = 0,600\text{ m}$
Šířka mostovky	$B = 9,150\text{ m}$

Podélný řez - model:



Příčný řez - model:



2. STÁLÉ ZATÍŽENÍ

2.1. VLASTNÍ TÍHA KONSTRUKCE g_1

Zatížení od vlastní tíhy konstrukce je automaticky generováno v programu Scia Engineer

2.2. OSTATNÍ STÁLÉ ZATÍŽENÍ - NA ZAVĚŠENÁ KŘÍDLA - g_2

Výpočet líniového zatížení od ostatního stálého zatížení působící na mostní křídla – g_2

Přítížení	Plocha v příčném řezu [m²]	Tíha na m³ [kN/m³]	Výpočet	Tíha na m¹ křídla [kN/m]
Římsa z ŽB	0,300	25,0	(0,300*25,0)	7,50
Ocel. zábradlí a beton. sloupky	-	1,50	1,500	1,50
Líniové zatížení působící na mostní křídla celkem - g_{2A}				9,00

2.3. OSTATNÍ STÁLÉ ZATÍŽENÍ - NA MOSTOVCE - g_3

Výpočet plošného zatížení od ostatního stálého zatížení působící na mostovku v pruhu vozovky - g_{3A}

Přítížení	Výška [m]	Šířka [m]	Tíha na m³ [kN/m³]	Šířka zatížené mostovky [m²]	Výpočet	Tíha na m² mostovky [kN/m²]
Asfaltová izolace	0,005	1,000	24,0	1,000	(0,005*1,0*24,0)/1,0	0,12
Ochrana izolace – beton.deska	0,050	1,000	24,0	1,000	(0,050*1,0*24,0)/1,0	1,20
Hutněné vrstvy štěrkodrti	0,650	1,000	20,0	1,000	(0,650*1,0*20,0)/1,0	13,00
Souvrství vozovky-asfalt. beton	0,150	1,000	24,0	1,000	(0,150*1,0*24,0)/1,0	3,60
Plošné zatížení v pruhu vozovky celkem - g_{3A}						17,92

Výpočet plošného zatížení od ostatního stálého zatížení působící na mostovku v pruhu pod chodníkem – g_{3B}

Přítížení	Výška [m]	Šířka [m]	Tíha na m³ [kN/m³]	Šířka zatížené mostovky [m²]	Výpočet	Tíha na m² mostovky [kN/m²]
Asfaltová izolace	0,005	1,000	24,0	1,000	(0,005*1,0*24,0)/1,0	0,12
Ochrana izolace – beton.deska	0,050	1,000	24,0	1,000	(0,050*1,0*24,0)/1,0	1,20
Hutněné vrstvy štěrkodrti	0,840	1,000	20,0	1,000	(0,840*1,0*20,0)/1,0	16,80
Betonová dlažba	0,060	1,000	24,0	1,000	(0,060*1,0*24,0)/1,0	1,44
Plošné zatížení v pruhu pod chodníkem celkem - g_{3B}						19,56

Výpočet líniového zatížení od obrubníků mezi vozovkou a chodníkem – g_{3C}

Přítížení	Plocha v příčném řezu [m²]	Tíha na m³ [kN/m³]	Výpočet	Tíha na m² konzoly [kN/m²]
Asfaltová izolace	0,0025	24,00	(0,0025*24,00)	0,06
Ochrana izolace – beton.deska	0,025	24,00	(0,025*24,00)	0,60
Hutněné vrstvy štěrkodrti	0,209	20,00	(0,209*20,0)	4,18
Obrubník+žul. kostky+podklad	0,262	24,00	(0,262*24,0)	6,29
Líniové zatížení od obrubníků mezi vozovkou a chodníkem celkem – g_{3C}				11,13

Výpočet průměrného rovnoměrného plošného zatížení od ostatního stálého zatížení působící na mostovku - g_3

Plošné zatížení	Šířka zatížené mostovky [m²]	Tíha na m² mostovky [kN/m²]
Plošné zatížení v pruhu vozovky celkem - g_{3A}	6,250	17,92
Plošné zatížení v pruhu chodníku celkem – g_{3B}	1,380	19,56
Líniové zatížení od obrubníků mezi vozovkou a chodníkem – g_{3C}	0,500	22,26
Plošné průměrné rovnoměrné zatížení celkem - g_3	8,575	17,51

Výpočet líniového zatížení od ostatního stálého zatížení působící na poprsní zdi – g_4

Přítížení	Plocha v příčném řezu [m²]	Tíha na m³ [kN/m³]	Výpočet	Tíha na m¹ zdi [kN/m]
Římsa z ŽB	0,300	25,0	(0,300*25,0)	7,50
Ocel. zábradlí a beton. sloupky	-	1,50	1,500	1,50
Líniové zatížení působící na poprsní zdi celkem – g_4				9,00

2.4. ZATÍŽENÍ KONSTRUKCE OD SMRŠTĚNÍ BETONU - g₅

Zatížení konstrukce od smrštění betonu	g₅= -15 °C
Zatížení konstrukce od smrštění betonu je ekvivalentní účinek ochlazení konstrukce o 15°C	

2.5. ZATÍŽENÍ OPĚR, KŘÍDEL A POPRSNÍCH ZDÍ ZÁSÝPOVOU ZEMINOU A SOUVRSTVÍM VOZOVKY - ZEMNÍ TLAK – g₆

Uvažujeme zemní tlak v klidu při náhradním úhlu vnitřního tření $\varphi = 35^\circ$, $\nu = 0,25$

(Aktivní tlak nelze uvažovat - konstrukce je rozepřená mostovkou)

Výpočet vodorovného plošného zatížení působící na opěru 01 od zásypu zeminou a souvrství vozovky – g_{6,1}

Úhel vnitřního tření	$\varphi = 35^\circ$	Hloubka pod vozovkou	$H_{1,A} = 1,350$	m
Tíha zeminy	$\gamma_z = 20,0$ kN/m ³	Hloubka pod vozovkou	$H_{1,B} = 4,615$	m
Součinitel zemního tlaku v klidu	$K_0 = 1 - \sin\varphi =$	$1 - \sin 35,0^\circ =$	0,427	
Vodorovné zat. v úrovni mostovky	$g_{6,1,A} = \gamma_z * H_{1,A} * K_0 =$	$20,0 * 1,350 * 0,427 =$	11,52 kN/m ²	
Vodorovné zat. u paty opěry	$g_{6,1,B} = \gamma_z * H_{1,B} * K_0 =$	$20,0 * 4,615 * 0,427 =$	39,38 kN/m ²	

Výpočet vodorovného plošného zatížení působící na opěru 02 od zásypu zeminou a souvrství vozovky – g_{6,2}

Úhel vnitřního tření	$\varphi = 35^\circ$	Hloubka pod vozovkou	$H_{2,A} = 1,500$	m
Tíha zeminy	$\gamma_z = 20,0 \text{ kN/m}^3$	Hloubka pod vozovkou	$H_{2,B} = 4,760$	m
Součinitel zemního tlaku v klidu	$K_0 = 1 - \sin\varphi =$	$1 - \sin 35,0^\circ =$	0,427	
Vodorovné zat. v úrovni mostovky	$g_{6,2,A} = \gamma_z \cdot H_{2,A} \cdot K_0 =$	$20,0 \cdot 1,500 \cdot 0,427 =$	12,80	kN/m ²
Vodorovné zat. u paty opěry	$g_{6,2,B} = \gamma_z \cdot H_{2,B} \cdot K_0 =$	$20,0 \cdot 4,760 \cdot 0,427 =$	40,62	kN/m ²

Výpočet vodorovného plošného zatížení působící na poprsní zeď na straně opěry 01 od zásypu zeminou a souvrství vozovky – g_{6,3}

Úhel vnitřního tření	$\varphi = 35^\circ$	Hloubka pod vozovkou	$H_{3,A} = 0,160$	m
Tíha zeminy	$\gamma_z = 20,0 \text{ kN/m}^3$	Hloubka pod vozovkou	$H_{3,B} = 1,350$	m
Součinitel zemního tlaku v klidu	$K_0 = 1 - \sin\varphi =$	$1 - \sin 35,0^\circ =$	0,427	
Vodorovné zat. v úrovni mostovky	$g_{6,3,A} = \gamma_z * H_{3,A} * K_0 =$	$20,0 * 0,160 * 0,427 =$	1,37 kN/m ²	
Vodorovné zat. u paty opěry	$g_{6,3,B} = \gamma_z * H_{3,B} * K_0 =$	$20,0 * 1,350 * 0,427 =$	11,52 kN/m ²	

Výpočet vodorovného plošného zatížení působící na poprsní zeď na straně opěry 02 od zásypu zeminou a souvrství vozovky – g_{6,4}

Úhel vnitřního tření	$\varphi = 35^\circ$	Hloubka pod vozovkou	$H_{4,A} = 0,160$	m
Tíha zeminy	$\gamma_z = 20,0 \text{ kN/m}^3$	Hloubka pod vozovkou	$H_{4,B} = 1,500$	m
Součinitel zemního tlaku v klidu	$K_0 = 1 - \sin\varphi =$	$1 - \sin 35,0^\circ =$	0,427	
Vodorovné zat. v úrovni mostovky	$g_{6,4,A} = \gamma_z * H_{4,A} * K_0 =$	$20,0 * 0,160 * 0,427 =$	1,37 kN/m ²	
Vodorovné zat. u paty opěry	$g_{6,4,B} = \gamma_z * H_{4,B} * K_0 =$	$20,0 * 1,500 * 0,427 =$	12,80 kN/m ²	

Výpočet vodorovného plošného zatížení působící na křídla na straně opěry 01 od zásypu zeminou a souvrství vozovky – g_{6,5}

Úhel vnitřního tření	$\varphi = 35^\circ$	Hloubka pod vozovkou	$H_{5,A} = 0,160$	m
Tíha zeminy	$\gamma_z = 20,0$ kN/m ³	Hloubka pod vozovkou	$H_{5,B} = 4,615$	m
Součinitel zemního tlaku v klidu	$K_0 = 1 - \sin\varphi =$	$1 - \sin 35,0^\circ =$	0,427	
Vodorovné zat. v úrovni mostovky	$g_{6,5,A} = \gamma_z * H_{5,A} * K_0 =$	$20,0 * 0,160 * 0,427 =$	1,37 kN/m ²	
Vodorovné zat. u paty opěry	$g_{6,5,B} = \gamma_z * H_{5,B} * K_0 =$	$20,0 * 4,615 * 0,427 =$	39,38 kN/m ²	

Výpočet vodorovného plošného zatížení působící na křídla na straně opěry 02 od zásypu zeminou a souvrství vozovky – g_{6,6}

Úhel vnitřního tření	$\varphi = 35^\circ$	Hloubka pod vozovkou	$H_{6,A} = 0,160$	m
Tíha zeminy	$\gamma_z = 20,0 \text{ kN/m}^3$	Hloubka pod vozovkou	$H_{6,B} = 4,760$	m
Součinitel zemního tlaku v klidu	$K_0 = 1 - \sin\varphi =$	$1 - \sin 35,0^\circ =$	0,427	
Vodorovné zat. v úrovni mostovky	$g_{6,6,A} = \gamma_z * H_{6,A} * K_0 =$	$20,0 * 0,160 * 0,427 =$	1,37 kN/m ²	
Vodorovné zat. u paty opěry	$g_{6,6,B} = \gamma_z * H_{6,B} * K_0 =$	$20,0 * 4,760 * 0,427 =$	40,62 kN/m ²	

2.6. ZATÍŽENÍ OD NEROVNOMĚRNÉHO POKLESU OPĚR – g₇

Pokles opěry 01	g_{7,1}= 10 mm
Pokles opěry 02	g_{7,2}= 10 mm
Neuvažujeme s nerovnoměrným poklesem opěr - most má malé rozměry	

3. PROMĚNNÁ ZATÍŽENÍ

3.1. ZATÍŽENÍ OPĚR, KŘÍDEL A POPRSNÍCH ZDÍ ZÁSÝPOVOU ZEMINOU PŘI HUTNĚNÍ

Uvažujeme zemní tlak v klidu při náhradním úhlu vnitřního tření $\varphi = 35^\circ$, $\nu = 0,25$

(Aktivní tlak nelze uvažovat - konstrukce je rozepřená mostovkou)

Výpočet vodorovného plošného zatížení působící na opěru 01 od zásypu zeminou a souvrství vozovky - q_{1,1}

Úhel vnitřního tření	$\varphi = 35^\circ$	Výška zeminy	$H_{1,A} = 1,350$	m
Tíha zeminy	$\gamma_z = 20,0$	Výška zeminy	$H_{1,B} = 4,615$	m
Součinitel zemního tlaku v klidu	$K_0 =$		1,000	-
Vodorovné zat. v úrovni mostovky	$q_{1,1,A} = \gamma_z * H_{1,A} * K_{0,P} =$	$20,0 * 1,350 * 1,000 =$	27,00	kN/m ²
Vodorovné zat. u paty opěry	$q_{1,1,B} = \gamma_z * H_{1,B} * K_{0,P} =$	$20,0 * 4,615 * 1,000 =$	92,30	kN/m ²

Výpočet vodorovného plošného zatížení působící na opěru 02 od zásypu zeminou a souvrství vozovky – q_{1,2}

Úhel vnitřního tření	$\varphi = 35^\circ$	Výška zeminy	$H_{2,A} = 1,500$	m
Tíha zeminy	$\gamma_z = 20,0$	Výška zeminy	$H_{2,B} = 4,760$	m

Součinitel zemního tlaku v klidu	$K_0 =$	1,000	-
Vodorovné zat. v úrovni mostovky	$q_{1,2,A} = \gamma_z \cdot H_{2,A} \cdot K_{0,P} =$	20,0 * 1,500 * 1,000 =	30,00 kN/m ²
Vodorovné zat. u paty opěry	$q_{1,2,B} = \gamma_z \cdot H_{2,B} \cdot K_{0,P} =$	20,0 * 4,760 * 1,000 =	95,20 kN/m ²

Výpočet vodorovného plošného zatížení působící na poprsní zeď na straně opěry O1 od zásypu zeminou a souvrství vozovky – q_{1,3}

Úhel vnitřního tření	$\varphi =$	35 °	Výška zeminy	$H_{3,A} =$	0,160	m
Tíha zeminy	$\gamma_z =$	20,0 kN/m ³	Výška zeminy	$H_{3,B} =$	1,350	m
Součinitel zemního tlaku v klidu	$K_0 =$			1,000	-	
Vodorovné zat. v úrovni mostovky	$q_{1,3,A} = \gamma_z \cdot H_{3,A} \cdot K_{0,P} =$		20,0 * 0,160 * 1,000 =		3,20	kN/m ²
Vodorovné zat. u paty opěry	$q_{1,3,B} = \gamma_z \cdot H_{3,B} \cdot K_{0,P} =$		20,0 * 1,350 * 1,000 =		27,00	kN/m ²

Výpočet vodorovného plošného zatížení působící na poprsní zeď na straně opěry O1 od zásypu zeminou a souvrství vozovky – q_{1,4}

Úhel vnitřního tření	$\varphi =$	35 °	Výška zeminy	$H_{4,A} =$	0,160	m
Tíha zeminy	$\gamma_z =$	20,0 kN/m ³	Výška zeminy	$H_{4,B} =$	1,500	m
Součinitel zemního tlaku v klidu	$K_0 =$			1,000	-	
Vodorovné zat. v úrovni mostovky	$q_{1,4,A} = \gamma_z \cdot H_{4,A} \cdot K_{0,P} =$		20,0 * 0,160 * 1,000 =		3,20	kN/m ²
Vodorovné zat. u paty opěry	$q_{1,4,B} = \gamma_z \cdot H_{4,B} \cdot K_{0,P} =$		20,0 * 1,500 * 1,000 =		30,00	kN/m ²

Výpočet vodorovného plošného zatížení působící na křídla na straně opěry O1 od zásypu zeminou a souvrství vozovky – q_{1,5}

Úhel vnitřního tření	$\varphi =$	35 °	Výška zeminy	$H_{5,A} =$	0,160	m
Tíha zeminy	$\gamma_z =$	20,0 kN/m ³	Výška zeminy	$H_{5,B} =$	4,615	m
Součinitel zemního tlaku v klidu	$K_0 =$			1,000	-	
Vodorovné zat. v úrovni mostovky	$q_{1,5,A} = \gamma_z \cdot H_{5,A} \cdot K_{0,P} =$		20,0 * 0,160 * 1,000 =		3,20	kN/m ²
Vodorovné zat. u paty opěry	$q_{1,5,B} = \gamma_z \cdot H_{5,B} \cdot K_{0,P} =$		20,0 * 4,615 * 1,000 =		92,30	kN/m ²

Výpočet vodorovného plošného zatížení působící na křídla na straně opěry O1 od zásypu zeminou a souvrství vozovky – q_{1,6}

Úhel vnitřního tření	$\varphi =$	35 °	Výška zeminy	$H_{6,A} =$	0,160	m
Tíha zeminy	$\gamma_z =$	20,0 kN/m ³	Výška zeminy	$H_{6,B} =$	4,760	m
Součinitel zemního tlaku v klidu	$K_0 =$			1,000	-	
Vodorovné zat. v úrovni mostovky	$q_{1,6,A} = \gamma_z \cdot H_{6,A} \cdot K_{0,P} =$		20,0 * 0,160 * 1,000 =		3,20	kN/m ²
Vodorovné zat. u paty opěry	$q_{1,6,B} = \gamma_z \cdot H_{6,B} \cdot K_{0,P} =$		20,0 * 4,760 * 1,000 =		95,20	kN/m ²

Výpočet vodorovného plošného zatížení působící na opěru 02, resp. 01 od zásypu zeminou a souvrství vozovky – q_{1,7}

Úhel vnitřního tření	$\varphi =$	35 °	Výška zeminy	$H_{7,A} =$	0,000	m
Tíha zeminy	$\gamma_z =$	20,0 kN/m ³	Výška zeminy	$H_{7,B} =$	1,500	m
Součinitel zemního tlaku v klidu	$K_0 =$			1,000	-	
Vodorovné zat. v úrovni 1/2 opěry	$q_{1,7,A} = \gamma_z \cdot H_{7,A} \cdot K_{0,P} =$		20,0 * 0,000 * 1,000 =		0,00	kN/m ²
Vodorovné zat. u paty opěry	$q_{1,7,B} = \gamma_z \cdot H_{7,B} \cdot K_{0,P} =$		20,0 * 1,500 * 1,000 =		30,00	kN/m ²

3.2. ZATÍŽENÍ KONSTRUKCE ROVNOMĚRNOU TEPLOTOU

3.2.1 Ochlazení

Výpočet teplotního rozsahu od rovnoměrného ochlazení celé konstrukce - T_{N,con}

Výchozí teplota mostu	$T_0 =$	10,0	°C
Minimální teplota	$T_{min} =$	-32,0	°C
Typ konstrukce	Typ 3a =	Betonová polorámová k-ce	
Minimální rovnoměrná složka teploty	$T_{e,min} = T_{min} + 8,0^{\circ}\text{C} =$	-24,0	°C
Teplotní rozsah od ochlazení konstrukce	$T_{N,con} = T_0 - T_{e,min} =$	34,0	°C

3.2.2 Oteplení

Výpočet teplotního rozsahu od rovnoměrného oteplení celé konstrukce - T_{N,exp}

Výchozí teplota mostu	$T_0 =$	10,0	°C
Maximální teplota	$T_{max} =$	40,0	°C
Typ konstrukce	Typ 3a =	Betonová polorámová k-ce	
Maximální rovnoměrná složka teploty	$T_{e,max} = T_{max} + 1,5^{\circ}\text{C} =$	41,5	°C
Teplotní rozsah od oteplení konstrukce	$T_{N,exp} = T_{e,max} - T_0 =$	31,5	°C

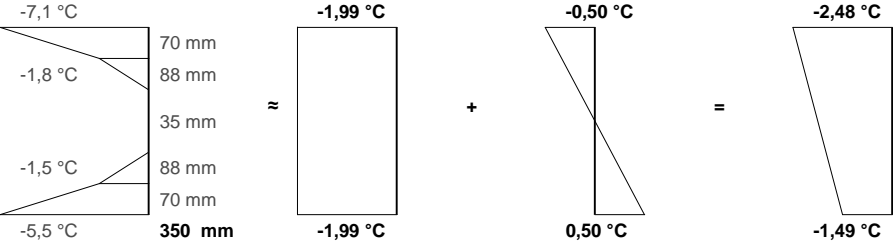
3.3. ZATÍŽENÍ KONSTRUKCE NEROVNOMĚRNOU TEPLOTOU

3.3.1 Ochlazení

Výpočet teplotního rozsahu od nerovnoměrného ochlazení příčle nosné konstrukce - ΔT_{Mcool}

Hodnoty jsou vynásobené korekčním součinitelem k_{sur} , aby odpovídaly teplotním změnám ovlivněným přesypávkou na mostě.

$k_{sur} = 1,0$

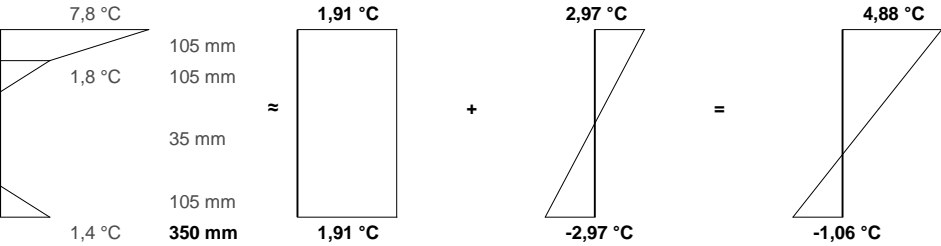


3.3.2 Oteplení

Výpočet teplotního rozsahu od nerovnoměrného oteplení příčle nosné konstrukce - ΔT_{Mheat}

Hodnoty jsou vynásobené korekčním součinitelem k_{sur} , aby odpovídaly teplotním změnám ovlivněným přesypávkou na mostě.

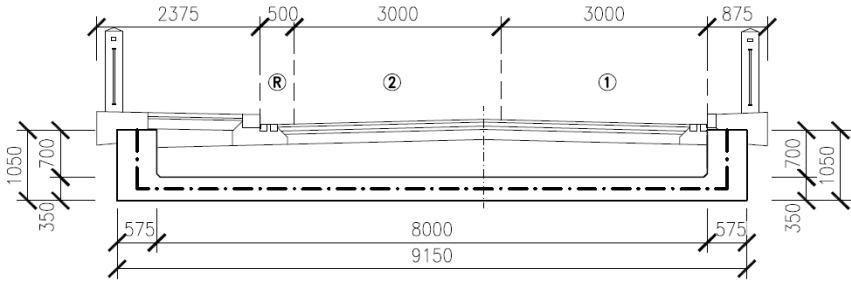
$k_{sur} = 0,6$



3.4. ZATÍŽENÍ MOSTOVKY SILNIČNÍ DOPRAVOU

3.4.1 Rozdělení vozovky do zatěžovacích pruhů

Šířka vozovky - w	Počet zatěžovacích pruhů	Šířka zatěžovacího pruhu-w	Šířka zbývajících plochy
w < 5,40m	$n_l = 1$	3,00m	w - 3,00m
5,40m <= w < 6,00m	$n_l = 2$	w / 2	0,00m
w >= 6,00m	$n_l = \text{Int} (w / 3)$	3,00m	w - 3,00m x n_l



3.4.2 Regulační součinitele pro ČR

Skupina pozemních komunikací	Hodnoty regulačních součinitelů pro osamělé síly				Hodnoty regulačních součinitelů pro rovnoměrné zatížení		
	α_{q1}	α_{q2}	α_{q3}	β_o	α_{q1}	$\alpha_{q1} (i > 2)$	α_{qr}
Skupina 1	1,00	1,00	1,00	1,00	1,00	2,40	1,20
Skupina 2	0,80	0,80	0,80	0,80	0,45	1,60	1,60

3.4.3 Model zatížení 1 (LM1)

Umístění	Dvounáprava (TS) - zatížení na nápravu		Rovnoměrné zatížení (UDL)	
	Q_{ik} [kN]	α_{qi}	q_{ik} nebo q_{rk} [kN/m²]	
Pruh 1	300,00	1,00	9,00	
Pruh 2	200,00	1,00	2,50	
Pruh 3	100,00	1,00	2,50	
Pruh =>4	0,00	1,00	2,50	
Zbývajících plocha - r	0,00	1,00	2,50	
Pozn. - V tabulce jsou uvedeny charakteristické hodnoty zatížení včetně dynamického součinitele				
Pozn. - Plošné zatížení (UDL) se uvažuje pouze v nepříznivých částech příčkových ploch				

Výpočet plošného zatížení od kola dvounáprav (TS)

Umístění	Q_{ik} [kN]	α_{qi}	$Q_{ik} * \alpha_{qi}$ [kN]	Roznos v podél. směru [m]	Roznos v příč. směru [m]	Plošné zat. [kN/m²]
Pruh 1	150,00	1,00	150,00	0,400+2*0,554=	0,400+2*0,554=	65,96
Pruh 2	100,00	1,00	100,00	1,508	1,508	43,97

Výpočet plošného zatížení od rovnoměrného zatížení (UDL)

Umístění	q_{lk}, q_{rk} [kN/m ²]	α_{ql}, α_{qr}	$q_{lk} * \alpha_{ql}$ [kN/m ²]	Roznos v podél. směru [m]	Roznos v příč. směru [m]	Plošné zat. [kN/m ²]
Pruh 1	9,00	1,00	9,00	0,000	0,000	9,00
Pruh 2	2,50	2,40	6,00	0,000	0,000	6,00
Pruh 3	2,50	1,20	3,00	0,000	0,000	3,00

3.4.4 Zatížení poprsních zídek modelem zatížení LM1

Plošné zatížení poprsní zídky od modelu zatížení LM1

Umístění	Dvounáprava (TS) - zatížení na nápravu	Rovnom. zatížení (UDL)	Náhradní roznášecí plocha		Regulační součinitele Skupina 1		Svislé přetížení poprs.zdi od TS	Svislé přetížení poprs.zdi od UDL
	Q_{lk} [kN]	q_{lk} [kN/m ²]	[m]	[m]	α_Q	α_q	q_{eqTS} [kN/m2]	q_{eqUDL} [kN/m ²]
Pruh 1	300	9,00	3,00	5,00	1,00	1,00	40,00	9,00
Pozn. - V tabulce jsou uvedeny charakteristické hodnoty zatížení včetně dynamického součinitele								
Pozn. - Zatížení dvounáprav (TS) působí společně s plošným zatížením (UDL)								

Uvažujeme zemní tlak v klidu při náhradním úhlu vnitřního tření $\varphi = 35^\circ$, $v = 0,25$

(Aktivní tlak nelze uvažovat - konstrukce je vetknutá do mostovky)

Výpočet vodorovného plošného zatížení působící na poprsní zeď od nahodilého zatížení TS v Pruhu 1

Úhel vnitřního tření	$\varphi =$	35 °
Tíha zeminy	$\gamma_z =$	20,0 kN/m ³
Plošné zatížení za poprsní zídkou	$q_{eqLM1} =$	40,00 kN/m ²
Náhradní výška zídky	$H_N = q_{eq1} / \gamma_z =$	40,00 / 20,0 = 2,000 m
Součinitel zemního tlaku v klidu	$K_0 = 1 - \sin\varphi =$	1 - sin 35,0° = 0,427 -
Vodorovné zatížení zídky	$q_{eqLM1}' = \gamma_z * H_N * K_0 =$	20,0 * 2,000 * 0,427 = 17,07 kN/m ²

Výpočet vodorovného plošného zatížení působící na poprsní zeď od nahodilého zatížení UDL v Pruhu 1

Úhel vnitřního tření	$\varphi =$	35 °
Tíha zeminy	$\gamma_z =$	20,0 kN/m ³
Plošné zatížení za poprsní zídkou	$q_{eqLM1} =$	9,00 kN/m ²
Náhradní výška zídky	$H_N = q_{eq1} / \gamma_z =$	9,00 / 20,0 = 0,450 m
Součinitel zemního tlaku v klidu	$K_0 = 1 - \sin\varphi =$	1 - sin 35,0° = 0,427 -
Vodorovné zat. Zídky	$q_{eqLM1}' = \gamma_z * H_N * K_0 =$	20,0 * 0,450 * 0,427 = 3,84 kN/m ²

3.4.5 Model zatížení 3 (LM3)

Typy zvláštních vozidel

Zvláštní vozidla	Celk. Tíha	Označení	Nápravy	Rychlost	Dyn. souč.	Umístění
Dálnice, rychlostní silnice a vybrané Trasy definované MD ČR	3000kN	3000/240	1x120kN+ +12x240kN e=1,500m	5km/h	$\varphi = 1,05$	Vozidlo je na mostě samotné Umístěné v ideální stopě
	1800kN	1800/200	9x200kN e=1,500m	70km/h	$\varphi = 1,25$	Vozidlo je na mostě umístěné v pruhu č. 1, V sousedních pruzích může být LM1 (UDL)
Silnice I. a. II. Třídy	1800kN	1800/200	9x200kN e=1,500m	70km/h	$\varphi = 1,25$	Vozidlo je na mostě samotné Umístěné v ideální stopě
Silnice III. Třídy (skupina 1)	900kN	900/150	6x150kN e=1,500m	70km/h	$\varphi = 1,25$	Vozidlo je na mostě samotné
Pozn. - Pro silnice III. Třídy (skupina 2) a obslužné místní komunikace se zatížení zvláštními vozidly neuvažuje						
Pozn. - Dynamický součinitel se nepoužívá při návrhu masivní spodní stavby a při návrhu založení mostu						

Výpočet plošného zatížení od kola zvláštního vozidla

Umístění	Q_{LM3} [kN]	φ_{LM3} -	$Q_{LM3} * \varphi_{LM3}$ [kN]	Roznos v podél. směru [m]	Roznos v příč. směru [m]	Plošné zat. [kN/m²]
Umístěné do pruhu 1	75,00	1,25	93,75	Výpočet šířky $0,150+2*0,554=$ 1,258	Výpočet šířky $1,200+2*0,554=$ 2,308	32,29
Pozn. - V tabulce jsou uvedeny charakteristické hodnoty zatížení včetně dynamického součinitele						
Pozn. - V blízkosti mostních závěrů se má použít přídatný dynamický součinitel						

3.4.6 Zatížení poprsních zdí modelem zatížení LM3

Plošné zatížení za poprsní zídou od modelu zatížení LM3

Zvláštní vozidla	Umístění	Celk. Tíha	Dyn. souč.	Náhradní roznášecí plocha		Svislé přetížení opěr od LM3
		[kN]	φ -	[m]	[m]	
Dálnice, R-silnice a vybrané Trasy def. MD ČR	Vozidlo je na mostě samotné Umístěné v ideální stopě	3000	1,05	4,500	19,000	36,84
	Vozidlo je na mostě umístěné v pruhu č.1. V sousedních pruzích může být LM1 (UDL)	1800	1,25	3,000	14,000	53,57
Silnice I. a. II. Třídy	Vozidlo je na mostě samotné Umístěné v ideální stopě	1800	1,25	3,000	14,000	53,57
Silnice III. Třídy (skupina 1)	Vozidlo je na mostě samotné	900	1,25	3,000	8,000	46,88
Pozn. - Pro silnice III. Třídy (skupina 2) a obslužné místní komunikace se zatížení zvláštními vozidly neuvažuje						
Pozn. - Dynamický součinitel se nepoužívá při návrhu masivní spodní stavby a při návrhu založení mostu						

Uvažujeme zemní tlak v klidu při náhradním úhlu vnitřního tření $\varphi = 35^\circ$, $\gamma = 0,25$

(Aktivní tlak nelze uvažovat - konstrukce je vetknutá do mostovky)

Výpočet vodorovného plošného zatížení působící na poprsní zeď od nahodilého zatížení LM3

Úhel vnitřního tření	$\varphi =$	35 °
Tíha zeminy	$\gamma_z =$	20,0 kN/m³
Plošné zatížení za poprsní zídou $q_{eqLM3} =$		46,88 kN/m²
Náhradní výška zídky	$H_N = q_{eq} / \gamma_z =$	46,88 / 20,0 = 2,344 m
Součinitel zemního tlaku v klidu	$K_0 = 1 - \sin \varphi =$	1 - sin 35,0° = 0,427 -
Vodorovné zatížení zídky	$q_{eqLM3}' = \gamma_z * H_N * K_0 =$	20,0 * 2,344 * 0,427 = 20,00 kN/m²

3.4.7 Vodorovné zatížení mostovky rozjezdovými a brzdnými silami

Výpočet vodorovného zatížení na mostovce od rozjezdových a brzdných sil u modelu zatížení LM1

Regulační součinitel pro dvounápravu	$\alpha_{Q1} =$	1,00 -
Dvounáprava (TS) - zatížení na nápravu	$Q_{1k} =$	300,00 kN
Regulační součinitel pro plošné zatížení	$\alpha_{q1} =$	1,00 -
Plošné zatížení (UDL)	$q_{1k} =$	9,00 kN/m²
Šířka jízdního pruhu	$w_1 =$	3,000 m
Délka nosné konstrukce	$L =$	6,700 m
Šířka nosné konstrukce	$B =$	9,150 m
Maximální velikost brzdných sil	$Q_{1k,max} =$	900,00 kN
Minimální velikost brzdných sil	$Q_{1k,min} = \alpha_{Q1} * 180,00 =$	180,00 kN
Vodorovné zat. mostovky od brzdných sil	$Q_{1k} = 0,6 * \alpha_{Q1} * (2 * Q_{1k}) + 0,10 * \alpha_{q1} * q_{1k} * w_1 * L =$	378,09 kN
Vodorovné zat. mostovky od brzdných sil	$Q_{1k} =$	378,09 kN
Vodorovné zat. mostovky od brzdných sil	$q_{1k} = Q_{1k} / (L * B) =$	6,17 kN/m²
Pozn. - Rozjezdové a brzdné síly mají stejnou velikost pouze opačný směr		

Výpočet vodorovného zatížení na mostovce od rozjezdových a brzdných sil u modelu zatížení LM3

Tíha zvláštního vozidla v pruhu 1	$Q_{LM3} =$	900,00 kN
Regulační souč. pro plošné zat. LM1	$\alpha_{q2} =$	0,00 -

Plošné zatížení LM1 (UDL) (pokud působí)	$q_{2k} =$	0,00 kN/m ²
Šířka jízdního pruhu 2 (pokud působí LM1)	$w_z =$	0,000 m
Délka nosné konstrukce	$L =$	6,700 m
Šířka nosné konstrukce	$B =$	9,150 m
Maximální velikost brzdných sil	$Q_{k, max} =$	600,00 kN
Minimální velikost brzdných sil	$Q_{k, min} =$	180,00 kN
Vodorovné zat. mostovky od brzdných sil	$Q_k = 0,6 \cdot Q_{LM3} + 0,10 \cdot \alpha_{q2} \cdot q_{2k} \cdot w_l \cdot L =$	540,00 kN
Vodorovné zat. mostovky od brzdných sil	$Q_k =$	540,00 kN
Vodorovné zat. mostovky od brzdných sil	$q_k = Q_k / (L \cdot B) =$	8,81 kN/m ²
Pozn. - Rozjezdové a brzdné síly mají stejnou velikost pouze opačný směr		

3.4.8 Vodorovné zatížení mostovky příčnými silami

Příčné odstředivé síly od vozidel - nevznikají (most je v přímé).

Příčné síly od smyku vozidel u modelu zatížení LM1

Vodorovné zat. mostovky od smykových sil	$Q_{trk} = 0,25 \cdot Q_{ik} =$	94,52	kN
Vodorovné zat. mostovky od smykových sil	$q_{trk} = 0,25 \cdot q_{ik} =$	1,54	kN/m ²

Příčné síly od smyku vozidel u modelu zatížení LM3

Vodorovné zat. mostovky od smykových sil	$Q_{trk} = 0,25 \cdot Q_{ik} =$	135,00	kN
Vodorovné zat. mostovky od smykových sil	$q_{trk} = 0,25 \cdot q_{ik} =$	2,20	kN/m ²

3.4.9 Zatížení chodníku

Výpočet plošného zatížení od rovnoměrného zatížení davem lidí

Umístění	q _k [kN/m ²]	Roznos v podél. směru [m]	Roznos v příč. směru [m]	Plošné zat. [kN/m ²]
Na pruhu pod chodníkem	5,00	0,000	0,000	5,00
Pozn. - V tabulce jsou uvedeny charakteristické hodnoty zatížení včetně dynamického součinitele				
Pozn. - Doporučená kombinační hodnota 3,00kN/m ²				

Výpočet vodorovného plošného zatížení působící na poprsní zídku od zatížení chodníku

Úhel vnitřního tření	φ =	35	°
Tíha zeminy	γ _z =	20,0	kN/m ³
Plošné zatížení za zídkou	q _{eqLM1} =	5,00	kN/m ²
Náhradní výška zídky	H _N = q _{eq1} / γ _z =	5,00 / 20,0 =	0,250 m
Součinitel zemního tlaku v klidu	K ₀ = 1 - sinφ =	1 - sin 35,0° =	0,427 -
Vodorovné zat. Zídky	$q_{eqLM1}' = \gamma_z \cdot H_N \cdot K_0 =$	20,0 * 0,250 * 0,427 =	2,13 kN/m ²

3.5. ZATÍŽENÍ OPĚR SILNIČNÍ DOPRAVOU

3.5.1 Zatížení opěr modelem zatížení LM1

Plošné zatížení za opěrami od modelu zatížení LM1

Umístění	Dvounáprava (TS) - zatížení na nápravu	Rovnom. zatížení (UDL)	Náhradní roznášecí plocha		Regulační součinitele Skupina 1		Svislé přetížení opěr od TS	Svislé přetížení opěr od UDL
	Q _{ik} [kN]	q _{ik} [kN/m ²]	[m]	[m]	α _o	α _q	q _{eqTS} [kN/m ²]	q _{eqUDL} [kN/m ²]
Pruh 1	300	9,00	3,00	5,00	1,00	1,00	40,00	9,00
Pruh 2	200	2,50	3,00	5,00	1,00	2,40	26,67	6,00
Pozn. - V tabulce jsou uvedeny charakteristické hodnoty zatížení včetně dynamického součinitele								
Pozn. - Zatížení dvounáprav (TS) působí společně s plošným zatížením (UDL)								

Uvažujeme zemní tlak v klidu při náhradním úhlu vnitřního tření φ = **35°**, **v =0,25**

(Aktivní tlak nelze uvažovat - konstrukce je rozepřená mostovkou)

Výpočet vodorovného plošného zatížení působící na opěru 01, resp. 02 od nahodilého zatížení TS v Pruhu 1

Úhel vnitřního tření	φ =	35	°
Tíha zeminy	γ _z =	20,0	kN/m ³
Plošné zatížení za opěrou	q _{eqLM1} =	40,00	kN/m ²
Náhradní výška opěry	H _N = q _{eq1} / γ _z =	40,00 / 20,0 =	2,000 m
Součinitel zemního tlaku v klidu	K ₀ = 1 - sinφ =	1 - sin 35,0° =	0,427 -
Vodorovné zat. opěry	$q_{eqLM1}' = \gamma_z \cdot H_N \cdot K_0 =$	20,0 * 2,000 * 0,427 =	17,07 kN/m ²

Výpočet vodorovného plošného zatížení působící na opěru 01, resp. 02 od nahodilého zatížení UDL v Pruhu 1

Úhel vnitřního tření	φ =	35	°
Tíha zeminy	γ _z =	20,0	kN/m ³
Plošné zatížení za opěrou	q _{eqLM1} =	9,00	kN/m ²
Náhradní výška opěry	H _N = q _{eq1} / γ _z =	9,00 / 20,0 =	0,450 m
Součinitel zemního tlaku v klidu	K ₀ = 1 - sinφ =	1 - sin 35,0° =	0,427 -
Vodorovné zat. opěry	$q_{eqLM1}' = \gamma_z \cdot H_N \cdot K_0 =$	20,0 * 0,450 * 0,427 =	3,84 kN/m ²

Výpočet vodorovného plošného zatížení působící na opěru 01, resp. 02 od nahodilého zatížení TS v Pruhu 2

Úhel vnitřního tření	φ =	35	°
Tíha zeminy	γ _z =	20,0	kN/m ³
Plošné zatížení za opěrou	q _{eqLM1} =	26,67	kN/m ²
Náhradní výška opěry	H _N = q _{eq1} / γ _z =	26,67 / 20,0 =	1,334 m
Součinitel zemního tlaku v klidu	K ₀ = 1 - sinφ =	1 - sin 35,0° =	0,427 -
Vodorovné zat. opěry	$q_{eqLM1}' = \gamma_z \cdot H_N \cdot K_0 =$	20,0 * 1,334 * 0,427 =	11,38 kN/m ²

Výpočet vodorovného plošného zatížení působící na opěru 01, resp. 02 od nahodilého zatížení UDL v Pruhu 2

Úhel vnitřního tření	$\varphi =$	35 °
Tíha zeminy	$\gamma_z =$	20,0 kN/m³
Plošné zatížení za opěrou	$q_{eqLM1} =$	6,00 kN/m²
Náhradní výška opěry	$H_N = q_{eq1} / \gamma_z =$	6,00 / 20,0 = 0,300 m
Součinitel zemního tlaku v klidu	$K_0 = 1 - \sin\varphi =$	1 - sin 35,0° = 0,427 -
Vodorovné zat. opěry	$q_{eqLM1}' = \gamma_z * H_N * K_0 =$	20,0 * 0,300 * 0,427 = 2,56 kN/m²

Výpočet vodorovného plošného zatížení působící na opěru 01, resp. 02 od nahodilého zatížení UDL v Pruhu r

Úhel vnitřního tření	$\varphi =$	35 °
Tíha zeminy	$\gamma_z =$	20,0 kN/m³
Plošné zatížení za opěrou	$q_{eqLM1} =$	3,00 kN/m²
Náhradní výška opěry	$H_N = q_{eq1} / \gamma_z =$	3,00 / 20,0 = 0,150 m
Součinitel zemního tlaku v klidu	$K_0 = 1 - \sin\varphi =$	1 - sin 35,0° = 0,427 -
Vodorovné zat. opěry	$q_{eqLM1}' = \gamma_z * H_N * K_0 =$	20,0 * 0,150 * 0,427 = 1,28 kN/m²

3.5.2 Zatížení opěr modelem zatížení LM3

Plošné zatížení za opěrami od modelu zatížení LM3

Zvláštní vozidla	Umístění	Celk. Tíha	Dyn. souč. φ	Náhradní roznášecí plocha		Svislé přetížení opěr od LM3
		[kN]		[m]	[m]	q_{eqLM3} [kN/m2]
Dálnice, R-silnice a vybrané Trasy def. MD ČR	Vozidlo je před opěrou samotné Umístěné v ideální stopě	3000	1,05	4,500	19,000	36,84
	Vozidlo je před opěrou umístěné v pruhu č.1. V sousedních pruzích může být LM1 (UDL)	1800	1,25	3,000	14,000	53,57
Silnice I. a. II. Třídy	Vozidlo je před opěrou samotné Umístěné v ideální stopě	1800	1,25	3,000	14,000	53,57
Silnice III. Třídy (skupina 1)	Vozidlo je před opěrou samotné	900	1,25	3,000	8,000	46,88
Pozn. - Pro silnice III. Třídy (skupina 2) a obslužné místní komunikace se zatížení zvláštními vozidly neuvažuje						
Pozn. - Dynamický součinitel se nepoužívá při návrhu masivní spodní stavby a při návrhu založení mostu						

Uvažujeme zemní tlak v klidu při náhradním úhlu vnitřního tření $\varphi = 35^\circ$, $\nu = 0,25$

(Aktivní tlak nelze uvažovat - konstrukce je rozepřená mostovkou)

Výpočet vodorovného plošného zatížení působící na opěru 01, resp. 02 od nahodilého zatížení LM3

Úhel vnitřního tření	$\varphi =$	35 °
Tíha zeminy	$\gamma_z =$	20,0 kN/m³
Plošné zatížení za opěrou	$q_{eqLM3} =$	46,88 kN/m²
Náhradní výška opěry	$H_N = q_{eq} / \gamma_z =$	46,88 / 20,0 = 2,344 m
Součinitel zemního tlaku v klidu	$K_0 = 1 - \sin\varphi =$	1 - sin 35,0° = 0,427 -
Vodorovné zat. opěry	$q_{eqLM3}' = \gamma_z * H_N * K_0 =$	20,0 * 2,344 * 0,427 = 20,00 kN/m²

3.6. MIMORÁDNÁ ZATÍŽENÍ

3.6.1 Náraz silničních vozidel do obruby

Náraz vozidel do obruby

Vodorovné zat. k-ce od nárazu	$Q_{ovod} =$	100,00 kN
Výška působení nad hranou křídla	$h_{ovod} =$	0,235 m
Momentové zat. k-ce od nárazu	$M_{ovod} = Q_{ovod} * h_{ovod} =$	23,50 kNm
Pozn. - Vodorovná síla od nárazu vozidel do obruby působí kdekoliv na mostovce na šířce 500mm		

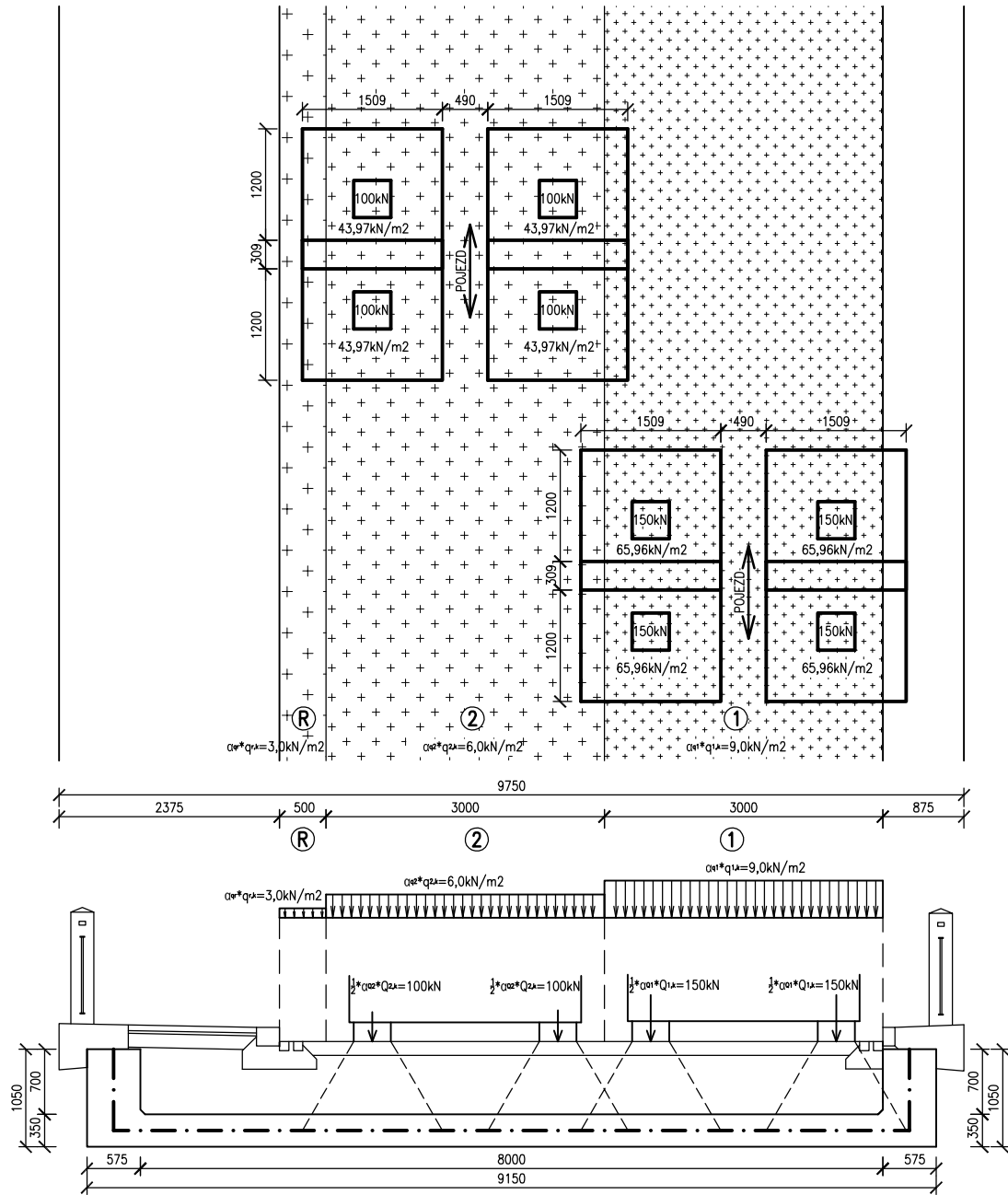
3.6.2 Vozidlo na chodníkové římsce

Výpočet plošného zatížení od kola dvounápravy (TS, pruh 1)

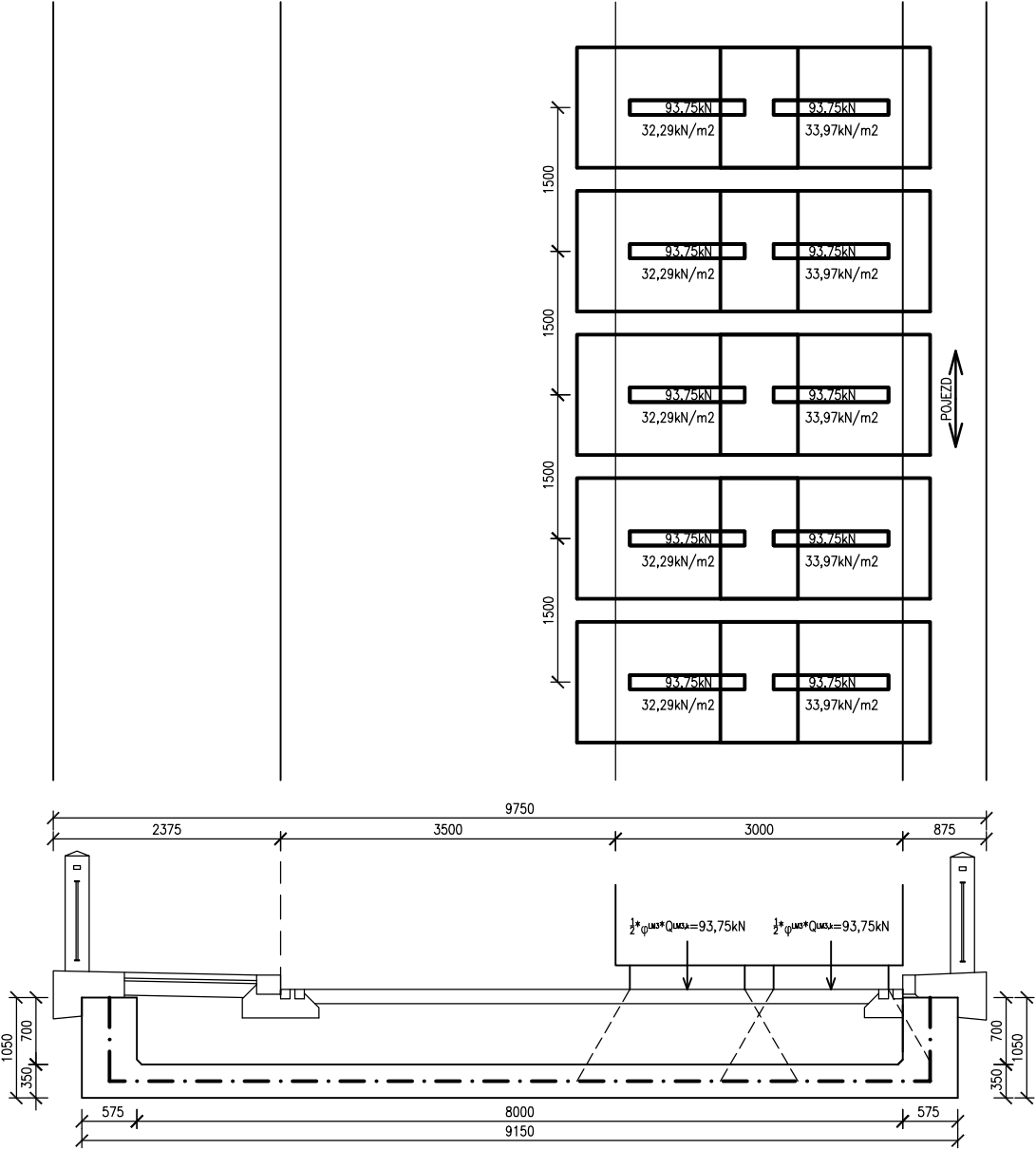
Umístění	Q_k [kN]	α_{Qi}	$Q_k * \alpha_{Qi}$ [kN]	Roznos v podél. směru [m]	Roznos v příč. směru [m]	Plošné zat. [kN/m²]
Chodníková římsa	150,00	1,00	150,00	0,400+2*0,496= 1,39	0,400+496+440= 1,34	80,66

Pozn. - Zatížení sněhem a větrem není rozhodující a není s ním dále uvažováno

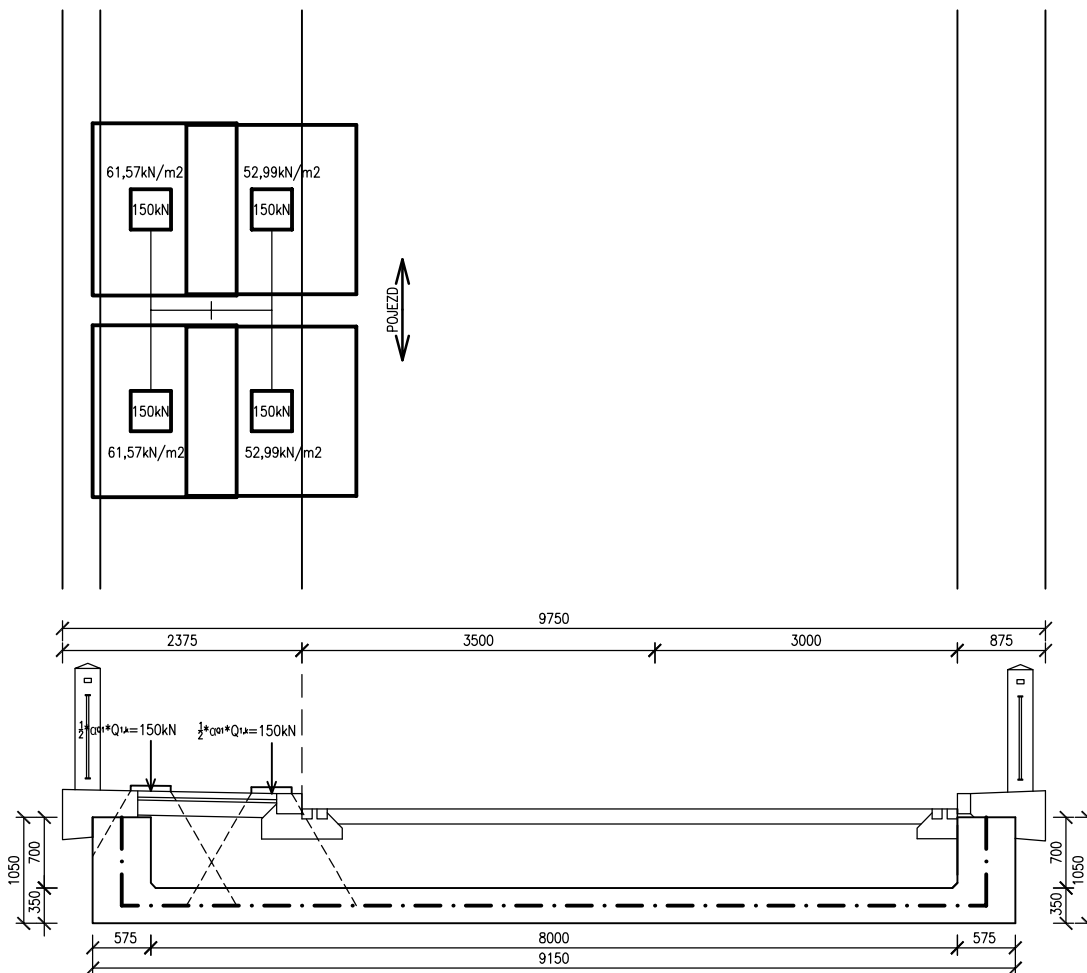
SESTAVA ZATÍŽENÍ DOPRAVOU – GR1A (LM1 (TS+UDL))



SESTAVA ZATÍŽENÍ DOPRAVOU – GR5 (LM3 900/150)



MIMOŘÁDNÉ ZATÍŽENÍ DOPRAVOU – VOZIDLO NA ŘÍMSE



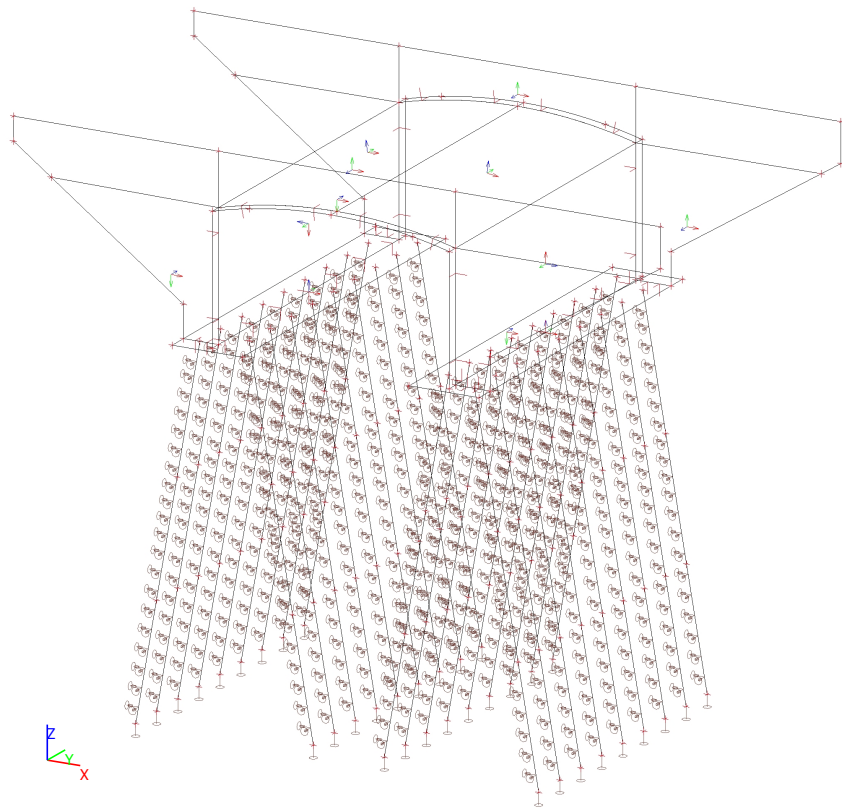
III/33312 ŘÍČANY, MOST EV.Č. 33312-3

SO 201 - MOST EV.Č. 33312-3 PŘES ŘÍČANSKÝ POTOK

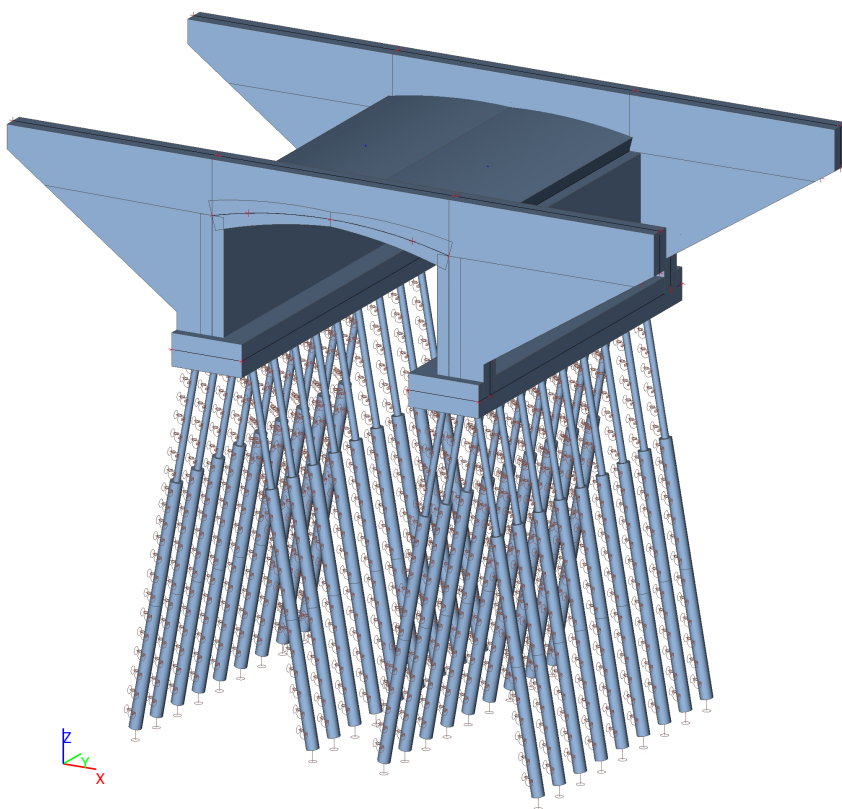
STATICKÝ VÝPOČET

3.3 . VNITŘNÍ SÍLY NA KONSTRUKCI

1. Výpočtový model



2. Výpočtový model

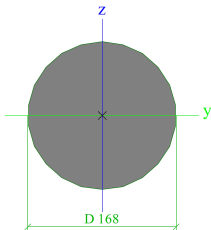
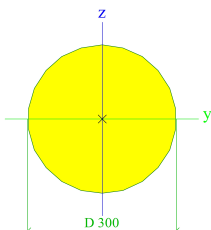


3. Materiály

Beton EN 1992-2

Jméno	Typ	Jednotková hmotnost [kg/m³]	E [MPa]	Poisson - nu	G [MPa]	Tep.roztaž. [m/mK]
C25/30(EN1992-2)	Beton	2500,0	3,1500e+04	0.2	1,3125e+04	0,00
C30/37(EN1992-2) E=16GPa	Beton	2500,0	1,6000e+04	0.2	6,6667e+03	0,00

4. Průřezy

CS1-Kruh d=168mm		
Typ	Kruh	
Detailní	168	
Typ tvaru	Tlustostěnný	
Materiál	C25/30(EN1992-2)	
Výroba	beton	
A [m ²]	2,2167e-02	
A _y [m ²], A _z [m ²]	1,9950e-02	1,9950e-02
A _L [m ² /m], A _D [m ² /m]	5,2776e-01	5,2776e-01
C _{y,UCS} [mm], C _{z,UCS} [mm]	84	84
α [deg]	0,00	
I _y [m ⁴], I _z [m ⁴]	3,9103e-05	3,9103e-05
i _y [mm], i _z [mm]	42	42
W _{el,y} [m ³], W _{el,z} [m ³]	4,6551e-04	4,6551e-04
W _{pl,y} [m ³], W _{pl,z} [m ³]	7,9027e-04	7,9027e-04
M _{pl,y,+} [Nm], M _{pl,y,-} [Nm]	0,00e+00	0,00e+00
M _{pl,z,+} [Nm], M _{pl,z,-} [Nm]	0,00e+00	0,00e+00
d _y [mm], d _z [mm]	0	0
I _t [m ⁴], I _w [m ⁶]	7,8205e-05	0,0000e+00
β _y [mm], β _z [mm]	0	0
Obrázek		
CS2-Kruh d=300mm		
Typ	Kruh	
Detailní	300	
Typ tvaru	Tlustostěnný	
Materiál	C25/30(EN1992-2)	
Výroba	beton	
A [m ²]	7,0686e-02	
A _y [m ²], A _z [m ²]	6,3617e-02	6,3617e-02
A _L [m ² /m], A _D [m ² /m]	9,4243e-01	9,4243e-01
C _{y,UCS} [mm], C _{z,UCS} [mm]	150	150
α [deg]	0,00	
I _y [m ⁴], I _z [m ⁴]	3,9761e-04	3,9761e-04
i _y [mm], i _z [mm]	75	75
W _{el,y} [m ³], W _{el,z} [m ³]	2,6507e-03	2,6507e-03
W _{pl,y} [m ³], W _{pl,z} [m ³]	4,5000e-03	4,5000e-03
M _{pl,y,+} [Nm], M _{pl,y,-} [Nm]	0,00e+00	0,00e+00
M _{pl,z,+} [Nm], M _{pl,z,-} [Nm]	0,00e+00	0,00e+00
d _y [mm], d _z [mm]	0	0
I _t [m ⁴], I _w [m ⁶]	7,9522e-04	0,0000e+00
β _y [mm], β _z [mm]	0	0
Obrázek		

Vysvětlivky symbolů	
A	Plocha
A _y	Smyková plocha ve směru hlavní osy y
A _z	Smyková plocha ve směru hlavní osy z
A _L	Obvodový povrch na jednotku délky
A _D	Vysýchající povrch na jednotku délky
C _{y,UCS}	Souřadnice těžiště ve směru osy Y zadávacího systému
C _{z,UCS}	Souřadnice těžiště ve směru osy Z zadávacího systému
I _{y,LCS}	Moment setrvačnosti kolem osy YLSS
I _{z,LCS}	Moment setrvačnosti kolem osy ZLSS
I _{yz,LCS}	Moment setrvačnosti I _{yz} v LSS
α	Úhel pootočení hlavní osy
I _y	Moment setrvačnosti kolem hlavní osy y
I _z	Moment setrvačnosti kolem hlavní osy z

Vysvětlivky symbolů	
z	
i _y	Poloměr setrvačnosti kolem hlavní osy y
i _z	Poloměr setrvačnosti kolem hlavní osy z
W _{el,y}	Pružný modul průřezu k hlavní ose y
W _{el,z}	Pružný modul průřezu k hlavní ose z
W _{pl,y}	Plastický modul průřezu k hlavní ose y
W _{pl,z}	Plastický modul průřezu k hlavní ose z
M _{pl,y,+}	Plastický moment kolem hlavní osy y pro kladný moment M _y
M _{pl,y,-}	Plastický moment kolem hlavní osy y pro záporný moment M _y
M _{pl,z,+}	Plastický moment kolem hlavní osy z pro kladný moment M _z
M _{pl,z,-}	Plastický moment kolem hlavní osy z pro záporný moment M _z

Vysvětlivky symbolů	
d_y	Souřadnice středu smyku ve směru hlavní osy y měřená od těžiště - Nespočteno nebo zjednodušeno
d_z	Souřadnice středu smyku ve směru hlavní osy z měřená od těžiště - Nespočteno nebo zjednodušeno
I_t	Moment setrvačnosti v prostém kroucení - Nespočteno nebo zjednodušeno

Vysvětlivky symbolů	
I_w	Výsečový moment setrvačnosti - Nespočteno nebo zjednodušeno
β_y	Mono-symetrická konstanta kolem hlavní osy y
β_z	Mono-symetrická konstanta kolem hlavní osy z

5. Zatěžovací stavy

Jméno	Popis	Typ působení	Skupina zatížení	Směr	Působení	Řídící zat. stav
	Spec	Typ zatížení				
LC1	VLASTNÍ TÍHA	Stálé	STÁLÉ	-Z		
		Vlastní tíha				
LC2	OST.STÁLÉ	Stálé	STÁLÉ			
		Standard				
LC4	SMRŠTOVÁNÍ	Stálé	STÁLÉ			
		Standard				
LC6	ZÁSYP ZA OPĚRAMI	Stálé	STÁLÉ			
		Standard				
LC7	POKLES OPĚRY O1	Proměnné	POKLES PODPOR		Dlouhodobé	Žádný
	Standard	Statické				
LC8	POKLES OPĚRY O2	Proměnné	POKLES PODPOR		Dlouhodobé	Žádný
	Standard	Statické				
LC9	HUTNĚNÍ ZA OPĚROU O1	Proměnné	HUTNĚNÍ		Krátkodobé	Žádný
	Standard	Statické				
LC10	HUTNĚNÍ ZA OPĚROU O2	Proměnné	HUTNĚNÍ		Krátkodobé	Žádný
	Standard	Statické				
LC11	ROVN.TEPL.-OCHLAZENÍ	Proměnné	TEPLOTA ROVNOMĚRNÁ			Žádný
	Teplota	Statické				
LC12	ROVN.TEPL.-OTEPLENÍ	Proměnné	TEPLOTA ROVNOMĚRNÁ			Žádný
	Teplota	Statické				
LC13	NEROVN.TEPL.-OCHLAZENÍ	Proměnné	TEPLOTA NEROVNOMĚRNÁ			Žádný
	Teplota	Statické				
LC14	NEROVN.TEPL.-OTEPLENÍ	Proměnné	TEPLOTA NEROVNOMĚRNÁ			Žádný
	Teplota	Statické				
LC15	LM1/TS10,000 m	Proměnné	LM1_TS1		Krátkodobé	Žádný
	Standard	Statické				
LC16	LM1/TS10,500 m	Proměnné	LM1_TS1		Krátkodobé	Žádný
	Standard	Statické				
LC17	LM1/TS11,000 m	Proměnné	LM1_TS1		Krátkodobé	Žádný
	Standard	Statické				
LC18	LM1/TS11,500 m	Proměnné	LM1_TS1		Krátkodobé	Žádný
	Standard	Statické				
LC19	LM1/TS12,000 m	Proměnné	LM1_TS1		Krátkodobé	Žádný
	Standard	Statické				
LC20	LM1/TS12,500 m	Proměnné	LM1_TS1		Krátkodobé	Žádný
	Standard	Statické				
LC21	LM1/TS13,000 m	Proměnné	LM1_TS1		Krátkodobé	Žádný
	Standard	Statické				
LC22	LM1/TS13,500 m	Proměnné	LM1_TS1		Krátkodobé	Žádný
	Standard	Statické				
LC23	LM1/TS14,000 m	Proměnné	LM1_TS1		Krátkodobé	Žádný
	Standard	Statické				
LC24	LM1/TS14,500 m	Proměnné	LM1_TS1		Krátkodobé	Žádný
	Standard	Statické				
LC25	LM1/TS15,000 m	Proměnné	LM1_TS1		Krátkodobé	Žádný
	Standard	Statické				
LC26	LM1/TS15,500 m	Proměnné	LM1_TS1		Krátkodobé	Žádný
	Standard	Statické				
LC27	LM1/TS16,000 m	Proměnné	LM1_TS1		Krátkodobé	Žádný
	Standard	Statické				
LC28	LM1/TS16,500 m	Proměnné	LM1_TS1		Krátkodobé	Žádný
	Standard	Statické				
LC29	LM1/TS20,000 m	Proměnné	LM1_TS2		Krátkodobé	Žádný
	Standard	Statické				
LC30	LM1/TS20,500 m	Proměnné	LM1_TS2		Krátkodobé	Žádný
	Standard	Statické				
LC31	LM1/TS21,000 m	Proměnné	LM1_TS2		Krátkodobé	Žádný
	Standard	Statické				

Jméno	Popis	Typ působení	Skupina zatížení	Směr	Působení	Řídící zat. stav
	Spec	Typ zatížení				
LC32	LM1/TS21,500 m Standard	Proměnné Statické	LM1_TS2		Krátkodobé	Žádný
LC33	LM1/TS22,000 m Standard	Proměnné Statické	LM1_TS2		Krátkodobé	Žádný
LC34	LM1/TS22,500 m Standard	Proměnné Statické	LM1_TS2		Krátkodobé	Žádný
LC35	LM1/TS23,000 m Standard	Proměnné Statické	LM1_TS2		Krátkodobé	Žádný
LC36	LM1/TS23,500 m Standard	Proměnné Statické	LM1_TS2		Krátkodobé	Žádný
LC37	LM1/TS24,000 m Standard	Proměnné Statické	LM1_TS2		Krátkodobé	Žádný
LC38	LM1/TS24,500 m Standard	Proměnné Statické	LM1_TS2		Krátkodobé	Žádný
LC39	LM1/TS25,000 m Standard	Proměnné Statické	LM1_TS2		Krátkodobé	Žádný
LC40	LM1/TS25,500 m Standard	Proměnné Statické	LM1_TS2		Krátkodobé	Žádný
LC41	LM1/TS26,000 m Standard	Proměnné Statické	LM1_TS2		Krátkodobé	Žádný
LC42	LM1/TS26,500 m Standard	Proměnné Statické	LM1_TS2		Krátkodobé	Žádný
LC43	LM1_UDL1 Standard	Proměnné Statické	LM1_UDL		Krátkodobé	Žádný
LC44	LM1_UDL2 Standard	Proměnné Statické	LM1_UDL		Krátkodobé	Žádný
LC45	LM1_UDLr Standard	Proměnné Statické	LM1_UDL		Krátkodobé	Žádný
LC46	LM3_0,000 m Standard	Proměnné Statické	LM3		Krátkodobé	Žádný
LC47	LM3_0,500 m Standard	Proměnné Statické	LM3		Krátkodobé	Žádný
LC48	LM3_1,000 m Standard	Proměnné Statické	LM3		Krátkodobé	Žádný
LC49	LM3_1,500 m Standard	Proměnné Statické	LM3		Krátkodobé	Žádný
LC50	LM3_2,000 m Standard	Proměnné Statické	LM3		Krátkodobé	Žádný
LC51	LM3_2,500 m Standard	Proměnné Statické	LM3		Krátkodobé	Žádný
LC52	LM3_3,000 m Standard	Proměnné Statické	LM3		Krátkodobé	Žádný
LC53	LM3_3,500 m Standard	Proměnné Statické	LM3		Krátkodobé	Žádný
LC54	LM3_4,000 m Standard	Proměnné Statické	LM3		Krátkodobé	Žádný
LC55	LM3_4,500 m Standard	Proměnné Statické	LM3		Krátkodobé	Žádný
LC56	LM3_5,000 m Standard	Proměnné Statické	LM3		Krátkodobé	Žádný
LC57	LM3_5,500 m Standard	Proměnné Statické	LM3		Krátkodobé	Žádný
LC58	LM3_6,000 m Standard	Proměnné Statické	LM3		Krátkodobé	Žádný
LC59	LM3_6,500 m Standard	Proměnné Statické	LM3		Krátkodobé	Žádný
LC60	LM3_7,000 m Standard	Proměnné Statické	LM3		Krátkodobé	Žádný
LC61	LM3_7,500 m Standard	Proměnné Statické	LM3		Krátkodobé	Žádný
LC62	LM3_8,000 m Standard	Proměnné Statické	LM3		Krátkodobé	Žádný
LC63	LM3_8,500 m Standard	Proměnné Statické	LM3		Krátkodobé	Žádný
LC64	LM3_9,000 m Standard	Proměnné Statické	LM3		Krátkodobé	Žádný
LC65	LM3_9,500 m Standard	Proměnné Statické	LM3		Krátkodobé	Žádný
LC66	LM3_10,000 m Standard	Proměnné Statické	LM3		Krátkodobé	Žádný
LC67	LM3_10,500 m Standard	Proměnné Statické	LM3		Krátkodobé	Žádný
LC68	LM3_11,000 m Standard	Proměnné Statické	LM3		Krátkodobé	Žádný
LC69	LM3_11,500 m	Proměnné	LM3		Krátkodobé	Žádný

Jméno	Popis	Typ působení	Skupina zatížení	Směr	Působení	Řídící zat. stav
	Spec	Typ zatížení				
	Standard	Statické				
LC70	LM3_12,000 m	Proměnné	LM3		Krátkodobé	Žádný
	Standard	Statické				
LC71	LM3_12,500 m	Proměnné	LM3		Krátkodobé	Žádný
	Standard	Statické				
LC72	LM3_13,000 m	Proměnné	LM3		Krátkodobé	Žádný
	Standard	Statické				
LC73	LM3_13,500 m	Proměnné	LM3		Krátkodobé	Žádný
	Standard	Statické				
LC74	LM3_14,000 m	Proměnné	LM3		Krátkodobé	Žádný
	Standard	Statické				
LC75	LM3_14,500 m	Proměnné	LM3		Krátkodobé	Žádný
	Standard	Statické				
LC76	LM3_15,000 m	Proměnné	LM3		Krátkodobé	Žádný
	Standard	Statické				
LC77	LM1_ROZJEZDOVÉ SÍLY	Proměnné	LM1_ROZJEZD X BRZDĚNÍ		Krátkodobé	Žádný
	Standard	Statické				
LC78	LM1_BRZDNÉ SÍLY	Proměnné	LM1_ROZJEZD X BRZDĚNÍ		Krátkodobé	Žádný
	Standard	Statické				
LC79	LM3_ROZJEZDOVÉ SÍLY	Proměnné	LM3_ROZJEZD X BRZDĚNÍ		Krátkodobé	Žádný
	Standard	Statické				
LC80	LM3_BRZDNÉ SÍLY	Proměnné	LM3_ROZJEZD X BRZDĚNÍ		Krátkodobé	Žádný
	Standard	Statické				
LC81	LM1_SMYK 1	Proměnné	LM1_PŘÍČNÉ SÍLY		Krátkodobé	Žádný
	Standard	Statické				
LC82	LM1_SMYK 2	Proměnné	LM1_PŘÍČNÉ SÍLY		Krátkodobé	Žádný
	Standard	Statické				
LC83	LM3_SMYK 1	Proměnné	LM3_PŘÍČNÉ SÍLY		Krátkodobé	Žádný
	Standard	Statické				
LC84	LM3_SMYK 2	Proměnné	LM3_PŘÍČNÉ SÍLY		Krátkodobé	Žádný
	Standard	Statické				
LC85	LM1_TS1 ZA OPĚROU O1	Proměnné	LM1_TS1 ZA OPĚRAMI		Krátkodobé	Žádný
	Standard	Statické				
LC86	LM1_TS2 ZA OPĚROU O1	Proměnné	LM1_TS2 ZA OPĚRAMI		Krátkodobé	Žádný
	Standard	Statické				
LC87	LM1_TS1 ZA OPĚROU O2	Proměnné	LM1_TS1 ZA OPĚRAMI		Krátkodobé	Žádný
	Standard	Statické				
LC88	LM1_TS2 ZA OPĚROU O2	Proměnné	LM1_TS2 ZA OPĚRAMI		Krátkodobé	Žádný
	Standard	Statické				
LC89	LM1_UDL1 ZA OPĚROU O1	Proměnné	LM1_UDL ZA OPĚRAMI		Krátkodobé	Žádný
	Standard	Statické				
LC90	LM1_UDL2 ZA OPĚROU O1	Proměnné	LM1_UDL ZA OPĚRAMI		Krátkodobé	Žádný
	Standard	Statické				
LC91	LM1_UDLr ZA OPĚROU O1	Proměnné	LM1_UDL ZA OPĚRAMI		Krátkodobé	Žádný
	Standard	Statické				
LC92	LM1_UDL1 ZA OPĚROU O2	Proměnné	LM1_UDL ZA OPĚRAMI		Krátkodobé	Žádný
	Standard	Statické				
LC93	LM1_UDL2 ZA OPĚROU O2	Proměnné	LM1_UDL ZA OPĚRAMI		Krátkodobé	Žádný
	Standard	Statické				
LC94	LM1_UDLr ZA OPĚROU O2	Proměnné	LM1_UDL ZA OPĚRAMI		Krátkodobé	Žádný
	Standard	Statické				
LC95	LM3_ZA OPĚROU O1	Proměnné	LM3_ZA OPĚRAMI		Krátkodobé	Žádný
	Standard	Statické				
LC96	LM3_ZA OPĚROU O2	Proměnné	LM3_ZA OPĚRAMI		Krátkodobé	Žádný
	Standard	Statické				
LC97	CHODCI	Proměnné	CHODCI		Krátkodobé	Žádný
	Standard	Statické				
LC98	NÁRAZ DO KŘÍDLA O1P	Proměnné	NÁRAZ DO OBRUBY		Krátkodobé	Žádný
	Standard	Statické				
LC99	NÁRAZ DO KŘÍDLA	Proměnné	NÁRAZ DO		Krátkodobé	Žádný

Jméno	Popis	Typ působení	Skupina zatížení	Směr	Působení	Řídicí zat. stav
	Spec	Typ zatížení				
	O1P-OPĚRA TS1		OBRUBY-OPĚRY TS			
	Standard	Statické				
LC100	NÁRAZ DO KŘÍDLA O1L	Proměnné	NÁRAZ DO OBRUBY		Krátkodobé	Žádný
	Standard	Statické				
LC101	NÁRAZ DO KŘÍDLA O1L-OPĚRA TS1	Proměnné	NÁRAZ DO OBRUBY-OPĚRY TS		Krátkodobé	Žádný
	Standard	Statické				
LC102	NÁRAZ DO KŘÍDLA O2P	Proměnné	NÁRAZ DO OBRUBY		Krátkodobé	Žádný
	Standard	Statické				
LC103	NÁRAZ DO KŘÍDLA O2P-OPĚRA TS1	Proměnné	NÁRAZ DO OBRUBY-OPĚRY TS		Krátkodobé	Žádný
	Standard	Statické				
LC104	NÁRAZ DO KŘÍDLA O2L	Proměnné	NÁRAZ DO OBRUBY		Krátkodobé	Žádný
	Standard	Statické				
LC105	NÁRAZ DO KŘÍDLA O2L-OPĚRA TS1	Proměnné	NÁRAZ DO OBRUBY-OPĚRY TS		Krátkodobé	Žádný
	Standard	Statické				
LC106	MIM_0,000 m	Proměnné	VOZIDLO NA ŘÍMSE		Krátkodobé	Žádný
	Standard	Statické				
LC107	MIM_0,500 m	Proměnné	VOZIDLO NA ŘÍMSE		Krátkodobé	Žádný
	Standard	Statické				
LC108	MIM_1,000 m	Proměnné	VOZIDLO NA ŘÍMSE		Krátkodobé	Žádný
	Standard	Statické				
LC109	MIM_1,500 m	Proměnné	VOZIDLO NA ŘÍMSE		Krátkodobé	Žádný
	Standard	Statické				
LC110	MIM_2,000 m	Proměnné	VOZIDLO NA ŘÍMSE		Krátkodobé	Žádný
	Standard	Statické				
LC111	MIM_2,500 m	Proměnné	VOZIDLO NA ŘÍMSE		Krátkodobé	Žádný
	Standard	Statické				
LC112	MIM_3,000 m	Proměnné	VOZIDLO NA ŘÍMSE		Krátkodobé	Žádný
	Standard	Statické				
LC113	MIM_3,500 m	Proměnné	VOZIDLO NA ŘÍMSE		Krátkodobé	Žádný
	Standard	Statické				
LC114	MIM_4,000 m	Proměnné	VOZIDLO NA ŘÍMSE		Krátkodobé	Žádný
	Standard	Statické				
LC115	MIM_4,500 m	Proměnné	VOZIDLO NA ŘÍMSE		Krátkodobé	Žádný
	Standard	Statické				
LC116	MIM_5,000 m	Proměnné	VOZIDLO NA ŘÍMSE		Krátkodobé	Žádný
	Standard	Statické				
LC117	MIM_5,500 m	Proměnné	VOZIDLO NA ŘÍMSE		Krátkodobé	Žádný
	Standard	Statické				
LC118	MIM_6,000 m	Proměnné	VOZIDLO NA ŘÍMSE		Krátkodobé	Žádný
	Standard	Statické				
LC119	MIM_6,500 m	Proměnné	VOZIDLO NA ŘÍMSE		Krátkodobé	Žádný
	Standard	Statické				
LC120	VOZIDLO NA ŘÍMSE-OPĚRA O1	Proměnné	VOZIDLO NA ŘÍMSE-OPĚRY		Krátkodobé	Žádný
	Standard	Statické				
LC121	VOZIDLO NA ŘÍMSE-OPĚRA O2	Proměnné	VOZIDLO NA ŘÍMSE-OPĚRY		Krátkodobé	Žádný
	Standard	Statické				

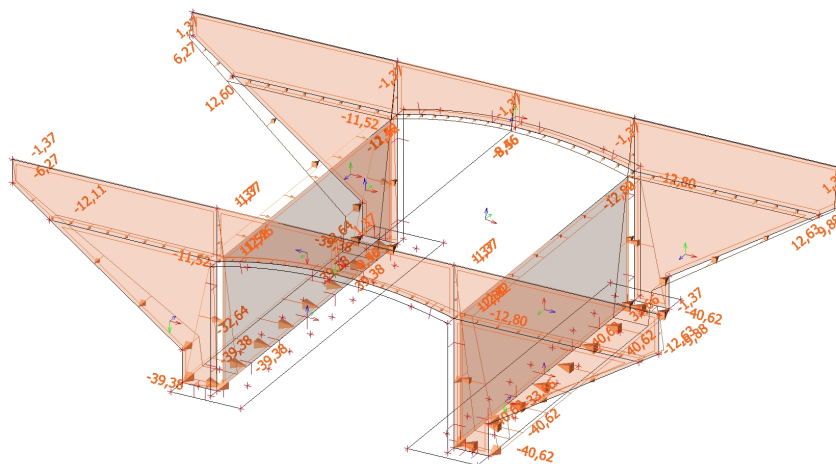
6. LC2 / Hodnota pro výpočet



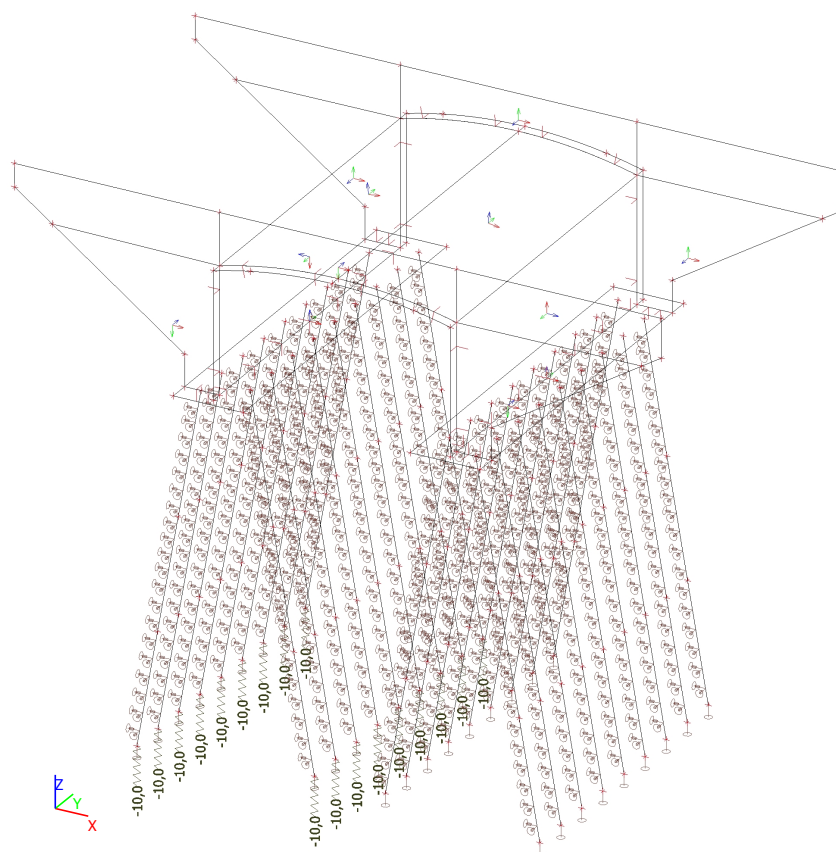
7. LC4 / Hodnota pro výpočet



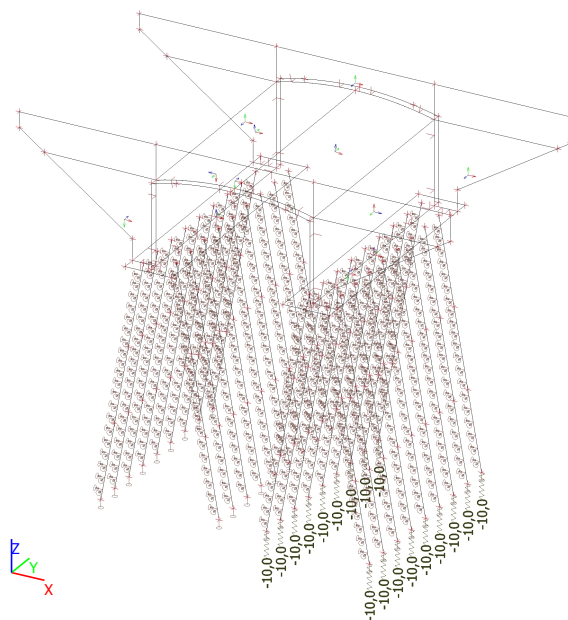
8. LC6 / Hodnota pro výpočet



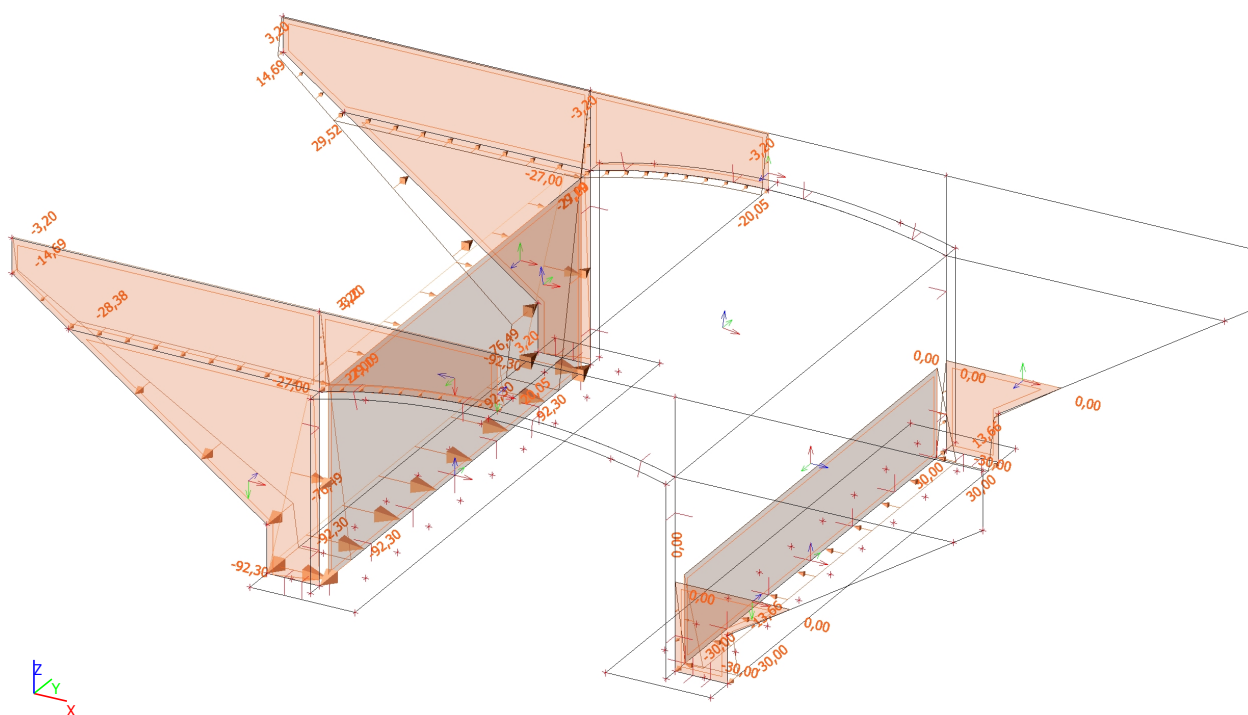
9. LC7 / Hodnota pro výpočet



10. LC8 / Hodnota pro výpočet



11. LC9 / Hodnota pro výpočet



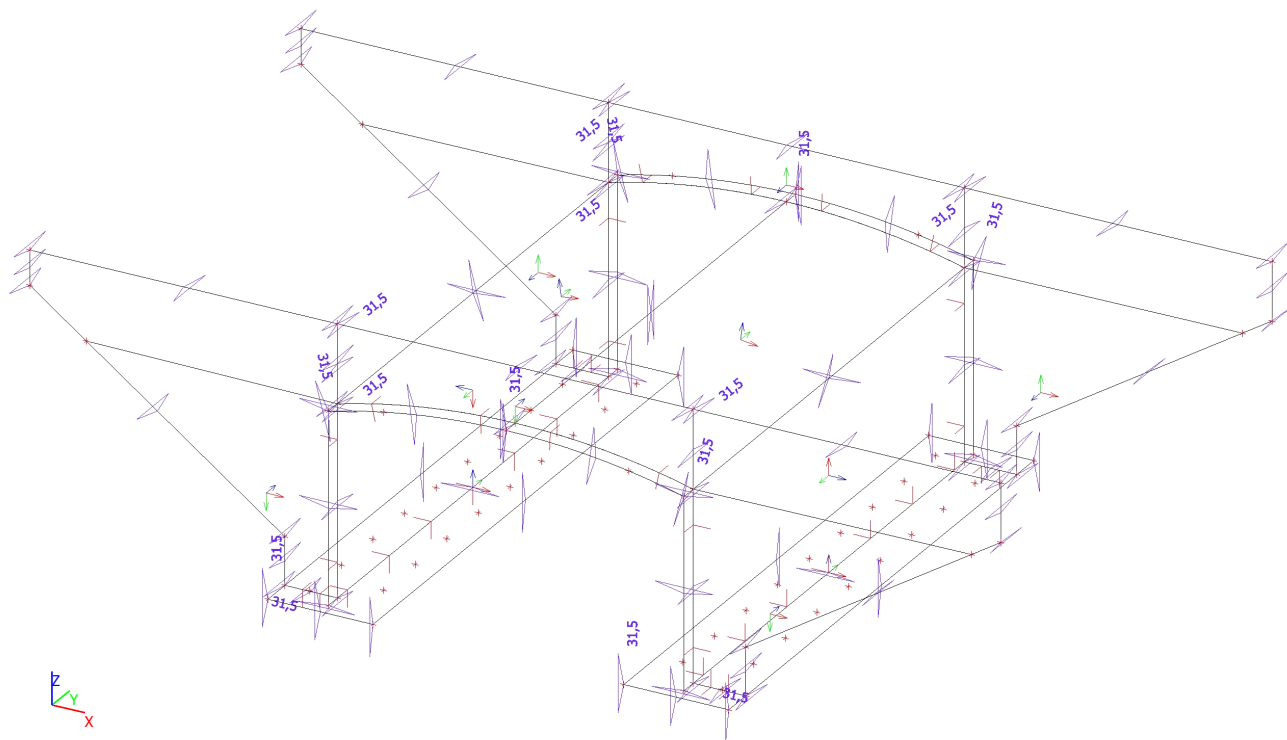
12. LC10 / Hodnota pro výpočet



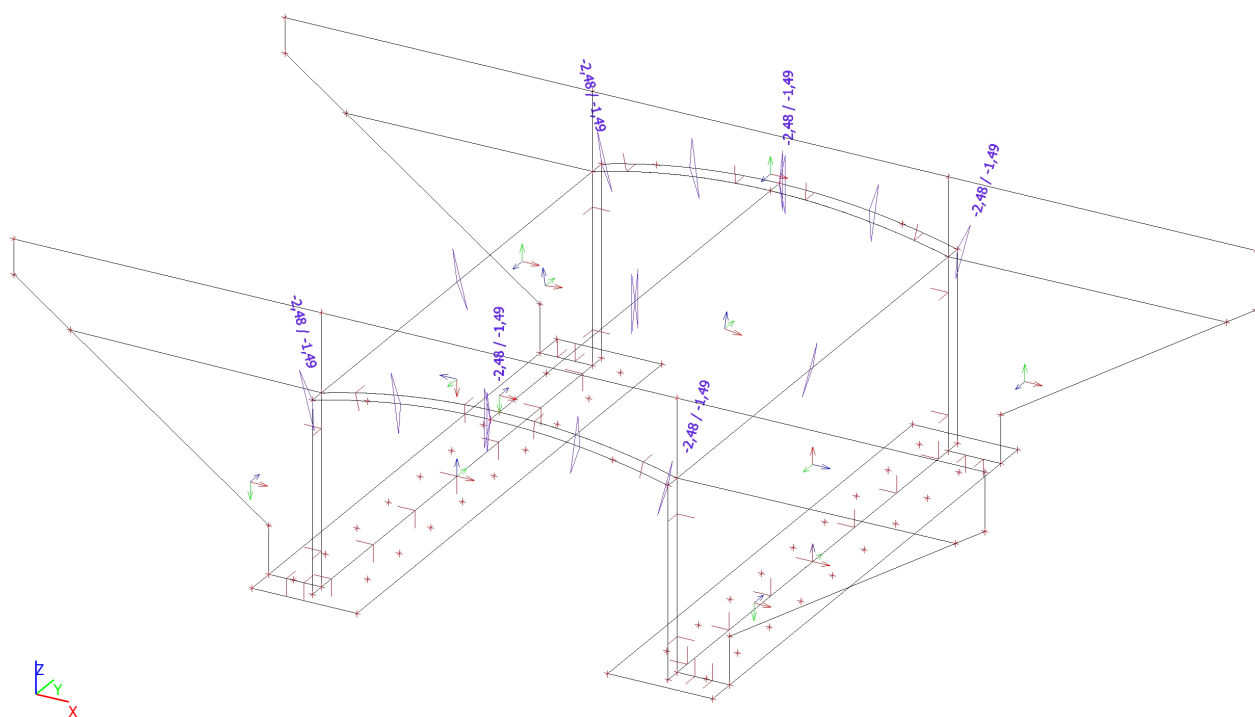
13. LC11 / Hodnota pro výpočet



14. LC12 / Hodnota pro výpočet



15. LC13 / Hodnota pro výpočet



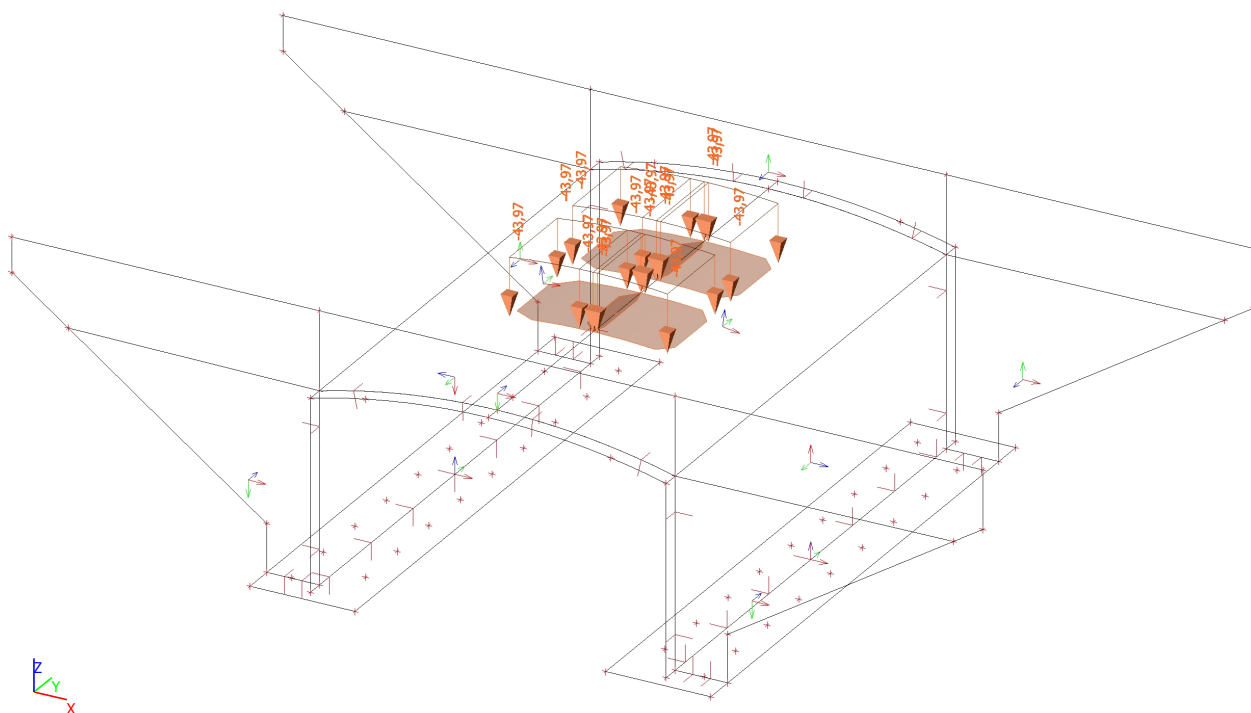
16. LC14 / Hodnota pro výpočet



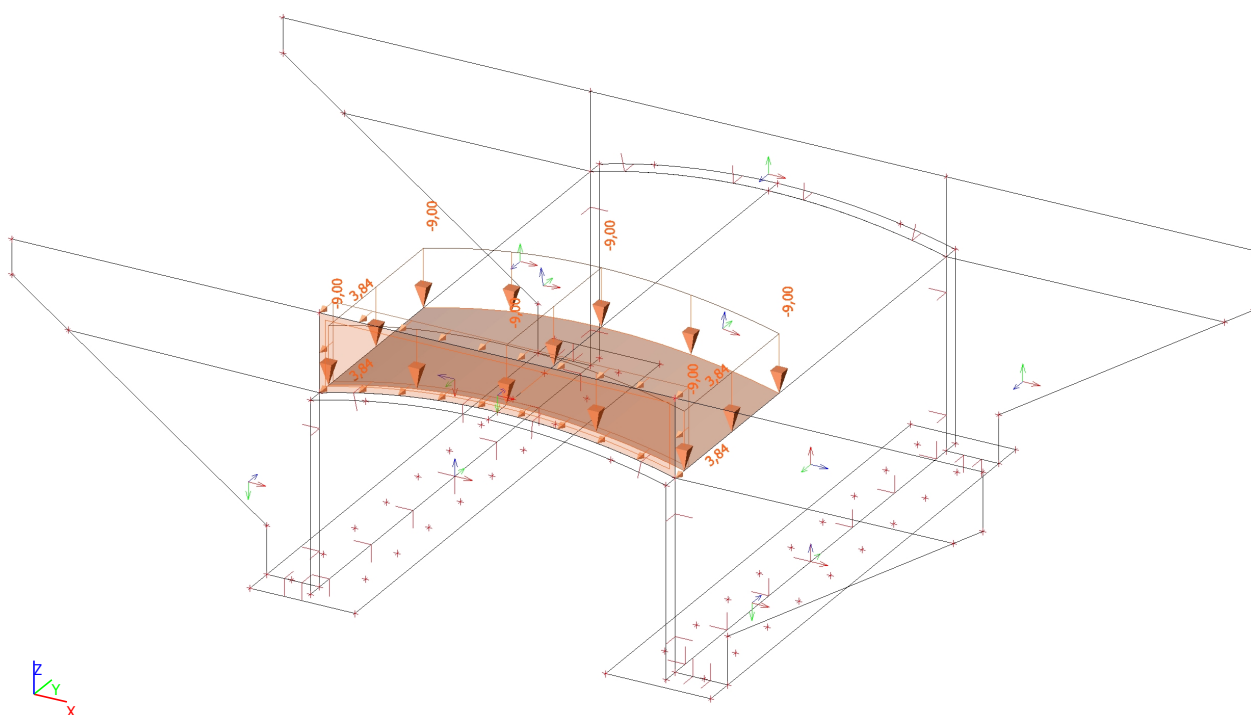
17. LC21 / Hodnota pro výpočet



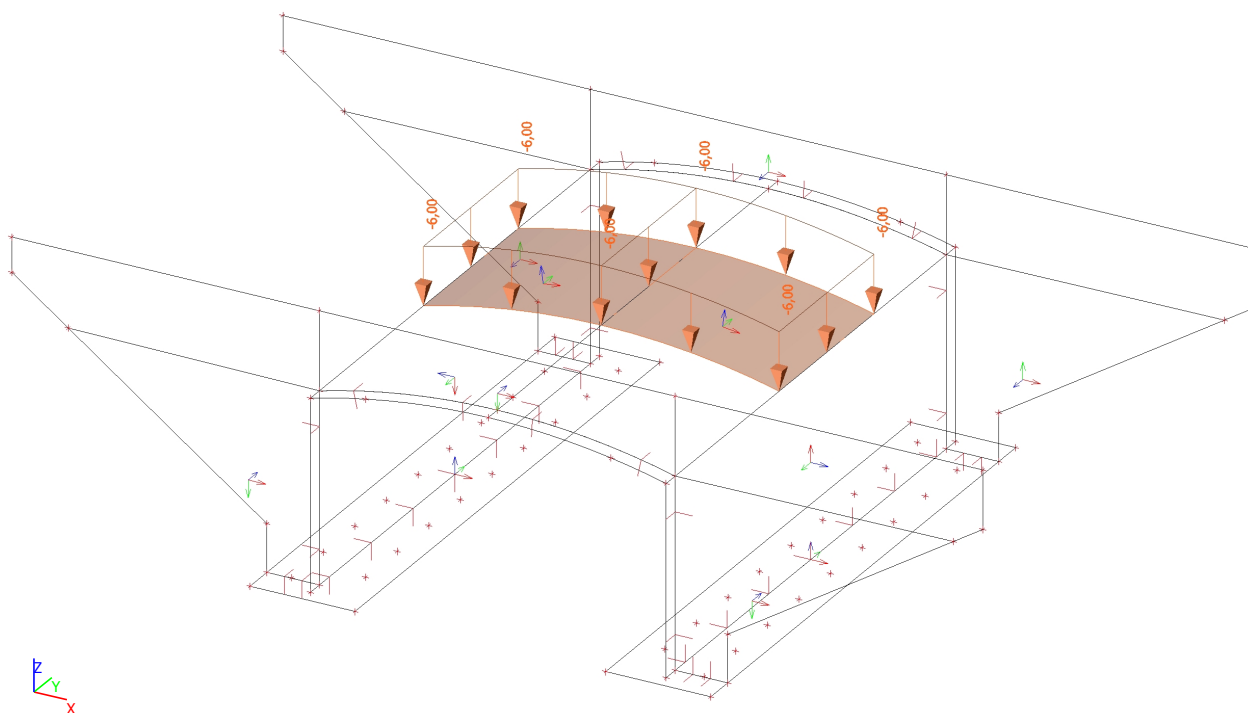
18. LC35 / Hodnota pro výpočet



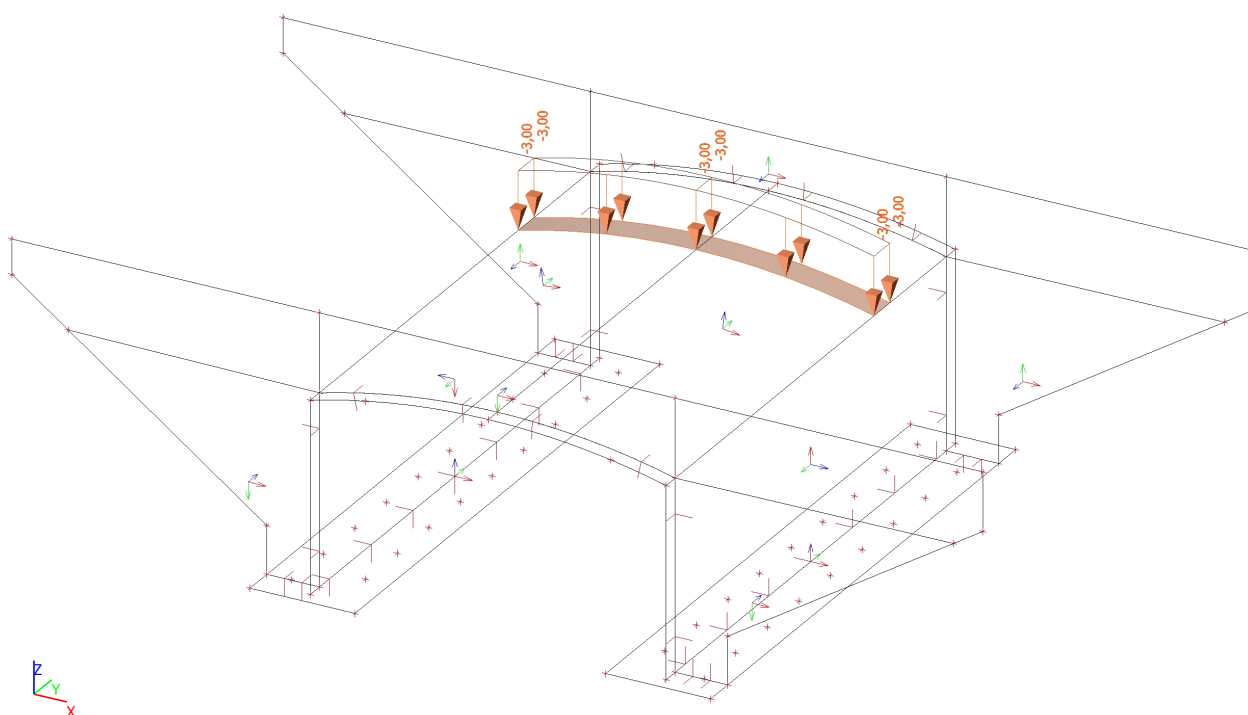
19. LC43 / Hodnota pro výpočet



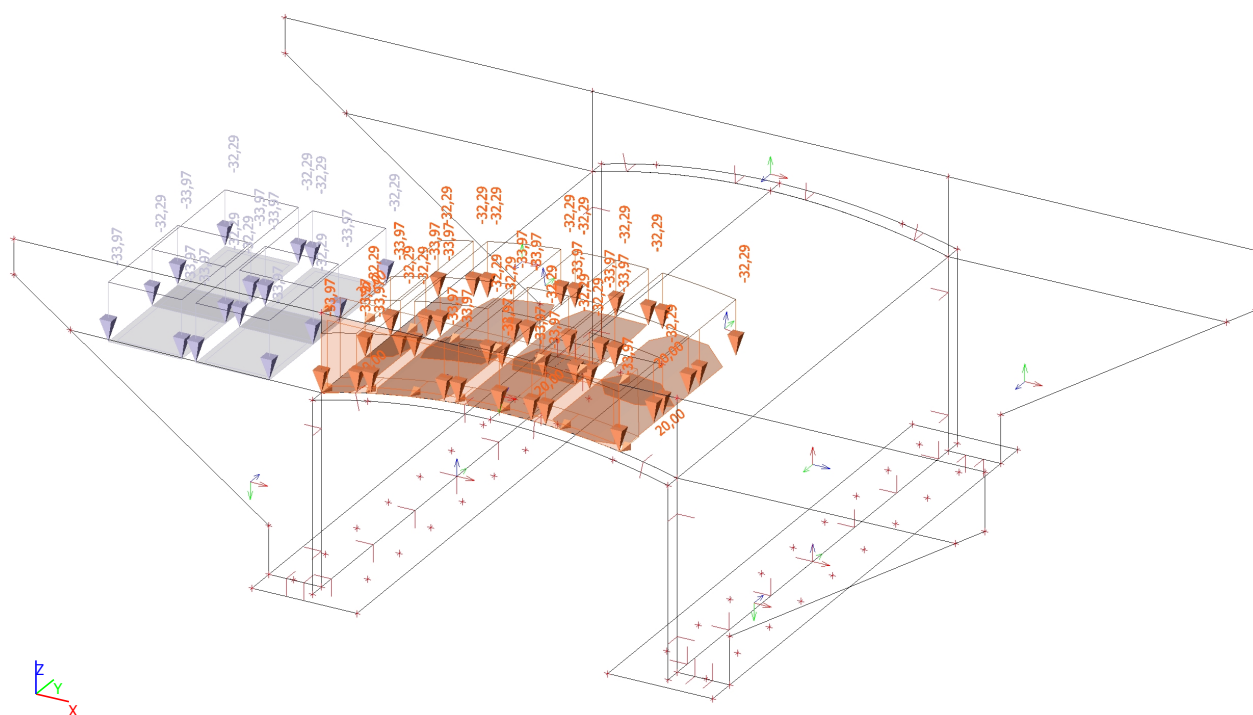
20. LC44 / Hodnota pro výpočet



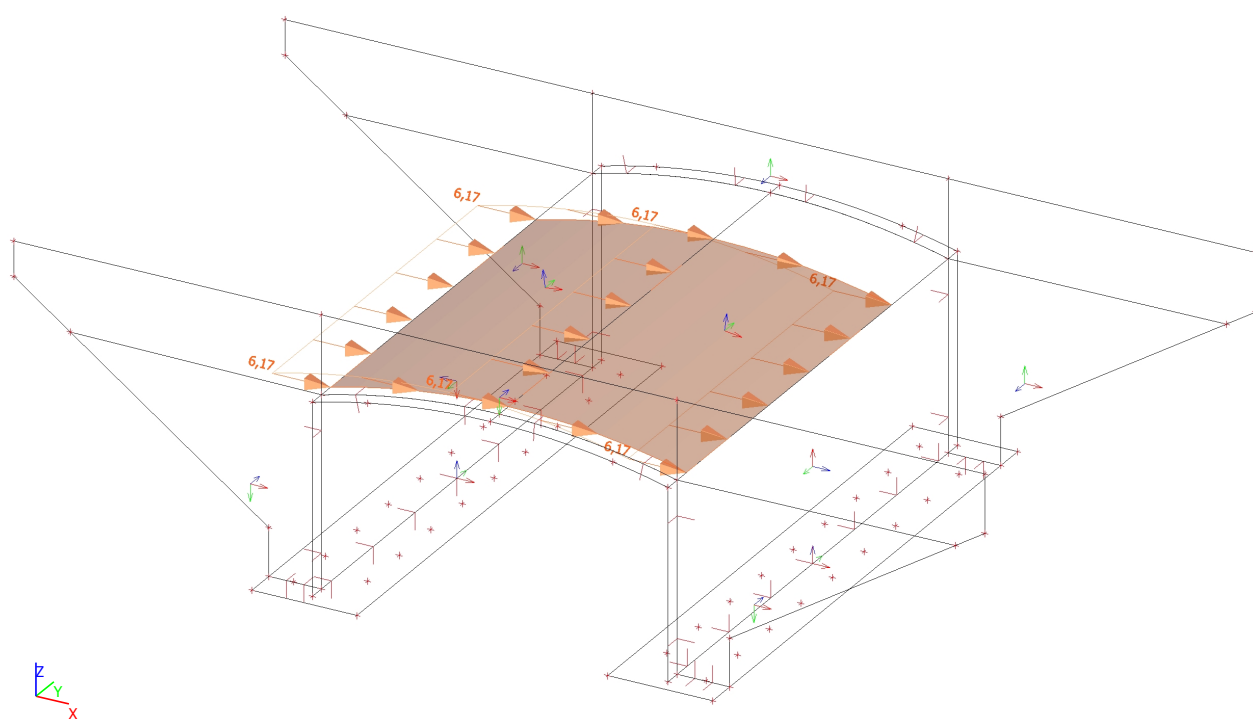
21. LC45 / Hodnota pro výpočet



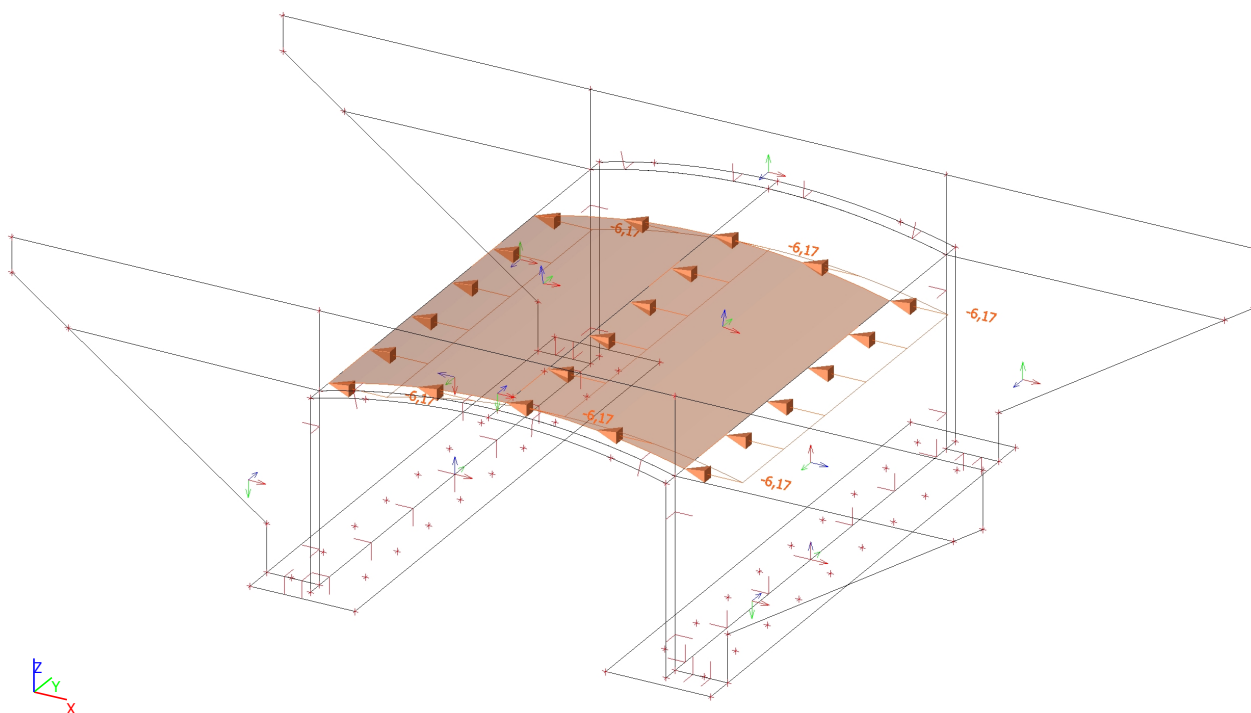
22. LC56 / Hodnota pro výpočet



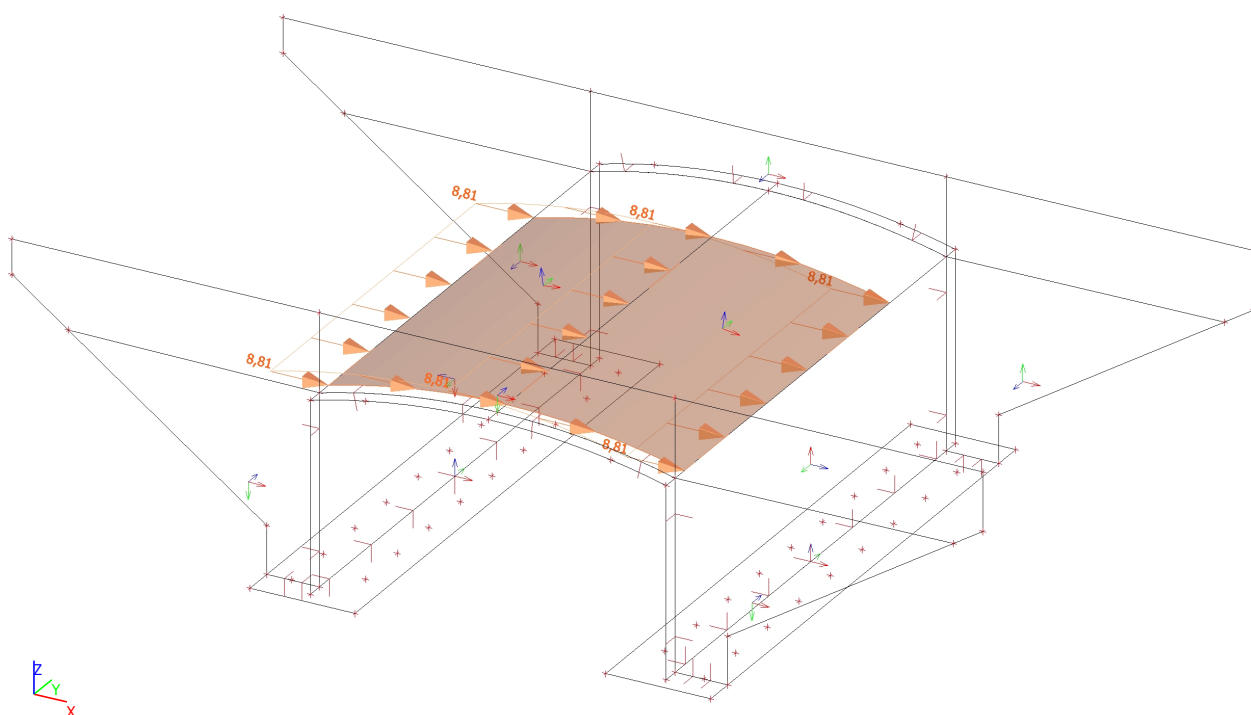
23. LC77 / Hodnota pro výpočet



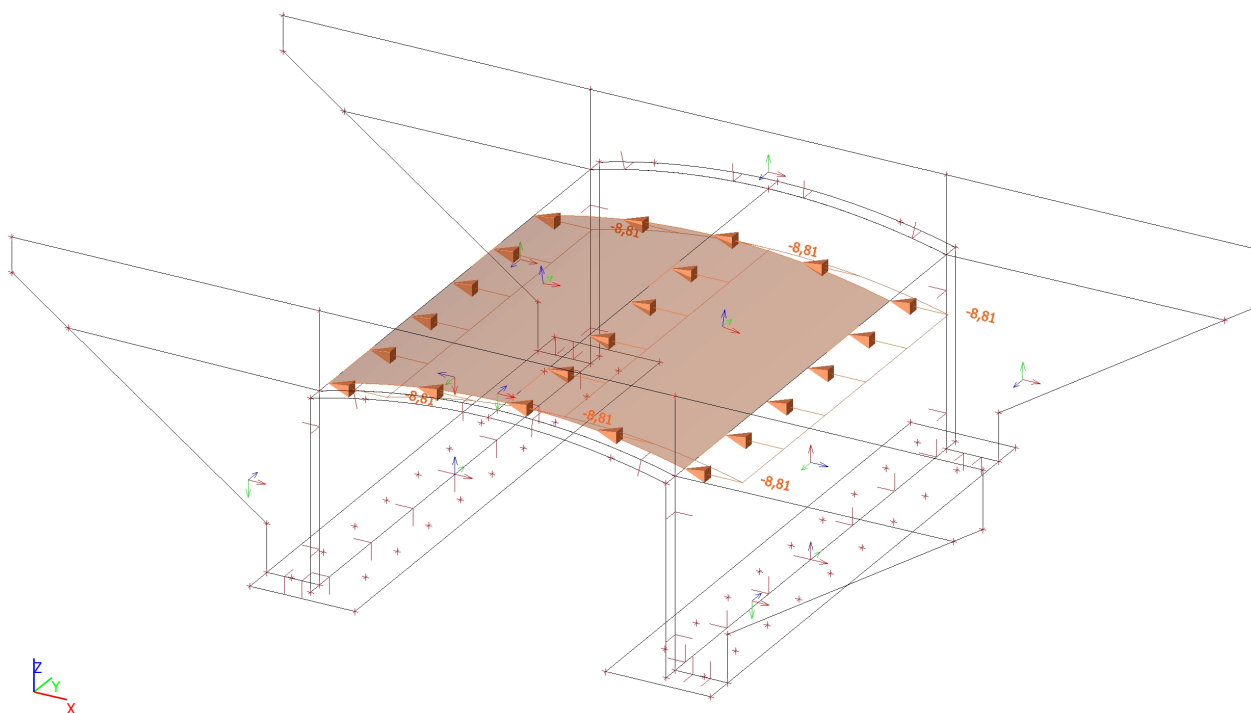
24. LC78 / Hodnota pro výpočet



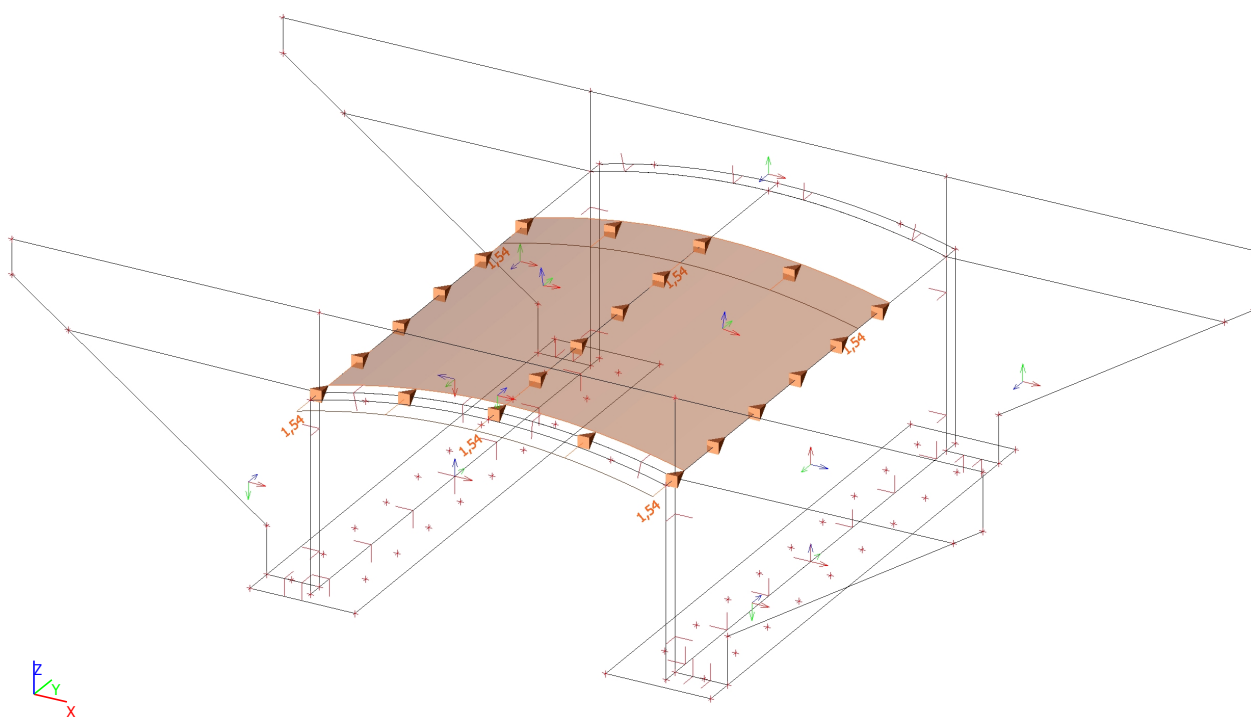
25. LC79 / Hodnota pro výpočet



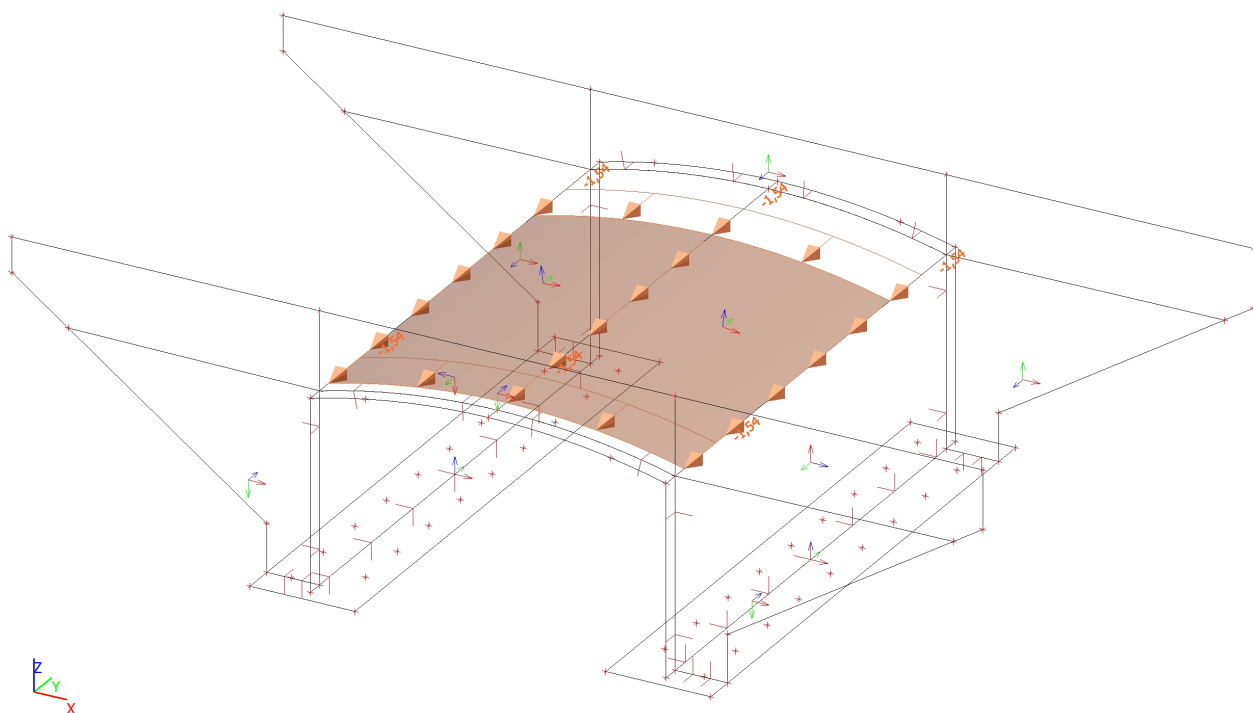
26. LC80 / Hodnota pro výpočet



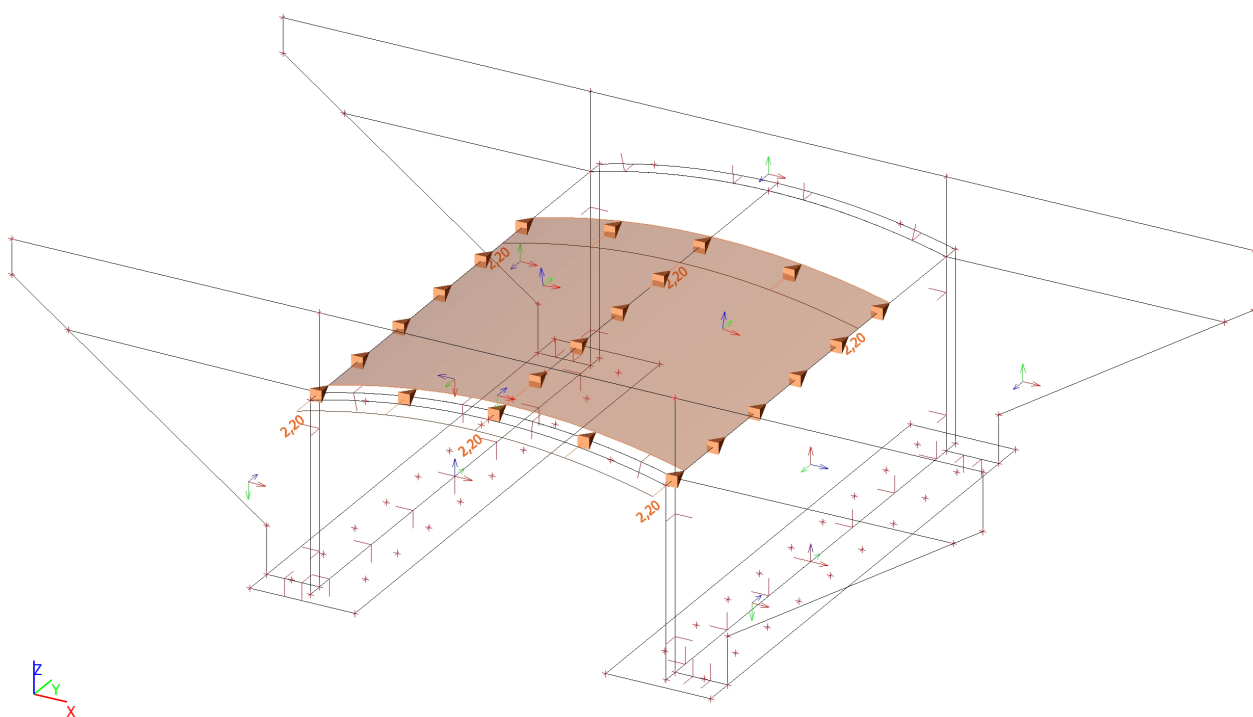
27. LC81 / Hodnota pro výpočet



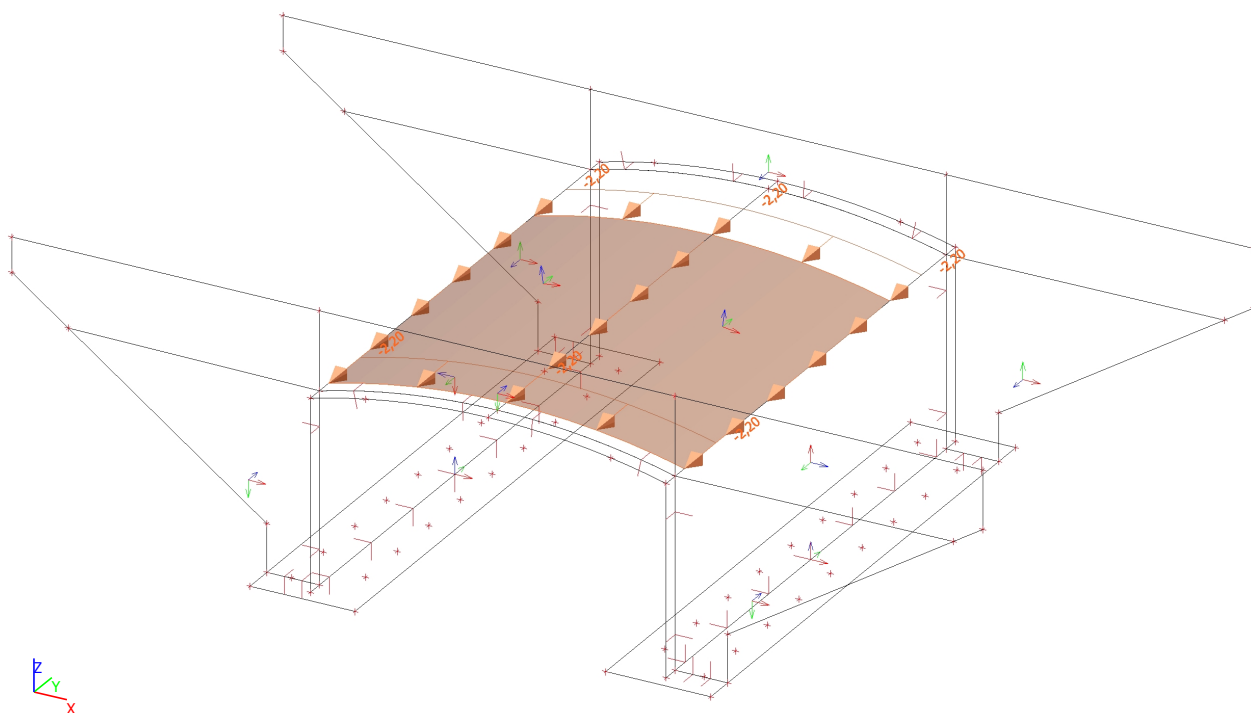
28. LC82 / Hodnota pro výpočet



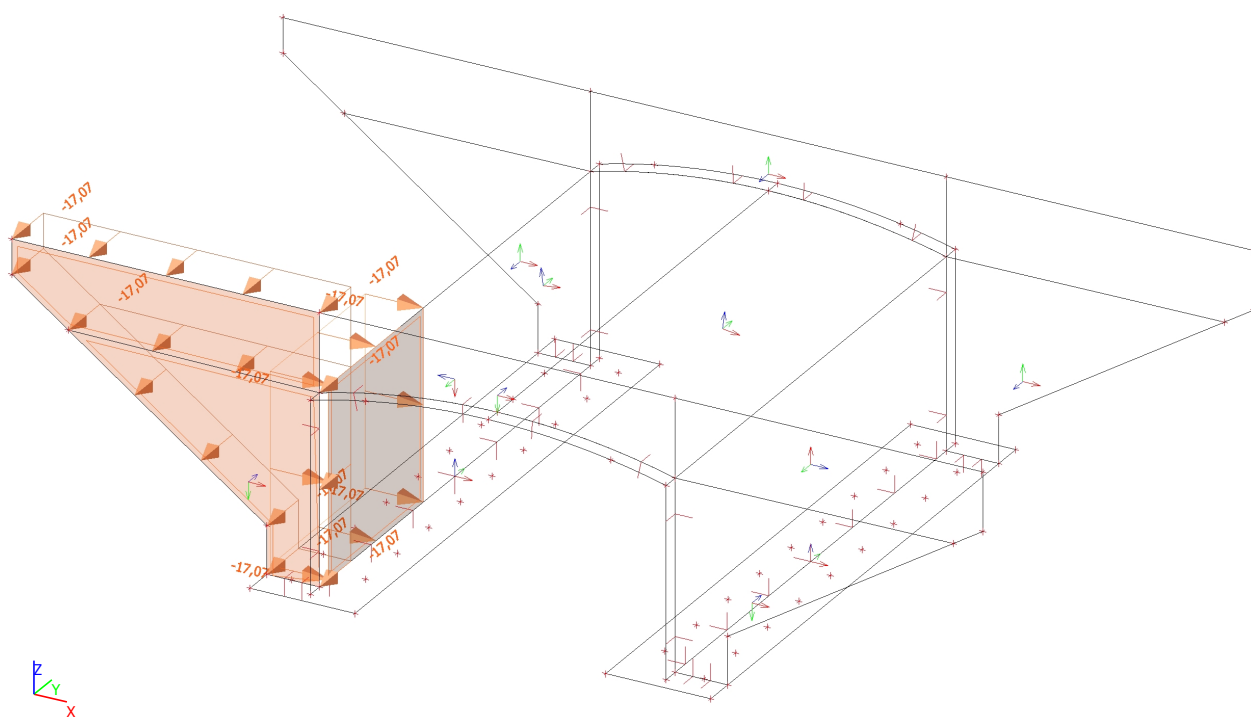
29. LC83 / Hodnota pro výpočet



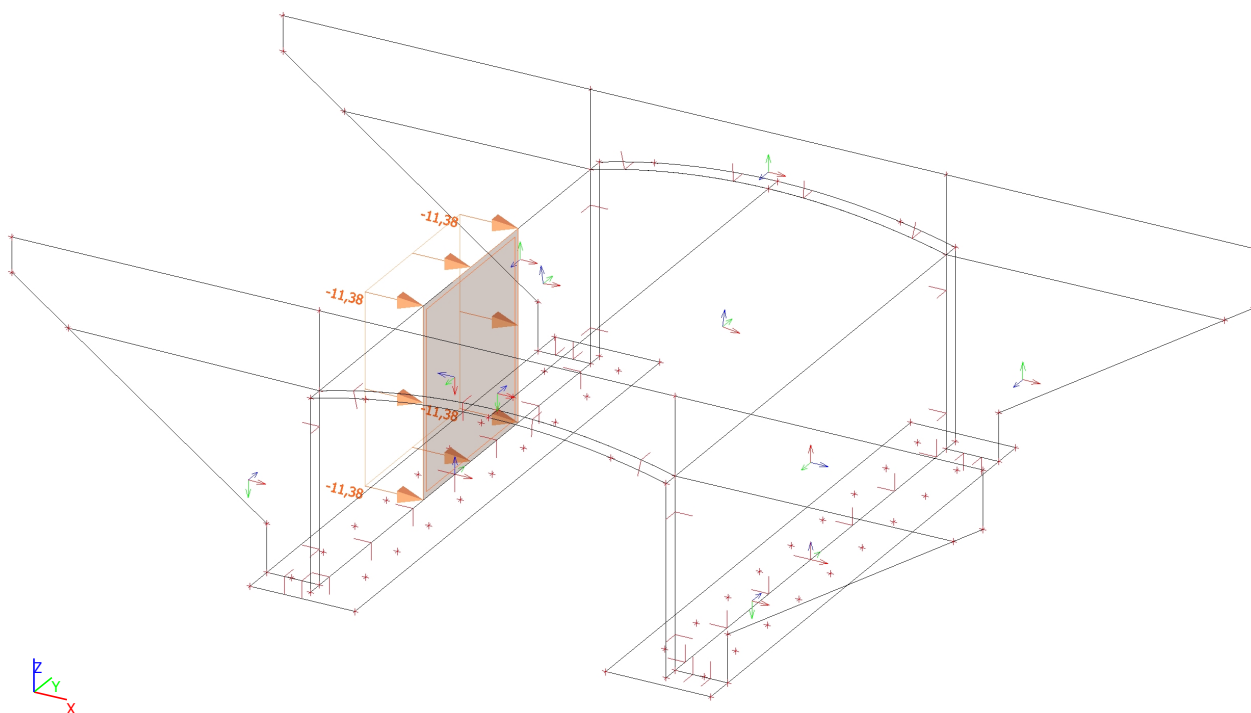
30. LC84 / Hodnota pro výpočet



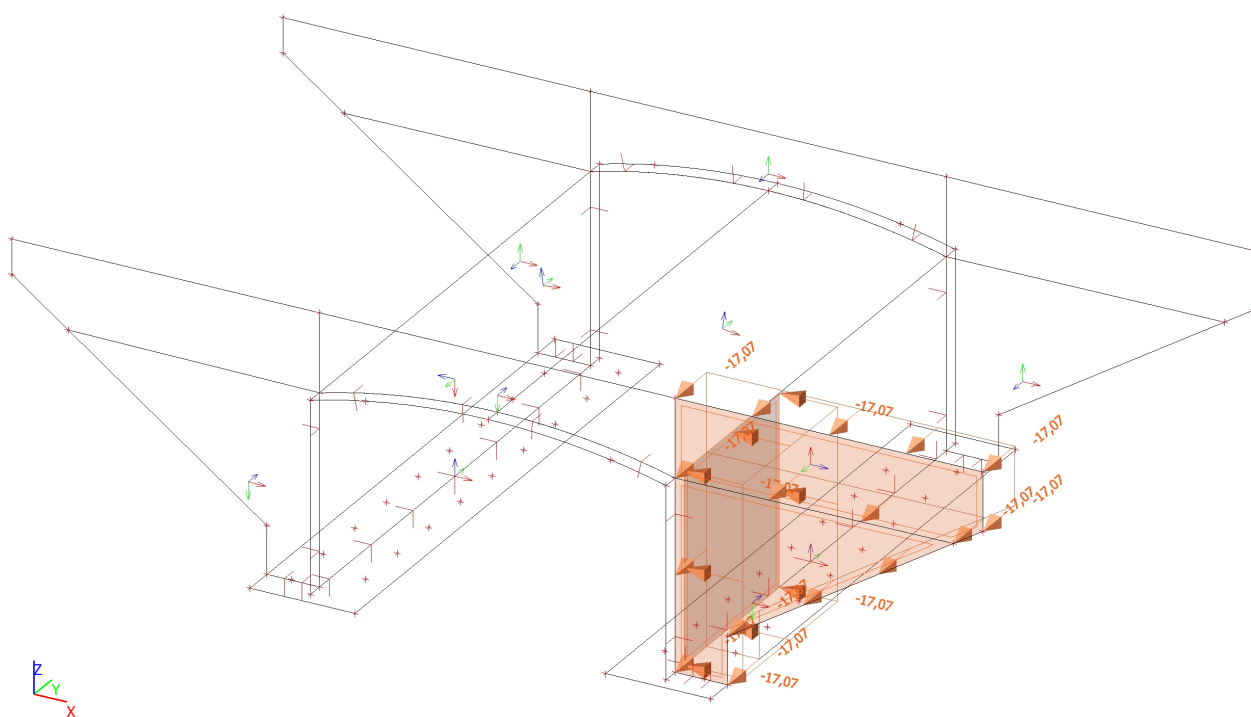
31. LC85 / Hodnota pro výpočet



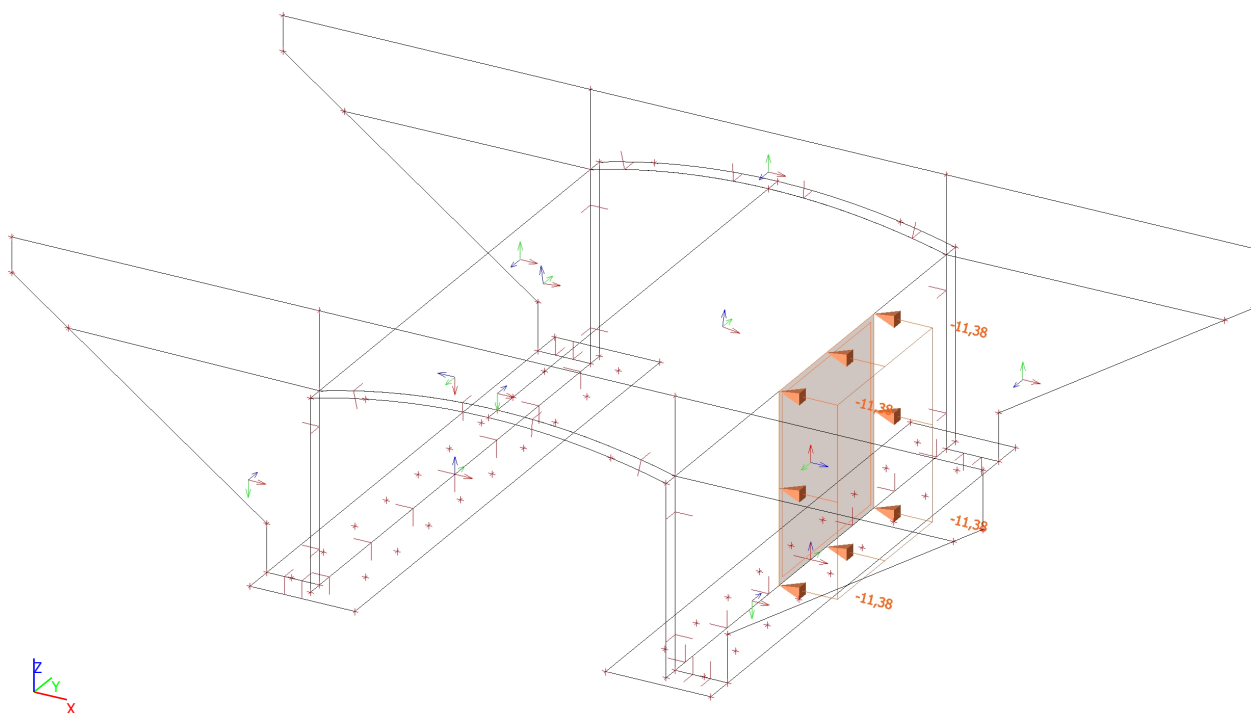
32. LC86 / Hodnota pro výpočet



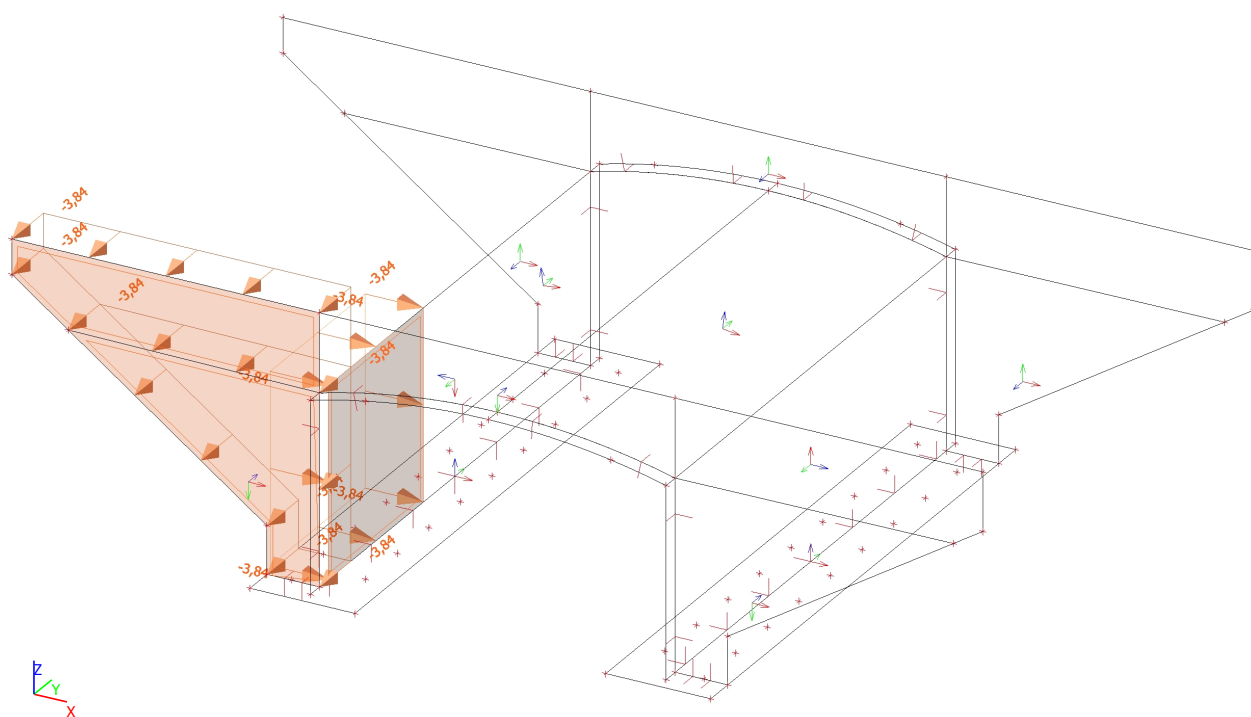
33. LC87 / Hodnota pro výpočet



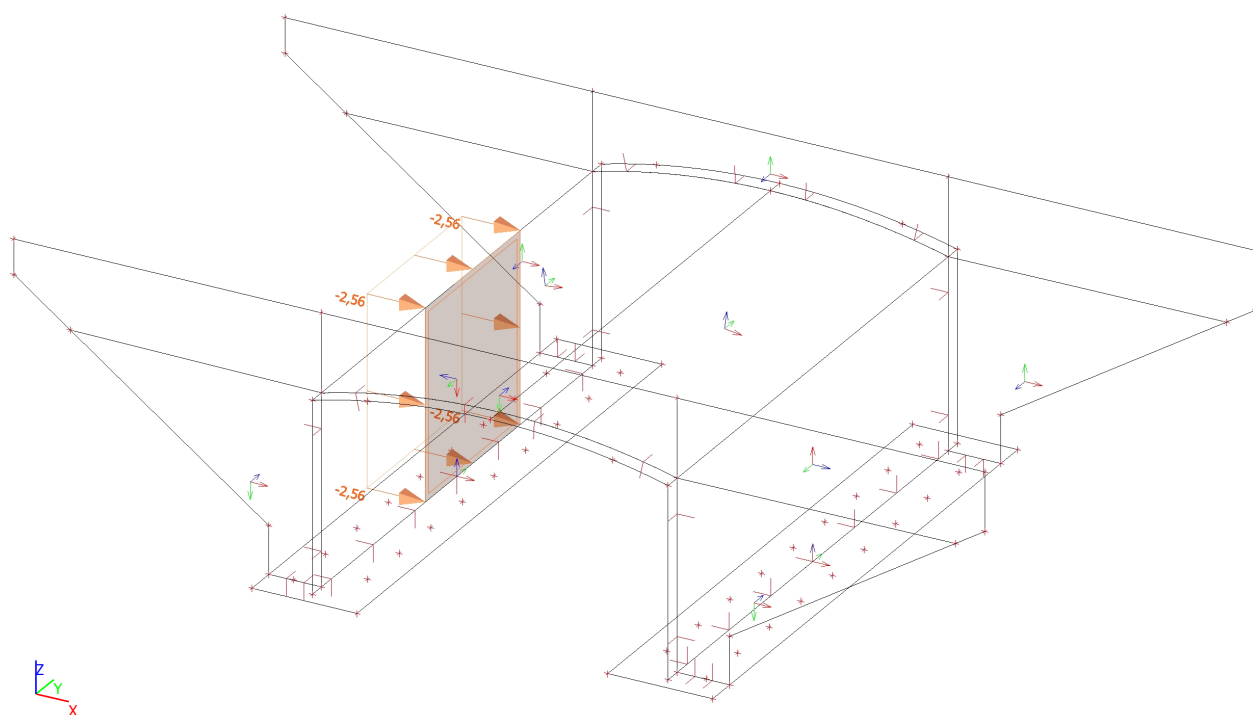
34. LC88 / Hodnota pro výpočet



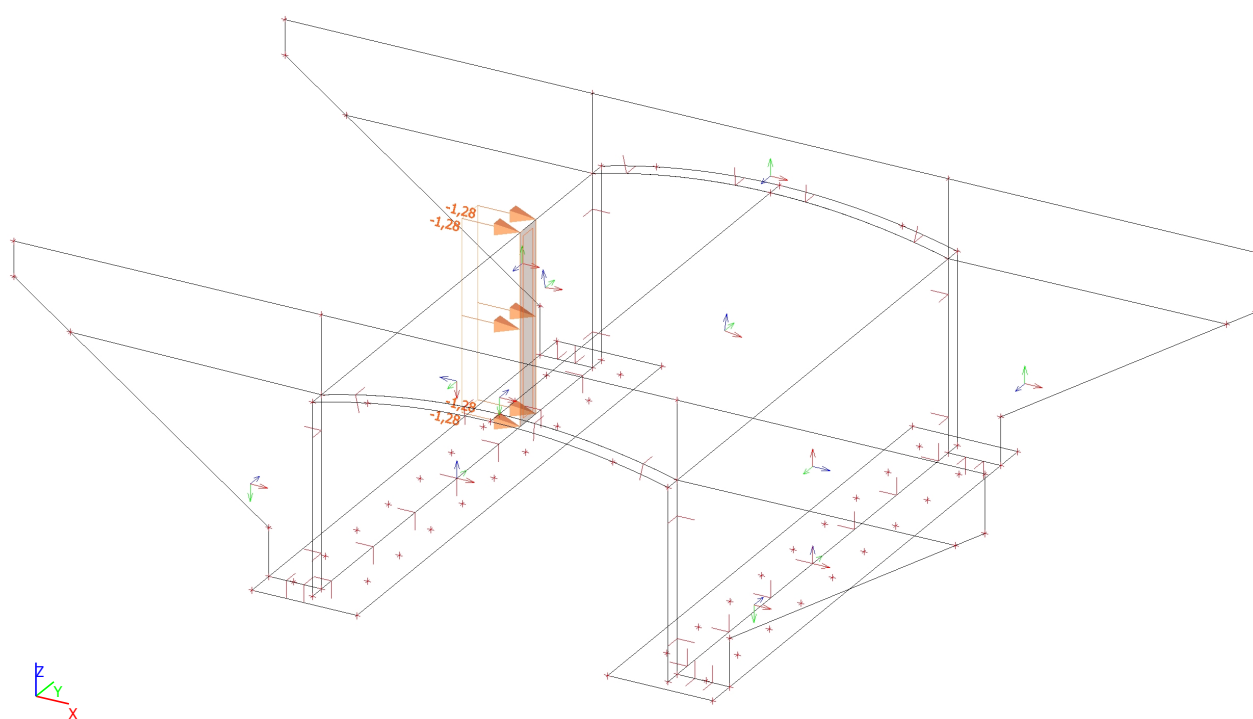
35. LC89 / Hodnota pro výpočet



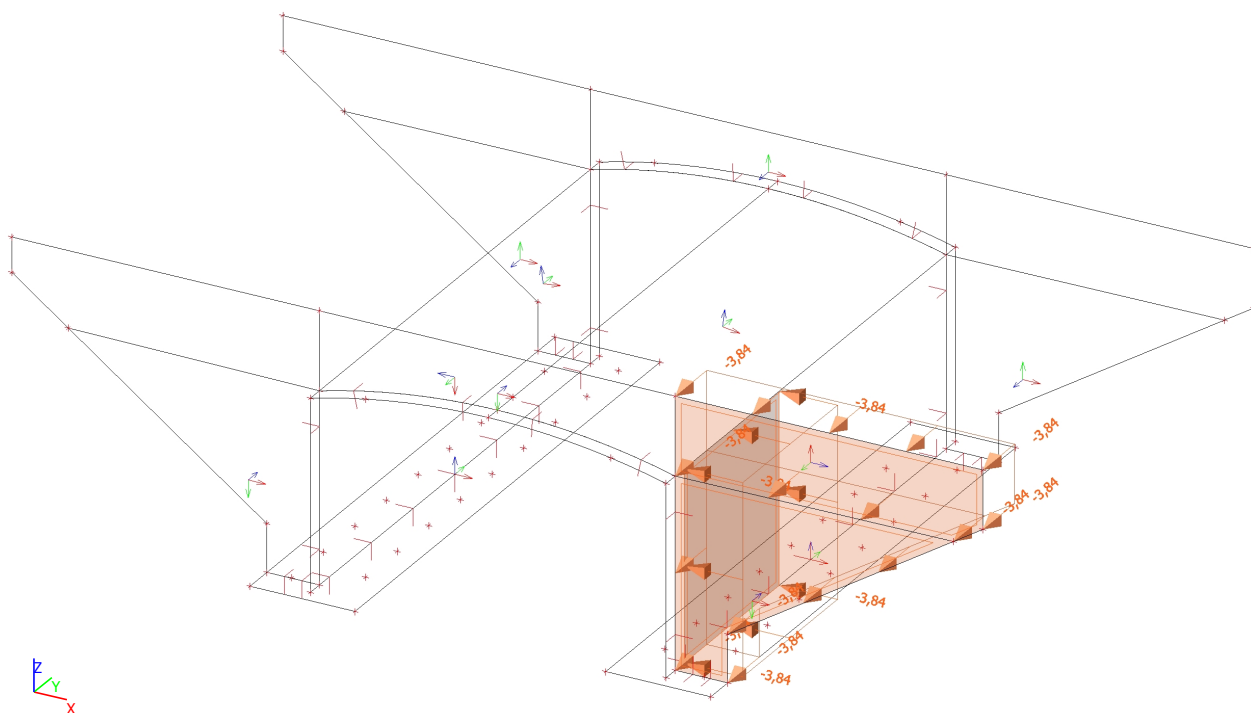
36. LC90 / Hodnota pro výpočet



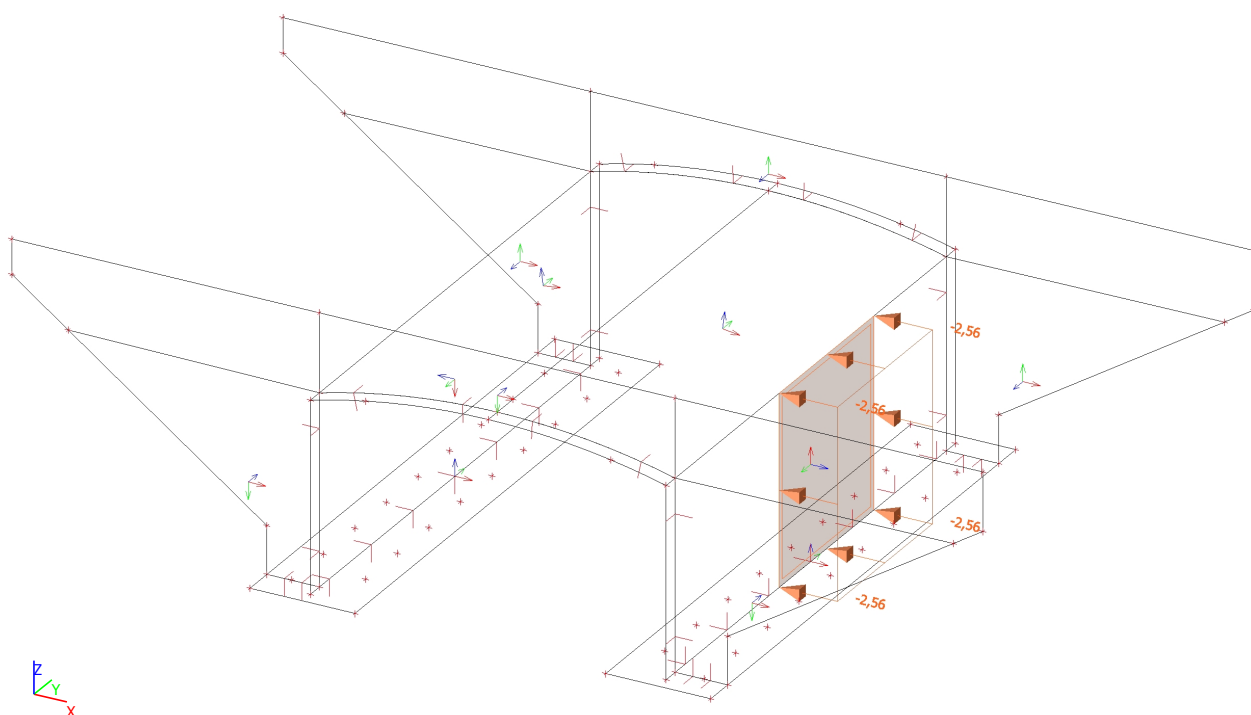
37. LC91 / Hodnota pro výpočet



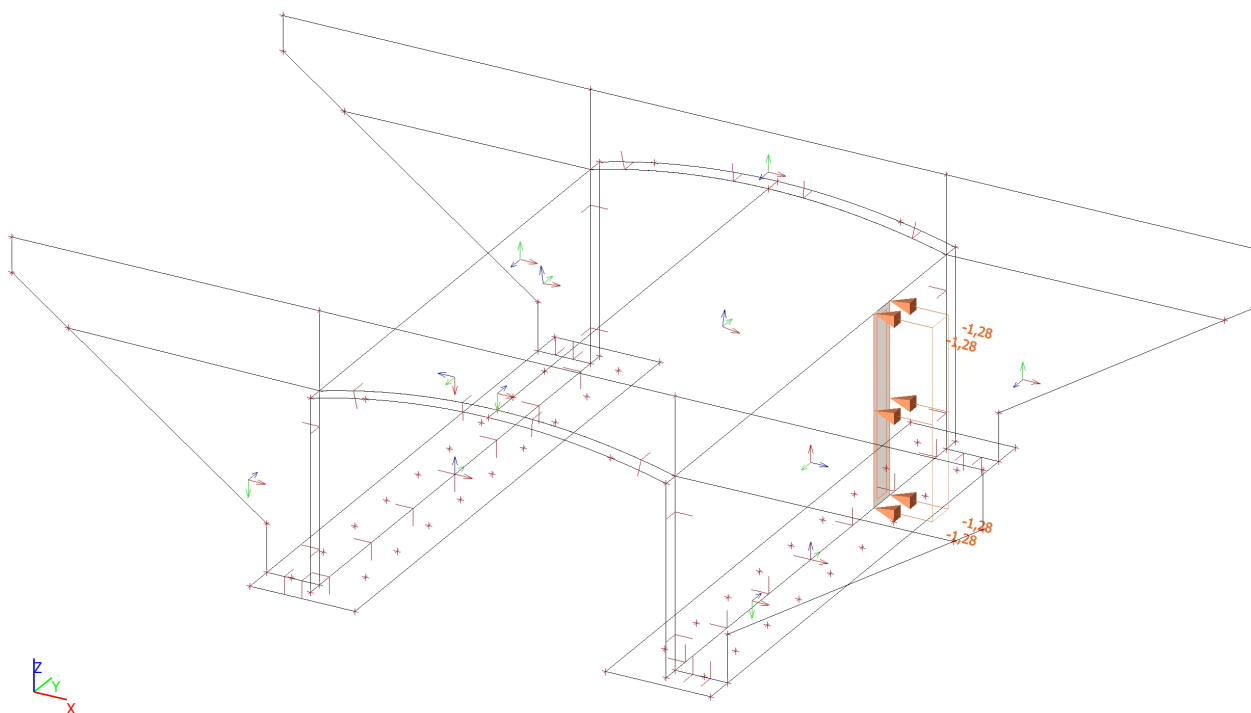
38. LC92 / Hodnota pro výpočet



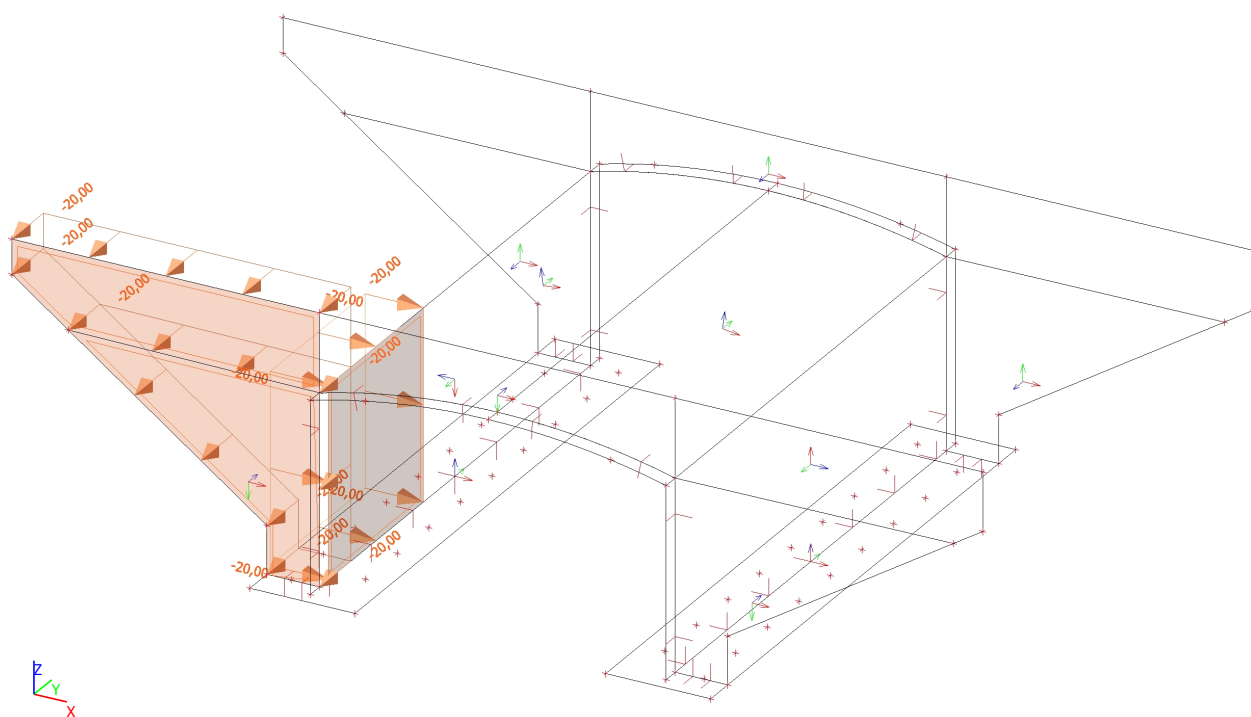
39. LC93 / Hodnota pro výpočet



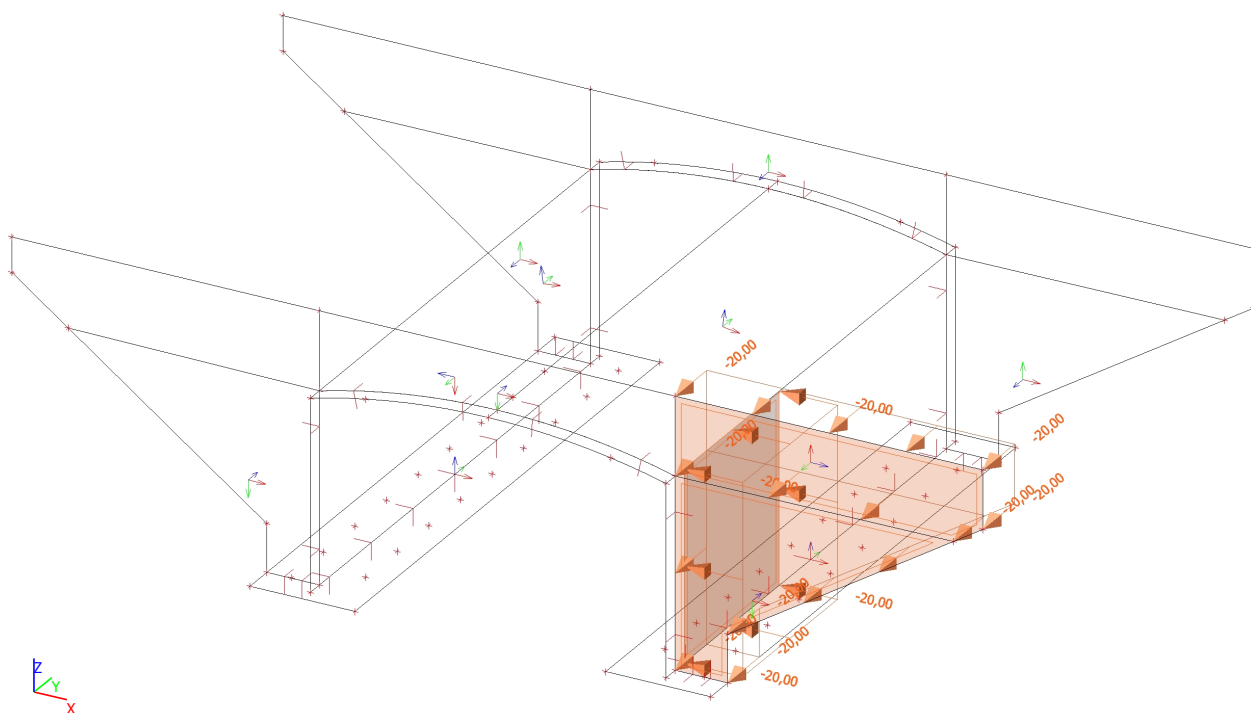
40. LC94 / Hodnota pro výpočet



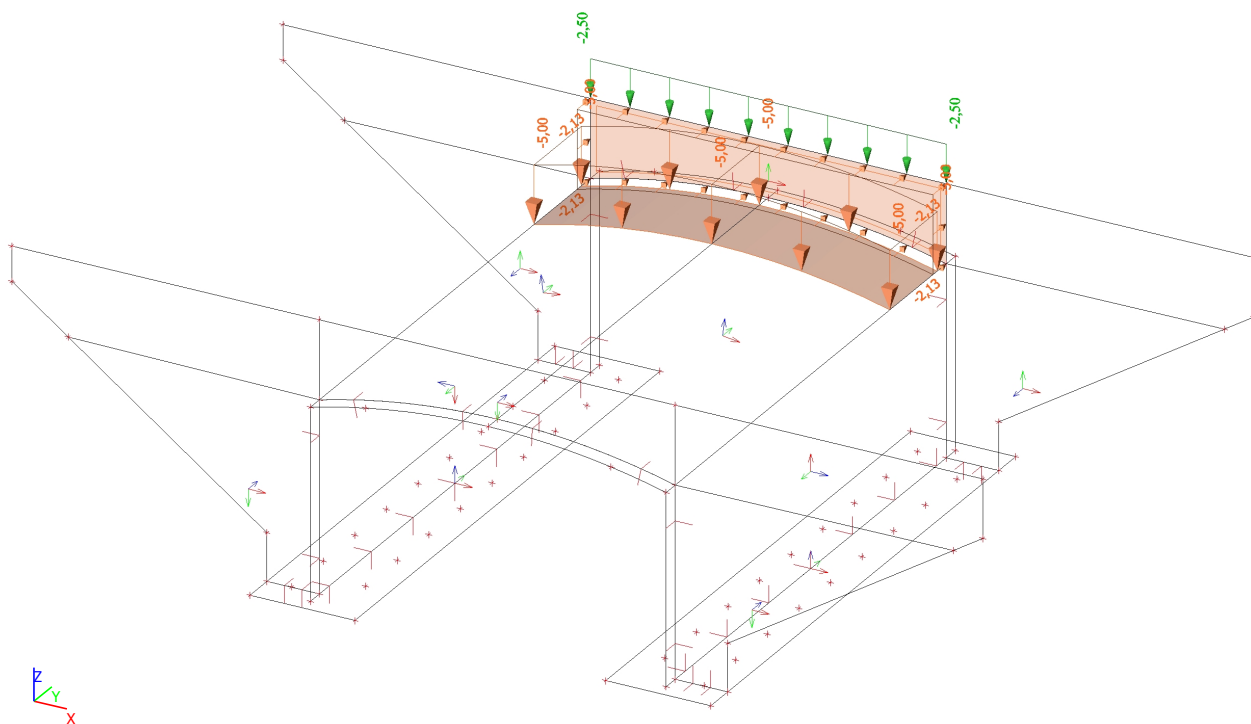
41. LC95 / Hodnota pro výpočet



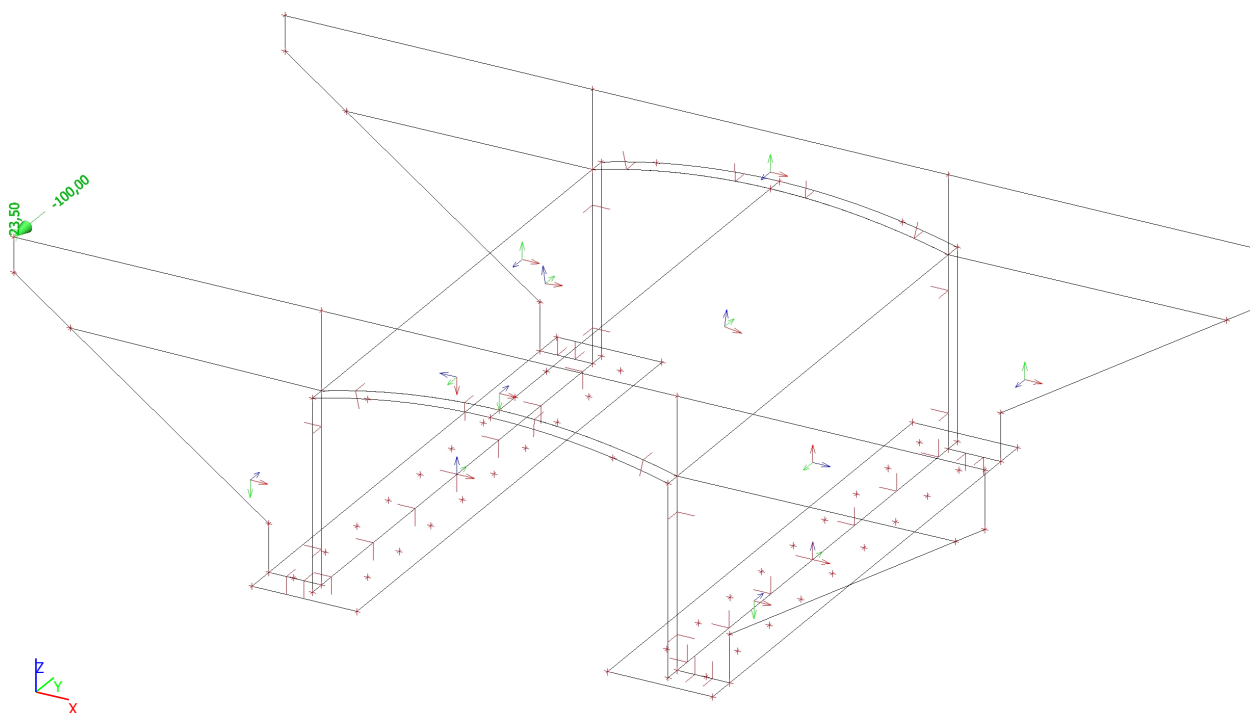
42. LC96 / Hodnota pro výpočet



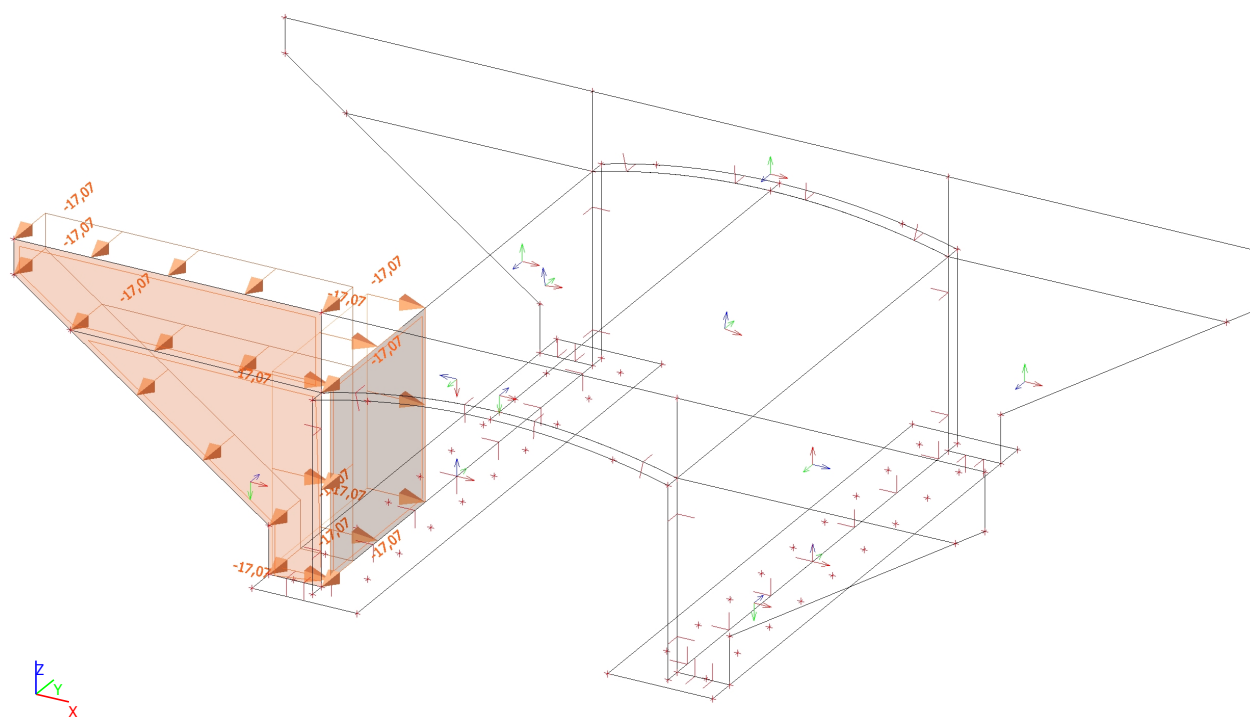
43. LC97 / Hodnota pro výpočet



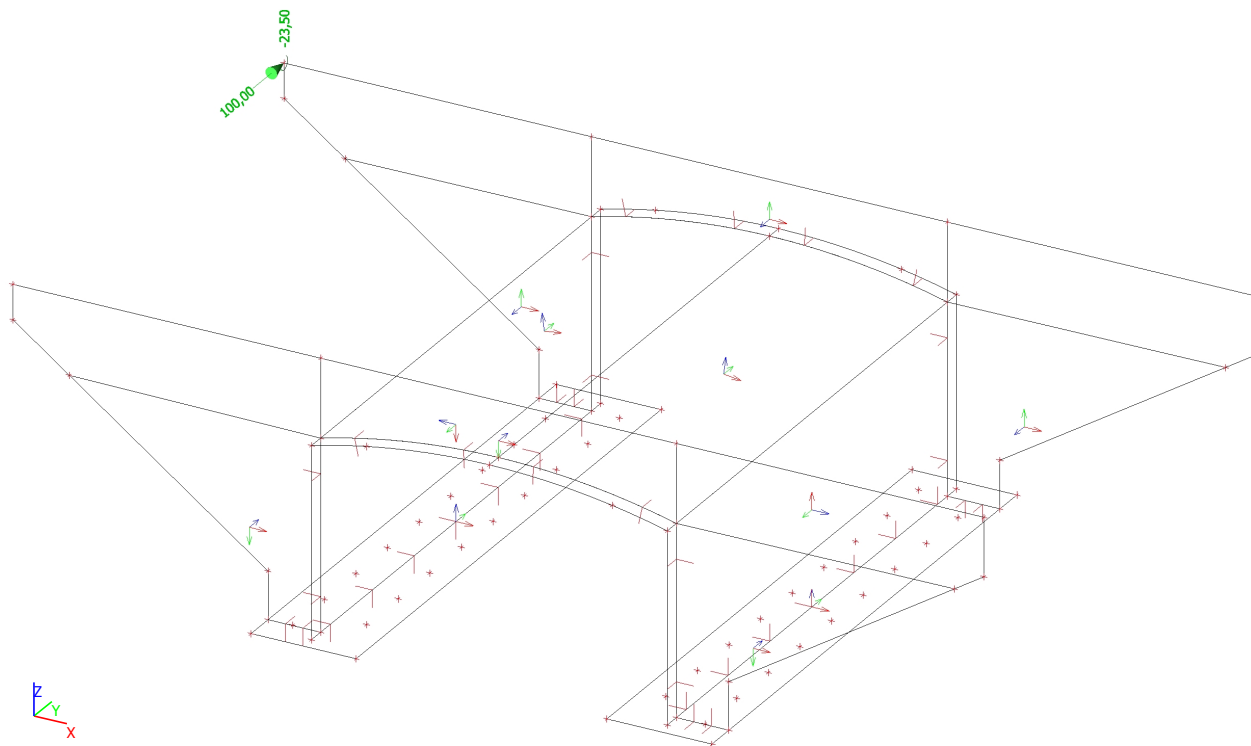
44. LC98 / Hodnota pro výpočet



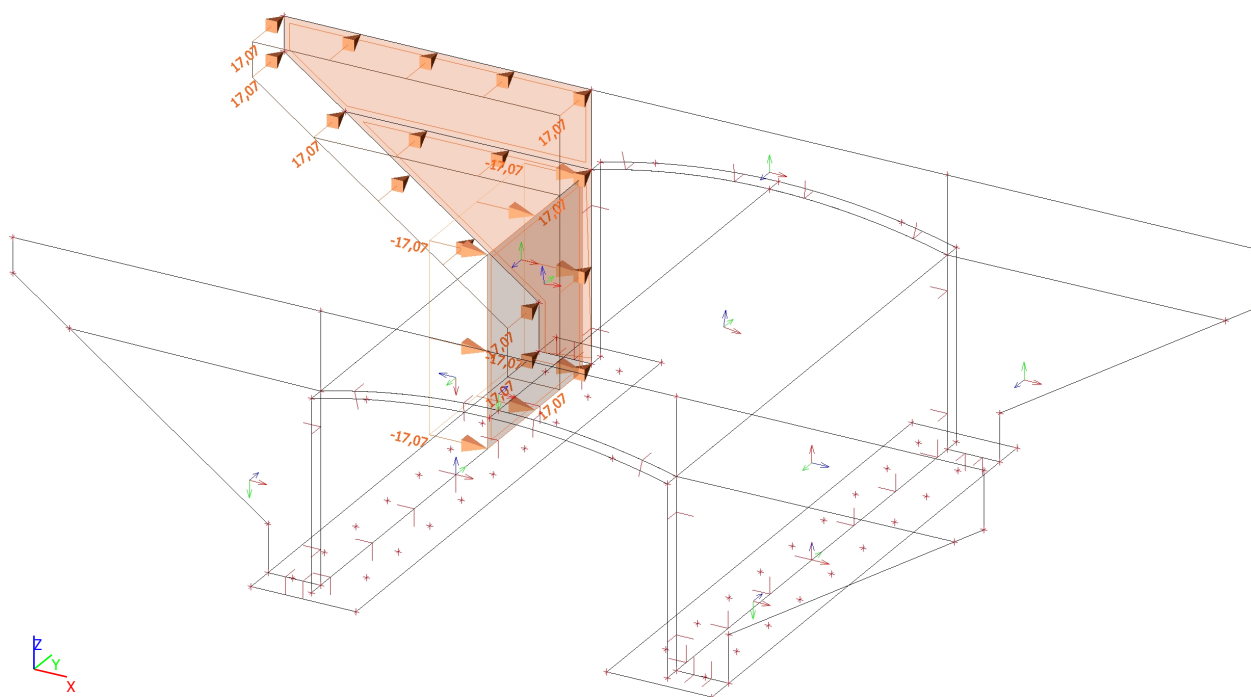
45. LC99 / Hodnota pro výpočet



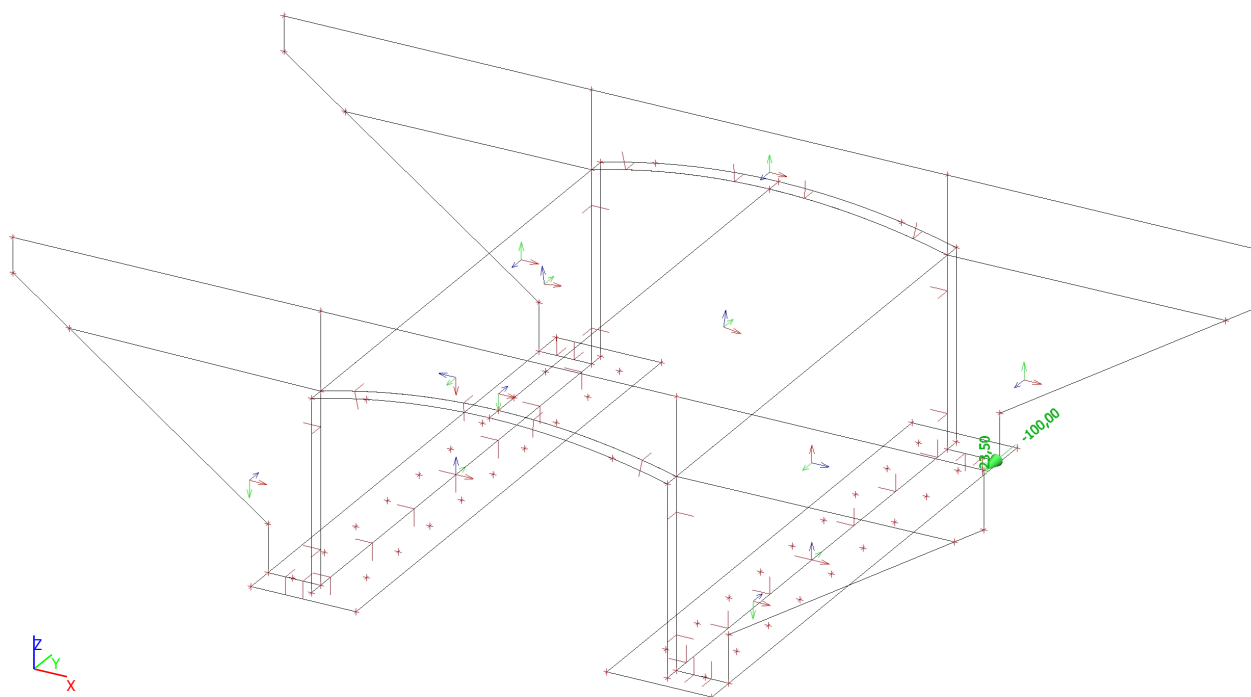
46. LC100 / Hodnota pro výpočet



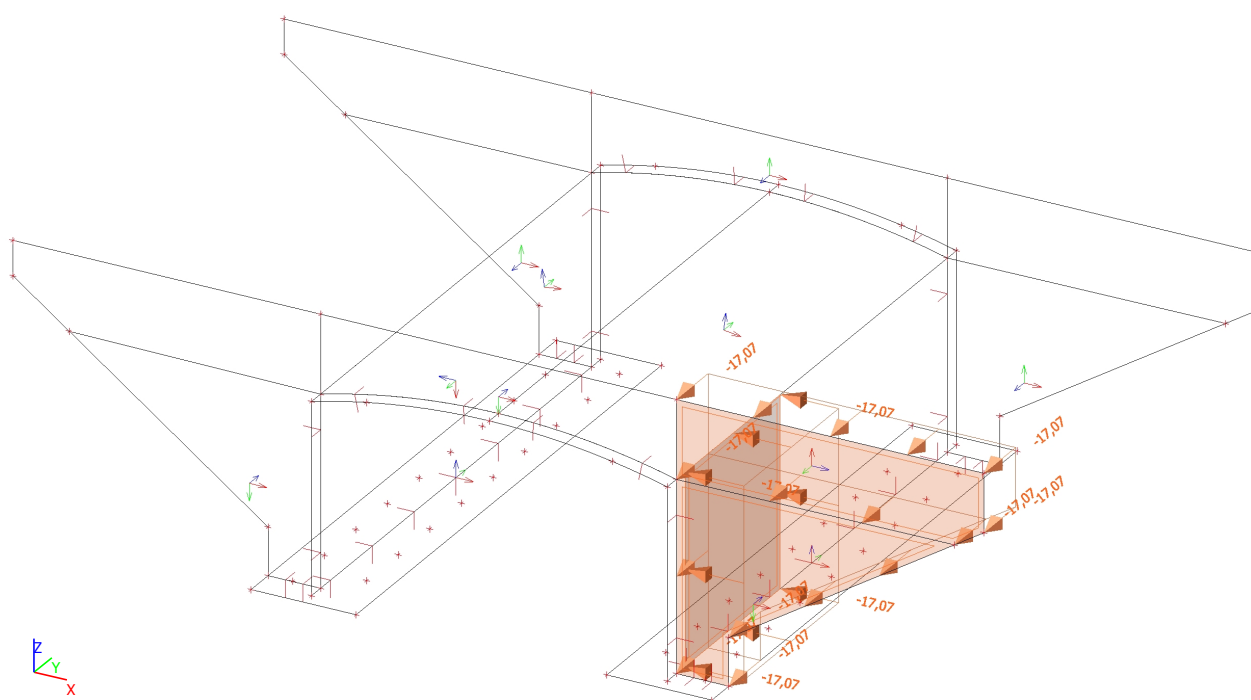
47. LC101 / Hodnota pro výpočet



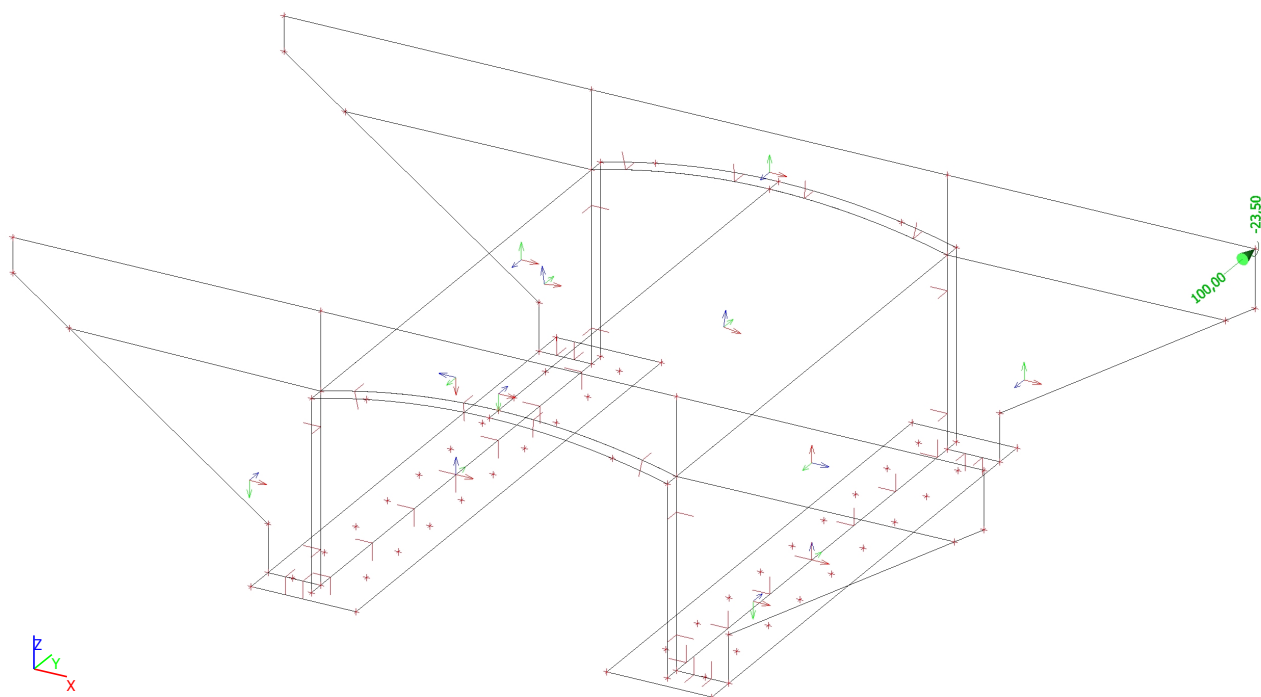
48. LC102 / Hodnota pro výpočet



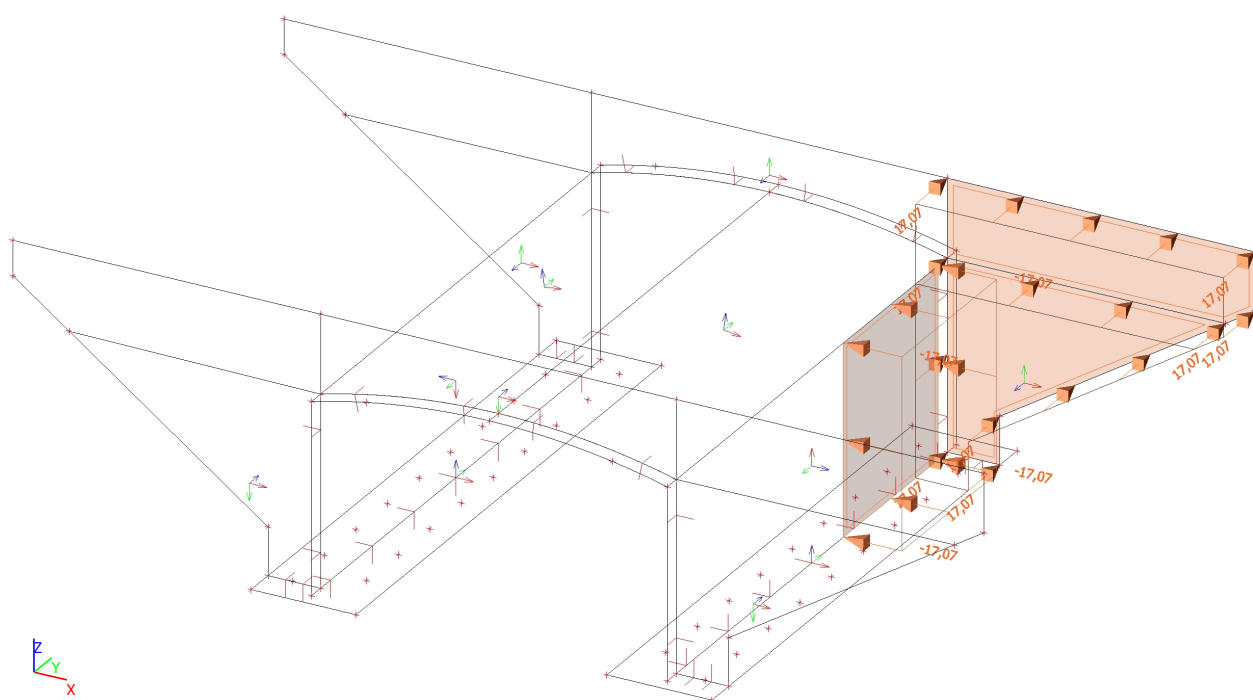
49. LC103 / Hodnota pro výpočet



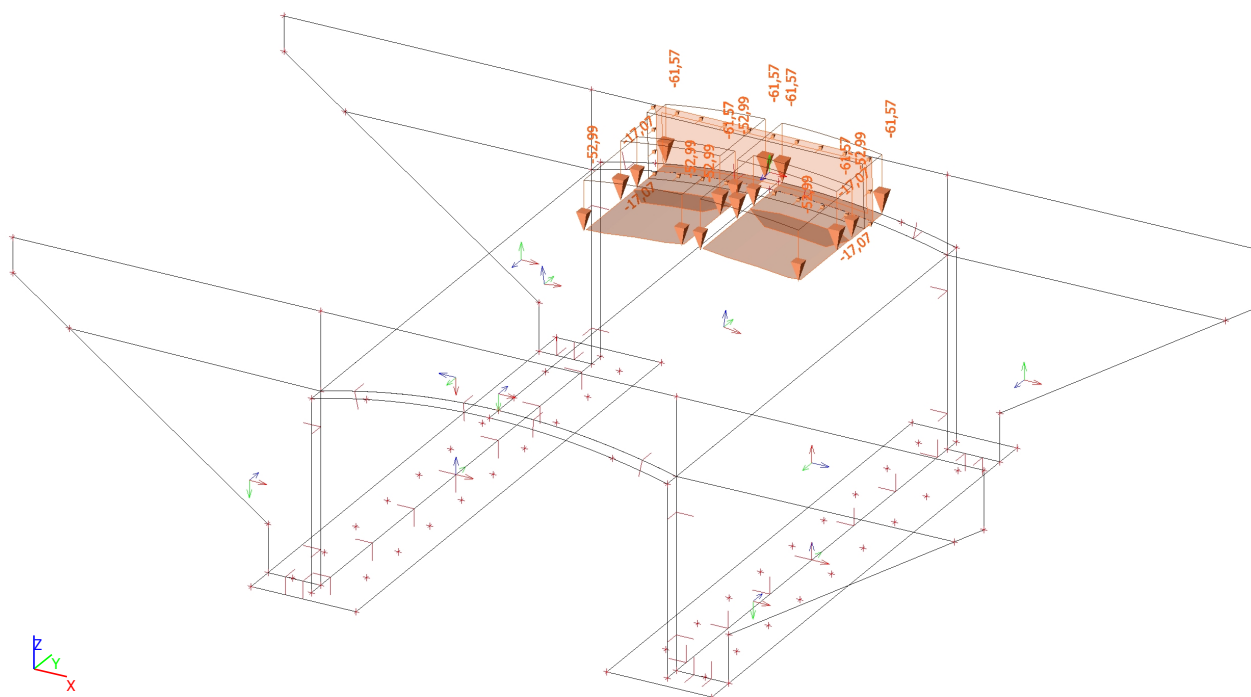
50. LC104 / Hodnota pro výpočet



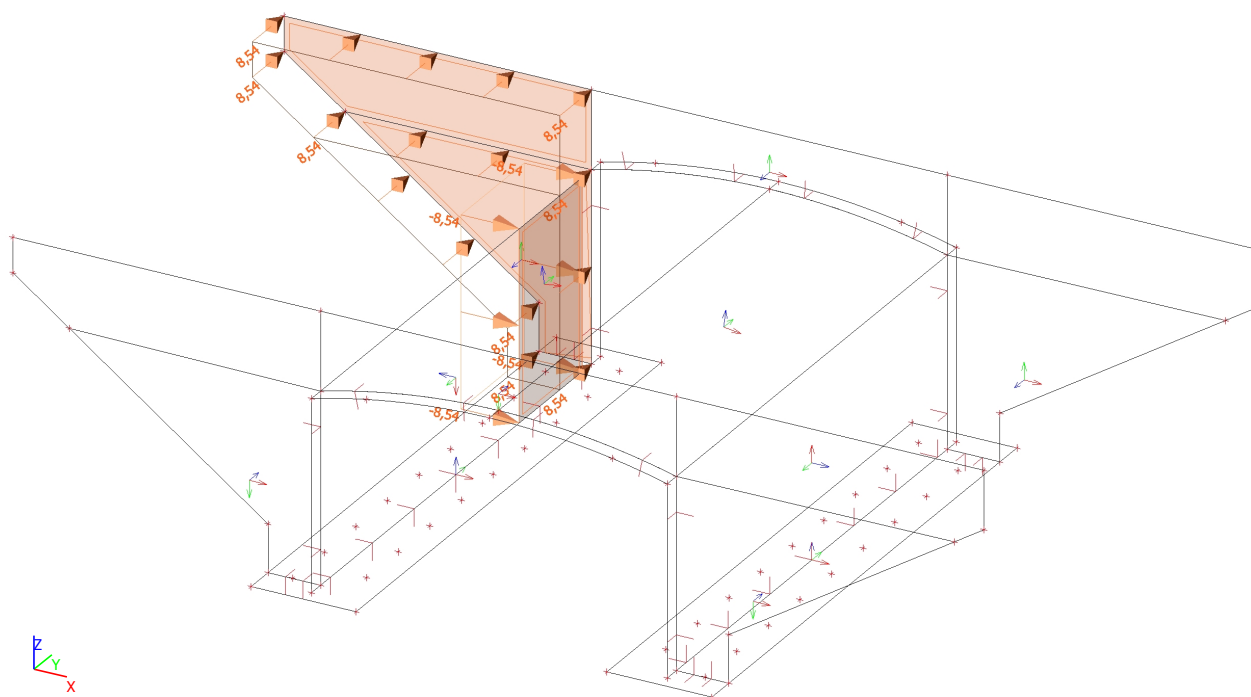
51. LC105 / Hodnota pro výpočet



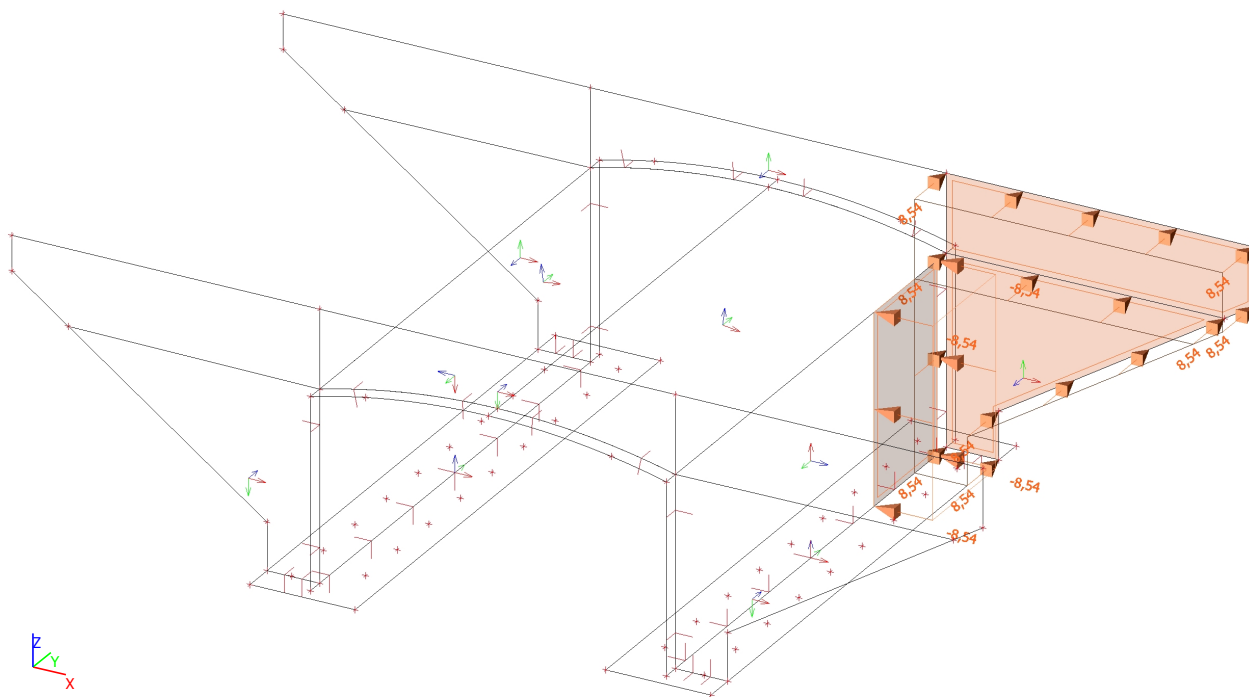
52. LC112 / Hodnota pro výpočet



53. LC120 / Hodnota pro výpočet



54. LC121 / Hodnota pro výpočet



55. Kombinační

Jméno	Popis	Typ	Zatěžovací stavy	Souč. [-]
CO1		EN-MSÚ (STR/GEO) Soubor B	LC1 - VLASTNÍ TÍHA	1,00
			LC2 - OST.STÁLÉ	1,00
			LC4 - SMRŠTOVÁNÍ	1,00
			LC6 - ZÁSYP ZA OPĚRAMI	1,00
			LC7 - POKLES OPĚRY O1	1,00
			LC8 - POKLES OPĚRY O2	1,00
			LC9 - HUTNĚNÍ ZA OPĚROU O1	1,00
			LC10 - HUTNĚNÍ ZA OPĚROU O2	1,00
			LC11 - ROVN.TEPL.-OCHLAZENÍ	1,00
			LC12 - ROVN.TEPL.-OTEPLENÍ	1,00
			LC13 - NEROVN.TEPL.-OCHLAZENÍ	1,00
			LC14 - NEROVN.TEPL.-OTEPLENÍ	1,00
			LC15 - LM1/TS10,000 m	1,00
			LC16 - LM1/TS10,500 m	1,00
			LC17 - LM1/TS11,000 m	1,00
			LC18 - LM1/TS11,500 m	1,00
			LC19 - LM1/TS12,000 m	1,00
			LC20 - LM1/TS12,500 m	1,00
			LC21 - LM1/TS13,000 m	1,00
			LC22 - LM1/TS13,500 m	1,00
			LC23 - LM1/TS14,000 m	1,00
			LC24 - LM1/TS14,500 m	1,00
			LC25 - LM1/TS15,000 m	1,00
			LC26 - LM1/TS15,500 m	1,00
			LC27 - LM1/TS16,000 m	1,00
			LC28 - LM1/TS16,500 m	1,00
			LC29 - LM1/TS20,000 m	1,00
			LC30 - LM1/TS20,500 m	1,00
			LC31 - LM1/TS21,000 m	1,00
			LC32 - LM1/TS21,500 m	1,00
			LC33 - LM1/TS22,000 m	1,00
			LC34 - LM1/TS22,500 m	1,00
			LC35 - LM1/TS23,000 m	1,00
			LC36 - LM1/TS23,500 m	1,00
			LC37 - LM1/TS24,000 m	1,00
			LC38 - LM1/TS24,500 m	1,00
			LC39 - LM1/TS25,000 m	1,00
			LC40 - LM1/TS25,500 m	1,00
			LC41 - LM1/TS26,000 m	1,00
			LC42 - LM1/TS26,500 m	1,00
			LC43 - LM1_UDL1	1,00
			LC44 - LM1_UDL2	1,00

Jméno	Popis	Typ	Zatěžovací stavy	Souč. [-]
			LC45 - LM1_UDLr	1,00
			LC46 - LM3_0,000 m	1,00
			LC47 - LM3_0,500 m	1,00
			LC48 - LM3_1,000 m	1,00
			LC49 - LM3_1,500 m	1,00
			LC50 - LM3_2,000 m	1,00
			LC51 - LM3_2,500 m	1,00
			LC52 - LM3_3,000 m	1,00
			LC53 - LM3_3,500 m	1,00
			LC54 - LM3_4,000 m	1,00
			LC55 - LM3_4,500 m	1,00
			LC56 - LM3_5,000 m	1,00
			LC57 - LM3_5,500 m	1,00
			LC58 - LM3_6,000 m	1,00
			LC59 - LM3_6,500 m	1,00
			LC60 - LM3_7,000 m	1,00
			LC61 - LM3_7,500 m	1,00
			LC62 - LM3_8,000 m	1,00
			LC63 - LM3_8,500 m	1,00
			LC64 - LM3_9,000 m	1,00
			LC65 - LM3_9,500 m	1,00
			LC66 - LM3_10,000 m	1,00
			LC67 - LM3_10,500 m	1,00
			LC68 - LM3_11,000 m	1,00
			LC69 - LM3_11,500 m	1,00
			LC70 - LM3_12,000 m	1,00
			LC71 - LM3_12,500 m	1,00
			LC72 - LM3_13,000 m	1,00
			LC73 - LM3_13,500 m	1,00
			LC74 - LM3_14,000 m	1,00
			LC75 - LM3_14,500 m	1,00
			LC76 - LM3_15,000 m	1,00
			LC77 - LM1_ROZJEZDOVÉ SÍLY	1,00
			LC78 - LM1_BRZDNÉ SÍLY	1,00
			LC79 - LM3_ROZJEZDOVÉ SÍLY	1,00
			LC80 - LM3_BRZDNÉ SÍLY	1,00
			LC81 - LM1_SMYK 1	1,00
			LC82 - LM1_SMYK 2	1,00
			LC83 - LM3_SMYK 1	1,00
			LC84 - LM3_SMYK 2	1,00
			LC85 - LM1_TS1 ZA OPĚROU O1	1,00
			LC86 - LM1_TS2 ZA OPĚROU O1	1,00
			LC87 - LM1_TS1 ZA OPĚROU O2	1,00
			LC88 - LM1_TS2 ZA OPĚROU O2	1,00
			LC89 - LM1_UDL1 ZA OPĚROU O1	1,00
			LC90 - LM1_UDL2 ZA OPĚROU O1	1,00
			LC91 - LM1_UDLr ZA OPĚROU O1	1,00
			LC92 - LM1_UDL1 ZA OPĚROU O2	1,00
			LC93 - LM1_UDL2 ZA OPĚROU O2	1,00
			LC94 - LM1_UDLr ZA OPĚROU O2	1,00
			LC95 - LM3_ZA OPĚROU O1	1,00
			LC96 - LM3_ZA OPĚROU O2	1,00
			LC97 - CHODCI	1,00
CO2	MSÚ-Stálé zatížení	Obálka - únosnost	LC1 - VLASTNÍ TÍHA	1,35
			LC2 - OST.STÁLÉ	1,35
			LC4 - SMRŠTOVÁNÍ	1,35
			LC6 - ZÁSYP ZA OPĚRAMI	1,35
CO3	MSÚ-Stálé zatížení+hutnění	Obálka - únosnost	LC1 - VLASTNÍ TÍHA	1,35
			LC2 - OST.STÁLÉ	1,35
			LC4 - SMRŠTOVÁNÍ	1,35
			LC6 - ZÁSYP ZA OPĚRAMI	1,35
			LC7 - POKLES OPĚRY O1	1,35
			LC8 - POKLES OPĚRY O2	1,35
			LC9 - HUTNĚNÍ ZA OPĚROU O1	1,50
			LC10 - HUTNĚNÍ ZA OPĚROU O2	1,50
CO4	MSÚ-Stálé zatížení+pokles podpor	Obálka - únosnost	LC1 - VLASTNÍ TÍHA	1,35
			LC2 - OST.STÁLÉ	1,35
			LC4 - SMRŠTOVÁNÍ	1,35
			LC6 - ZÁSYP ZA OPĚRAMI	1,35
			LC7 - POKLES OPĚRY O1	1,35
			LC8 - POKLES OPĚRY O2	1,35
CO5	MSÚ - 6.10a (LM1)	Obálka - únosnost	LC1 - VLASTNÍ TÍHA	1,35
			LC2 - OST.STÁLÉ	1,35
			LC4 - SMRŠTOVÁNÍ	1,35
			LC6 - ZÁSYP ZA OPĚRAMI	1,35

Jméno	Popis	Typ	Zatěžovací stavy	Souč. [-]
			LC7 - POKLES OPĚRY O1	1,35
			LC8 - POKLES OPĚRY O2	1,35
			LC11 - ROVN.TEPL.-OCHLAZENÍ	0,90
			LC12 - ROVN.TEPL.-OTEPLENÍ	0,90
			LC13 - NEROVN.TEPL.-OCHLAZENÍ	0,90
			LC14 - NEROVN.TEPL.-OTEPLENÍ	0,90
			LC15 - LM1/TS10,000 m	1,01
			LC16 - LM1/TS10,500 m	1,01
			LC17 - LM1/TS11,000 m	1,01
			LC18 - LM1/TS11,500 m	1,01
			LC19 - LM1/TS12,000 m	1,01
			LC20 - LM1/TS12,500 m	1,01
			LC21 - LM1/TS13,000 m	1,01
			LC22 - LM1/TS13,500 m	1,01
			LC23 - LM1/TS14,000 m	1,01
			LC24 - LM1/TS14,500 m	1,01
			LC25 - LM1/TS15,000 m	1,01
			LC26 - LM1/TS15,500 m	1,01
			LC27 - LM1/TS16,000 m	1,01
			LC28 - LM1/TS16,500 m	1,01
			LC29 - LM1/TS20,000 m	1,01
			LC30 - LM1/TS20,500 m	1,01
			LC31 - LM1/TS21,000 m	1,01
			LC32 - LM1/TS21,500 m	1,01
			LC33 - LM1/TS22,000 m	1,01
			LC34 - LM1/TS22,500 m	1,01
			LC35 - LM1/TS23,000 m	1,01
			LC36 - LM1/TS23,500 m	1,01
			LC37 - LM1/TS24,000 m	1,01
			LC38 - LM1/TS24,500 m	1,01
			LC39 - LM1/TS25,000 m	1,01
			LC40 - LM1/TS25,500 m	1,01
			LC41 - LM1/TS26,000 m	1,01
			LC42 - LM1/TS26,500 m	1,01
			LC43 - LM1_UDL1	0,54
			LC44 - LM1_UDL2	0,54
			LC45 - LM1_UDLr	0,54
			LC85 - LM1_TS1 ZA OPĚROU O1	1,13
			LC86 - LM1_TS2 ZA OPĚROU O1	1,13
			LC87 - LM1_TS1 ZA OPĚROU O2	1,13
			LC88 - LM1_TS2 ZA OPĚROU O2	1,13
			LC89 - LM1_UDL1 ZA OPĚROU O1	0,60
			LC90 - LM1_UDL2 ZA OPĚROU O1	0,60
			LC91 - LM1_UDLr ZA OPĚROU O1	0,60
			LC92 - LM1_UDL1 ZA OPĚROU O2	0,60
			LC93 - LM1_UDL2 ZA OPĚROU O2	0,60
			LC94 - LM1_UDLr ZA OPĚROU O2	0,60
			LC97 - CHODCI	0,54
CO6	MSÚ - 6.10b (LM1)	Obálka - únosnost	LC1 - VLASTNÍ TÍHA	1,15
			LC2 - OST.STÁLÉ	1,15
			LC4 - SMRŠTOVÁNÍ	1,15
			LC6 - ZÁSYP ZA OPĚRAMI	1,15
			LC7 - POKLES OPĚRY O1	1,15
			LC8 - POKLES OPĚRY O2	1,15
			LC11 - ROVN.TEPL.-OCHLAZENÍ	0,90
			LC12 - ROVN.TEPL.-OTEPLENÍ	0,90
			LC13 - NEROVN.TEPL.-OCHLAZENÍ	0,90
			LC14 - NEROVN.TEPL.-OTEPLENÍ	0,90
			LC15 - LM1/TS10,000 m	1,35
			LC16 - LM1/TS10,500 m	1,35
			LC17 - LM1/TS11,000 m	1,35
			LC18 - LM1/TS11,500 m	1,35
			LC19 - LM1/TS12,000 m	1,35
			LC20 - LM1/TS12,500 m	1,35
			LC21 - LM1/TS13,000 m	1,35
			LC22 - LM1/TS13,500 m	1,35
			LC23 - LM1/TS14,000 m	1,35
			LC24 - LM1/TS14,500 m	1,35
			LC25 - LM1/TS15,000 m	1,35
			LC26 - LM1/TS15,500 m	1,35
			LC27 - LM1/TS16,000 m	1,35
			LC28 - LM1/TS16,500 m	1,35
			LC29 - LM1/TS20,000 m	1,35
			LC30 - LM1/TS20,500 m	1,35
			LC31 - LM1/TS21,000 m	1,35
			LC32 - LM1/TS21,500 m	1,35

Jméno	Popis	Typ	Zatěžovací stav	Souč. [-]
			LC33 - LM1/TS22,000 m	1,35
			LC34 - LM1/TS22,500 m	1,35
			LC35 - LM1/TS23,000 m	1,35
			LC36 - LM1/TS23,500 m	1,35
			LC37 - LM1/TS24,000 m	1,35
			LC38 - LM1/TS24,500 m	1,35
			LC39 - LM1/TS25,000 m	1,35
			LC40 - LM1/TS25,500 m	1,35
			LC41 - LM1/TS26,000 m	1,35
			LC42 - LM1/TS26,500 m	1,35
			LC43 - LM1_UDL1	1,35
			LC44 - LM1_UDL2	1,35
			LC45 - LM1_UDLr	1,35
			LC85 - LM1_TS1 ZA OPĚROU O1	1,13
			LC86 - LM1_TS2 ZA OPĚROU O1	1,13
			LC87 - LM1_TS1 ZA OPĚROU O2	1,13
			LC88 - LM1_TS2 ZA OPĚROU O2	1,13
			LC89 - LM1_UDL1 ZA OPĚROU O1	0,60
			LC90 - LM1_UDL2 ZA OPĚROU O1	0,60
			LC91 - LM1_UDLr ZA OPĚROU O1	0,60
			LC92 - LM1_UDL1 ZA OPĚROU O2	0,60
			LC93 - LM1_UDL2 ZA OPĚROU O2	0,60
			LC94 - LM1_UDLr ZA OPĚROU O2	0,60
			LC97 - CHODCI	0,54
CO7	MSÚ - 6.10b (LM1) za opěrami	Obálka - únosnost	LC1 - VLASTNÍ TÍHA	1,15
			LC2 - OST.STÁLÉ	1,15
			LC4 - SMRŠTOVÁNÍ	1,15
			LC6 - ZÁSYP ZA OPĚRAMI	1,15
			LC7 - POKLES OPĚRY O1	1,15
			LC8 - POKLES OPĚRY O2	1,15
			LC11 - ROVN.TEPL.-OCHLAZENÍ	0,90
			LC12 - ROVN.TEPL.-OTEPLENÍ	0,90
			LC13 - NEROVN.TEPL.-OCHLAZENÍ	0,90
			LC14 - NEROVN.TEPL.-OTEPLENÍ	0,90
			LC15 - LM1/TS10,000 m	1,01
			LC16 - LM1/TS10,500 m	1,01
			LC17 - LM1/TS11,000 m	1,01
			LC18 - LM1/TS11,500 m	1,01
			LC19 - LM1/TS12,000 m	1,01
			LC20 - LM1/TS12,500 m	1,01
			LC21 - LM1/TS13,000 m	1,01
			LC22 - LM1/TS13,500 m	1,01
			LC23 - LM1/TS14,000 m	1,01
			LC24 - LM1/TS14,500 m	1,01
			LC25 - LM1/TS15,000 m	1,01
			LC26 - LM1/TS15,500 m	1,01
			LC27 - LM1/TS16,000 m	1,01
			LC28 - LM1/TS16,500 m	1,01
			LC29 - LM1/TS20,000 m	1,01
			LC30 - LM1/TS20,500 m	1,01
			LC31 - LM1/TS21,000 m	1,01
			LC32 - LM1/TS21,500 m	1,01
			LC33 - LM1/TS22,000 m	1,01
			LC34 - LM1/TS22,500 m	1,01
			LC35 - LM1/TS23,000 m	1,01
			LC36 - LM1/TS23,500 m	1,01
			LC37 - LM1/TS24,000 m	1,01
			LC38 - LM1/TS24,500 m	1,01
			LC39 - LM1/TS25,000 m	1,01
			LC40 - LM1/TS25,500 m	1,01
			LC41 - LM1/TS26,000 m	1,01
			LC42 - LM1/TS26,500 m	1,01
			LC43 - LM1_UDL1	0,54
			LC44 - LM1_UDL2	0,54
			LC45 - LM1_UDLr	0,54
			LC85 - LM1_TS1 ZA OPĚROU O1	1,50
			LC86 - LM1_TS2 ZA OPĚROU O1	1,50
			LC87 - LM1_TS1 ZA OPĚROU O2	1,50
			LC88 - LM1_TS2 ZA OPĚROU O2	1,50
			LC89 - LM1_UDL1 ZA OPĚROU O1	1,50
			LC90 - LM1_UDL2 ZA OPĚROU O1	1,50
			LC91 - LM1_UDLr ZA OPĚROU O1	1,50
			LC92 - LM1_UDL1 ZA OPĚROU O2	1,50
			LC93 - LM1_UDL2 ZA OPĚROU O2	1,50
			LC94 - LM1_UDLr ZA OPĚROU O2	1,50

Jméno	Popis	Typ	Zatěžovací stavy	Souč. [-]
CO8	MSÚ - 6.10b (LM1) teplota	Obálka - únosnost	LC97 - CHODCI	0,54
			LC1 - VLASTNÍ TÍHA	1,15
			LC2 - OST.STÁLÉ	1,15
			LC4 - SMRŠTOVÁNÍ	1,15
			LC6 - ZÁSYP ZA OPĚRAMI	1,15
			LC7 - POKLES OPĚRY O1	1,15
			LC8 - POKLES OPĚRY O2	1,15
			LC11 - ROVN.TEPL.-OCHLAZENÍ	1,50
			LC12 - ROVN.TEPL.-OTEPLENÍ	1,50
			LC13 - NEROVN.TEPL.-OCHLAZENÍ	1,50
			LC14 - NEROVN.TEPL.-OTEPLENÍ	1,50
			LC15 - LM1/TS10,000 m	1,01
			LC16 - LM1/TS10,500 m	1,01
			LC17 - LM1/TS11,000 m	1,01
			LC18 - LM1/TS11,500 m	1,01
			LC19 - LM1/TS12,000 m	1,01
			LC20 - LM1/TS12,500 m	1,01
			LC21 - LM1/TS13,000 m	1,01
			LC22 - LM1/TS13,500 m	1,01
			LC23 - LM1/TS14,000 m	1,01
			LC24 - LM1/TS14,500 m	1,01
			LC25 - LM1/TS15,000 m	1,01
			LC26 - LM1/TS15,500 m	1,01
			LC27 - LM1/TS16,000 m	1,01
			LC28 - LM1/TS16,500 m	1,01
			LC29 - LM1/TS20,000 m	1,01
			LC30 - LM1/TS20,500 m	1,01
			LC31 - LM1/TS21,000 m	1,01
			LC32 - LM1/TS21,500 m	1,01
			LC33 - LM1/TS22,000 m	1,01
			LC34 - LM1/TS22,500 m	1,01
			LC35 - LM1/TS23,000 m	1,01
			LC36 - LM1/TS23,500 m	1,01
			LC37 - LM1/TS24,000 m	1,01
			LC38 - LM1/TS24,500 m	1,01
			LC39 - LM1/TS25,000 m	1,01
			LC40 - LM1/TS25,500 m	1,01
			LC41 - LM1/TS26,000 m	1,01
			LC42 - LM1/TS26,500 m	1,01
			LC43 - LM1_UDL1	0,54
			LC44 - LM1_UDL2	0,54
			LC45 - LM1_UDLr	0,54
			LC85 - LM1_TS1 ZA OPĚROU O1	1,13
			LC86 - LM1_TS2 ZA OPĚROU O1	1,13
			LC87 - LM1_TS1 ZA OPĚROU O2	1,13
			LC88 - LM1_TS2 ZA OPĚROU O2	1,13
			LC89 - LM1_UDL1 ZA OPĚROU O1	0,60
			LC90 - LM1_UDL2 ZA OPĚROU O1	0,60
			LC91 - LM1_UDLr ZA OPĚROU O1	0,60
			LC92 - LM1_UDL1 ZA OPĚROU O2	0,60
			LC93 - LM1_UDL2 ZA OPĚROU O2	0,60
			LC94 - LM1_UDLr ZA OPĚROU O2	0,60
			LC97 - CHODCI	0,54
CO9	MSÚ - 6.10b (LM3)	Obálka - únosnost	LC1 - VLASTNÍ TÍHA	1,15
			LC2 - OST.STÁLÉ	1,15
			LC4 - SMRŠTOVÁNÍ	1,15
			LC6 - ZÁSYP ZA OPĚRAMI	1,15
			LC7 - POKLES OPĚRY O1	1,15
			LC8 - POKLES OPĚRY O2	1,15
			LC11 - ROVN.TEPL.-OCHLAZENÍ	0,90
			LC12 - ROVN.TEPL.-OTEPLENÍ	0,90
			LC13 - NEROVN.TEPL.-OCHLAZENÍ	0,90
			LC14 - NEROVN.TEPL.-OTEPLENÍ	0,90
			LC46 - LM3_0,000 m	1,35
			LC47 - LM3_0,500 m	1,35
			LC48 - LM3_1,000 m	1,35
			LC49 - LM3_1,500 m	1,35
			LC50 - LM3_2,000 m	1,35
			LC51 - LM3_2,500 m	1,35
			LC52 - LM3_3,000 m	1,35
			LC53 - LM3_3,500 m	1,35
			LC54 - LM3_4,000 m	1,35
			LC55 - LM3_4,500 m	1,35
			LC56 - LM3_5,000 m	1,35
			LC57 - LM3_5,500 m	1,35
			LC58 - LM3_6,000 m	1,35

Jméno	Popis	Typ	Zatěžovací stav	Souč. [-]
			LC59 - LM3_6,500 m	1,35
			LC60 - LM3_7,000 m	1,35
			LC61 - LM3_7,500 m	1,35
			LC62 - LM3_8,000 m	1,35
			LC63 - LM3_8,500 m	1,35
			LC64 - LM3_9,000 m	1,35
			LC65 - LM3_9,500 m	1,35
			LC66 - LM3_10,000 m	1,35
			LC67 - LM3_10,500 m	1,35
			LC68 - LM3_11,000 m	1,35
			LC69 - LM3_11,500 m	1,35
			LC70 - LM3_12,000 m	1,35
			LC71 - LM3_12,500 m	1,35
			LC72 - LM3_13,000 m	1,35
			LC73 - LM3_13,500 m	1,35
			LC74 - LM3_14,000 m	1,35
			LC75 - LM3_14,500 m	1,35
			LC76 - LM3_15,000 m	1,35
CO10	MSÚ - 6.10b (LM3) za opěrami	Obálka - únosnost	LC1 - VLASTNÍ TÍHA	1,15
			LC2 - OST.STÁLÉ	1,15
			LC4 - SMRŠTOVÁNÍ	1,15
			LC6 - ZÁSYP ZA OPĚRAMI	1,15
			LC7 - POKLES OPĚRY O1	1,15
			LC8 - POKLES OPĚRY O2	1,15
			LC11 - ROVN.TEPL.-OCHLAZENÍ	0,90
			LC12 - ROVN.TEPL.-OTEPLENÍ	0,90
			LC13 - NEROVN.TEPL.-OCHLAZENÍ	0,90
			LC14 - NEROVN.TEPL.-OTEPLENÍ	0,90
			LC95 - LM3_ZA OPĚROU O1	1,50
			LC96 - LM3_ZA OPĚROU O2	1,50
CO11	MSÚ - 6.10b (LM3) teplota	Obálka - únosnost	LC1 - VLASTNÍ TÍHA	1,15
			LC2 - OST.STÁLÉ	1,15
			LC4 - SMRŠTOVÁNÍ	1,15
			LC6 - ZÁSYP ZA OPĚRAMI	1,15
			LC7 - POKLES OPĚRY O1	1,15
			LC8 - POKLES OPĚRY O2	1,15
			LC11 - ROVN.TEPL.-OCHLAZENÍ	1,50
			LC12 - ROVN.TEPL.-OTEPLENÍ	1,50
			LC13 - NEROVN.TEPL.-OCHLAZENÍ	1,50
			LC14 - NEROVN.TEPL.-OTEPLENÍ	1,50
CO12	MSÚ - 6.10a (LM1) vodorovné	Obálka - únosnost	LC1 - VLASTNÍ TÍHA	1,35
			LC2 - OST.STÁLÉ	1,35
			LC4 - SMRŠTOVÁNÍ	1,35
			LC6 - ZÁSYP ZA OPĚRAMI	1,35
			LC7 - POKLES OPĚRY O1	1,35
			LC8 - POKLES OPĚRY O2	1,35
			LC11 - ROVN.TEPL.-OCHLAZENÍ	0,90
			LC12 - ROVN.TEPL.-OTEPLENÍ	0,90
			LC13 - NEROVN.TEPL.-OCHLAZENÍ	0,90
			LC14 - NEROVN.TEPL.-OTEPLENÍ	0,90
			LC15 - LM1/TS10,000 m	1,01
			LC16 - LM1/TS10,500 m	1,01
			LC17 - LM1/TS11,000 m	1,01
			LC18 - LM1/TS11,500 m	1,01
			LC19 - LM1/TS12,000 m	1,01
			LC20 - LM1/TS12,500 m	1,01
			LC21 - LM1/TS13,000 m	1,01
			LC22 - LM1/TS13,500 m	1,01
			LC23 - LM1/TS14,000 m	1,01
			LC24 - LM1/TS14,500 m	1,01
			LC25 - LM1/TS15,000 m	1,01
			LC26 - LM1/TS15,500 m	1,01
			LC27 - LM1/TS16,000 m	1,01
			LC28 - LM1/TS16,500 m	1,01
			LC29 - LM1/TS20,000 m	1,01
			LC30 - LM1/TS20,500 m	1,01
			LC31 - LM1/TS21,000 m	1,01
			LC32 - LM1/TS21,500 m	1,01
			LC33 - LM1/TS22,000 m	1,01
			LC34 - LM1/TS22,500 m	1,01
			LC35 - LM1/TS23,000 m	1,01
			LC36 - LM1/TS23,500 m	1,01
			LC37 - LM1/TS24,000 m	1,01
			LC38 - LM1/TS24,500 m	1,01

Jméno	Popis	Typ	Zatěžovací stav	Souč. [-]
			LC39 - LM1/TS25,000 m	1,01
			LC40 - LM1/TS25,500 m	1,01
			LC41 - LM1/TS26,000 m	1,01
			LC42 - LM1/TS26,500 m	1,01
			LC43 - LM1_UDL1	0,54
			LC44 - LM1_UDL2	0,54
			LC45 - LM1_UDLr	0,54
			LC77 - LM1_ROZJEZDOVÉ SÍLY	1,01
			LC78 - LM1_BRZDNÉ SÍLY	1,01
			LC81 - LM1_SMYK 1	1,01
			LC82 - LM1_SMYK 2	1,01
CO13	MSÚ - 6.10b (LM1) vodorovné	Obálka - únosnost	LC1 - VLASTNÍ TÍHA	1,15
			LC2 - OST.STÁLÉ	1,15
			LC4 - SMRŠTOVÁNÍ	1,15
			LC6 - ZÁSYP ZA OPĚRAMI	1,15
			LC7 - POKLES OPĚRY O1	1,15
			LC8 - POKLES OPĚRY O2	1,15
			LC11 - ROVN.TEPL.-OCHLAZENÍ	0,90
			LC12 - ROVN.TEPL.-OTEPLENÍ	0,90
			LC13 - NEROVN.TEPL.-OCHLAZENÍ	0,90
			LC14 - NEROVN.TEPL.-OTEPLENÍ	0,90
			LC15 - LM1/TS10,000 m	1,01
			LC16 - LM1/TS10,500 m	1,01
			LC17 - LM1/TS11,000 m	1,01
			LC18 - LM1/TS11,500 m	1,01
			LC19 - LM1/TS12,000 m	1,01
			LC20 - LM1/TS12,500 m	1,01
			LC21 - LM1/TS13,000 m	1,01
			LC22 - LM1/TS13,500 m	1,01
			LC23 - LM1/TS14,000 m	1,01
			LC24 - LM1/TS14,500 m	1,01
			LC25 - LM1/TS15,000 m	1,01
			LC26 - LM1/TS15,500 m	1,01
			LC27 - LM1/TS16,000 m	1,01
			LC28 - LM1/TS16,500 m	1,01
			LC29 - LM1/TS20,000 m	1,01
			LC30 - LM1/TS20,500 m	1,01
			LC31 - LM1/TS21,000 m	1,01
			LC32 - LM1/TS21,500 m	1,01
			LC33 - LM1/TS22,000 m	1,01
			LC34 - LM1/TS22,500 m	1,01
			LC35 - LM1/TS23,000 m	1,01
			LC36 - LM1/TS23,500 m	1,01
			LC37 - LM1/TS24,000 m	1,01
			LC38 - LM1/TS24,500 m	1,01
			LC39 - LM1/TS25,000 m	1,01
			LC40 - LM1/TS25,500 m	1,01
			LC41 - LM1/TS26,000 m	1,01
			LC42 - LM1/TS26,500 m	1,01
			LC43 - LM1_UDL1	0,54
			LC44 - LM1_UDL2	0,54
			LC45 - LM1_UDLr	0,54
			LC77 - LM1_ROZJEZDOVÉ SÍLY	1,35
			LC78 - LM1_BRZDNÉ SÍLY	1,35
			LC81 - LM1_SMYK 1	1,35
			LC82 - LM1_SMYK 2	1,35
CO14	MSÚ - 6.10b (LM3) vodorovné	Obálka - únosnost	LC1 - VLASTNÍ TÍHA	1,15
			LC2 - OST.STÁLÉ	1,15
			LC4 - SMRŠTOVÁNÍ	1,15
			LC6 - ZÁSYP ZA OPĚRAMI	1,15
			LC7 - POKLES OPĚRY O1	1,15
			LC8 - POKLES OPĚRY O2	1,15
			LC11 - ROVN.TEPL.-OCHLAZENÍ	0,90
			LC12 - ROVN.TEPL.-OTEPLENÍ	0,90
			LC13 - NEROVN.TEPL.-OCHLAZENÍ	0,90
			LC14 - NEROVN.TEPL.-OTEPLENÍ	0,90
			LC79 - LM3_ROZJEZDOVÉ SÍLY	1,35
			LC80 - LM3_BRZDNÉ SÍLY	1,35
			LC83 - LM3_SMYK 1	1,35
			LC84 - LM3_SMYK 2	1,35
CO15	MSÚ - 6.10a chodci	Obálka - únosnost	LC1 - VLASTNÍ TÍHA	1,35
			LC2 - OST.STÁLÉ	1,35
			LC4 - SMRŠTOVÁNÍ	1,35
			LC6 - ZÁSYP ZA OPĚRAMI	1,35

Jméno	Popis	Typ	Zatěžovací stav	Souč. [-]
			LC7 - POKLES OPĚRY O1	1,35
			LC8 - POKLES OPĚRY O2	1,35
			LC11 - ROVN.TEPL.-OCHLAZENÍ	0,90
			LC12 - ROVN.TEPL.-OTEPLENÍ	0,90
			LC13 - NEROVN.TEPL.-OCHLAZENÍ	0,90
			LC14 - NEROVN.TEPL.-OTEPLENÍ	0,90
			LC97 - CHODCI	0,54
CO16	MSÚ - 6.10b chodci	Obálka - únosnost	LC1 - VLASTNÍ TÍHA	1,15
			LC2 - OST.STÁLÉ	1,15
			LC4 - SMRŠTOVÁNÍ	1,15
			LC6 - ZÁSYP ZA OPĚRAMI	1,15
			LC7 - POKLES OPĚRY O1	1,15
			LC8 - POKLES OPĚRY O2	1,15
			LC11 - ROVN.TEPL.-OCHLAZENÍ	0,90
			LC12 - ROVN.TEPL.-OTEPLENÍ	0,90
			LC13 - NEROVN.TEPL.-OCHLAZENÍ	0,90
			LC14 - NEROVN.TEPL.-OTEPLENÍ	0,90
			LC97 - CHODCI	1,35
CO17	MSÚ - 6.10b chodci teplota	Obálka - únosnost	LC1 - VLASTNÍ TÍHA	1,15
			LC2 - OST.STÁLÉ	1,15
			LC4 - SMRŠTOVÁNÍ	1,15
			LC6 - ZÁSYP ZA OPĚRAMI	1,15
			LC7 - POKLES OPĚRY O1	1,15
			LC8 - POKLES OPĚRY O2	1,15
			LC11 - ROVN.TEPL.-OCHLAZENÍ	1,50
			LC12 - ROVN.TEPL.-OTEPLENÍ	1,50
			LC13 - NEROVN.TEPL.-OCHLAZENÍ	1,50
			LC14 - NEROVN.TEPL.-OTEPLENÍ	1,50
			LC97 - CHODCI	0,54
CO18	MSP - stálé zatížení	Obálka - použitelnost	LC1 - VLASTNÍ TÍHA	1,00
			LC2 - OST.STÁLÉ	1,00
			LC4 - SMRŠTOVÁNÍ	1,00
			LC6 - ZÁSYP ZA OPĚRAMI	1,00
			LC7 - POKLES OPĚRY O1	1,00
			LC8 - POKLES OPĚRY O2	1,00
CO19	MSP - stálé zatížení+hutnění	Obálka - použitelnost	LC1 - VLASTNÍ TÍHA	1,00
			LC2 - OST.STÁLÉ	1,00
			LC4 - SMRŠTOVÁNÍ	1,00
			LC9 - HUTNĚNÍ ZA OPĚROU O1	1,00
			LC10 - HUTNĚNÍ ZA OPĚROU O2	1,00
CO20	MSP - (LM1)	Obálka - použitelnost	LC1 - VLASTNÍ TÍHA	1,00
			LC2 - OST.STÁLÉ	1,00
			LC4 - SMRŠTOVÁNÍ	1,00
			LC6 - ZÁSYP ZA OPĚRAMI	1,00
			LC7 - POKLES OPĚRY O1	1,00
			LC8 - POKLES OPĚRY O2	1,00
			LC11 - ROVN.TEPL.-OCHLAZENÍ	0,60
			LC12 - ROVN.TEPL.-OTEPLENÍ	0,60
			LC13 - NEROVN.TEPL.-OCHLAZENÍ	0,60
			LC14 - NEROVN.TEPL.-OTEPLENÍ	0,60
			LC15 - LM1/TS10,000 m	1,00
			LC16 - LM1/TS10,500 m	1,00
			LC17 - LM1/TS11,000 m	1,00
			LC18 - LM1/TS11,500 m	1,00
			LC19 - LM1/TS12,000 m	1,00
			LC20 - LM1/TS12,500 m	1,00
			LC21 - LM1/TS13,000 m	1,00
			LC22 - LM1/TS13,500 m	1,00
			LC23 - LM1/TS14,000 m	1,00
			LC24 - LM1/TS14,500 m	1,00
			LC25 - LM1/TS15,000 m	1,00
			LC26 - LM1/TS15,500 m	1,00
			LC27 - LM1/TS16,000 m	1,00
			LC28 - LM1/TS16,500 m	1,00
			LC29 - LM1/TS20,000 m	1,00
			LC30 - LM1/TS20,500 m	1,00
			LC31 - LM1/TS21,000 m	1,00
			LC32 - LM1/TS21,500 m	1,00
			LC33 - LM1/TS22,000 m	1,00
			LC34 - LM1/TS22,500 m	1,00
			LC35 - LM1/TS23,000 m	1,00
			LC36 - LM1/TS23,500 m	1,00
			LC37 - LM1/TS24,000 m	1,00
			LC38 - LM1/TS24,500 m	1,00
			LC39 - LM1/TS25,000 m	1,00
			LC40 - LM1/TS25,500 m	1,00

Jméno	Popis	Typ	Zatěžovací stavy	Souč. [-]
			LC41 - LM1/TS26,000 m	1,00
			LC42 - LM1/TS26,500 m	1,00
			LC43 - LM1_UDL1	1,00
			LC44 - LM1_UDL2	1,00
			LC45 - LM1_UDLr	1,00
			LC85 - LM1_TS1 ZA OPĚROU O1	0,75
			LC86 - LM1_TS2 ZA OPĚROU O1	0,75
			LC87 - LM1_TS1 ZA OPĚROU O2	0,75
			LC88 - LM1_TS2 ZA OPĚROU O2	0,75
			LC89 - LM1_UDL1 ZA OPĚROU O1	0,40
			LC90 - LM1_UDL2 ZA OPĚROU O1	0,40
			LC91 - LM1_UDLr ZA OPĚROU O1	0,40
			LC92 - LM1_UDL1 ZA OPĚROU O2	0,40
			LC93 - LM1_UDL2 ZA OPĚROU O2	0,40
			LC94 - LM1_UDLr ZA OPĚROU O2	0,40
			LC97 - CHODCI	0,40
CO21	MSP - (LM1) za opěrami	Obálka - použitelnost	LC1 - VLASTNÍ TÍHA	1,00
			LC2 - OST.STÁLÉ	1,00
			LC4 - SMRŠTOVÁNÍ	1,00
			LC6 - ZÁSYP ZA OPĚRAMI	1,00
			LC7 - POKLES OPĚRY O1	1,00
			LC8 - POKLES OPĚRY O2	1,00
			LC11 - ROVN.TEPL.-OCHLAZENÍ	0,60
			LC12 - ROVN.TEPL.-OTEPLENÍ	0,60
			LC13 - NEROVN.TEPL.-OCHLAZENÍ	0,60
			LC14 - NEROVN.TEPL.-OTEPLENÍ	0,60
			LC15 - LM1/TS10,000 m	0,75
			LC16 - LM1/TS10,500 m	0,75
			LC17 - LM1/TS11,000 m	0,75
			LC18 - LM1/TS11,500 m	0,75
			LC19 - LM1/TS12,000 m	0,75
			LC20 - LM1/TS12,500 m	0,75
			LC21 - LM1/TS13,000 m	0,75
			LC22 - LM1/TS13,500 m	0,75
			LC23 - LM1/TS14,000 m	0,75
			LC24 - LM1/TS14,500 m	0,75
			LC25 - LM1/TS15,000 m	0,75
			LC26 - LM1/TS15,500 m	0,75
			LC27 - LM1/TS16,000 m	0,75
			LC28 - LM1/TS16,500 m	0,75
			LC29 - LM1/TS20,000 m	0,75
			LC30 - LM1/TS20,500 m	0,75
			LC31 - LM1/TS21,000 m	0,75
			LC32 - LM1/TS21,500 m	0,75
			LC33 - LM1/TS22,000 m	0,75
			LC34 - LM1/TS22,500 m	0,75
			LC35 - LM1/TS23,000 m	0,75
			LC36 - LM1/TS23,500 m	0,75
			LC37 - LM1/TS24,000 m	0,75
			LC38 - LM1/TS24,500 m	0,75
			LC39 - LM1/TS25,000 m	0,75
			LC40 - LM1/TS25,500 m	0,75
			LC41 - LM1/TS26,000 m	0,75
			LC42 - LM1/TS26,500 m	0,75
			LC43 - LM1_UDL1	0,40
			LC44 - LM1_UDL2	0,40
			LC45 - LM1_UDLr	0,40
			LC85 - LM1_TS1 ZA OPĚROU O1	1,00
			LC86 - LM1_TS2 ZA OPĚROU O1	1,00
			LC87 - LM1_TS1 ZA OPĚROU O2	1,00
			LC88 - LM1_TS2 ZA OPĚROU O2	1,00
			LC89 - LM1_UDL1 ZA OPĚROU O1	1,00
			LC90 - LM1_UDL2 ZA OPĚROU O1	1,00
			LC91 - LM1_UDLr ZA OPĚROU O1	1,00
			LC92 - LM1_UDL1 ZA OPĚROU O2	1,00
			LC93 - LM1_UDL2 ZA OPĚROU O2	1,00
			LC94 - LM1_UDLr ZA OPĚROU O2	1,00
			LC97 - CHODCI	0,40
CO22	MSP - (LM1) teplota	Obálka - použitelnost	LC1 - VLASTNÍ TÍHA	1,00
			LC2 - OST.STÁLÉ	1,00
			LC4 - SMRŠTOVÁNÍ	1,00
			LC6 - ZÁSYP ZA OPĚRAMI	1,00
			LC7 - POKLES OPĚRY O1	1,00
			LC8 - POKLES OPĚRY O2	1,00
			LC11 - ROVN.TEPL.-OCHLAZENÍ	1,00
			LC12 - ROVN.TEPL.-OTEPLENÍ	1,00

Jméno	Popis	Typ	Zatěžovací stavy	Souč. [-]
			LC13 - NEROVN.TEPL.-OCHLAZENÍ	1,00
			LC14 - NEROVN.TEPL.-OTEPLENÍ	1,00
			LC15 - LM1/TS10,000 m	0,75
			LC16 - LM1/TS10,500 m	0,75
			LC17 - LM1/TS11,000 m	0,75
			LC18 - LM1/TS11,500 m	0,75
			LC19 - LM1/TS12,000 m	0,75
			LC20 - LM1/TS12,500 m	0,75
			LC21 - LM1/TS13,000 m	0,75
			LC22 - LM1/TS13,500 m	0,75
			LC23 - LM1/TS14,000 m	0,75
			LC24 - LM1/TS14,500 m	0,75
			LC25 - LM1/TS15,000 m	0,75
			LC26 - LM1/TS15,500 m	0,75
			LC27 - LM1/TS16,000 m	0,75
			LC28 - LM1/TS16,500 m	0,75
			LC29 - LM1/TS20,000 m	0,75
			LC30 - LM1/TS20,500 m	0,75
			LC31 - LM1/TS21,000 m	0,75
			LC32 - LM1/TS21,500 m	0,75
			LC33 - LM1/TS22,000 m	0,75
			LC34 - LM1/TS22,500 m	0,75
			LC35 - LM1/TS23,000 m	0,75
			LC36 - LM1/TS23,500 m	0,75
			LC37 - LM1/TS24,000 m	0,75
			LC38 - LM1/TS24,500 m	0,75
			LC39 - LM1/TS25,000 m	0,75
			LC40 - LM1/TS25,500 m	0,75
			LC41 - LM1/TS26,000 m	0,75
			LC42 - LM1/TS26,500 m	0,75
			LC43 - LM1_UDL1	0,40
			LC44 - LM1_UDL2	0,40
			LC45 - LM1_UDLr	0,40
			LC85 - LM1_TS1 ZA OPĚROU O1	0,75
			LC86 - LM1_TS2 ZA OPĚROU O1	0,75
			LC87 - LM1_TS1 ZA OPĚROU O2	0,75
			LC88 - LM1_TS2 ZA OPĚROU O2	0,75
			LC89 - LM1_UDL1 ZA OPĚROU O1	0,40
			LC90 - LM1_UDL2 ZA OPĚROU O1	0,40
			LC91 - LM1_UDLr ZA OPĚROU O1	0,40
			LC92 - LM1_UDL1 ZA OPĚROU O2	0,40
			LC93 - LM1_UDL2 ZA OPĚROU O2	0,40
			LC94 - LM1_UDLr ZA OPĚROU O2	0,40
			LC97 - CHODCI	0,40
CO23	MSP - (LM3)	Obálka - použitelnost	LC1 - VLASTNÍ TÍHA	1,00
			LC2 - OST.STÁLÉ	1,00
			LC4 - SMRŠTOVÁNÍ	1,00
			LC6 - ZÁSYP ZA OPĚRAMI	1,00
			LC7 - POKLES OPĚRY O1	1,00
			LC8 - POKLES OPĚRY O2	1,00
			LC11 - ROVN.TEPL.-OCHLAZENÍ	0,60
			LC12 - ROVN.TEPL.-OTEPLENÍ	0,60
			LC13 - NEROVN.TEPL.-OCHLAZENÍ	0,60
			LC14 - NEROVN.TEPL.-OTEPLENÍ	0,60
			LC46 - LM3_0,000 m	1,00
			LC47 - LM3_0,500 m	1,00
			LC48 - LM3_1,000 m	1,00
			LC49 - LM3_1,500 m	1,00
			LC50 - LM3_2,000 m	1,00
			LC51 - LM3_2,500 m	1,00
			LC52 - LM3_3,000 m	1,00
			LC53 - LM3_3,500 m	1,00
			LC54 - LM3_4,000 m	1,00
			LC55 - LM3_4,500 m	1,00
			LC56 - LM3_5,000 m	1,00
			LC57 - LM3_5,500 m	1,00
			LC58 - LM3_6,000 m	1,00
			LC59 - LM3_6,500 m	1,00
			LC60 - LM3_7,000 m	1,00
			LC61 - LM3_7,500 m	1,00
			LC62 - LM3_8,000 m	1,00
			LC63 - LM3_8,500 m	1,00
			LC64 - LM3_9,000 m	1,00
			LC65 - LM3_9,500 m	1,00
			LC66 - LM3_10,000 m	1,00
			LC67 - LM3_10,500 m	1,00

Jméno	Popis	Typ	Zatěžovací stav	Souč. [-]
			LC68 - LM3_11,000 m	1,00
			LC69 - LM3_11,500 m	1,00
			LC70 - LM3_12,000 m	1,00
			LC71 - LM3_12,500 m	1,00
			LC72 - LM3_13,000 m	1,00
			LC73 - LM3_13,500 m	1,00
			LC74 - LM3_14,000 m	1,00
			LC75 - LM3_14,500 m	1,00
			LC76 - LM3_15,000 m	1,00
CO24	MSP - (LM3) za opěrami	Obálka - použitelnost	LC1 - VLASTNÍ TÍHA	1,00
			LC2 - OST.STÁLÉ	1,00
			LC4 - SMRŠTOVÁNÍ	1,00
			LC6 - ZÁSYP ZA OPĚRAMI	1,00
			LC7 - POKLES OPĚRY O1	1,00
			LC8 - POKLES OPĚRY O2	1,00
			LC11 - ROVN.TEPL.-OCHLAZENÍ	0,60
			LC12 - ROVN.TEPL.-OTEPLENÍ	0,60
			LC13 - NEROVN.TEPL.-OCHLAZENÍ	0,60
			LC14 - NEROVN.TEPL.-OTEPLENÍ	0,60
			LC95 - LM3_ZA OPĚROU O1	1,00
			LC96 - LM3_ZA OPĚROU O2	1,00
CO25	MSP - (LM3) teplota	Obálka - použitelnost	LC1 - VLASTNÍ TÍHA	1,00
			LC2 - OST.STÁLÉ	1,00
			LC4 - SMRŠTOVÁNÍ	1,00
			LC6 - ZÁSYP ZA OPĚRAMI	1,00
			LC7 - POKLES OPĚRY O1	1,00
			LC8 - POKLES OPĚRY O2	1,00
			LC11 - ROVN.TEPL.-OCHLAZENÍ	1,00
			LC12 - ROVN.TEPL.-OTEPLENÍ	1,00
			LC13 - NEROVN.TEPL.-OCHLAZENÍ	1,00
			LC14 - NEROVN.TEPL.-OTEPLENÍ	1,00
CO26	MSP - (LM1) vodorovné	Obálka - použitelnost	LC1 - VLASTNÍ TÍHA	1,00
			LC2 - OST.STÁLÉ	1,00
			LC4 - SMRŠTOVÁNÍ	1,00
			LC6 - ZÁSYP ZA OPĚRAMI	1,00
			LC7 - POKLES OPĚRY O1	1,00
			LC8 - POKLES OPĚRY O2	1,00
			LC11 - ROVN.TEPL.-OCHLAZENÍ	0,60
			LC12 - ROVN.TEPL.-OTEPLENÍ	0,60
			LC13 - NEROVN.TEPL.-OCHLAZENÍ	0,60
			LC14 - NEROVN.TEPL.-OTEPLENÍ	0,60
			LC15 - LM1/TS10,000 m	0,75
			LC16 - LM1/TS10,500 m	0,75
			LC17 - LM1/TS11,000 m	0,75
			LC18 - LM1/TS11,500 m	0,75
			LC19 - LM1/TS12,000 m	0,75
			LC20 - LM1/TS12,500 m	0,75
			LC21 - LM1/TS13,000 m	0,75
			LC22 - LM1/TS13,500 m	0,75
			LC23 - LM1/TS14,000 m	0,75
			LC24 - LM1/TS14,500 m	0,75
			LC25 - LM1/TS15,000 m	0,75
			LC26 - LM1/TS15,500 m	0,75
			LC27 - LM1/TS16,000 m	0,75
			LC28 - LM1/TS16,500 m	0,75
			LC29 - LM1/TS20,000 m	0,75
			LC30 - LM1/TS20,500 m	0,75
			LC31 - LM1/TS21,000 m	0,75
			LC32 - LM1/TS21,500 m	0,75
			LC33 - LM1/TS22,000 m	0,75
			LC34 - LM1/TS22,500 m	0,75
			LC35 - LM1/TS23,000 m	0,75
			LC36 - LM1/TS23,500 m	0,75
			LC37 - LM1/TS24,000 m	0,75
			LC38 - LM1/TS24,500 m	0,75
			LC39 - LM1/TS25,000 m	0,75
			LC40 - LM1/TS25,500 m	0,75
			LC41 - LM1/TS26,000 m	0,75
			LC42 - LM1/TS26,500 m	0,75
			LC43 - LM1_UDL1	0,40
			LC44 - LM1_UDL2	0,40
			LC45 - LM1_UDLr	0,40
			LC77 - LM1_ROZJEZDOVÉ SÍLY	1,00
			LC78 - LM1_BRZDNÉ SÍLY	1,00
			LC81 - LM1_SMYK 1	1,00
			LC82 - LM1_SMYK 2	1,00

Jméno	Popis	Typ	Zatěžovací stav	Souč. [-]
CO27	MSP - (LM3) vodorovné	Obálka - použitelnost	LC1 - VLASTNÍ TÍHA	1,00
			LC2 - OST.STÁLÉ	1,00
			LC4 - SMRŠTOVÁNÍ	1,00
			LC6 - ZÁSYP ZA OPĚRAMI	1,00
			LC7 - POKLES OPĚRY O1	1,00
			LC8 - POKLES OPĚRY O2	1,00
			LC11 - ROVN.TEPL.-OCHLAZENÍ	0,60
			LC12 - ROVN.TEPL.-OTEPLENÍ	0,60
			LC13 - NEROVN.TEPL.-OCHLAZENÍ	0,60
			LC14 - NEROVN.TEPL.-OTEPLENÍ	0,60
			LC79 - LM3_ROZJEZDOVÉ SÍLY	1,00
			LC80 - LM3_BRZDNÉ SÍLY	1,00
			LC83 - LM3_SMYK 1	1,00
			LC84 - LM3_SMYK 2	1,00
CO28	MSP - (chodci)	Obálka - použitelnost	LC1 - VLASTNÍ TÍHA	1,00
			LC2 - OST.STÁLÉ	1,00
			LC4 - SMRŠTOVÁNÍ	1,00
			LC6 - ZÁSYP ZA OPĚRAMI	1,00
			LC7 - POKLES OPĚRY O1	1,00
			LC8 - POKLES OPĚRY O2	1,00
			LC11 - ROVN.TEPL.-OCHLAZENÍ	0,60
			LC12 - ROVN.TEPL.-OTEPLENÍ	0,60
			LC13 - NEROVN.TEPL.-OCHLAZENÍ	0,60
			LC14 - NEROVN.TEPL.-OTEPLENÍ	0,60
			LC97 - CHODCI	1,00
CO29	MSP - (chodci) teplota	Obálka - použitelnost	LC1 - VLASTNÍ TÍHA	1,00
			LC2 - OST.STÁLÉ	1,00
			LC4 - SMRŠTOVÁNÍ	1,00
			LC6 - ZÁSYP ZA OPĚRAMI	1,00
			LC7 - POKLES OPĚRY O1	1,00
			LC8 - POKLES OPĚRY O2	1,00
			LC11 - ROVN.TEPL.-OCHLAZENÍ	1,00
			LC12 - ROVN.TEPL.-OTEPLENÍ	1,00
			LC13 - NEROVN.TEPL.-OCHLAZENÍ	1,00
			LC14 - NEROVN.TEPL.-OTEPLENÍ	1,00
			LC97 - CHODCI	0,40
CO30	MIM - náraz do obruby	EN-mimořádné 1	LC1 - VLASTNÍ TÍHA	1,00
			LC2 - OST.STÁLÉ	1,00
			LC4 - SMRŠTOVÁNÍ	1,00
			LC6 - ZÁSYP ZA OPĚRAMI	1,00
			LC7 - POKLES OPĚRY O1	1,00
			LC8 - POKLES OPĚRY O2	1,00
			LC98 - NÁRAZ DO KŘÍDLA O1P	1,00
			LC99 - NÁRAZ DO KŘÍDLA O1P-OPĚRA TS1	1,00
			LC100 - NÁRAZ DO KŘÍDLA O1L	1,00
			LC101 - NÁRAZ DO KŘÍDLA O1L-OPĚRA TS1	1,00
			LC102 - NÁRAZ DO KŘÍDLA O2P	1,00
			LC103 - NÁRAZ DO KŘÍDLA O2P-OPĚRA TS1	1,00
			LC104 - NÁRAZ DO KŘÍDLA O2L	1,00
			LC105 - NÁRAZ DO KŘÍDLA O2L-OPĚRA TS1	1,00
CO31	MIM - vozidlo na římse O1	EN-mimořádné 1	LC1 - VLASTNÍ TÍHA	1,00
			LC2 - OST.STÁLÉ	1,00
			LC4 - SMRŠTOVÁNÍ	1,00
			LC6 - ZÁSYP ZA OPĚRAMI	1,00
			LC7 - POKLES OPĚRY O1	1,00
			LC8 - POKLES OPĚRY O2	1,00
			LC106 - MIM_0,000 m	1,00
			LC120 - VOZIDLO NA ŘÍMSE-OPĚRA O1	1,00
CO32	MIM - vozidlo na římse most	EN-mimořádné 1	LC1 - VLASTNÍ TÍHA	1,00
			LC2 - OST.STÁLÉ	1,00
			LC4 - SMRŠTOVÁNÍ	1,00
			LC6 - ZÁSYP ZA OPĚRAMI	1,00
			LC7 - POKLES OPĚRY O1	1,00
			LC8 - POKLES OPĚRY O2	1,00
			LC107 - MIM_0,500 m	1,00
			LC108 - MIM_1,000 m	1,00
			LC109 - MIM_1,500 m	1,00
			LC110 - MIM_2,000 m	1,00
			LC111 - MIM_2,500 m	1,00
			LC112 - MIM_3,000 m	1,00
			LC113 - MIM_3,500 m	1,00
			LC114 - MIM_4,000 m	1,00
			LC115 - MIM_4,500 m	1,00
			LC116 - MIM_5,000 m	1,00
			LC117 - MIM_5,500 m	1,00
			LC118 - MIM_6,000 m	1,00

Jméno	Popis	Typ	Zatěžovací stavy	Souč. [-]
CO33	MIM - vozidlo na římse O2	EN-mimořádné 1	LC1 - VLASTNÍ TÍHA	1,00
			LC2 - OST.STÁLÉ	1,00
			LC4 - SMRŠTOVÁNÍ	1,00
			LC6 - ZÁSYP ZA OPĚRAMI	1,00
			LC7 - POKLES OPĚRY O1	1,00
			LC8 - POKLES OPĚRY O2	1,00
			LC119 - MIM_6,500 m	1,00
			LC121 - VOZIDLO NA ŘÍMSE-OPĚRA O2	1,00
CO34	MSÚ - MOSTOVKA STŘED MAX mxD-	Lineární - únosnost	LC1 - VLASTNÍ TÍHA	1,15
			LC2 - OST.STÁLÉ	1,15
			LC4 - SMRŠTOVÁNÍ	1,15
			LC6 - ZÁSYP ZA OPĚRAMI	1,15
			LC7 - POKLES OPĚRY O1	1,15
			LC14 - NEROVN.TEPL.-OTEPLENÍ	0,90
			LC21 - LM1/TS13,000 m	1,35
			LC35 - LM1/TS23,000 m	1,35
			LC43 - LM1_UDL1	1,35
			LC44 - LM1_UDL2	1,35
			LC45 - LM1_UDLr	1,35
			LC97 - CHODCI	0,54
CO35	MSÚ - MOSTOVKA STŘED MAX mxD+	Lineární - únosnost	LC1 - VLASTNÍ TÍHA	1,35
			LC2 - OST.STÁLÉ	1,35
			LC4 - SMRŠTOVÁNÍ	1,35
			LC6 - ZÁSYP ZA OPĚRAMI	1,35
			LC7 - POKLES OPĚRY O1	1,35
			LC10 - HUTNĚNÍ ZA OPĚROU O2	1,50
CO36	MSÚ - MOSTOVKA STŘED MIN nx	Lineární - únosnost	LC1 - VLASTNÍ TÍHA	1,35
			LC2 - OST.STÁLÉ	1,35
			LC4 - SMRŠTOVÁNÍ	1,35
			LC6 - ZÁSYP ZA OPĚRAMI	1,35
			LC7 - POKLES OPĚRY O1	1,35
			LC10 - HUTNĚNÍ ZA OPĚROU O2	1,50
CO37	MSÚ - MOSTOVKA STŘED MAX vx	Lineární - únosnost	LC1 - VLASTNÍ TÍHA	1,15
			LC2 - OST.STÁLÉ	1,15
			LC4 - SMRŠTOVÁNÍ	1,15
			LC6 - ZÁSYP ZA OPĚRAMI	1,15
			LC7 - POKLES OPĚRY O1	1,15
			LC18 - LM1/TS11,500 m	1,35
			LC32 - LM1/TS21,500 m	1,35
			LC89 - LM1_UDL1 ZA OPĚROU O1	0,60
			LC90 - LM1_UDL2 ZA OPĚROU O1	0,60
			LC91 - LM1_UDLr ZA OPĚROU O1	0,60
CO38	MSÚ - MOSTOVKA STŘED MAX nx	Lineární - únosnost	LC1 - VLASTNÍ TÍHA	1,15
			LC2 - OST.STÁLÉ	1,15
			LC4 - SMRŠTOVÁNÍ	1,15
			LC6 - ZÁSYP ZA OPĚRAMI	1,15
			LC7 - POKLES OPĚRY O1	1,15
			LC11 - ROVN.TEPL.-OCHLAZENÍ	0,90
			LC13 - NEROVN.TEPL.-OCHLAZENÍ	0,90
			LC21 - LM1/TS13,000 m	1,35
			LC35 - LM1/TS23,000 m	1,35
			LC43 - LM1_UDL1	1,35
			LC44 - LM1_UDL2	1,35
			LC45 - LM1_UDLr	1,35
			LC97 - CHODCI	0,54
CO39	MSÚ - MOSTOVKA ZAČÁTEK NÁBĚHU MAX mxD+	Lineární - únosnost	LC1 - VLASTNÍ TÍHA	1,35
			LC2 - OST.STÁLÉ	1,35
			LC4 - SMRŠTOVÁNÍ	1,35
			LC6 - ZÁSYP ZA OPĚRAMI	1,35
			LC7 - POKLES OPĚRY O1	1,35
			LC10 - HUTNĚNÍ ZA OPĚROU O2	1,50
CO40	MSÚ - MOSTOVKA ZAČÁTEK NÁBĚHU MAX vx	Lineární - únosnost	LC1 - VLASTNÍ TÍHA	1,15
			LC2 - OST.STÁLÉ	1,15
			LC4 - SMRŠTOVÁNÍ	1,15
			LC6 - ZÁSYP ZA OPĚRAMI	1,15
			LC7 - POKLES OPĚRY O1	1,15
			LC12 - ROVN.TEPL.-OTEPLENÍ	0,90
			LC14 - NEROVN.TEPL.-OTEPLENÍ	0,90
			LC24 - LM1/TS14,500 m	1,35

Jméno	Popis	Typ	Zatěžovací stav	Souč. [-]
			LC37 - LM1/TS24,000 m	1,35
			LC43 - LM1_UDL1	1,35
			LC44 - LM1_UDL2	1,35
			LC45 - LM1_UDLr	1,35
			LC85 - LM1_TS1 ZA OPĚROU O1	1,13
			LC86 - LM1_TS2 ZA OPĚROU O1	1,13
			LC89 - LM1_UDL1 ZA OPĚROU O1	0,60
			LC90 - LM1_UDL2 ZA OPĚROU O1	0,60
			LC91 - LM1_UDLr ZA OPĚROU O1	0,60
			LC92 - LM1_UDL1 ZA OPĚROU O2	0,60
			LC93 - LM1_UDL2 ZA OPĚROU O2	0,60
			LC94 - LM1_UDLr ZA OPĚROU O2	0,60
			LC97 - CHODCI	0,54
CO41	MSÚ - MOSTOVKA ZAČÁTEK NÁBĚHU MIN nx	Lineární - únosnost	LC1 - VLASTNÍ TÍHA	1,35
			LC2 - OST.STÁLÉ	1,35
			LC4 - SMRŠTOVÁNÍ	1,35
			LC6 - ZÁSYP ZA OPĚRAMI	1,35
			LC8 - POKLES OPĚRY O2	1,35
			LC10 - HUTNĚNÍ ZA OPĚROU O2	1,50
CO42	MSÚ - MOSTOVKA ZAČÁTEK NÁBĚHU MAX nx	Lineární - únosnost	LC1 - VLASTNÍ TÍHA	1,15
			LC2 - OST.STÁLÉ	1,15
			LC4 - SMRŠTOVÁNÍ	1,15
			LC6 - ZÁSYP ZA OPĚRAMI	1,15
			LC8 - POKLES OPĚRY O2	1,15
			LC11 - ROVN.TEPL.-OCHLAZENÍ	1,50
			LC13 - NEROVN.TEPL.-OCHLAZENÍ	1,50
			LC23 - LM1/TS14,000 m	1,01
			LC37 - LM1/TS24,000 m	1,01
			LC43 - LM1_UDL1	0,54
			LC44 - LM1_UDL2	0,54
			LC45 - LM1_UDLr	0,54
			LC87 - LM1_TS1 ZA OPĚROU O2	1,13
			LC88 - LM1_TS2 ZA OPĚROU O2	1,13
			LC92 - LM1_UDL1 ZA OPĚROU O2	0,60
			LC93 - LM1_UDL2 ZA OPĚROU O2	0,60
			LC94 - LM1_UDLr ZA OPĚROU O2	0,60
			LC97 - CHODCI	0,54
CO43	MSÚ - RÁMOVÝ ROH MAX mxD+	Lineární - únosnost	LC1 - VLASTNÍ TÍHA	1,35
			LC2 - OST.STÁLÉ	1,35
			LC4 - SMRŠTOVÁNÍ	1,35
			LC6 - ZÁSYP ZA OPĚRAMI	1,35
			LC7 - POKLES OPĚRY O1	1,35
			LC10 - HUTNĚNÍ ZA OPĚROU O2	1,50
CO44	MSÚ - OPĚRA POD MOSTOVKOU MAX mxD+	Lineární - únosnost	LC1 - VLASTNÍ TÍHA	1,35
			LC2 - OST.STÁLÉ	1,35
			LC4 - SMRŠTOVÁNÍ	1,35
			LC6 - ZÁSYP ZA OPĚRAMI	1,35
			LC7 - POKLES OPĚRY O1	1,35
			LC10 - HUTNĚNÍ ZA OPĚROU O2	1,50
CO45	MSÚ - OPĚRA POD MOSTOVKOU MAX nx	Lineární - únosnost	LC1 - VLASTNÍ TÍHA	1,35
			LC2 - OST.STÁLÉ	1,35
			LC4 - SMRŠTOVÁNÍ	1,35
			LC6 - ZÁSYP ZA OPĚRAMI	1,35
			LC7 - POKLES OPĚRY O1	1,35
			LC10 - HUTNĚNÍ ZA OPĚROU O2	1,50
CO46	MSÚ - OPĚRA POD MOSTOVKOU MAX vx	Lineární - únosnost	LC1 - VLASTNÍ TÍHA	1,15
			LC2 - OST.STÁLÉ	1,15
			LC4 - SMRŠTOVÁNÍ	1,15
			LC6 - ZÁSYP ZA OPĚRAMI	1,15
			LC7 - POKLES OPĚRY O1	1,15
			LC11 - ROVN.TEPL.-OCHLAZENÍ	0,90
			LC13 - NEROVN.TEPL.-OCHLAZENÍ	0,90
			LC24 - LM1/TS14,500 m	1,01
			LC38 - LM1/TS24,500 m	1,01
			LC43 - LM1_UDL1	0,54
			LC44 - LM1_UDL2	0,54
			LC45 - LM1_UDLr	0,54
			LC87 - LM1_TS1 ZA OPĚROU O2	1,50
			LC88 - LM1_TS2 ZA OPĚROU O2	1,50
			LC89 - LM1_UDL1 ZA OPĚROU O1	1,50

Jméno	Popis	Typ	Zatěžovací stavy	Souč. [-]
			LC90 - LM1_UDL2 ZA OPĚROU O1	1,50
			LC91 - LM1_UDLr ZA OPĚROU O1	1,50
			LC92 - LM1_UDL1 ZA OPĚROU O2	1,50
			LC93 - LM1_UDL2 ZA OPĚROU O2	1,50
			LC94 - LM1_UDLr ZA OPĚROU O2	1,50
			LC97 - CHODCI	0,54
CO47	MSÚ - OPĚRA POD MOSTOVKOU MIN nx	Lineární - únosnost	LC1 - VLASTNÍ TÍHA	1,15
			LC2 - OST.STÁLÉ	1,15
			LC4 - SMRŠTOVÁNÍ	1,15
			LC6 - ZÁSYP ZA OPĚRAMI	1,15
			LC7 - POKLES OPĚRY O1	1,15
			LC11 - ROVN.TEPL.-OCHLAZENÍ	0,90
			LC13 - NEROVN.TEPL.-OCHLAZENÍ	0,90
			LC19 - LM1/TS12,000 m	1,35
			LC33 - LM1/TS22,000 m	1,35
			LC43 - LM1_UDL1	1,35
			LC44 - LM1_UDL2	1,35
			LC45 - LM1_UDLr	1,35
			LC97 - CHODCI	0,54
CO48	MSÚ - OPĚRA PATA MAX mxD+	Lineární - únosnost	LC1 - VLASTNÍ TÍHA	1,35
			LC2 - OST.STÁLÉ	1,35
			LC4 - SMRŠTOVÁNÍ	1,35
			LC6 - ZÁSYP ZA OPĚRAMI	1,35
			LC7 - POKLES OPĚRY O1	1,35
			LC10 - HUTNĚNÍ ZA OPĚROU O2	1,50
CO49	MSÚ - OPĚRA PATA MAX mxD-	Lineární - únosnost	LC1 - VLASTNÍ TÍHA	1,35
			LC2 - OST.STÁLÉ	1,35
			LC4 - SMRŠTOVÁNÍ	1,35
			LC6 - ZÁSYP ZA OPĚRAMI	1,35
			LC7 - POKLES OPĚRY O1	1,35
			LC10 - HUTNĚNÍ ZA OPĚROU O2	1,50
CO50	MSÚ - OPĚRA PATA MAX nx	Lineární - únosnost	LC1 - VLASTNÍ TÍHA	1,15
			LC2 - OST.STÁLÉ	1,15
			LC4 - SMRŠTOVÁNÍ	1,15
			LC6 - ZÁSYP ZA OPĚRAMI	1,15
			LC8 - POKLES OPĚRY O2	1,15
			LC12 - ROVN.TEPL.-OTEPLENÍ	1,50
			LC14 - NEROVN.TEPL.-OTEPLENÍ	1,50
			LC25 - LM1/TS15,000 m	1,01
			LC39 - LM1/TS25,000 m	1,01
			LC43 - LM1_UDL1	0,54
			LC44 - LM1_UDL2	0,54
			LC45 - LM1_UDLr	0,54
			LC86 - LM1_TS2 ZA OPĚROU O1	1,13
			LC87 - LM1_TS1 ZA OPĚROU O2	1,13
			LC90 - LM1_UDL2 ZA OPĚROU O1	0,60
			LC91 - LM1_UDLr ZA OPĚROU O1	0,60
			LC92 - LM1_UDL1 ZA OPĚROU O2	0,60
			LC93 - LM1_UDL2 ZA OPĚROU O2	0,60
			LC94 - LM1_UDLr ZA OPĚROU O2	0,60
			LC97 - CHODCI	0,54
CO51	MSÚ - OPĚRA PATA MAX vx	Lineární - únosnost	LC1 - VLASTNÍ TÍHA	1,35
			LC2 - OST.STÁLÉ	1,35
			LC4 - SMRŠTOVÁNÍ	1,35
			LC6 - ZÁSYP ZA OPĚRAMI	1,35
			LC8 - POKLES OPĚRY O2	1,35
			LC10 - HUTNĚNÍ ZA OPĚROU O2	1,50
CO52	MSÚ - OPĚRA PATA MIN nx	Lineární - únosnost	LC1 - VLASTNÍ TÍHA	1,15
			LC2 - OST.STÁLÉ	1,15
			LC4 - SMRŠTOVÁNÍ	1,15
			LC6 - ZÁSYP ZA OPĚRAMI	1,15
			LC8 - POKLES OPĚRY O2	1,15
			LC12 - ROVN.TEPL.-OTEPLENÍ	0,90
			LC14 - NEROVN.TEPL.-OTEPLENÍ	0,90
			LC52 - LM3_3,000 m	1,35
CO53	MSÚ - POPRSNÍ ŽÍDKA MAX myD-	Lineární - únosnost	LC1 - VLASTNÍ TÍHA	1,15
			LC2 - OST.STÁLÉ	1,15
			LC4 - SMRŠTOVÁNÍ	1,15
			LC6 - ZÁSYP ZA OPĚRAMI	1,15
			LC7 - POKLES OPĚRY O1	1,15
			LC11 - ROVN.TEPL.-OCHLAZENÍ	0,90
			LC13 - NEROVN.TEPL.-OCHLAZENÍ	0,90

Jméno	Popis	Typ	Zatěžovací stavy	Souč. [-]
			LC22 - LM1/TS13,500 m	1,35
			LC36 - LM1/TS23,500 m	1,35
			LC43 - LM1_UDL1	1,35
			LC44 - LM1_UDL2	1,35
			LC45 - LM1_UDLr	1,35
			LC97 - CHODCI	0,54
CO54	MSÚ - POPRSNÍ ZÍDKA MAX myD+	Lineární - únosnost	LC1 - VLASTNÍ TÍHA	1,15
			LC2 - OST.STÁLÉ	1,15
			LC4 - SMRŠTOVÁNÍ	1,15
			LC6 - ZÁSYPA ZA OPĚRAMI	1,15
			LC8 - POKLES OPĚRY O2	1,15
			LC12 - ROVN.TEPL.-OTEPLENÍ	0,90
			LC14 - NEROVN.TEPL.-OTEPLENÍ	0,90
			LC26 - LM1/TS15,500 m	1,01
			LC39 - LM1/TS25,000 m	1,01
			LC43 - LM1_UDL1	0,54
			LC44 - LM1_UDL2	0,54
			LC45 - LM1_UDLr	0,54
			LC87 - LM1_TS1 ZA OPĚROU O2	1,50
			LC88 - LM1_TS2 ZA OPĚROU O2	1,50
			LC89 - LM1_UDL1 ZA OPĚROU O1	1,50
			LC90 - LM1_UDL2 ZA OPĚROU O1	1,50
			LC91 - LM1_UDLr ZA OPĚROU O1	1,50
			LC92 - LM1_UDL1 ZA OPĚROU O2	1,50
			LC93 - LM1_UDL2 ZA OPĚROU O2	1,50
			LC94 - LM1_UDLr ZA OPĚROU O2	1,50
			LC97 - CHODCI	0,54
CO55	MSÚ - POPRSNÍ ZÍDKA MIN ny-	Lineární - únosnost	LC1 - VLASTNÍ TÍHA	1,35
			LC2 - OST.STÁLÉ	1,35
			LC4 - SMRŠTOVÁNÍ	1,35
			LC6 - ZÁSYPA ZA OPĚRAMI	1,35
			LC7 - POKLES OPĚRY O1	1,35
			LC10 - HUTNĚNÍ ZA OPĚROU O2	1,50
CO56	MSÚ - POPRSNÍ ZÍDKA MAX ny+	Lineární - únosnost	LC1 - VLASTNÍ TÍHA	1,15
			LC2 - OST.STÁLÉ	1,15
			LC4 - SMRŠTOVÁNÍ	1,15
			LC6 - ZÁSYPA ZA OPĚRAMI	1,15
			LC8 - POKLES OPĚRY O2	1,15
			LC11 - ROVN.TEPL.-OCHLAZENÍ	0,90
			LC20 - LM1/TS12,500 m	1,35
			LC34 - LM1/TS22,500 m	1,35
			LC43 - LM1_UDL1	1,35
			LC44 - LM1_UDL2	1,35
			LC45 - LM1_UDLr	1,35
			LC87 - LM1_TS1 ZA OPĚROU O2	1,13
			LC88 - LM1_TS2 ZA OPĚROU O2	1,13
			LC89 - LM1_UDL1 ZA OPĚROU O1	0,60
			LC90 - LM1_UDL2 ZA OPĚROU O1	0,60
			LC91 - LM1_UDLr ZA OPĚROU O1	0,60
			LC92 - LM1_UDL1 ZA OPĚROU O2	0,60
			LC93 - LM1_UDL2 ZA OPĚROU O2	0,60
			LC94 - LM1_UDLr ZA OPĚROU O2	0,60
			LC97 - CHODCI	0,54
CO57	MSÚ - POPRSNÍ ZÍDKA vy	Lineární - únosnost	LC1 - VLASTNÍ TÍHA	1,35
			LC2 - OST.STÁLÉ	1,35
			LC4 - SMRŠTOVÁNÍ	1,35
			LC6 - ZÁSYPA ZA OPĚRAMI	1,35
			LC7 - POKLES OPĚRY O1	1,35
			LC10 - HUTNĚNÍ ZA OPĚROU O2	1,50
CO58	MSÚ - KŘÍDLO MAX mxD+	Lineární - únosnost	LC1 - VLASTNÍ TÍHA	1,35
			LC2 - OST.STÁLÉ	1,35
			LC4 - SMRŠTOVÁNÍ	1,35
			LC6 - ZÁSYPA ZA OPĚRAMI	1,35
			LC8 - POKLES OPĚRY O2	1,35
			LC10 - HUTNĚNÍ ZA OPĚROU O2	1,50
CO59	MSÚ - KŘÍDLO MAX nx+	Lineární - únosnost	LC1 - VLASTNÍ TÍHA	1,35
			LC2 - OST.STÁLÉ	1,35
			LC4 - SMRŠTOVÁNÍ	1,35
			LC6 - ZÁSYPA ZA OPĚRAMI	1,35
			LC7 - POKLES OPĚRY O1	1,35
			LC10 - HUTNĚNÍ ZA OPĚROU O2	1,50
CO60	MSÚ - KŘÍDLO MAX vx	Lineární - únosnost	LC1 - VLASTNÍ TÍHA	1,35
			LC2 - OST.STÁLÉ	1,35

Jméno	Popis	Typ	Zatěžovací stavy	Souč. [-]
			LC4 - SMRŠTOVÁNÍ	1,35
			LC6 - ZÁSYP ZA OPĚRAMI	1,35
			LC8 - POKLES OPĚRY O2	1,35
			LC10 - HUTNĚNÍ ZA OPĚROU O2	1,50
CO61	MSP - MOSTOVKA STŘED MAX mxD-	Lineární - použitelnost	LC1 - VLASTNÍ TÍHA	1,00
			LC2 - OST.STÁLÉ	1,00
			LC4 - SMRŠTOVÁNÍ	1,00
			LC6 - ZÁSYP ZA OPĚRAMI	1,00
			LC7 - POKLES OPĚRY O1	1,00
			LC14 - NEROVN.TEPL.-OTEPLENÍ	0,60
			LC21 - LM1/TS13,000 m	1,00
			LC35 - LM1/TS23,000 m	1,00
			LC43 - LM1_UDL1	1,00
			LC44 - LM1_UDL2	1,00
			LC45 - LM1_UDLr	1,00
			LC97 - CHODCI	0,40
CO62	MSP - MOSTOVKA STŘED MAX mxD+	Lineární - použitelnost	LC1 - VLASTNÍ TÍHA	1,00
			LC2 - OST.STÁLÉ	1,00
			LC4 - SMRŠTOVÁNÍ	1,00
			LC6 - ZÁSYP ZA OPĚRAMI	1,00
			LC7 - POKLES OPĚRY O1	1,00
			LC10 - HUTNĚNÍ ZA OPĚROU O2	1,00
CO63	MSP - MOSTOVKA STŘED MIN nx	Lineární - použitelnost	LC1 - VLASTNÍ TÍHA	1,00
			LC2 - OST.STÁLÉ	1,00
			LC4 - SMRŠTOVÁNÍ	1,00
			LC6 - ZÁSYP ZA OPĚRAMI	1,00
			LC7 - POKLES OPĚRY O1	1,00
			LC10 - HUTNĚNÍ ZA OPĚROU O2	1,00
CO64	MSP - MOSTOVKA STŘED MAX vx	Lineární - použitelnost	LC1 - VLASTNÍ TÍHA	1,00
			LC2 - OST.STÁLÉ	1,00
			LC4 - SMRŠTOVÁNÍ	1,00
			LC6 - ZÁSYP ZA OPĚRAMI	1,00
			LC7 - POKLES OPĚRY O1	1,00
			LC18 - LM1/TS11,500 m	1,00
			LC32 - LM1/TS21,500 m	1,00
			LC89 - LM1_UDL1 ZA OPĚROU O1	0,40
			LC90 - LM1_UDL2 ZA OPĚROU O1	0,40
			LC91 - LM1_UDLr ZA OPĚROU O1	0,40
CO65	MSP - MOSTOVKA STŘED MAX nx	Lineární - použitelnost	LC1 - VLASTNÍ TÍHA	1,00
			LC2 - OST.STÁLÉ	1,00
			LC4 - SMRŠTOVÁNÍ	1,00
			LC6 - ZÁSYP ZA OPĚRAMI	1,00
			LC7 - POKLES OPĚRY O1	1,00
			LC11 - ROVN.TEPL.-OCHLAZENÍ	0,60
			LC13 - NEROVN.TEPL.-OCHLAZENÍ	0,60
			LC21 - LM1/TS13,000 m	1,00
			LC35 - LM1/TS23,000 m	1,00
			LC43 - LM1_UDL1	1,00
			LC44 - LM1_UDL2	1,00
			LC45 - LM1_UDLr	1,00
			LC97 - CHODCI	0,40
CO66	MSP - MOSTOVKA ZAČÁTEK NÁBĚHU MAX mxD+	Lineární - použitelnost	LC1 - VLASTNÍ TÍHA	1,00
			LC2 - OST.STÁLÉ	1,00
			LC4 - SMRŠTOVÁNÍ	1,00
			LC6 - ZÁSYP ZA OPĚRAMI	1,00
			LC7 - POKLES OPĚRY O1	1,00
			LC10 - HUTNĚNÍ ZA OPĚROU O2	1,00
CO67	MSP - MOSTOVKA ZAČÁTEK NÁBĚHU MAX vx	Lineární - použitelnost	LC1 - VLASTNÍ TÍHA	1,00
			LC2 - OST.STÁLÉ	1,00
			LC4 - SMRŠTOVÁNÍ	1,00
			LC6 - ZÁSYP ZA OPĚRAMI	1,00
			LC7 - POKLES OPĚRY O1	1,00
			LC12 - ROVN.TEPL.-OTEPLENÍ	0,60
			LC14 - NEROVN.TEPL.-OTEPLENÍ	0,60
			LC24 - LM1/TS14,500 m	1,00
			LC37 - LM1/TS24,000 m	1,00
			LC43 - LM1_UDL1	1,00
			LC44 - LM1_UDL2	1,00
			LC45 - LM1_UDLr	1,00

Jméno	Popis	Typ	Zatěžovací stavy	Souč. [-]
			LC85 - LM1_TS1 ZA OPĚROU O1	0,75
			LC86 - LM1_TS2 ZA OPĚROU O1	0,75
			LC89 - LM1_UDL1 ZA OPĚROU O1	0,40
			LC90 - LM1_UDL2 ZA OPĚROU O1	0,40
			LC91 - LM1_UDLr ZA OPĚROU O1	0,40
			LC92 - LM1_UDL1 ZA OPĚROU O2	0,40
			LC93 - LM1_UDL2 ZA OPĚROU O2	0,40
			LC94 - LM1_UDLr ZA OPĚROU O2	0,40
			LC97 - CHODCI	0,40
CO68	MSP - MOSTOVKA ZAČÁTEK NÁBĚHU MIN nx	Lineární - použitelnost	LC1 - VLASTNÍ TÍHA	1,00
			LC2 - OST.STÁLÉ	1,00
			LC4 - SMRŠTOVÁNÍ	1,00
			LC6 - ZÁSYP ZA OPĚRAMI	1,00
			LC8 - POKLES OPĚRY O2	1,00
			LC10 - HUTNĚNÍ ZA OPĚROU O2	1,00
CO69	MSP - MOSTOVKA ZAČÁTEK NÁBĚHU MAX nx	Lineární - použitelnost	LC1 - VLASTNÍ TÍHA	1,00
			LC2 - OST.STÁLÉ	1,00
			LC4 - SMRŠTOVÁNÍ	1,00
			LC6 - ZÁSYP ZA OPĚRAMI	1,00
			LC8 - POKLES OPĚRY O2	1,00
			LC11 - ROVN.TEPL.-OCHLAZENÍ	1,00
			LC13 - NEROVN.TEPL.-OCHLAZENÍ	1,00
			LC23 - LM1/TS14,000 m	0,75
			LC37 - LM1/TS24,000 m	0,75
			LC43 - LM1_UDL1	0,40
			LC44 - LM1_UDL2	0,40
			LC45 - LM1_UDLr	0,40
			LC87 - LM1_TS1 ZA OPĚROU O2	0,75
			LC88 - LM1_TS2 ZA OPĚROU O2	0,75
			LC92 - LM1_UDL1 ZA OPĚROU O2	0,40
			LC93 - LM1_UDL2 ZA OPĚROU O2	0,40
			LC94 - LM1_UDLr ZA OPĚROU O2	0,40
			LC97 - CHODCI	0,40
CO70	MSP - RÁMOVÝ ROH MAX mxD+	Lineární - použitelnost	LC1 - VLASTNÍ TÍHA	1,00
			LC2 - OST.STÁLÉ	1,00
			LC4 - SMRŠTOVÁNÍ	1,00
			LC6 - ZÁSYP ZA OPĚRAMI	1,00
			LC7 - POKLES OPĚRY O1	1,00
			LC10 - HUTNĚNÍ ZA OPĚROU O2	1,00
CO71	MSP - OPĚRA POD MOSTOVKOU MAX mxD+	Lineární - použitelnost	LC1 - VLASTNÍ TÍHA	1,00
			LC2 - OST.STÁLÉ	1,00
			LC4 - SMRŠTOVÁNÍ	1,00
			LC6 - ZÁSYP ZA OPĚRAMI	1,00
			LC7 - POKLES OPĚRY O1	1,00
			LC10 - HUTNĚNÍ ZA OPĚROU O2	1,00
CO72	MSP - OPĚRA POD MOSTOVKOU MAX nx	Lineární - použitelnost	LC1 - VLASTNÍ TÍHA	1,00
			LC2 - OST.STÁLÉ	1,00
			LC4 - SMRŠTOVÁNÍ	1,00
			LC6 - ZÁSYP ZA OPĚRAMI	1,00
			LC7 - POKLES OPĚRY O1	1,00
			LC10 - HUTNĚNÍ ZA OPĚROU O2	1,00
CO73	MSP - OPĚRA POD MOSTOVKOU MAX vx	Lineární - použitelnost	LC1 - VLASTNÍ TÍHA	1,00
			LC2 - OST.STÁLÉ	1,00
			LC4 - SMRŠTOVÁNÍ	1,00
			LC6 - ZÁSYP ZA OPĚRAMI	1,00
			LC7 - POKLES OPĚRY O1	1,00
			LC11 - ROVN.TEPL.-OCHLAZENÍ	0,60
			LC13 - NEROVN.TEPL.-OCHLAZENÍ	0,60
			LC24 - LM1/TS14,500 m	0,75
			LC38 - LM1/TS24,500 m	0,75
			LC43 - LM1_UDL1	0,40
			LC44 - LM1_UDL2	0,40
			LC45 - LM1_UDLr	0,40
			LC87 - LM1_TS1 ZA OPĚROU O2	1,00
			LC88 - LM1_TS2 ZA OPĚROU O2	1,00
			LC89 - LM1_UDL1 ZA OPĚROU O1	1,00
			LC90 - LM1_UDL2 ZA OPĚROU O1	1,00
			LC91 - LM1_UDLr ZA OPĚROU O1	1,00
			LC92 - LM1_UDL1 ZA OPĚROU O2	1,00
			LC93 - LM1_UDL2 ZA OPĚROU O2	1,00

Jméno	Popis	Typ	Zatěžovací stavy	Souč. [-]
			LC94 - LM1_UDLr ZA OPĚROU O2	1,00
			LC97 - CHODCI	0,40
CO74	MSP - OPĚRA POD MOSTOVKOU MIN nx	Lineární - použitelnost	LC1 - VLASTNÍ TÍHA	1,00
			LC2 - OST.STÁLÉ	1,00
			LC4 - SMRŠTOVÁNÍ	1,00
			LC6 - ZÁSYP ZA OPĚRAMI	1,00
			LC7 - POKLES OPĚRY O1	1,00
			LC11 - ROVN.TEPL.-OCHLAZENÍ	0,60
			LC13 - NEROVN.TEPL.-OCHLAZENÍ	0,60
			LC19 - LM1/TS12,000 m	1,00
			LC33 - LM1/TS22,000 m	1,00
			LC43 - LM1_UDL1	1,00
			LC44 - LM1_UDL2	1,00
			LC45 - LM1_UDLr	1,00
			LC97 - CHODCI	0,40
CO75	MSP - OPĚRA PATA MAX mxD+	Lineární - použitelnost	LC1 - VLASTNÍ TÍHA	1,00
			LC2 - OST.STÁLÉ	1,00
			LC4 - SMRŠTOVÁNÍ	1,00
			LC6 - ZÁSYP ZA OPĚRAMI	1,00
			LC7 - POKLES OPĚRY O1	1,00
			LC10 - HUTNĚNÍ ZA OPĚROU O2	1,00
CO76	MSP - OPĚRA PATA MAX mxD-	Lineární - použitelnost	LC1 - VLASTNÍ TÍHA	1,00
			LC2 - OST.STÁLÉ	1,00
			LC4 - SMRŠTOVÁNÍ	1,00
			LC6 - ZÁSYP ZA OPĚRAMI	1,00
			LC7 - POKLES OPĚRY O1	1,00
			LC10 - HUTNĚNÍ ZA OPĚROU O2	1,00
CO77	MSP - OPĚRA PATA MAX nx	Lineární - použitelnost	LC1 - VLASTNÍ TÍHA	1,00
			LC2 - OST.STÁLÉ	1,00
			LC4 - SMRŠTOVÁNÍ	1,00
			LC6 - ZÁSYP ZA OPĚRAMI	1,00
			LC8 - POKLES OPĚRY O2	1,00
			LC12 - ROVN.TEPL.-OTEPLENÍ	1,00
			LC14 - NEROVN.TEPL.-OTEPLENÍ	1,00
			LC25 - LM1/TS15,000 m	0,75
			LC39 - LM1/TS25,000 m	0,75
			LC43 - LM1_UDL1	0,40
			LC44 - LM1_UDL2	0,40
			LC45 - LM1_UDLr	0,40
			LC86 - LM1_TS2 ZA OPĚROU O1	0,75
			LC87 - LM1_TS1 ZA OPĚROU O2	0,75
			LC90 - LM1_UDL2 ZA OPĚROU O1	0,40
			LC91 - LM1_UDLr ZA OPĚROU O1	0,40
			LC92 - LM1_UDL1 ZA OPĚROU O2	0,40
			LC93 - LM1_UDL2 ZA OPĚROU O2	0,40
			LC94 - LM1_UDLr ZA OPĚROU O2	0,40
			LC97 - CHODCI	0,40
CO78	MSP - OPĚRA PATA MAX vx	Lineární - použitelnost	LC1 - VLASTNÍ TÍHA	1,00
			LC2 - OST.STÁLÉ	1,00
			LC4 - SMRŠTOVÁNÍ	1,00
			LC6 - ZÁSYP ZA OPĚRAMI	1,00
			LC8 - POKLES OPĚRY O2	1,00
			LC10 - HUTNĚNÍ ZA OPĚROU O2	1,00
CO79	MSP - OPĚRA PATA MIN nx	Lineární - použitelnost	LC1 - VLASTNÍ TÍHA	1,00
			LC2 - OST.STÁLÉ	1,00
			LC4 - SMRŠTOVÁNÍ	1,00
			LC6 - ZÁSYP ZA OPĚRAMI	1,00
			LC8 - POKLES OPĚRY O2	1,00
			LC12 - ROVN.TEPL.-OTEPLENÍ	0,60
			LC14 - NEROVN.TEPL.-OTEPLENÍ	0,60
			LC52 - LM3_3,000 m	1,00
CO80	MSP - POPRSNÍ ZÍDKA MAX myD-	Lineární - použitelnost	LC1 - VLASTNÍ TÍHA	1,00
			LC2 - OST.STÁLÉ	1,00
			LC4 - SMRŠTOVÁNÍ	1,00
			LC6 - ZÁSYP ZA OPĚRAMI	1,00
			LC7 - POKLES OPĚRY O1	1,00
			LC11 - ROVN.TEPL.-OCHLAZENÍ	0,60
			LC13 - NEROVN.TEPL.-OCHLAZENÍ	0,60
			LC22 - LM1/TS13,500 m	1,00
			LC36 - LM1/TS23,500 m	1,00
			LC43 - LM1_UDL1	1,00
			LC44 - LM1_UDL2	1,00

Jméno	Popis	Typ	Zatěžovací stav	Souč. [-]
			LC45 - LM1_UDLr	1,00
			LC97 - CHODCI	0,40
CO81	MSP - POPRSNÍ ZÍDKA MAX myD+	Lineární - použitelnost	LC1 - VLASTNÍ TÍHA	1,00
			LC2 - OST.STÁLÉ	1,00
			LC4 - SMRŠTOVÁNÍ	1,00
			LC6 - ZÁSYP ZA OPĚRAMI	1,00
			LC8 - POKLES OPĚRY O2	1,00
			LC12 - ROVN.TEPL.-OTEPLENÍ	0,60
			LC14 - NEROVN.TEPL.-OTEPLENÍ	0,60
			LC26 - LM1/TS15,500 m	0,75
			LC39 - LM1/TS25,000 m	0,75
			LC43 - LM1_UDL1	0,40
			LC44 - LM1_UDL2	0,40
			LC45 - LM1_UDLr	0,40
			LC87 - LM1_TS1 ZA OPĚROU O2	1,00
			LC88 - LM1_TS2 ZA OPĚROU O2	1,00
			LC89 - LM1_UDL1 ZA OPĚROU O1	1,00
			LC90 - LM1_UDL2 ZA OPĚROU O1	1,00
			LC91 - LM1_UDLr ZA OPĚROU O1	1,00
			LC92 - LM1_UDL1 ZA OPĚROU O2	1,00
			LC93 - LM1_UDL2 ZA OPĚROU O2	1,00
			LC94 - LM1_UDLr ZA OPĚROU O2	1,00
			LC97 - CHODCI	0,40
CO82	MSP - POPRSNÍ ZÍDKA MIN ny-	Lineární - použitelnost	LC1 - VLASTNÍ TÍHA	1,00
			LC2 - OST.STÁLÉ	1,00
			LC4 - SMRŠTOVÁNÍ	1,00
			LC6 - ZÁSYP ZA OPĚRAMI	1,00
			LC7 - POKLES OPĚRY O1	1,00
			LC10 - HUTNĚNÍ ZA OPĚROU O2	1,00
CO83	MSP - POPRSNÍ ZÍDKA MAX ny+	Lineární - použitelnost	LC1 - VLASTNÍ TÍHA	1,00
			LC2 - OST.STÁLÉ	1,00
			LC4 - SMRŠTOVÁNÍ	1,00
			LC6 - ZÁSYP ZA OPĚRAMI	1,00
			LC8 - POKLES OPĚRY O2	1,00
			LC11 - ROVN.TEPL.-OCHLAZENÍ	0,60
			LC20 - LM1/TS12,500 m	1,00
			LC34 - LM1/TS22,500 m	1,00
			LC43 - LM1_UDL1	1,00
			LC44 - LM1_UDL2	1,00
			LC45 - LM1_UDLr	1,00
			LC87 - LM1_TS1 ZA OPĚROU O2	0,75
			LC88 - LM1_TS2 ZA OPĚROU O2	0,75
			LC89 - LM1_UDL1 ZA OPĚROU O1	0,40
			LC90 - LM1_UDL2 ZA OPĚROU O1	0,40
			LC91 - LM1_UDLr ZA OPĚROU O1	0,40
			LC92 - LM1_UDL1 ZA OPĚROU O2	0,40
			LC93 - LM1_UDL2 ZA OPĚROU O2	0,40
			LC94 - LM1_UDLr ZA OPĚROU O2	0,40
			LC97 - CHODCI	0,40
CO84	MSP - POPRSNÍ ZÍDKA vy	Lineární - použitelnost	LC1 - VLASTNÍ TÍHA	1,00
			LC2 - OST.STÁLÉ	1,00
			LC4 - SMRŠTOVÁNÍ	1,00
			LC6 - ZÁSYP ZA OPĚRAMI	1,00
			LC7 - POKLES OPĚRY O1	1,00
			LC10 - HUTNĚNÍ ZA OPĚROU O2	1,00
CO85	MSP - KŘÍDLO MAX mxD+	Lineární - použitelnost	LC1 - VLASTNÍ TÍHA	1,00
			LC2 - OST.STÁLÉ	1,00
			LC4 - SMRŠTOVÁNÍ	1,00
			LC6 - ZÁSYP ZA OPĚRAMI	1,00
			LC8 - POKLES OPĚRY O2	1,00
			LC10 - HUTNĚNÍ ZA OPĚROU O2	1,00
CO86	MSP - KŘÍDLO MAX nx+	Lineární - použitelnost	LC1 - VLASTNÍ TÍHA	1,00
			LC2 - OST.STÁLÉ	1,00
			LC4 - SMRŠTOVÁNÍ	1,00
			LC6 - ZÁSYP ZA OPĚRAMI	1,00
			LC7 - POKLES OPĚRY O1	1,00
			LC10 - HUTNĚNÍ ZA OPĚROU O2	1,00
CO87	MSP - KŘÍDLO MAX vx	Lineární - použitelnost	LC1 - VLASTNÍ TÍHA	1,00
			LC2 - OST.STÁLÉ	1,00
			LC4 - SMRŠTOVÁNÍ	1,00
			LC6 - ZÁSYP ZA OPĚRAMI	1,00
			LC8 - POKLES OPĚRY O2	1,00
			LC10 - HUTNĚNÍ ZA OPĚROU O2	1,00

Jméno	Popis	Typ	Zatěžovací stavy	Souč. [-]
CO88	KVAZISTÁLÉ	Lineární - použitelnost	LC1 - VLASTNÍ TÍHA	1,00
			LC2 - OST.STÁLÉ	1,00
			LC4 - SMRŠTOVÁNÍ	1,00
			LC6 - ZÁSYP ZA OPĚRAMI	1,00

56. Skupiny zatížení

Jméno	Zatížení	Vztah	Typ
STÁLÉ	Stálé		
HUTNĚNÍ	Proměnné	Výběrová	Zatížení od výstavby - Qc
POKLES PODPOR	Proměnné	Výběrová	Zatížení od výstavby - Qc
TEPLOTA ROVNOMĚRNÁ	Proměnné	Výběrová	Teplotní zatížení - Tk
TEPLOTA NEROVNOMĚRNÁ	Proměnné	Výběrová	Teplotní zatížení - Tk
LM1_TS1	Proměnné	Výběrová	Doprava - gr1a - TS
LM1_TS2	Proměnné	Výběrová	Doprava - gr1a - TS
LM1_UDL	Proměnné	Standard	Doprava - gr1a - UDL
LM3	Proměnné	Výběrová	Doprava - gr5 - speciální vozidla
LM1_ROZJEZD X BRZDĚNÍ	Proměnné	Výběrová	Doprava - gr2 - vodorovné síly
LM3_ROZJEZD X BRZDĚNÍ	Proměnné	Výběrová	Doprava - gr2 - vodorovné síly
LM1_PŘÍČNÉ SÍLY	Proměnné	Výběrová	Doprava - gr2 - vodorovné síly
LM3_PŘÍČNÉ SÍLY	Proměnné	Výběrová	Doprava - gr2 - vodorovné síly
LM1_TS1 ZA OPĚRAMI	Proměnné	Výběrová	Doprava - gr1a - TS
LM1_TS2 ZA OPĚRAMI	Proměnné	Výběrová	Doprava - gr1a - TS
LM1_UDL ZA OPĚRAMI	Proměnné	Standard	Doprava - gr1a - UDL
LM3_ZA OPĚRAMI	Proměnné	Výběrová	Doprava - gr5 - speciální vozidla
CHODCI	Proměnné	Výběrová	Doprava - gr1a - chodci + pruh pro cyklisty
NÁRAZ DO OBRUBY	Mimořádné	Výběrová	
VOZIDLO NA ŘÍMSE	Mimořádné	Výběrová	
NÁRAZ DO OBRUBY-OPĚRY TS	Mimořádné	Výběrová	
VOZIDLO NA ŘÍMSE-OPĚRY	Mimořádné	Výběrová	

57. Skupiny výsledků

Jméno	Výpis
MSÚ	CO2 - Obálka - únosnost
	CO3 - Obálka - únosnost
	CO4 - Obálka - únosnost
	CO5 - Obálka - únosnost
	CO6 - Obálka - únosnost
	CO7 - Obálka - únosnost
	CO8 - Obálka - únosnost
	CO9 - Obálka - únosnost
	CO10 - Obálka - únosnost
	CO11 - Obálka - únosnost
	CO12 - Obálka - únosnost
	CO13 - Obálka - únosnost
	CO14 - Obálka - únosnost
	CO15 - Obálka - únosnost
	CO16 - Obálka - únosnost
	CO17 - Obálka - únosnost
MSP	CO18 - Obálka - použitelnost
	CO19 - Obálka - použitelnost
	CO20 - Obálka - použitelnost
	CO21 - Obálka - použitelnost
	CO22 - Obálka - použitelnost
	CO23 - Obálka - použitelnost
	CO24 - Obálka - použitelnost
	CO25 - Obálka - použitelnost
	CO26 - Obálka - použitelnost
	CO27 - Obálka - použitelnost
	CO28 - Obálka - použitelnost
	CO29 - Obálka - použitelnost
	CO60 - Lineární - použitelnost
	CO61 - Lineární - použitelnost
	CO62 - Lineární - použitelnost
	CO63 - Lineární - použitelnost
	CO64 - Lineární - použitelnost
	CO65 - Lineární - použitelnost
	CO66 - Lineární - použitelnost
	CO67 - Lineární - použitelnost
	CO68 - Lineární - použitelnost
	CO69 - Lineární - použitelnost
	CO70 - Lineární - použitelnost
	CO71 - Lineární - použitelnost
	CO72 - Lineární - použitelnost
	CO73 - Lineární - použitelnost

Jméno	Výpis
	CO74 - Lineární - použitelnost
	CO75 - Lineární - použitelnost
	CO76 - Lineární - použitelnost
	CO77 - Lineární - použitelnost
	CO78 - Lineární - použitelnost
	CO79 - Lineární - použitelnost
	CO80 - Lineární - použitelnost
	CO81 - Lineární - použitelnost
	CO82 - Lineární - použitelnost
	CO83 - Lineární - použitelnost
	CO84 - Lineární - použitelnost
	CO85 - Lineární - použitelnost
	CO86 - Lineární - použitelnost
MIM	CO30 - EN-mimořádné 1
	CO31 - EN-mimořádné 1
	CO32 - EN-mimořádné 1
	CO33 - EN-mimořádné 1
MSÚ+MIM	CO2 - Obálka - únosnost
	CO3 - Obálka - únosnost
	CO4 - Obálka - únosnost
	CO5 - Obálka - únosnost
	CO6 - Obálka - únosnost
	CO7 - Obálka - únosnost
	CO8 - Obálka - únosnost
	CO9 - Obálka - únosnost
	CO10 - Obálka - únosnost
	CO11 - Obálka - únosnost
	CO12 - Obálka - únosnost
	CO13 - Obálka - únosnost
	CO14 - Obálka - únosnost
	CO15 - Obálka - únosnost
	CO16 - Obálka - únosnost
	CO17 - Obálka - únosnost
	CO30 - EN-mimořádné 1
	CO31 - EN-mimořádné 1
	CO32 - EN-mimořádné 1
	CO33 - EN-mimořádné 1

58. Nastavení řešiče a sítě

Zanedbat deformaci od smykové síly ($A_y, A_z \gg A$)	×
Rozdělení na náběhy a pruty s proměnným průřezem	5
Zjemnění sítě podle typu nosníku	Žádný
Teorie ohybu pro výpočet desek/skořepin	Mindlin
Typ řešiče	Eliminace
Počet tlouštěk desky do žebra	20
Počet řezů na průměrném prutu	10
Upozornění při maximálním přemístění větším než [mm]	1000,0
Upozornění při maximálním pootočení větším než [mrad]	100,0
Minimální vzdálenost mezi body [m]	0.001
Průměrná velikost plošného/zakřiveného prvku [m]	0,300
Průměrný počet dílků na prutu	1
Minimální délka prutového prvku [m]	0,100
Maximální délka prutového prvku [m]	1000,000
Průměrná velikost lan, kabelů, prvků na podloží, nelineárních zemních pružin [m]	1,000
Generovat uzly v dotycích prutových prvků	✓
Generovat uzly pod osamělými zatíženími na prutových prvcích	✓
Generovat excentrické prvky na prutech s proměnnou výškou	×
Použít předdefinovanou síť	✓
Vyhladit hranici předdefinované sítě	×
Maximální nerovinný úhel čtyřúhelníku [mrad]	30,0
Poměr předdefinované sítě	1.5
Součinitel pro výztuž	1
Předpínací výztuž nezávislá na MKP uzlech	✓

59. Uzly

Jméno	Souř. X [m]	Souř. Y [m]	Souř. Z [m]
N1	0,000	0,000	0,000
N2	1,800	0,000	0,000
N3	1,800	9,650	0,000
N4	0,000	9,650	0,000
N5	6,100	0,000	0,000
N6	7,900	0,000	0,000
N7	7,900	9,650	0,000

Jméno	Souř. X [m]	Souř. Y [m]	Souř. Z [m]
N8	6,100	9,650	0,000
N9	0,900	0,250	0,000
N10	0,900	9,400	0,000
N11	0,900	9,400	3,262
N12	0,900	0,250	3,262
N13	7,000	0,250	0,000
N14	7,000	9,400	0,000

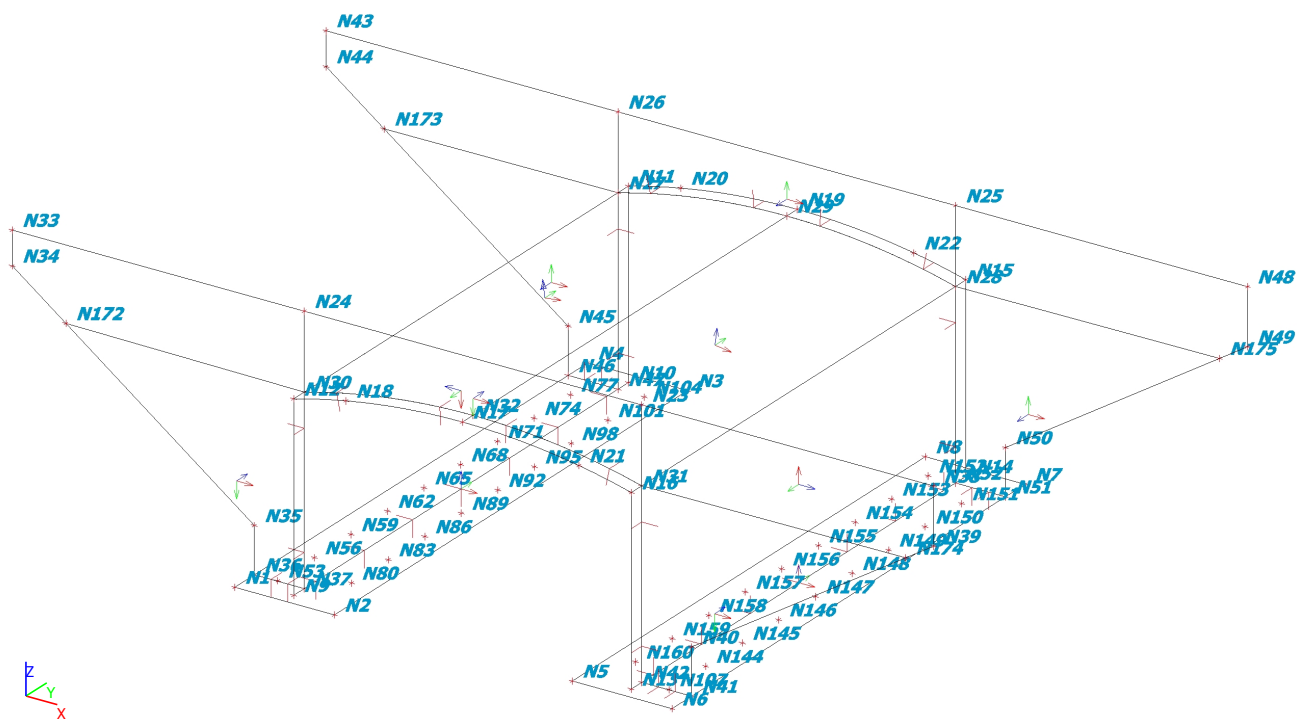
Jméno	Souř. X [m]	Souř. Y [m]	Souř. Z [m]
N15	7,000	9,400	3,262
N16	7,000	0,250	3,262
N17	3,950	0,250	3,654
N18	1,844	0,250	3,469
N19	3,950	9,400	3,654
N20	1,844	9,400	3,469
N21	6,056	0,250	3,469

Jméno	Souř. X [m]	Souř. Y [m]	Souř. Z [m]
N22	6,056	9,400	3,469
N23	7,000	0,538	4,605
N24	0,900	0,538	4,605
N25	7,000	9,112	4,605
N26	0,900	9,112	4,605
N27	0,900	9,112	3,262
N28	7,000	9,112	3,262
N29	3,950	9,112	3,654
N30	0,900	0,538	3,262
N31	7,000	0,538	3,262
N32	3,950	0,538	3,654
N33	-4,375	0,538	4,605
N34	-4,375	0,538	4,011
N35	0,000	0,538	0,817
N36	0,000	0,538	0,000
N37	0,900	0,538	0,000
N38	12,275	0,538	4,605
N39	12,275	0,538	3,607
N40	7,900	0,538	0,817
N41	7,900	0,538	0,000
N42	7,000	0,538	0,000
N43	-4,375	9,113	4,605
N44	-4,375	9,113	4,011
N45	0,000	9,112	0,817
N46	0,000	9,112	0,000
N47	0,900	9,112	0,000
N48	12,275	9,113	4,605
N49	12,275	9,112	3,607
N50	7,900	9,112	0,817
N51	7,900	9,112	0,000
N52	7,000	9,112	0,000
N53	0,415	0,550	0,000
N54	-0,171	0,550	-3,324
N55	-0,704	0,550	-6,345
N56	0,415	1,550	0,000
N57	-0,171	1,550	-3,324
N58	-0,704	1,550	-6,345
N59	0,415	2,550	0,000
N60	-0,171	2,550	-3,324
N61	-0,704	2,550	-6,345
N62	0,415	3,550	0,000
N63	-0,171	3,550	-3,324
N64	-0,704	3,550	-6,345
N65	0,415	4,550	0,000
N66	-0,171	4,550	-3,324
N67	-0,704	4,550	-6,345
N68	0,415	5,550	0,000
N69	-0,171	5,550	-3,324
N70	-0,704	5,550	-6,345
N71	0,415	6,550	0,000
N72	-0,171	6,550	-3,324
N73	-0,704	6,550	-6,345
N74	0,415	7,550	0,000
N75	-0,171	7,550	-3,324
N76	-0,704	7,550	-6,345
N77	0,415	8,550	0,000
N78	-0,171	8,550	-3,324
N79	-0,704	8,550	-6,345
N80	1,385	1,100	0,000
N81	1,971	1,100	-3,324
N82	2,504	1,100	-6,345
N83	1,385	2,100	0,000
N84	1,971	2,100	-3,324
N85	2,504	2,100	-6,345

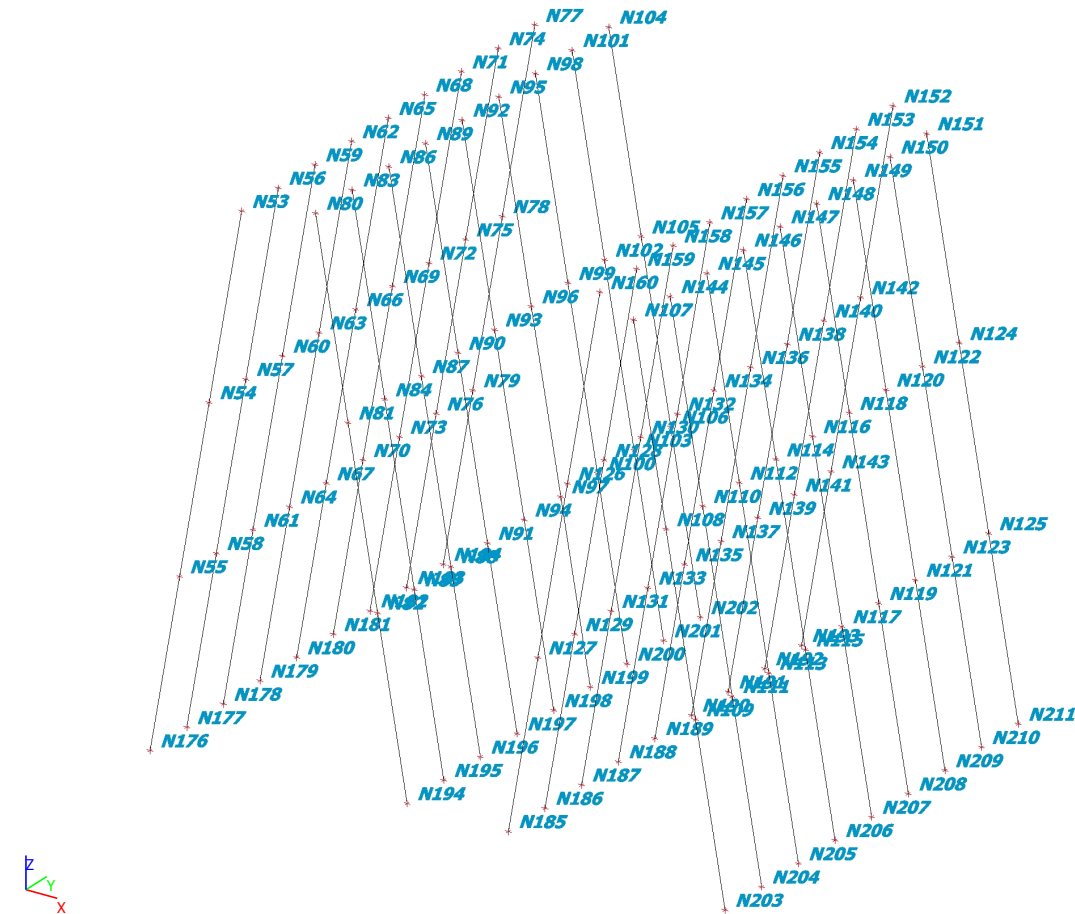
Jméno	Souř. X [m]	Souř. Y [m]	Souř. Z [m]
N86	1,385	3,100	0,000
N87	1,971	3,100	-3,324
N88	2,504	3,100	-6,345
N89	1,385	4,100	0,000
N90	1,971	4,100	-3,324
N91	2,504	4,100	-6,345
N92	1,385	5,100	0,000
N93	1,971	5,100	-3,324
N94	2,504	5,100	-6,345
N95	1,385	6,100	0,000
N96	1,971	6,100	-3,324
N97	2,504	6,100	-6,345
N98	1,385	7,100	0,000
N99	1,971	7,100	-3,324
N100	2,504	7,100	-6,345
N101	1,385	8,100	0,000
N102	1,971	8,100	-3,324
N103	2,504	8,100	-6,345
N104	1,385	9,100	0,000
N105	1,971	9,100	-3,324
N106	2,504	9,100	-6,345
N107	7,485	0,550	0,000
N108	8,071	0,550	-3,324
N109	8,604	0,550	-6,345
N110	8,071	1,550	-3,324
N111	8,604	1,550	-6,345
N112	8,071	2,550	-3,324
N113	8,604	2,550	-6,345
N114	8,071	3,550	-3,324
N115	8,604	3,550	-6,345
N116	8,071	4,550	-3,324
N117	8,604	4,550	-6,345
N118	8,071	5,550	-3,324
N119	8,604	5,550	-6,345
N120	8,071	6,550	-3,324
N121	8,604	6,550	-6,345
N122	8,071	7,550	-3,324
N123	8,604	7,550	-6,345
N124	8,071	8,550	-3,324
N125	8,604	8,550	-6,345
N126	5,929	1,100	-3,324
N127	5,396	1,100	-6,345
N128	5,929	2,100	-3,324
N129	5,396	2,100	-6,345
N130	5,929	3,100	-3,324
N131	5,396	3,100	-6,345
N132	5,929	4,100	-3,324
N133	5,396	4,100	-6,345
N134	5,929	5,100	-3,324
N135	5,396	5,100	-6,345
N136	5,929	6,100	-3,324
N137	5,396	6,100	-6,345
N138	5,929	7,100	-3,324
N139	5,396	7,100	-6,345
N140	5,929	8,100	-3,324
N141	5,396	8,100	-6,345
N142	5,929	9,100	-3,324
N143	5,396	9,100	-6,345
N144	7,485	1,550	0,000
N145	7,485	2,550	0,000
N146	7,485	3,550	0,000
N147	7,485	4,550	0,000
N148	7,485	5,550	0,000
N149	7,485	6,550	0,000

Jméno	Souř. X [m]	Souř. Y [m]	Souř. Z [m]
N150	7,485	7,550	0,000
N151	7,485	8,550	0,000
N152	6,515	9,100	0,000
N153	6,515	8,100	0,000
N154	6,515	7,100	0,000
N155	6,515	6,100	0,000
N156	6,515	5,100	0,000
N157	6,515	4,100	0,000
N158	6,515	3,100	0,000
N159	6,515	2,100	0,000
N160	6,515	1,100	0,000
N161	0,900	2,325	3,262
N162	7,000	2,325	3,262
N163	3,950	2,325	3,654
N164	0,900	5,325	3,262
N165	7,000	5,325	3,262
N166	3,950	5,325	3,654
N167	-3,375	2,325	3,262
N168	11,275	2,325	3,262
N169	0,900	8,225	3,262
N170	7,000	8,225	3,262
N171	3,950	8,225	3,654
N172	-3,406	0,538	3,303
N173	-3,325	9,113	3,244
N174	11,769	0,538	3,284
N175	11,769	9,112	3,284
N176	-1,236	0,550	-9,367
N177	-1,236	1,550	-9,367
N178	-1,236	2,550	-9,367
N179	-1,236	3,550	-9,367
N180	-1,236	4,550	-9,367
N181	-1,236	5,550	-9,367
N182	-1,236	6,550	-9,367
N183	-1,236	7,550	-9,367
N184	-1,236	8,550	-9,367
N185	4,864	1,100	-9,367
N186	4,864	2,100	-9,367
N187	4,864	3,100	-9,367
N188	4,864	4,100	-9,367
N189	4,864	5,100	-9,367
N190	4,864	6,100	-9,367
N191	4,864	7,100	-9,367
N192	4,864	8,100	-9,367
N193	4,864	9,100	-9,367
N194	3,036	1,100	-9,367
N195	3,036	2,100	-9,367
N196	3,036	3,100	-9,367
N197	3,036	4,100	-9,367
N198	3,036	5,100	-9,367
N199	3,036	6,100	-9,367
N200	3,036	7,100	-9,367
N201	3,036	8,100	-9,367
N202	3,036	9,100	-9,367
N203	9,136	0,550	-9,367
N204	9,136	1,550	-9,367
N205	9,136	2,550	-9,367
N206	9,136	3,550	-9,367
N207	9,136	4,550	-9,367
N208	9,136	5,550	-9,367
N209	9,136	6,550	-9,367
N210	9,136	7,550	-9,367
N211	9,136	8,550	-9,367

60. Výpočtový model




61. Výpočtový model



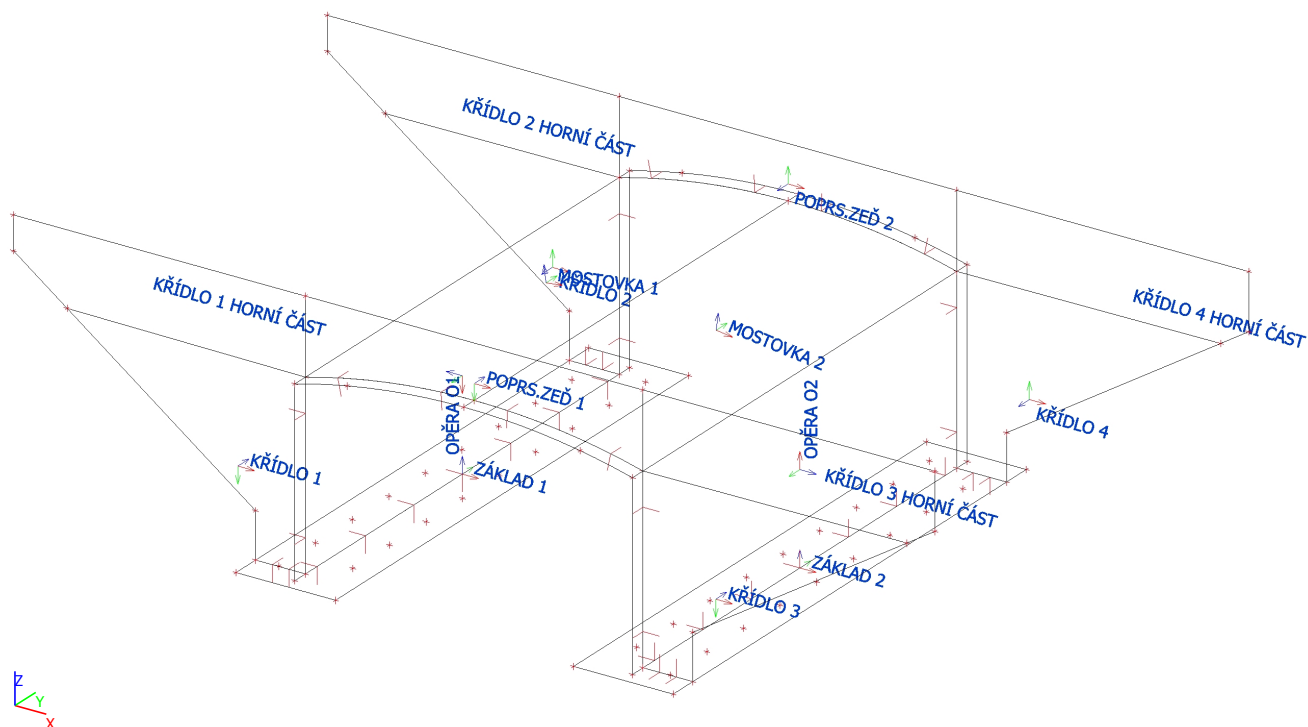
62. Plochy

Jméno	Vrstva	Typ	Výpočtový model	Materiál	Typ tloušťky	Tl. [mm]
ZÁKLAD 1	ZÁKLAD 1	skořepina (98)	Standard	C30/37(EN1992-2) E=16GPa	konstantní	800
ZÁKLAD 2	ZÁKLAD 2	skořepina (98)	Standard	C30/37(EN1992-2) E=16GPa	konstantní	800
OPĚRA O1	OPĚRA 1	skořepina (98)	Standard	C30/37(EN1992-2) E=16GPa	konstantní	600
OPĚRA O2	OPĚRA 2	skořepina (98)	Standard	C30/37(EN1992-2) E=16GPa	konstantní	600



Jméno	Vrstva	Typ	Výpočtový model	Materiál	Typ tloušťky	TL. [mm]	
MOSTOVKA 1	MOSTOVKA	skořepina (98)	Standard	C30/37(EN1992-2) E=16GPa	proměnná	710	
						350	
						350	
						710	
MOSTOVKA 2	MOSTOVKA	skořepina (98)	Standard	C30/37(EN1992-2) E=16GPa	proměnná	350	
						710	
						710	
						350	
POPRS.ZEĎ 1	POPRSŇÍ ZEĎ 1	skořepina (98)	Standard	C30/37(EN1992-2) E=16GPa	konstantní	575	
POPRS.ZEĎ 2	POPRSŇÍ ZEĎ 2	skořepina (98)	Standard	C30/37(EN1992-2) E=16GPa	konstantní	575	
KŘÍDLO 1	KŘÍDLO 1	skořepina (98)	Standard	C30/37(EN1992-2) E=16GPa	konstantní	575	
KŘÍDLO 3	KŘÍDLO 3	skořepina (98)	Standard	C30/37(EN1992-2) E=16GPa	konstantní	575	
KŘÍDLO 2	KŘÍDLO 2	skořepina (98)	Standard	C30/37(EN1992-2) E=16GPa	konstantní	575	
KŘÍDLO 4	KŘÍDLO 4	skořepina (98)	Standard	C30/37(EN1992-2) E=16GPa	konstantní	575	

63. Výpočtový model



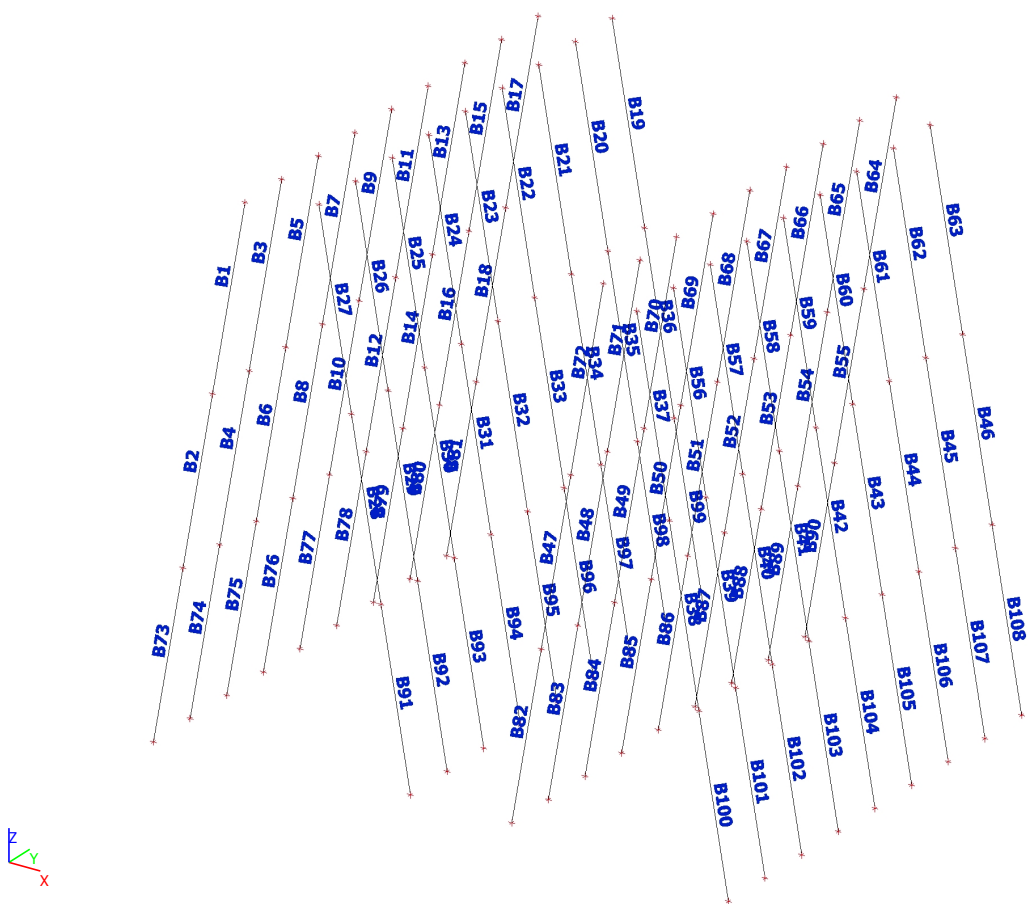
64. Prvky

Jméno	Průřez	Materiál	Délka [m]	Poč. uzel	Konc. uzel	Typ
B1	CS1-Kruh d=168mm - Kruh (168)	C25/30(EN1992-2)	3,375	N53	N54	obecný (0)
B2	CS2-Kruh d=300mm - Kruh (300)	C25/30(EN1992-2)	3,068	N54	N55	obecný (0)
B3	CS1-Kruh d=168mm - Kruh (168)	C25/30(EN1992-2)	3,375	N56	N57	obecný (0)
B4	CS2-Kruh d=300mm - Kruh (300)	C25/30(EN1992-2)	3,068	N57	N58	obecný (0)
B5	CS1-Kruh d=168mm - Kruh (168)	C25/30(EN1992-2)	3,375	N59	N60	obecný (0)
B6	CS2-Kruh d=300mm - Kruh (300)	C25/30(EN1992-2)	3,068	N60	N61	obecný (0)
B7	CS1-Kruh d=168mm - Kruh (168)	C25/30(EN1992-2)	3,375	N62	N63	obecný (0)
B8	CS2-Kruh d=300mm - Kruh (300)	C25/30(EN1992-2)	3,068	N63	N64	obecný (0)
B9	CS1-Kruh d=168mm - Kruh (168)	C25/30(EN1992-2)	3,375	N65	N66	obecný (0)
B10	CS2-Kruh d=300mm - Kruh (300)	C25/30(EN1992-2)	3,068	N66	N67	obecný (0)
B11	CS1-Kruh d=168mm - Kruh (168)	C25/30(EN1992-2)	3,375	N68	N69	obecný (0)
B12	CS2-Kruh d=300mm - Kruh (300)	C25/30(EN1992-2)	3,068	N69	N70	obecný (0)
B13	CS1-Kruh d=168mm - Kruh (168)	C25/30(EN1992-2)	3,375	N71	N72	obecný (0)
B14	CS2-Kruh d=300mm - Kruh (300)	C25/30(EN1992-2)	3,068	N72	N73	obecný (0)
B15	CS1-Kruh d=168mm - Kruh (168)	C25/30(EN1992-2)	3,375	N74	N75	obecný (0)
B16	CS2-Kruh d=300mm - Kruh (300)	C25/30(EN1992-2)	3,068	N75	N76	obecný (0)
B17	CS1-Kruh d=168mm - Kruh (168)	C25/30(EN1992-2)	3,375	N77	N78	obecný (0)
B18	CS2-Kruh d=300mm - Kruh (300)	C25/30(EN1992-2)	3,068	N78	N79	obecný (0)
B19	CS1-Kruh d=168mm - Kruh (168)	C25/30(EN1992-2)	3,375	N104	N105	obecný (0)
B20	CS1-Kruh d=168mm - Kruh (168)	C25/30(EN1992-2)	3,375	N101	N102	obecný (0)
B21	CS1-Kruh d=168mm - Kruh (168)	C25/30(EN1992-2)	3,375	N98	N99	obecný (0)
B22	CS1-Kruh d=168mm - Kruh (168)	C25/30(EN1992-2)	3,375	N95	N96	obecný (0)
B23	CS1-Kruh d=168mm - Kruh (168)	C25/30(EN1992-2)	3,375	N92	N93	obecný (0)
B24	CS1-Kruh d=168mm - Kruh (168)	C25/30(EN1992-2)	3,375	N89	N90	obecný (0)
B25	CS1-Kruh d=168mm - Kruh (168)	C25/30(EN1992-2)	3,375	N86	N87	obecný (0)

Jméno	Průřez	Materiál	Délka [m]	Poč. uzel	Konc. uzel	Typ
B26	CS1-Kruh d=168mm - Kruh (168)	C25/30(EN1992-2)	3,375	N83	N84	obecný (0)
B27	CS1-Kruh d=168mm - Kruh (168)	C25/30(EN1992-2)	3,375	N80	N81	obecný (0)
B28	CS2-Kruh d=300mm - Kruh (300)	C25/30(EN1992-2)	3,068	N81	N82	obecný (0)
B29	CS2-Kruh d=300mm - Kruh (300)	C25/30(EN1992-2)	3,068	N84	N85	obecný (0)
B30	CS2-Kruh d=300mm - Kruh (300)	C25/30(EN1992-2)	3,068	N87	N88	obecný (0)
B31	CS2-Kruh d=300mm - Kruh (300)	C25/30(EN1992-2)	3,068	N90	N91	obecný (0)
B32	CS2-Kruh d=300mm - Kruh (300)	C25/30(EN1992-2)	3,068	N93	N94	obecný (0)
B33	CS2-Kruh d=300mm - Kruh (300)	C25/30(EN1992-2)	3,068	N96	N97	obecný (0)
B34	CS2-Kruh d=300mm - Kruh (300)	C25/30(EN1992-2)	3,068	N99	N100	obecný (0)
B35	CS2-Kruh d=300mm - Kruh (300)	C25/30(EN1992-2)	3,068	N102	N103	obecný (0)
B36	CS2-Kruh d=300mm - Kruh (300)	C25/30(EN1992-2)	3,068	N105	N106	obecný (0)
B37	CS1-Kruh d=168mm - Kruh (168)	C25/30(EN1992-2)	3,375	N107	N108	obecný (0)
B38	CS2-Kruh d=300mm - Kruh (300)	C25/30(EN1992-2)	3,068	N108	N109	obecný (0)
B39	CS2-Kruh d=300mm - Kruh (300)	C25/30(EN1992-2)	3,068	N110	N111	obecný (0)
B40	CS2-Kruh d=300mm - Kruh (300)	C25/30(EN1992-2)	3,068	N112	N113	obecný (0)
B41	CS2-Kruh d=300mm - Kruh (300)	C25/30(EN1992-2)	3,068	N114	N115	obecný (0)
B42	CS2-Kruh d=300mm - Kruh (300)	C25/30(EN1992-2)	3,068	N116	N117	obecný (0)
B43	CS2-Kruh d=300mm - Kruh (300)	C25/30(EN1992-2)	3,068	N118	N119	obecný (0)
B44	CS2-Kruh d=300mm - Kruh (300)	C25/30(EN1992-2)	3,068	N120	N121	obecný (0)
B45	CS2-Kruh d=300mm - Kruh (300)	C25/30(EN1992-2)	3,068	N122	N123	obecný (0)
B46	CS2-Kruh d=300mm - Kruh (300)	C25/30(EN1992-2)	3,068	N124	N125	obecný (0)
B47	CS2-Kruh d=300mm - Kruh (300)	C25/30(EN1992-2)	3,068	N126	N127	obecný (0)
B48	CS2-Kruh d=300mm - Kruh (300)	C25/30(EN1992-2)	3,068	N128	N129	obecný (0)
B49	CS2-Kruh d=300mm - Kruh (300)	C25/30(EN1992-2)	3,068	N130	N131	obecný (0)
B50	CS2-Kruh d=300mm - Kruh (300)	C25/30(EN1992-2)	3,068	N132	N133	obecný (0)
B51	CS2-Kruh d=300mm - Kruh (300)	C25/30(EN1992-2)	3,068	N134	N135	obecný (0)
B52	CS2-Kruh d=300mm - Kruh (300)	C25/30(EN1992-2)	3,068	N136	N137	obecný (0)
B53	CS2-Kruh d=300mm - Kruh (300)	C25/30(EN1992-2)	3,068	N138	N139	obecný (0)
B54	CS2-Kruh d=300mm - Kruh (300)	C25/30(EN1992-2)	3,068	N140	N141	obecný (0)
B55	CS2-Kruh d=300mm - Kruh (300)	C25/30(EN1992-2)	3,068	N142	N143	obecný (0)
B56	CS1-Kruh d=168mm - Kruh (168)	C25/30(EN1992-2)	3,375	N144	N110	obecný (0)
B57	CS1-Kruh d=168mm - Kruh (168)	C25/30(EN1992-2)	3,375	N145	N112	obecný (0)
B58	CS1-Kruh d=168mm - Kruh (168)	C25/30(EN1992-2)	3,375	N146	N114	obecný (0)
B59	CS1-Kruh d=168mm - Kruh (168)	C25/30(EN1992-2)	3,375	N147	N116	obecný (0)
B60	CS1-Kruh d=168mm - Kruh (168)	C25/30(EN1992-2)	3,375	N148	N118	obecný (0)
B61	CS1-Kruh d=168mm - Kruh (168)	C25/30(EN1992-2)	3,375	N149	N120	obecný (0)
B62	CS1-Kruh d=168mm - Kruh (168)	C25/30(EN1992-2)	3,375	N150	N122	obecný (0)
B63	CS1-Kruh d=168mm - Kruh (168)	C25/30(EN1992-2)	3,375	N151	N124	obecný (0)
B64	CS1-Kruh d=168mm - Kruh (168)	C25/30(EN1992-2)	3,375	N152	N142	obecný (0)
B65	CS1-Kruh d=168mm - Kruh (168)	C25/30(EN1992-2)	3,375	N153	N140	obecný (0)
B66	CS1-Kruh d=168mm - Kruh (168)	C25/30(EN1992-2)	3,375	N154	N138	obecný (0)
B67	CS1-Kruh d=168mm - Kruh (168)	C25/30(EN1992-2)	3,375	N155	N136	obecný (0)
B68	CS1-Kruh d=168mm - Kruh (168)	C25/30(EN1992-2)	3,375	N156	N134	obecný (0)
B69	CS1-Kruh d=168mm - Kruh (168)	C25/30(EN1992-2)	3,375	N157	N132	obecný (0)
B70	CS1-Kruh d=168mm - Kruh (168)	C25/30(EN1992-2)	3,375	N158	N130	obecný (0)
B71	CS1-Kruh d=168mm - Kruh (168)	C25/30(EN1992-2)	3,375	N159	N128	obecný (0)
B72	CS1-Kruh d=168mm - Kruh (168)	C25/30(EN1992-2)	3,375	N160	N126	obecný (0)
B73	CS2-Kruh d=300mm - Kruh (300)	C25/30(EN1992-2)	3,068	N55	N176	obecný (0)
B74	CS2-Kruh d=300mm - Kruh (300)	C25/30(EN1992-2)	3,068	N58	N177	obecný (0)
B75	CS2-Kruh d=300mm - Kruh (300)	C25/30(EN1992-2)	3,068	N61	N178	obecný (0)
B76	CS2-Kruh d=300mm - Kruh (300)	C25/30(EN1992-2)	3,068	N64	N179	obecný (0)
B77	CS2-Kruh d=300mm - Kruh (300)	C25/30(EN1992-2)	3,068	N67	N180	obecný (0)
B78	CS2-Kruh d=300mm - Kruh (300)	C25/30(EN1992-2)	3,068	N70	N181	obecný (0)
B79	CS2-Kruh d=300mm - Kruh (300)	C25/30(EN1992-2)	3,068	N73	N182	obecný (0)
B80	CS2-Kruh d=300mm - Kruh (300)	C25/30(EN1992-2)	3,068	N76	N183	obecný (0)
B81	CS2-Kruh d=300mm - Kruh (300)	C25/30(EN1992-2)	3,068	N79	N184	obecný (0)
B82	CS2-Kruh d=300mm - Kruh (300)	C25/30(EN1992-2)	3,068	N127	N185	obecný (0)
B83	CS2-Kruh d=300mm - Kruh (300)	C25/30(EN1992-2)	3,068	N129	N186	obecný (0)
B84	CS2-Kruh d=300mm - Kruh (300)	C25/30(EN1992-2)	3,068	N131	N187	obecný (0)
B85	CS2-Kruh d=300mm - Kruh (300)	C25/30(EN1992-2)	3,068	N133	N188	obecný (0)
B86	CS2-Kruh d=300mm - Kruh (300)	C25/30(EN1992-2)	3,068	N135	N189	obecný (0)
B87	CS2-Kruh d=300mm - Kruh (300)	C25/30(EN1992-2)	3,068	N137	N190	obecný (0)
B88	CS2-Kruh d=300mm - Kruh (300)	C25/30(EN1992-2)	3,068	N139	N191	obecný (0)
B89	CS2-Kruh d=300mm - Kruh (300)	C25/30(EN1992-2)	3,068	N141	N192	obecný (0)
B90	CS2-Kruh d=300mm - Kruh (300)	C25/30(EN1992-2)	3,068	N143	N193	obecný (0)
B91	CS2-Kruh d=300mm - Kruh (300)	C25/30(EN1992-2)	3,068	N82	N194	obecný (0)
B92	CS2-Kruh d=300mm - Kruh (300)	C25/30(EN1992-2)	3,068	N85	N195	obecný (0)
B93	CS2-Kruh d=300mm - Kruh (300)	C25/30(EN1992-2)	3,068	N88	N196	obecný (0)
B94	CS2-Kruh d=300mm - Kruh (300)	C25/30(EN1992-2)	3,068	N91	N197	obecný (0)
B95	CS2-Kruh d=300mm - Kruh (300)	C25/30(EN1992-2)	3,068	N94	N198	obecný (0)
B96	CS2-Kruh d=300mm - Kruh (300)	C25/30(EN1992-2)	3,068	N97	N199	obecný (0)
B97	CS2-Kruh d=300mm - Kruh (300)	C25/30(EN1992-2)	3,068	N100	N200	obecný (0)
B98	CS2-Kruh d=300mm - Kruh (300)	C25/30(EN1992-2)	3,068	N103	N201	obecný (0)
B99	CS2-Kruh d=300mm - Kruh (300)	C25/30(EN1992-2)	3,068	N106	N202	obecný (0)
B100	CS2-Kruh d=300mm - Kruh (300)	C25/30(EN1992-2)	3,068	N109	N203	obecný (0)
B101	CS2-Kruh d=300mm - Kruh (300)	C25/30(EN1992-2)	3,068	N111	N204	obecný (0)

Jméno	Průřez	Materiál	Délka [m]	Poč. uzel	Konc. uzel	Typ
B102	CS2-Kruh d=300mm - Kruh (300)	C25/30(EN1992-2)	3,068	N113	N205	obecný (0)
B103	CS2-Kruh d=300mm - Kruh (300)	C25/30(EN1992-2)	3,068	N115	N206	obecný (0)
B104	CS2-Kruh d=300mm - Kruh (300)	C25/30(EN1992-2)	3,068	N117	N207	obecný (0)
B105	CS2-Kruh d=300mm - Kruh (300)	C25/30(EN1992-2)	3,068	N119	N208	obecný (0)
B106	CS2-Kruh d=300mm - Kruh (300)	C25/30(EN1992-2)	3,068	N121	N209	obecný (0)
B107	CS2-Kruh d=300mm - Kruh (300)	C25/30(EN1992-2)	3,068	N123	N210	obecný (0)
B108	CS2-Kruh d=300mm - Kruh (300)	C25/30(EN1992-2)	3,068	N125	N211	obecný (0)

65. Výpočtový model



66. Bodové podpory na prutu

Jméno	Typ	Souř.	Poz x [m]	dx [m]	X	Y	Z	Rx	Ry	Rz
		Systém	Poč	Poč.(n)						
Sb1	Standard	Abso	0,502		Pružný	Pružný	Volný	Volný	Volný	Volný
		GSS	Od počátku	1						
Sb2	Standard	Abso	0,856		Pružný	Pružný	Volný	Volný	Volný	Volný
		GSS	Od počátku	1						
Sb3	Standard	Abso	1,313		Pružný	Pružný	Volný	Volný	Volný	Volný
		GSS	Od počátku	1						
Sb4	Standard	Abso	1,770		Pružný	Pružný	Volný	Volný	Volný	Volný
		GSS	Od počátku	1						
Sb5	Standard	Abso	2,227		Pružný	Pružný	Volný	Volný	Volný	Volný
		GSS	Od počátku	1						
Sb6	Standard	Abso	2,684		Pružný	Pružný	Volný	Volný	Volný	Volný
		GSS	Od počátku	1						
Sb7	Standard	Abso	3,140		Pružný	Pružný	Volný	Volný	Volný	Volný
		GSS	Od počátku	1						
Sb8	Standard	Abso	0,196		Pružný	Pružný	Volný	Volný	Volný	Volný
		GSS	Od počátku	1						
Sb9	Standard	Abso	0,603		Pružný	Pružný	Volný	Volný	Volný	Volný
		GSS	Od počátku	1						
Sb10	Standard	Abso	1,009		Pružný	Pružný	Volný	Volný	Volný	Volný
		GSS	Od počátku	1						
Sb11	Standard	Abso	1,415		Pružný	Pružný	Volný	Volný	Volný	Volný
		GSS	Od počátku	1						
Sb12	Standard	Abso	1,860		Pružný	Pružný	Volný	Volný	Volný	Volný
		GSS	Od počátku	1						

Jméno	Typ	Souř.	Poz x [m]	dx [m]	X	Y	Z	Rx	Ry	Rz
		Systém	Poč	Poč.(n)						
Sb13	Standard	Abso	2,343		Pružný	Pružný	Volný	Volný	Volný	Volný
		GSS	Od počátku	1						
Sb14	Standard	Abso	2,827		Pružný	Pružný	Volný	Volný	Volný	Volný
		GSS	Od počátku	1						
Sb15	Standard	Abso	0,502		Pružný	Pružný	Volný	Volný	Volný	Volný
		GSS	Od počátku	1						
Sb16	Standard	Abso	0,856		Pružný	Pružný	Volný	Volný	Volný	Volný
		GSS	Od počátku	1						
Sb17	Standard	Abso	1,313		Pružný	Pružný	Volný	Volný	Volný	Volný
		GSS	Od počátku	1						
Sb18	Standard	Abso	1,770		Pružný	Pružný	Volný	Volný	Volný	Volný
		GSS	Od počátku	1						
Sb19	Standard	Abso	2,227		Pružný	Pružný	Volný	Volný	Volný	Volný
		GSS	Od počátku	1						
Sb20	Standard	Abso	2,684		Pružný	Pružný	Volný	Volný	Volný	Volný
		GSS	Od počátku	1						
Sb21	Standard	Abso	3,140		Pružný	Pružný	Volný	Volný	Volný	Volný
		GSS	Od počátku	1						
Sb22	Standard	Abso	0,196		Pružný	Pružný	Volný	Volný	Volný	Volný
		GSS	Od počátku	1						
Sb23	Standard	Abso	0,603		Pružný	Pružný	Volný	Volný	Volný	Volný
		GSS	Od počátku	1						
Sb24	Standard	Abso	1,009		Pružný	Pružný	Volný	Volný	Volný	Volný
		GSS	Od počátku	1						
Sb25	Standard	Abso	1,415		Pružný	Pružný	Volný	Volný	Volný	Volný
		GSS	Od počátku	1						
Sb26	Standard	Abso	1,860		Pružný	Pružný	Volný	Volný	Volný	Volný
		GSS	Od počátku	1						
Sb27	Standard	Abso	2,343		Pružný	Pružný	Volný	Volný	Volný	Volný
		GSS	Od počátku	1						
Sb28	Standard	Abso	2,827		Pružný	Pružný	Volný	Volný	Volný	Volný
		GSS	Od počátku	1						
Sb29	Standard	Abso	0,502		Pružný	Pružný	Volný	Volný	Volný	Volný
		GSS	Od počátku	1						
Sb30	Standard	Abso	0,856		Pružný	Pružný	Volný	Volný	Volný	Volný
		GSS	Od počátku	1						
Sb31	Standard	Abso	1,313		Pružný	Pružný	Volný	Volný	Volný	Volný
		GSS	Od počátku	1						
Sb32	Standard	Abso	1,770		Pružný	Pružný	Volný	Volný	Volný	Volný
		GSS	Od počátku	1						
Sb33	Standard	Abso	2,227		Pružný	Pružný	Volný	Volný	Volný	Volný
		GSS	Od počátku	1						
Sb34	Standard	Abso	2,684		Pružný	Pružný	Volný	Volný	Volný	Volný
		GSS	Od počátku	1						
Sb35	Standard	Abso	3,140		Pružný	Pružný	Volný	Volný	Volný	Volný
		GSS	Od počátku	1						
Sb36	Standard	Abso	0,196		Pružný	Pružný	Volný	Volný	Volný	Volný
		GSS	Od počátku	1						
Sb37	Standard	Abso	0,603		Pružný	Pružný	Volný	Volný	Volný	Volný
		GSS	Od počátku	1						
Sb38	Standard	Abso	1,009		Pružný	Pružný	Volný	Volný	Volný	Volný
		GSS	Od počátku	1						
Sb39	Standard	Abso	1,415		Pružný	Pružný	Volný	Volný	Volný	Volný
		GSS	Od počátku	1						
Sb40	Standard	Abso	1,860		Pružný	Pružný	Volný	Volný	Volný	Volný
		GSS	Od počátku	1						
Sb41	Standard	Abso	2,343		Pružný	Pružný	Volný	Volný	Volný	Volný
		GSS	Od počátku	1						
Sb42	Standard	Abso	2,827		Pružný	Pružný	Volný	Volný	Volný	Volný
		GSS	Od počátku	1						
Sb43	Standard	Abso	0,502		Pružný	Pružný	Volný	Volný	Volný	Volný
		GSS	Od počátku	1						
Sb44	Standard	Abso	0,856		Pružný	Pružný	Volný	Volný	Volný	Volný
		GSS	Od počátku	1						
Sb45	Standard	Abso	1,313		Pružný	Pružný	Volný	Volný	Volný	Volný
		GSS	Od počátku	1						
Sb46	Standard	Abso	1,770		Pružný	Pružný	Volný	Volný	Volný	Volný
		GSS	Od počátku	1						
Sb47	Standard	Abso	2,227		Pružný	Pružný	Volný	Volný	Volný	Volný
		GSS	Od počátku	1						
Sb48	Standard	Abso	2,684		Pružný	Pružný	Volný	Volný	Volný	Volný
		GSS	Od počátku	1						
Sb49	Standard	Abso	3,140		Pružný	Pružný	Volný	Volný	Volný	Volný
		GSS	Od počátku	1						
Sb50	Standard	Abso	0,196		Pružný	Pružný	Volný	Volný	Volný	Volný

Jméno	Typ	Souř.	Poz x [m]	dx [m]	X	Y	Z	Rx	Ry	Rz
		Systém	Poč	Poč.(n)						
		GSS	Od počátku	1						
Sb51	Standard	Abso	0,603		Pružný	Pružný	Volný	Volný	Volný	Volný
		GSS	Od počátku	1						
Sb52	Standard	Abso	1,009		Pružný	Pružný	Volný	Volný	Volný	Volný
		GSS	Od počátku	1						
Sb53	Standard	Abso	1,415		Pružný	Pružný	Volný	Volný	Volný	Volný
		GSS	Od počátku	1						
Sb54	Standard	Abso	1,860		Pružný	Pružný	Volný	Volný	Volný	Volný
		GSS	Od počátku	1						
Sb55	Standard	Abso	2,343		Pružný	Pružný	Volný	Volný	Volný	Volný
		GSS	Od počátku	1						
Sb56	Standard	Abso	2,827		Pružný	Pružný	Volný	Volný	Volný	Volný
		GSS	Od počátku	1						
Sb57	Standard	Abso	0,502		Pružný	Pružný	Volný	Volný	Volný	Volný
		GSS	Od počátku	1						
Sb58	Standard	Abso	0,856		Pružný	Pružný	Volný	Volný	Volný	Volný
		GSS	Od počátku	1						
Sb59	Standard	Abso	1,313		Pružný	Pružný	Volný	Volný	Volný	Volný
		GSS	Od počátku	1						
Sb60	Standard	Abso	1,770		Pružný	Pružný	Volný	Volný	Volný	Volný
		GSS	Od počátku	1						
Sb61	Standard	Abso	2,227		Pružný	Pružný	Volný	Volný	Volný	Volný
		GSS	Od počátku	1						
Sb62	Standard	Abso	2,684		Pružný	Pružný	Volný	Volný	Volný	Volný
		GSS	Od počátku	1						
Sb63	Standard	Abso	3,140		Pružný	Pružný	Volný	Volný	Volný	Volný
		GSS	Od počátku	1						
Sb64	Standard	Abso	0,196		Pružný	Pružný	Volný	Volný	Volný	Volný
		GSS	Od počátku	1						
Sb65	Standard	Abso	0,603		Pružný	Pružný	Volný	Volný	Volný	Volný
		GSS	Od počátku	1						
Sb66	Standard	Abso	1,009		Pružný	Pružný	Volný	Volný	Volný	Volný
		GSS	Od počátku	1						
Sb67	Standard	Abso	1,415		Pružný	Pružný	Volný	Volný	Volný	Volný
		GSS	Od počátku	1						
Sb68	Standard	Abso	1,860		Pružný	Pružný	Volný	Volný	Volný	Volný
		GSS	Od počátku	1						
Sb69	Standard	Abso	2,343		Pružný	Pružný	Volný	Volný	Volný	Volný
		GSS	Od počátku	1						
Sb70	Standard	Abso	2,827		Pružný	Pružný	Volný	Volný	Volný	Volný
		GSS	Od počátku	1						
Sb71	Standard	Abso	0,502		Pružný	Pružný	Volný	Volný	Volný	Volný
		GSS	Od počátku	1						
Sb72	Standard	Abso	0,856		Pružný	Pružný	Volný	Volný	Volný	Volný
		GSS	Od počátku	1						
Sb73	Standard	Abso	1,313		Pružný	Pružný	Volný	Volný	Volný	Volný
		GSS	Od počátku	1						
Sb74	Standard	Abso	1,770		Pružný	Pružný	Volný	Volný	Volný	Volný
		GSS	Od počátku	1						
Sb75	Standard	Abso	2,227		Pružný	Pružný	Volný	Volný	Volný	Volný
		GSS	Od počátku	1						
Sb76	Standard	Abso	2,684		Pružný	Pružný	Volný	Volný	Volný	Volný
		GSS	Od počátku	1						
Sb77	Standard	Abso	3,140		Pružný	Pružný	Volný	Volný	Volný	Volný
		GSS	Od počátku	1						
Sb78	Standard	Abso	0,196		Pružný	Pružný	Volný	Volný	Volný	Volný
		GSS	Od počátku	1						
Sb79	Standard	Abso	0,603		Pružný	Pružný	Volný	Volný	Volný	Volný
		GSS	Od počátku	1						
Sb80	Standard	Abso	1,009		Pružný	Pružný	Volný	Volný	Volný	Volný
		GSS	Od počátku	1						
Sb81	Standard	Abso	1,415		Pružný	Pružný	Volný	Volný	Volný	Volný
		GSS	Od počátku	1						
Sb82	Standard	Abso	1,860		Pružný	Pružný	Volný	Volný	Volný	Volný
		GSS	Od počátku	1						
Sb83	Standard	Abso	2,343		Pružný	Pružný	Volný	Volný	Volný	Volný
		GSS	Od počátku	1						
Sb84	Standard	Abso	2,827		Pružný	Pružný	Volný	Volný	Volný	Volný
		GSS	Od počátku	1						
Sb85	Standard	Abso	0,502		Pružný	Pružný	Volný	Volný	Volný	Volný
		GSS	Od počátku	1						
Sb86	Standard	Abso	0,856		Pružný	Pružný	Volný	Volný	Volný	Volný
		GSS	Od počátku	1						
Sb87	Standard	Abso	1,313		Pružný	Pružný	Volný	Volný	Volný	Volný
		GSS	Od počátku	1						

Jméno	Typ	Souř.	Poz x [m]	dx [m]	X	Y	Z	Rx	Ry	Rz
		Systém	Poč	Poč.(n)						
Sb88	Standard	Abso	1,770		Pružný	Pružný	Volný	Volný	Volný	Volný
		GSS	Od počátku	1						
Sb89	Standard	Abso	2,227		Pružný	Pružný	Volný	Volný	Volný	Volný
		GSS	Od počátku	1						
Sb90	Standard	Abso	2,684		Pružný	Pružný	Volný	Volný	Volný	Volný
		GSS	Od počátku	1						
Sb91	Standard	Abso	3,140		Pružný	Pružný	Volný	Volný	Volný	Volný
		GSS	Od počátku	1						
Sb92	Standard	Abso	0,196		Pružný	Pružný	Volný	Volný	Volný	Volný
		GSS	Od počátku	1						
Sb93	Standard	Abso	0,603		Pružný	Pružný	Volný	Volný	Volný	Volný
		GSS	Od počátku	1						
Sb94	Standard	Abso	1,009		Pružný	Pružný	Volný	Volný	Volný	Volný
		GSS	Od počátku	1						
Sb95	Standard	Abso	1,415		Pružný	Pružný	Volný	Volný	Volný	Volný
		GSS	Od počátku	1						
Sb96	Standard	Abso	1,860		Pružný	Pružný	Volný	Volný	Volný	Volný
		GSS	Od počátku	1						
Sb97	Standard	Abso	2,343		Pružný	Pružný	Volný	Volný	Volný	Volný
		GSS	Od počátku	1						
Sb98	Standard	Abso	2,827		Pružný	Pružný	Volný	Volný	Volný	Volný
		GSS	Od počátku	1						
Sb99	Standard	Abso	0,502		Pružný	Pružný	Volný	Volný	Volný	Volný
		GSS	Od počátku	1						
Sb100	Standard	Abso	0,856		Pružný	Pružný	Volný	Volný	Volný	Volný
		GSS	Od počátku	1						
Sb101	Standard	Abso	1,313		Pružný	Pružný	Volný	Volný	Volný	Volný
		GSS	Od počátku	1						
Sb102	Standard	Abso	1,770		Pružný	Pružný	Volný	Volný	Volný	Volný
		GSS	Od počátku	1						
Sb103	Standard	Abso	2,227		Pružný	Pružný	Volný	Volný	Volný	Volný
		GSS	Od počátku	1						
Sb104	Standard	Abso	2,684		Pružný	Pružný	Volný	Volný	Volný	Volný
		GSS	Od počátku	1						
Sb105	Standard	Abso	3,140		Pružný	Pružný	Volný	Volný	Volný	Volný
		GSS	Od počátku	1						
Sb106	Standard	Abso	0,196		Pružný	Pružný	Volný	Volný	Volný	Volný
		GSS	Od počátku	1						
Sb107	Standard	Abso	0,603		Pružný	Pružný	Volný	Volný	Volný	Volný
		GSS	Od počátku	1						
Sb108	Standard	Abso	1,009		Pružný	Pružný	Volný	Volný	Volný	Volný
		GSS	Od počátku	1						
Sb109	Standard	Abso	1,415		Pružný	Pružný	Volný	Volný	Volný	Volný
		GSS	Od počátku	1						
Sb110	Standard	Abso	1,860		Pružný	Pružný	Volný	Volný	Volný	Volný
		GSS	Od počátku	1						
Sb111	Standard	Abso	2,343		Pružný	Pružný	Volný	Volný	Volný	Volný
		GSS	Od počátku	1						
Sb112	Standard	Abso	2,827		Pružný	Pružný	Volný	Volný	Volný	Volný
		GSS	Od počátku	1						
Sb113	Standard	Abso	0,502		Pružný	Pružný	Volný	Volný	Volný	Volný
		GSS	Od počátku	1						
Sb114	Standard	Abso	0,856		Pružný	Pružný	Volný	Volný	Volný	Volný
		GSS	Od počátku	1						
Sb115	Standard	Abso	1,313		Pružný	Pružný	Volný	Volný	Volný	Volný
		GSS	Od počátku	1						
Sb116	Standard	Abso	1,770		Pružný	Pružný	Volný	Volný	Volný	Volný
		GSS	Od počátku	1						
Sb117	Standard	Abso	2,227		Pružný	Pružný	Volný	Volný	Volný	Volný
		GSS	Od počátku	1						
Sb118	Standard	Abso	2,684		Pružný	Pružný	Volný	Volný	Volný	Volný
		GSS	Od počátku	1						
Sb119	Standard	Abso	3,140		Pružný	Pružný	Volný	Volný	Volný	Volný
		GSS	Od počátku	1						
Sb120	Standard	Abso	0,196		Pružný	Pružný	Volný	Volný	Volný	Volný
		GSS	Od počátku	1						
Sb121	Standard	Abso	0,603		Pružný	Pružný	Volný	Volný	Volný	Volný
		GSS	Od počátku	1						
Sb122	Standard	Abso	1,009		Pružný	Pružný	Volný	Volný	Volný	Volný
		GSS	Od počátku	1						
Sb123	Standard	Abso	1,415		Pružný	Pružný	Volný	Volný	Volný	Volný
		GSS	Od počátku	1						
Sb124	Standard	Abso	1,860		Pružný	Pružný	Volný	Volný	Volný	Volný
		GSS	Od počátku	1						
Sb125	Standard	Abso	2,343		Pružný	Pružný	Volný	Volný	Volný	Volný

Jméno	Typ	Souř.	Poz x [m]	dx [m]	X	Y	Z	Rx	Ry	Rz
		Systém	Poč	Poč.(n)						
		GSS	Od počátku	1						
Sb126	Standard	Abso	2,827		Pružný	Pružný	Volný	Volný	Volný	Volný
		GSS	Od počátku	1						
Sb127	Standard	Abso	0,502		Pružný	Pružný	Volný	Volný	Volný	Volný
		GSS	Od počátku	1						
Sb128	Standard	Abso	0,856		Pružný	Pružný	Volný	Volný	Volný	Volný
		GSS	Od počátku	1						
Sb129	Standard	Abso	1,313		Pružný	Pružný	Volný	Volný	Volný	Volný
		GSS	Od počátku	1						
Sb130	Standard	Abso	1,770		Pružný	Pružný	Volný	Volný	Volný	Volný
		GSS	Od počátku	1						
Sb131	Standard	Abso	2,227		Pružný	Pružný	Volný	Volný	Volný	Volný
		GSS	Od počátku	1						
Sb132	Standard	Abso	2,684		Pružný	Pružný	Volný	Volný	Volný	Volný
		GSS	Od počátku	1						
Sb133	Standard	Abso	3,140		Pružný	Pružný	Volný	Volný	Volný	Volný
		GSS	Od počátku	1						
Sb134	Standard	Abso	0,196		Pružný	Pružný	Volný	Volný	Volný	Volný
		GSS	Od počátku	1						
Sb135	Standard	Abso	0,603		Pružný	Pružný	Volný	Volný	Volný	Volný
		GSS	Od počátku	1						
Sb136	Standard	Abso	1,009		Pružný	Pružný	Volný	Volný	Volný	Volný
		GSS	Od počátku	1						
Sb137	Standard	Abso	1,415		Pružný	Pružný	Volný	Volný	Volný	Volný
		GSS	Od počátku	1						
Sb138	Standard	Abso	1,860		Pružný	Pružný	Volný	Volný	Volný	Volný
		GSS	Od počátku	1						
Sb139	Standard	Abso	2,343		Pružný	Pružný	Volný	Volný	Volný	Volný
		GSS	Od počátku	1						
Sb140	Standard	Abso	2,827		Pružný	Pružný	Volný	Volný	Volný	Volný
		GSS	Od počátku	1						
Sb141	Standard	Abso	0,502		Pružný	Pružný	Volný	Volný	Volný	Volný
		GSS	Od počátku	1						
Sb142	Standard	Abso	0,856		Pružný	Pružný	Volný	Volný	Volný	Volný
		GSS	Od počátku	1						
Sb143	Standard	Abso	1,313		Pružný	Pružný	Volný	Volný	Volný	Volný
		GSS	Od počátku	1						
Sb144	Standard	Abso	1,770		Pružný	Pružný	Volný	Volný	Volný	Volný
		GSS	Od počátku	1						
Sb145	Standard	Abso	2,227		Pružný	Pružný	Volný	Volný	Volný	Volný
		GSS	Od počátku	1						
Sb146	Standard	Abso	2,684		Pružný	Pružný	Volný	Volný	Volný	Volný
		GSS	Od počátku	1						
Sb147	Standard	Abso	3,140		Pružný	Pružný	Volný	Volný	Volný	Volný
		GSS	Od počátku	1						
Sb148	Standard	Abso	0,196		Pružný	Pružný	Volný	Volný	Volný	Volný
		GSS	Od počátku	1						
Sb149	Standard	Abso	0,603		Pružný	Pružný	Volný	Volný	Volný	Volný
		GSS	Od počátku	1						
Sb150	Standard	Abso	1,009		Pružný	Pružný	Volný	Volný	Volný	Volný
		GSS	Od počátku	1						
Sb151	Standard	Abso	1,415		Pružný	Pružný	Volný	Volný	Volný	Volný
		GSS	Od počátku	1						
Sb152	Standard	Abso	1,860		Pružný	Pružný	Volný	Volný	Volný	Volný
		GSS	Od počátku	1						
Sb153	Standard	Abso	2,343		Pružný	Pružný	Volný	Volný	Volný	Volný
		GSS	Od počátku	1						
Sb154	Standard	Abso	2,827		Pružný	Pružný	Volný	Volný	Volný	Volný
		GSS	Od počátku	1						
Sb155	Standard	Abso	0,502		Pružný	Pružný	Volný	Volný	Volný	Volný
		GSS	Od počátku	1						
Sb156	Standard	Abso	0,856		Pružný	Pružný	Volný	Volný	Volný	Volný
		GSS	Od počátku	1						
Sb157	Standard	Abso	1,313		Pružný	Pružný	Volný	Volný	Volný	Volný
		GSS	Od počátku	1						
Sb158	Standard	Abso	1,770		Pružný	Pružný	Volný	Volný	Volný	Volný
		GSS	Od počátku	1						
Sb159	Standard	Abso	2,227		Pružný	Pružný	Volný	Volný	Volný	Volný
		GSS	Od počátku	1						
Sb160	Standard	Abso	2,684		Pružný	Pružný	Volný	Volný	Volný	Volný
		GSS	Od počátku	1						
Sb161	Standard	Abso	3,140		Pružný	Pružný	Volný	Volný	Volný	Volný
		GSS	Od počátku	1						
Sb162	Standard	Abso	0,196		Pružný	Pružný	Volný	Volný	Volný	Volný
		GSS	Od počátku	1						

Jméno	Typ	Souř.	Poz x [m]	dx [m]	X	Y	Z	Rx	Ry	Rz
		Systém	Poč	Poč.(n)						
Sb163	Standard	Abso	0,603		Pružný	Pružný	Volný	Volný	Volný	Volný
		GSS	Od počátku	1						
Sb164	Standard	Abso	1,009		Pružný	Pružný	Volný	Volný	Volný	Volný
		GSS	Od počátku	1						
Sb165	Standard	Abso	1,415		Pružný	Pružný	Volný	Volný	Volný	Volný
		GSS	Od počátku	1						
Sb166	Standard	Abso	1,860		Pružný	Pružný	Volný	Volný	Volný	Volný
		GSS	Od počátku	1						
Sb167	Standard	Abso	2,343		Pružný	Pružný	Volný	Volný	Volný	Volný
		GSS	Od počátku	1						
Sb168	Standard	Abso	2,827		Pružný	Pružný	Volný	Volný	Volný	Volný
		GSS	Od počátku	1						
Sb169	Standard	Abso	0,502		Pružný	Pružný	Volný	Volný	Volný	Volný
		GSS	Od počátku	1						
Sb170	Standard	Abso	0,856		Pružný	Pružný	Volný	Volný	Volný	Volný
		GSS	Od počátku	1						
Sb171	Standard	Abso	1,313		Pružný	Pružný	Volný	Volný	Volný	Volný
		GSS	Od počátku	1						
Sb172	Standard	Abso	1,770		Pružný	Pružný	Volný	Volný	Volný	Volný
		GSS	Od počátku	1						
Sb173	Standard	Abso	2,227		Pružný	Pružný	Volný	Volný	Volný	Volný
		GSS	Od počátku	1						
Sb174	Standard	Abso	2,684		Pružný	Pružný	Volný	Volný	Volný	Volný
		GSS	Od počátku	1						
Sb175	Standard	Abso	3,140		Pružný	Pružný	Volný	Volný	Volný	Volný
		GSS	Od počátku	1						
Sb176	Standard	Abso	0,196		Pružný	Pružný	Volný	Volný	Volný	Volný
		GSS	Od počátku	1						
Sb177	Standard	Abso	0,603		Pružný	Pružný	Volný	Volný	Volný	Volný
		GSS	Od počátku	1						
Sb178	Standard	Abso	1,009		Pružný	Pružný	Volný	Volný	Volný	Volný
		GSS	Od počátku	1						
Sb179	Standard	Abso	1,415		Pružný	Pružný	Volný	Volný	Volný	Volný
		GSS	Od počátku	1						
Sb180	Standard	Abso	1,860		Pružný	Pružný	Volný	Volný	Volný	Volný
		GSS	Od počátku	1						
Sb181	Standard	Abso	2,343		Pružný	Pružný	Volný	Volný	Volný	Volný
		GSS	Od počátku	1						
Sb182	Standard	Abso	2,827		Pružný	Pružný	Volný	Volný	Volný	Volný
		GSS	Od počátku	1						
Sb183	Standard	Abso	0,502		Pružný	Pružný	Volný	Volný	Volný	Volný
		GSS	Od počátku	1						
Sb184	Standard	Abso	0,856		Pružný	Pružný	Volný	Volný	Volný	Volný
		GSS	Od počátku	1						
Sb185	Standard	Abso	1,313		Pružný	Pružný	Volný	Volný	Volný	Volný
		GSS	Od počátku	1						
Sb186	Standard	Abso	1,770		Pružný	Pružný	Volný	Volný	Volný	Volný
		GSS	Od počátku	1						
Sb187	Standard	Abso	2,227		Pružný	Pružný	Volný	Volný	Volný	Volný
		GSS	Od počátku	1						
Sb188	Standard	Abso	2,684		Pružný	Pružný	Volný	Volný	Volný	Volný
		GSS	Od počátku	1						
Sb189	Standard	Abso	3,140		Pružný	Pružný	Volný	Volný	Volný	Volný
		GSS	Od počátku	1						
Sb190	Standard	Abso	0,196		Pružný	Pružný	Volný	Volný	Volný	Volný
		GSS	Od počátku	1						
Sb191	Standard	Abso	0,603		Pružný	Pružný	Volný	Volný	Volný	Volný
		GSS	Od počátku	1						
Sb192	Standard	Abso	1,009		Pružný	Pružný	Volný	Volný	Volný	Volný
		GSS	Od počátku	1						
Sb193	Standard	Abso	1,415		Pružný	Pružný	Volný	Volný	Volný	Volný
		GSS	Od počátku	1						
Sb194	Standard	Abso	1,860		Pružný	Pružný	Volný	Volný	Volný	Volný
		GSS	Od počátku	1						
Sb195	Standard	Abso	2,343		Pružný	Pružný	Volný	Volný	Volný	Volný
		GSS	Od počátku	1						
Sb196	Standard	Abso	2,827		Pružný	Pružný	Volný	Volný	Volný	Volný
		GSS	Od počátku	1						
Sb197	Standard	Abso	0,502		Pružný	Pružný	Volný	Volný	Volný	Volný
		GSS	Od počátku	1						
Sb198	Standard	Abso	0,856		Pružný	Pružný	Volný	Volný	Volný	Volný
		GSS	Od počátku	1						
Sb199	Standard	Abso	1,313		Pružný	Pružný	Volný	Volný	Volný	Volný
		GSS	Od počátku	1						
Sb200	Standard	Abso	1,770		Pružný	Pružný	Volný	Volný	Volný	Volný

Jméno	Typ	Souř.	Poz x [m]	dx [m]	X	Y	Z	Rx	Ry	Rz
		Systém	Poč	Poč.(n)						
Sb238	Standard	Abso	2,827		Pružný	Pružný	Volný	Volný	Volný	Volný
		GSS	Od počátku	1						
Sb239	Standard	Abso	0,502		Pružný	Pružný	Volný	Volný	Volný	Volný
		GSS	Od počátku	1						
Sb240	Standard	Abso	0,856		Pružný	Pružný	Volný	Volný	Volný	Volný
		GSS	Od počátku	1						
Sb241	Standard	Abso	1,313		Pružný	Pružný	Volný	Volný	Volný	Volný
		GSS	Od počátku	1						
Sb242	Standard	Abso	1,770		Pružný	Pružný	Volný	Volný	Volný	Volný
		GSS	Od počátku	1						
Sb243	Standard	Abso	2,227		Pružný	Pružný	Volný	Volný	Volný	Volný
		GSS	Od počátku	1						
Sb244	Standard	Abso	2,684		Pružný	Pružný	Volný	Volný	Volný	Volný
		GSS	Od počátku	1						
Sb245	Standard	Abso	3,140		Pružný	Pružný	Volný	Volný	Volný	Volný
		GSS	Od počátku	1						
Sb246	Standard	Abso	0,196		Pružný	Pružný	Volný	Volný	Volný	Volný
		GSS	Od počátku	1						
Sb247	Standard	Abso	0,603		Pružný	Pružný	Volný	Volný	Volný	Volný
		GSS	Od počátku	1						
Sb248	Standard	Abso	1,009		Pružný	Pružný	Volný	Volný	Volný	Volný
		GSS	Od počátku	1						
Sb249	Standard	Abso	1,415		Pružný	Pružný	Volný	Volný	Volný	Volný
		GSS	Od počátku	1						
Sb250	Standard	Abso	1,860		Pružný	Pružný	Volný	Volný	Volný	Volný
		GSS	Od počátku	1						
Sb251	Standard	Abso	2,343		Pružný	Pružný	Volný	Volný	Volný	Volný
		GSS	Od počátku	1						
Sb252	Standard	Abso	2,827		Pružný	Pružný	Volný	Volný	Volný	Volný
		GSS	Od počátku	1						
Sb253	Standard	Abso	2,827		Pružný	Pružný	Volný	Volný	Volný	Volný
		GSS	Od počátku	1						
Sb254	Standard	Abso	2,343		Pružný	Pružný	Volný	Volný	Volný	Volný
		GSS	Od počátku	1						
Sb255	Standard	Abso	1,860		Pružný	Pružný	Volný	Volný	Volný	Volný
		GSS	Od počátku	1						
Sb256	Standard	Abso	1,415		Pružný	Pružný	Volný	Volný	Volný	Volný
		GSS	Od počátku	1						
Sb257	Standard	Abso	1,009		Pružný	Pružný	Volný	Volný	Volný	Volný
		GSS	Od počátku	1						
Sb258	Standard	Abso	0,603		Pružný	Pružný	Volný	Volný	Volný	Volný
		GSS	Od počátku	1						
Sb259	Standard	Abso	0,196		Pružný	Pružný	Volný	Volný	Volný	Volný
		GSS	Od počátku	1						
Sb260	Standard	Abso	3,140		Pružný	Pružný	Volný	Volný	Volný	Volný
		GSS	Od počátku	1						
Sb261	Standard	Abso	2,684		Pružný	Pružný	Volný	Volný	Volný	Volný
		GSS	Od počátku	1						
Sb262	Standard	Abso	2,227		Pružný	Pružný	Volný	Volný	Volný	Volný
		GSS	Od počátku	1						
Sb263	Standard	Abso	1,770		Pružný	Pružný	Volný	Volný	Volný	Volný
		GSS	Od počátku	1						
Sb264	Standard	Abso	1,313		Pružný	Pružný	Volný	Volný	Volný	Volný
		GSS	Od počátku	1						
Sb265	Standard	Abso	0,856		Pružný	Pružný	Volný	Volný	Volný	Volný
		GSS	Od počátku	1						
Sb266	Standard	Abso	0,502		Pružný	Pružný	Volný	Volný	Volný	Volný
		GSS	Od počátku	1						
Sb267	Standard	Abso	0,502		Pružný	Pružný	Volný	Volný	Volný	Volný
		GSS	Od počátku	1						
Sb268	Standard	Abso	0,856		Pružný	Pružný	Volný	Volný	Volný	Volný
		GSS	Od počátku	1						
Sb269	Standard	Abso	1,313		Pružný	Pružný	Volný	Volný	Volný	Volný
		GSS	Od počátku	1						
Sb270	Standard	Abso	1,770		Pružný	Pružný	Volný	Volný	Volný	Volný
		GSS	Od počátku	1						
Sb271	Standard	Abso	2,227		Pružný	Pružný	Volný	Volný	Volný	Volný
		GSS	Od počátku	1						
Sb272	Standard	Abso	2,684		Pružný	Pružný	Volný	Volný	Volný	Volný
		GSS	Od počátku	1						
Sb273	Standard	Abso	3,140		Pružný	Pružný	Volný	Volný	Volný	Volný
		GSS	Od počátku	1						
Sb274	Standard	Abso	0,196		Pružný	Pružný	Volný	Volný	Volný	Volný
		GSS	Od počátku	1						
Sb275	Standard	Abso	0,603		Pružný	Pružný	Volný	Volný	Volný	Volný

Jméno	Typ	Souř.	Poz x [m]	dx [m]	X	Y	Z	Rx	Ry	Rz
		Systém	Poč	Poč.(n)						
		GSS	Od počátku	1						
Sb276	Standard	Abso	1,009		Pružný	Pružný	Volný	Volný	Volný	Volný
		GSS	Od počátku	1						
Sb277	Standard	Abso	1,415		Pružný	Pružný	Volný	Volný	Volný	Volný
		GSS	Od počátku	1						
Sb278	Standard	Abso	1,860		Pružný	Pružný	Volný	Volný	Volný	Volný
		GSS	Od počátku	1						
Sb279	Standard	Abso	2,343		Pružný	Pružný	Volný	Volný	Volný	Volný
		GSS	Od počátku	1						
Sb280	Standard	Abso	2,827		Pružný	Pružný	Volný	Volný	Volný	Volný
		GSS	Od počátku	1						
Sb281	Standard	Abso	0,502		Pružný	Pružný	Volný	Volný	Volný	Volný
		GSS	Od počátku	1						
Sb282	Standard	Abso	0,856		Pružný	Pružný	Volný	Volný	Volný	Volný
		GSS	Od počátku	1						
Sb283	Standard	Abso	1,313		Pružný	Pružný	Volný	Volný	Volný	Volný
		GSS	Od počátku	1						
Sb284	Standard	Abso	1,770		Pružný	Pružný	Volný	Volný	Volný	Volný
		GSS	Od počátku	1						
Sb285	Standard	Abso	2,227		Pružný	Pružný	Volný	Volný	Volný	Volný
		GSS	Od počátku	1						
Sb286	Standard	Abso	2,684		Pružný	Pružný	Volný	Volný	Volný	Volný
		GSS	Od počátku	1						
Sb287	Standard	Abso	3,140		Pružný	Pružný	Volný	Volný	Volný	Volný
		GSS	Od počátku	1						
Sb288	Standard	Abso	0,196		Pružný	Pružný	Volný	Volný	Volný	Volný
		GSS	Od počátku	1						
Sb289	Standard	Abso	0,603		Pružný	Pružný	Volný	Volný	Volný	Volný
		GSS	Od počátku	1						
Sb290	Standard	Abso	1,009		Pružný	Pružný	Volný	Volný	Volný	Volný
		GSS	Od počátku	1						
Sb291	Standard	Abso	1,415		Pružný	Pružný	Volný	Volný	Volný	Volný
		GSS	Od počátku	1						
Sb292	Standard	Abso	1,860		Pružný	Pružný	Volný	Volný	Volný	Volný
		GSS	Od počátku	1						
Sb293	Standard	Abso	2,343		Pružný	Pružný	Volný	Volný	Volný	Volný
		GSS	Od počátku	1						
Sb294	Standard	Abso	2,827		Pružný	Pružný	Volný	Volný	Volný	Volný
		GSS	Od počátku	1						
Sb295	Standard	Abso	0,502		Pružný	Pružný	Volný	Volný	Volný	Volný
		GSS	Od počátku	1						
Sb296	Standard	Abso	0,856		Pružný	Pružný	Volný	Volný	Volný	Volný
		GSS	Od počátku	1						
Sb297	Standard	Abso	1,313		Pružný	Pružný	Volný	Volný	Volný	Volný
		GSS	Od počátku	1						
Sb298	Standard	Abso	1,770		Pružný	Pružný	Volný	Volný	Volný	Volný
		GSS	Od počátku	1						
Sb299	Standard	Abso	2,227		Pružný	Pružný	Volný	Volný	Volný	Volný
		GSS	Od počátku	1						
Sb300	Standard	Abso	2,684		Pružný	Pružný	Volný	Volný	Volný	Volný
		GSS	Od počátku	1						
Sb301	Standard	Abso	3,140		Pružný	Pružný	Volný	Volný	Volný	Volný
		GSS	Od počátku	1						
Sb302	Standard	Abso	0,196		Pružný	Pružný	Volný	Volný	Volný	Volný
		GSS	Od počátku	1						
Sb303	Standard	Abso	0,603		Pružný	Pružný	Volný	Volný	Volný	Volný
		GSS	Od počátku	1						
Sb304	Standard	Abso	1,009		Pružný	Pružný	Volný	Volný	Volný	Volný
		GSS	Od počátku	1						
Sb305	Standard	Abso	1,415		Pružný	Pružný	Volný	Volný	Volný	Volný
		GSS	Od počátku	1						
Sb306	Standard	Abso	1,860		Pružný	Pružný	Volný	Volný	Volný	Volný
		GSS	Od počátku	1						
Sb307	Standard	Abso	2,343		Pružný	Pružný	Volný	Volný	Volný	Volný
		GSS	Od počátku	1						
Sb308	Standard	Abso	2,827		Pružný	Pružný	Volný	Volný	Volný	Volný
		GSS	Od počátku	1						
Sb309	Standard	Abso	0,502		Pružný	Pružný	Volný	Volný	Volný	Volný
		GSS	Od počátku	1						
Sb310	Standard	Abso	0,856		Pružný	Pružný	Volný	Volný	Volný	Volný
		GSS	Od počátku	1						
Sb311	Standard	Abso	1,313		Pružný	Pružný	Volný	Volný	Volný	Volný
		GSS	Od počátku	1						
Sb312	Standard	Abso	1,770		Pružný	Pružný	Volný	Volný	Volný	Volný
		GSS	Od počátku	1						

Jméno	Typ	Souř.	Poz x [m]	dx [m]	X	Y	Z	Rx	Ry	Rz
		Systém	Poč	Poč.(n)						
Sb313	Standard	Abso	2,227		Pružný	Pružný	Volný	Volný	Volný	Volný
		GSS	Od počátku	1						
Sb314	Standard	Abso	2,684		Pružný	Pružný	Volný	Volný	Volný	Volný
		GSS	Od počátku	1						
Sb315	Standard	Abso	3,140		Pružný	Pružný	Volný	Volný	Volný	Volný
		GSS	Od počátku	1						
Sb316	Standard	Abso	0,196		Pružný	Pružný	Volný	Volný	Volný	Volný
		GSS	Od počátku	1						
Sb317	Standard	Abso	0,603		Pružný	Pružný	Volný	Volný	Volný	Volný
		GSS	Od počátku	1						
Sb318	Standard	Abso	1,009		Pružný	Pružný	Volný	Volný	Volný	Volný
		GSS	Od počátku	1						
Sb319	Standard	Abso	1,415		Pružný	Pružný	Volný	Volný	Volný	Volný
		GSS	Od počátku	1						
Sb320	Standard	Abso	1,860		Pružný	Pružný	Volný	Volný	Volný	Volný
		GSS	Od počátku	1						
Sb321	Standard	Abso	2,343		Pružný	Pružný	Volný	Volný	Volný	Volný
		GSS	Od počátku	1						
Sb322	Standard	Abso	2,827		Pružný	Pružný	Volný	Volný	Volný	Volný
		GSS	Od počátku	1						
Sb323	Standard	Abso	0,502		Pružný	Pružný	Volný	Volný	Volný	Volný
		GSS	Od počátku	1						
Sb324	Standard	Abso	0,856		Pružný	Pružný	Volný	Volný	Volný	Volný
		GSS	Od počátku	1						
Sb325	Standard	Abso	1,313		Pružný	Pružný	Volný	Volný	Volný	Volný
		GSS	Od počátku	1						
Sb326	Standard	Abso	1,770		Pružný	Pružný	Volný	Volný	Volný	Volný
		GSS	Od počátku	1						
Sb327	Standard	Abso	2,227		Pružný	Pružný	Volný	Volný	Volný	Volný
		GSS	Od počátku	1						
Sb328	Standard	Abso	2,684		Pružný	Pružný	Volný	Volný	Volný	Volný
		GSS	Od počátku	1						
Sb329	Standard	Abso	3,140		Pružný	Pružný	Volný	Volný	Volný	Volný
		GSS	Od počátku	1						
Sb330	Standard	Abso	0,196		Pružný	Pružný	Volný	Volný	Volný	Volný
		GSS	Od počátku	1						
Sb331	Standard	Abso	0,603		Pružný	Pružný	Volný	Volný	Volný	Volný
		GSS	Od počátku	1						
Sb332	Standard	Abso	1,009		Pružný	Pružný	Volný	Volný	Volný	Volný
		GSS	Od počátku	1						
Sb333	Standard	Abso	1,415		Pružný	Pružný	Volný	Volný	Volný	Volný
		GSS	Od počátku	1						
Sb334	Standard	Abso	1,860		Pružný	Pružný	Volný	Volný	Volný	Volný
		GSS	Od počátku	1						
Sb335	Standard	Abso	2,343		Pružný	Pružný	Volný	Volný	Volný	Volný
		GSS	Od počátku	1						
Sb336	Standard	Abso	2,827		Pružný	Pružný	Volný	Volný	Volný	Volný
		GSS	Od počátku	1						
Sb337	Standard	Abso	0,502		Pružný	Pružný	Volný	Volný	Volný	Volný
		GSS	Od počátku	1						
Sb338	Standard	Abso	0,856		Pružný	Pružný	Volný	Volný	Volný	Volný
		GSS	Od počátku	1						
Sb339	Standard	Abso	1,313		Pružný	Pružný	Volný	Volný	Volný	Volný
		GSS	Od počátku	1						
Sb340	Standard	Abso	1,770		Pružný	Pružný	Volný	Volný	Volný	Volný
		GSS	Od počátku	1						
Sb341	Standard	Abso	2,227		Pružný	Pružný	Volný	Volný	Volný	Volný
		GSS	Od počátku	1						
Sb342	Standard	Abso	2,684		Pružný	Pružný	Volný	Volný	Volný	Volný
		GSS	Od počátku	1						
Sb343	Standard	Abso	3,140		Pružný	Pružný	Volný	Volný	Volný	Volný
		GSS	Od počátku	1						
Sb344	Standard	Abso	0,196		Pružný	Pružný	Volný	Volný	Volný	Volný
		GSS	Od počátku	1						
Sb345	Standard	Abso	0,603		Pružný	Pružný	Volný	Volný	Volný	Volný
		GSS	Od počátku	1						
Sb346	Standard	Abso	1,009		Pružný	Pružný	Volný	Volný	Volný	Volný
		GSS	Od počátku	1						
Sb347	Standard	Abso	1,415		Pružný	Pružný	Volný	Volný	Volný	Volný
		GSS	Od počátku	1						
Sb348	Standard	Abso	1,860		Pružný	Pružný	Volný	Volný	Volný	Volný
		GSS	Od počátku	1						
Sb349	Standard	Abso	2,343		Pružný	Pružný	Volný	Volný	Volný	Volný
		GSS	Od počátku	1						
Sb350	Standard	Abso	2,827		Pružný	Pružný	Volný	Volný	Volný	Volný

Jméno	Typ	Souř.	Poz x [m]	dx [m]	X	Y	Z	Rx	Ry	Rz
		Systém	Poč	Poč.(n)						
		GSS	Od počátku	1						
Sb351	Standard	Abso	0,502		Pružný	Pružný	Volný	Volný	Volný	Volný
		GSS	Od počátku	1						
Sb352	Standard	Abso	0,856		Pružný	Pružný	Volný	Volný	Volný	Volný
		GSS	Od počátku	1						
Sb353	Standard	Abso	1,313		Pružný	Pružný	Volný	Volný	Volný	Volný
		GSS	Od počátku	1						
Sb354	Standard	Abso	1,770		Pružný	Pružný	Volný	Volný	Volný	Volný
		GSS	Od počátku	1						
Sb355	Standard	Abso	2,227		Pružný	Pružný	Volný	Volný	Volný	Volný
		GSS	Od počátku	1						
Sb356	Standard	Abso	2,684		Pružný	Pružný	Volný	Volný	Volný	Volný
		GSS	Od počátku	1						
Sb357	Standard	Abso	3,140		Pružný	Pružný	Volný	Volný	Volný	Volný
		GSS	Od počátku	1						
Sb358	Standard	Abso	0,196		Pružný	Pružný	Volný	Volný	Volný	Volný
		GSS	Od počátku	1						
Sb359	Standard	Abso	0,603		Pružný	Pružný	Volný	Volný	Volný	Volný
		GSS	Od počátku	1						
Sb360	Standard	Abso	1,009		Pružný	Pružný	Volný	Volný	Volný	Volný
		GSS	Od počátku	1						
Sb361	Standard	Abso	1,415		Pružný	Pružný	Volný	Volný	Volný	Volný
		GSS	Od počátku	1						
Sb362	Standard	Abso	1,860		Pružný	Pružný	Volný	Volný	Volný	Volný
		GSS	Od počátku	1						
Sb363	Standard	Abso	2,343		Pružný	Pružný	Volný	Volný	Volný	Volný
		GSS	Od počátku	1						
Sb364	Standard	Abso	2,827		Pružný	Pružný	Volný	Volný	Volný	Volný
		GSS	Od počátku	1						
Sb365	Standard	Abso	0,502		Pružný	Pružný	Volný	Volný	Volný	Volný
		GSS	Od počátku	1						
Sb366	Standard	Abso	0,856		Pružný	Pružný	Volný	Volný	Volný	Volný
		GSS	Od počátku	1						
Sb367	Standard	Abso	1,313		Pružný	Pružný	Volný	Volný	Volný	Volný
		GSS	Od počátku	1						
Sb368	Standard	Abso	1,770		Pružný	Pružný	Volný	Volný	Volný	Volný
		GSS	Od počátku	1						
Sb369	Standard	Abso	2,227		Pružný	Pružný	Volný	Volný	Volný	Volný
		GSS	Od počátku	1						
Sb370	Standard	Abso	2,684		Pružný	Pružný	Volný	Volný	Volný	Volný
		GSS	Od počátku	1						
Sb371	Standard	Abso	3,140		Pružný	Pružný	Volný	Volný	Volný	Volný
		GSS	Od počátku	1						
Sb372	Standard	Abso	0,196		Pružný	Pružný	Volný	Volný	Volný	Volný
		GSS	Od počátku	1						
Sb373	Standard	Abso	0,603		Pružný	Pružný	Volný	Volný	Volný	Volný
		GSS	Od počátku	1						
Sb374	Standard	Abso	1,009		Pružný	Pružný	Volný	Volný	Volný	Volný
		GSS	Od počátku	1						
Sb375	Standard	Abso	1,415		Pružný	Pružný	Volný	Volný	Volný	Volný
		GSS	Od počátku	1						
Sb376	Standard	Abso	1,860		Pružný	Pružný	Volný	Volný	Volný	Volný
		GSS	Od počátku	1						
Sb377	Standard	Abso	2,343		Pružný	Pružný	Volný	Volný	Volný	Volný
		GSS	Od počátku	1						
Sb378	Standard	Abso	2,827		Pružný	Pružný	Volný	Volný	Volný	Volný
		GSS	Od počátku	1						
Sb379	Standard	Abso	0,502		Pružný	Pružný	Volný	Volný	Volný	Volný
		GSS	Od počátku	1						
Sb380	Standard	Abso	0,856		Pružný	Pružný	Volný	Volný	Volný	Volný
		GSS	Od počátku	1						
Sb381	Standard	Abso	1,313		Pružný	Pružný	Volný	Volný	Volný	Volný
		GSS	Od počátku	1						
Sb382	Standard	Abso	1,770		Pružný	Pružný	Volný	Volný	Volný	Volný
		GSS	Od počátku	1						
Sb383	Standard	Abso	2,227		Pružný	Pružný	Volný	Volný	Volný	Volný
		GSS	Od počátku	1						
Sb384	Standard	Abso	2,684		Pružný	Pružný	Volný	Volný	Volný	Volný
		GSS	Od počátku	1						
Sb385	Standard	Abso	3,140		Pružný	Pružný	Volný	Volný	Volný	Volný
		GSS	Od počátku	1						
Sb386	Standard	Abso	0,196		Pružný	Pružný	Volný	Volný	Volný	Volný
		GSS	Od počátku	1						
Sb387	Standard	Abso	0,603		Pružný	Pružný	Volný	Volný	Volný	Volný
		GSS	Od počátku	1						

Jméno	Typ	Souř.	Poz x [m]	dx [m]	X	Y	Z	Rx	Ry	Rz
		Systém	Poč	Poč.(n)						
Sb388	Standard	Abso	1,009		Pružný	Pružný	Volný	Volný	Volný	Volný
		GSS	Od počátku	1						
Sb389	Standard	Abso	1,415		Pružný	Pružný	Volný	Volný	Volný	Volný
		GSS	Od počátku	1						
Sb390	Standard	Abso	1,860		Pružný	Pružný	Volný	Volný	Volný	Volný
		GSS	Od počátku	1						
Sb391	Standard	Abso	2,343		Pružný	Pružný	Volný	Volný	Volný	Volný
		GSS	Od počátku	1						
Sb392	Standard	Abso	2,827		Pružný	Pružný	Volný	Volný	Volný	Volný
		GSS	Od počátku	1						
Sb393	Standard	Abso	0,502		Pružný	Pružný	Volný	Volný	Volný	Volný
		GSS	Od počátku	1						
Sb394	Standard	Abso	0,856		Pružný	Pružný	Volný	Volný	Volný	Volný
		GSS	Od počátku	1						
Sb395	Standard	Abso	1,313		Pružný	Pružný	Volný	Volný	Volný	Volný
		GSS	Od počátku	1						
Sb396	Standard	Abso	1,770		Pružný	Pružný	Volný	Volný	Volný	Volný
		GSS	Od počátku	1						
Sb397	Standard	Abso	2,227		Pružný	Pružný	Volný	Volný	Volný	Volný
		GSS	Od počátku	1						
Sb398	Standard	Abso	2,684		Pružný	Pružný	Volný	Volný	Volný	Volný
		GSS	Od počátku	1						
Sb399	Standard	Abso	3,140		Pružný	Pružný	Volný	Volný	Volný	Volný
		GSS	Od počátku	1						
Sb400	Standard	Abso	0,196		Pružný	Pružný	Volný	Volný	Volný	Volný
		GSS	Od počátku	1						
Sb401	Standard	Abso	0,603		Pružný	Pružný	Volný	Volný	Volný	Volný
		GSS	Od počátku	1						
Sb402	Standard	Abso	1,009		Pružný	Pružný	Volný	Volný	Volný	Volný
		GSS	Od počátku	1						
Sb403	Standard	Abso	1,415		Pružný	Pružný	Volný	Volný	Volný	Volný
		GSS	Od počátku	1						
Sb404	Standard	Abso	1,860		Pružný	Pružný	Volný	Volný	Volný	Volný
		GSS	Od počátku	1						
Sb405	Standard	Abso	2,343		Pružný	Pružný	Volný	Volný	Volný	Volný
		GSS	Od počátku	1						
Sb406	Standard	Abso	2,827		Pružný	Pružný	Volný	Volný	Volný	Volný
		GSS	Od počátku	1						
Sb407	Standard	Abso	0,502		Pružný	Pružný	Volný	Volný	Volný	Volný
		GSS	Od počátku	1						
Sb408	Standard	Abso	0,856		Pružný	Pružný	Volný	Volný	Volný	Volný
		GSS	Od počátku	1						
Sb409	Standard	Abso	1,313		Pružný	Pružný	Volný	Volný	Volný	Volný
		GSS	Od počátku	1						
Sb410	Standard	Abso	1,770		Pružný	Pružný	Volný	Volný	Volný	Volný
		GSS	Od počátku	1						
Sb411	Standard	Abso	2,227		Pružný	Pružný	Volný	Volný	Volný	Volný
		GSS	Od počátku	1						
Sb412	Standard	Abso	2,684		Pružný	Pružný	Volný	Volný	Volný	Volný
		GSS	Od počátku	1						
Sb413	Standard	Abso	3,140		Pružný	Pružný	Volný	Volný	Volný	Volný
		GSS	Od počátku	1						
Sb414	Standard	Abso	0,196		Pružný	Pružný	Volný	Volný	Volný	Volný
		GSS	Od počátku	1						
Sb415	Standard	Abso	0,603		Pružný	Pružný	Volný	Volný	Volný	Volný
		GSS	Od počátku	1						
Sb416	Standard	Abso	1,009		Pružný	Pružný	Volný	Volný	Volný	Volný
		GSS	Od počátku	1						
Sb417	Standard	Abso	1,415		Pružný	Pružný	Volný	Volný	Volný	Volný
		GSS	Od počátku	1						
Sb418	Standard	Abso	1,860		Pružný	Pružný	Volný	Volný	Volný	Volný
		GSS	Od počátku	1						
Sb419	Standard	Abso	2,343		Pružný	Pružný	Volný	Volný	Volný	Volný
		GSS	Od počátku	1						
Sb420	Standard	Abso	2,827		Pružný	Pružný	Volný	Volný	Volný	Volný
		GSS	Od počátku	1						
Sb421	Standard	Abso	0,502		Pružný	Pružný	Volný	Volný	Volný	Volný
		GSS	Od počátku	1						
Sb422	Standard	Abso	0,856		Pružný	Pružný	Volný	Volný	Volný	Volný
		GSS	Od počátku	1						
Sb423	Standard	Abso	1,313		Pružný	Pružný	Volný	Volný	Volný	Volný
		GSS	Od počátku	1						
Sb424	Standard	Abso	1,770		Pružný	Pružný	Volný	Volný	Volný	Volný
		GSS	Od počátku	1						
Sb425	Standard	Abso	2,227		Pružný	Pružný	Volný	Volný	Volný	Volný

Jméno	Typ	Souř.	Poz x [m]	dx [m]	X	Y	Z	Rx	Ry	Rz
		Systém	Poč	Poč.(n)						
Sb463	Standard	Abso	0,502		Pružný	Pružný	Volný	Volný	Volný	Volný
		GSS	Od počátku	1						
Sb464	Standard	Abso	0,856		Pružný	Pružný	Volný	Volný	Volný	Volný
		GSS	Od počátku	1						
Sb465	Standard	Abso	1,313		Pružný	Pružný	Volný	Volný	Volný	Volný
		GSS	Od počátku	1						
Sb466	Standard	Abso	1,770		Pružný	Pružný	Volný	Volný	Volný	Volný
		GSS	Od počátku	1						
Sb467	Standard	Abso	2,227		Pružný	Pružný	Volný	Volný	Volný	Volný
		GSS	Od počátku	1						
Sb468	Standard	Abso	2,684		Pružný	Pružný	Volný	Volný	Volný	Volný
		GSS	Od počátku	1						
Sb469	Standard	Abso	3,140		Pružný	Pružný	Volný	Volný	Volný	Volný
		GSS	Od počátku	1						
Sb470	Standard	Abso	0,196		Pružný	Pružný	Volný	Volný	Volný	Volný
		GSS	Od počátku	1						
Sb471	Standard	Abso	0,603		Pružný	Pružný	Volný	Volný	Volný	Volný
		GSS	Od počátku	1						
Sb472	Standard	Abso	1,009		Pružný	Pružný	Volný	Volný	Volný	Volný
		GSS	Od počátku	1						
Sb473	Standard	Abso	1,415		Pružný	Pružný	Volný	Volný	Volný	Volný
		GSS	Od počátku	1						
Sb474	Standard	Abso	1,860		Pružný	Pružný	Volný	Volný	Volný	Volný
		GSS	Od počátku	1						
Sb475	Standard	Abso	2,343		Pružný	Pružný	Volný	Volný	Volný	Volný
		GSS	Od počátku	1						
Sb476	Standard	Abso	2,827		Pružný	Pružný	Volný	Volný	Volný	Volný
		GSS	Od počátku	1						
Sb477	Standard	Abso	0,502		Pružný	Pružný	Volný	Volný	Volný	Volný
		GSS	Od počátku	1						
Sb478	Standard	Abso	0,856		Pružný	Pružný	Volný	Volný	Volný	Volný
		GSS	Od počátku	1						
Sb479	Standard	Abso	1,313		Pružný	Pružný	Volný	Volný	Volný	Volný
		GSS	Od počátku	1						
Sb480	Standard	Abso	1,770		Pružný	Pružný	Volný	Volný	Volný	Volný
		GSS	Od počátku	1						
Sb481	Standard	Abso	2,227		Pružný	Pružný	Volný	Volný	Volný	Volný
		GSS	Od počátku	1						
Sb482	Standard	Abso	2,684		Pružný	Pružný	Volný	Volný	Volný	Volný
		GSS	Od počátku	1						
Sb483	Standard	Abso	3,140		Pružný	Pružný	Volný	Volný	Volný	Volný
		GSS	Od počátku	1						
Sb484	Standard	Abso	0,196		Pružný	Pružný	Volný	Volný	Volný	Volný
		GSS	Od počátku	1						
Sb485	Standard	Abso	0,603		Pružný	Pružný	Volný	Volný	Volný	Volný
		GSS	Od počátku	1						
Sb486	Standard	Abso	1,009		Pružný	Pružný	Volný	Volný	Volný	Volný
		GSS	Od počátku	1						
Sb487	Standard	Abso	1,415		Pružný	Pružný	Volný	Volný	Volný	Volný
		GSS	Od počátku	1						
Sb488	Standard	Abso	1,860		Pružný	Pružný	Volný	Volný	Volný	Volný
		GSS	Od počátku	1						
Sb489	Standard	Abso	2,343		Pružný	Pružný	Volný	Volný	Volný	Volný
		GSS	Od počátku	1						
Sb490	Standard	Abso	2,827		Pružný	Pružný	Volný	Volný	Volný	Volný
		GSS	Od počátku	1						
Sb491	Standard	Abso	0,502		Pružný	Pružný	Volný	Volný	Volný	Volný
		GSS	Od počátku	1						
Sb492	Standard	Abso	0,856		Pružný	Pružný	Volný	Volný	Volný	Volný
		GSS	Od počátku	1						
Sb493	Standard	Abso	1,313		Pružný	Pružný	Volný	Volný	Volný	Volný
		GSS	Od počátku	1						
Sb494	Standard	Abso	1,770		Pružný	Pružný	Volný	Volný	Volný	Volný
		GSS	Od počátku	1						
Sb495	Standard	Abso	2,227		Pružný	Pružný	Volný	Volný	Volný	Volný
		GSS	Od počátku	1						
Sb496	Standard	Abso	2,684		Pružný	Pružný	Volný	Volný	Volný	Volný
		GSS	Od počátku	1						
Sb497	Standard	Abso	3,140		Pružný	Pružný	Volný	Volný	Volný	Volný
		GSS	Od počátku	1						
Sb498	Standard	Abso	0,196		Pružný	Pružný	Volný	Volný	Volný	Volný
		GSS	Od počátku	1						
Sb499	Standard	Abso	0,603		Pružný	Pružný	Volný	Volný	Volný	Volný
		GSS	Od počátku	1						
Sb500	Standard	Abso	1,009		Pružný	Pružný	Volný	Volný	Volný	Volný

[illegible]

Jméno	Typ	Souř.	Poz x [m]	dx [m]	X	Y	Z	Rx	Ry	Rz
		Systém	Poč	Poč.(n)						
Sb538	Standard	Abso	1,692		Pružný	Pružný	Volný	Volný	Volný	Volný
		GSS	Od počátku	1						
Sb539	Standard	Abso	2,175		Pružný	Pružný	Volný	Volný	Volný	Volný
		GSS	Od počátku	1						
Sb540	Standard	Abso	2,658		Pružný	Pružný	Volný	Volný	Volný	Volný
		GSS	Od počátku	1						
Sb541	Standard	Abso	0,242		Pružný	Pružný	Volný	Volný	Volný	Volný
		GSS	Od počátku	1						
Sb542	Standard	Abso	0,725		Pružný	Pružný	Volný	Volný	Volný	Volný
		GSS	Od počátku	1						
Sb543	Standard	Abso	1,208		Pružný	Pružný	Volný	Volný	Volný	Volný
		GSS	Od počátku	1						
Sb544	Standard	Abso	1,692		Pružný	Pružný	Volný	Volný	Volný	Volný
		GSS	Od počátku	1						
Sb545	Standard	Abso	2,175		Pružný	Pružný	Volný	Volný	Volný	Volný
		GSS	Od počátku	1						
Sb546	Standard	Abso	2,658		Pružný	Pružný	Volný	Volný	Volný	Volný
		GSS	Od počátku	1						
Sb547	Standard	Abso	0,242		Pružný	Pružný	Volný	Volný	Volný	Volný
		GSS	Od počátku	1						
Sb548	Standard	Abso	0,725		Pružný	Pružný	Volný	Volný	Volný	Volný
		GSS	Od počátku	1						
Sb549	Standard	Abso	1,208		Pružný	Pružný	Volný	Volný	Volný	Volný
		GSS	Od počátku	1						
Sb550	Standard	Abso	1,692		Pružný	Pružný	Volný	Volný	Volný	Volný
		GSS	Od počátku	1						
Sb551	Standard	Abso	2,175		Pružný	Pružný	Volný	Volný	Volný	Volný
		GSS	Od počátku	1						
Sb552	Standard	Abso	2,658		Pružný	Pružný	Volný	Volný	Volný	Volný
		GSS	Od počátku	1						
Sb553	Standard	Abso	0,242		Pružný	Pružný	Volný	Volný	Volný	Volný
		GSS	Od počátku	1						
Sb554	Standard	Abso	0,725		Pružný	Pružný	Volný	Volný	Volný	Volný
		GSS	Od počátku	1						
Sb555	Standard	Abso	1,208		Pružný	Pružný	Volný	Volný	Volný	Volný
		GSS	Od počátku	1						
Sb556	Standard	Abso	1,692		Pružný	Pružný	Volný	Volný	Volný	Volný
		GSS	Od počátku	1						
Sb557	Standard	Abso	2,175		Pružný	Pružný	Volný	Volný	Volný	Volný
		GSS	Od počátku	1						
Sb558	Standard	Abso	2,658		Pružný	Pružný	Volný	Volný	Volný	Volný
		GSS	Od počátku	1						
Sb559	Standard	Abso	0,242		Pružný	Pružný	Volný	Volný	Volný	Volný
		GSS	Od počátku	1						
Sb560	Standard	Abso	0,725		Pružný	Pružný	Volný	Volný	Volný	Volný
		GSS	Od počátku	1						
Sb561	Standard	Abso	1,208		Pružný	Pružný	Volný	Volný	Volný	Volný
		GSS	Od počátku	1						
Sb562	Standard	Abso	1,692		Pružný	Pružný	Volný	Volný	Volný	Volný
		GSS	Od počátku	1						
Sb563	Standard	Abso	2,175		Pružný	Pružný	Volný	Volný	Volný	Volný
		GSS	Od počátku	1						
Sb564	Standard	Abso	2,658		Pružný	Pružný	Volný	Volný	Volný	Volný
		GSS	Od počátku	1						
Sb565	Standard	Abso	0,242		Pružný	Pružný	Volný	Volný	Volný	Volný
		GSS	Od počátku	1						
Sb566	Standard	Abso	0,725		Pružný	Pružný	Volný	Volný	Volný	Volný
		GSS	Od počátku	1						
Sb567	Standard	Abso	1,208		Pružný	Pružný	Volný	Volný	Volný	Volný
		GSS	Od počátku	1						
Sb568	Standard	Abso	1,692		Pružný	Pružný	Volný	Volný	Volný	Volný
		GSS	Od počátku	1						
Sb569	Standard	Abso	2,175		Pružný	Pružný	Volný	Volný	Volný	Volný
		GSS	Od počátku	1						
Sb570	Standard	Abso	2,658		Pružný	Pružný	Volný	Volný	Volný	Volný
		GSS	Od počátku	1						
Sb571	Standard	Abso	0,242		Pružný	Pružný	Volný	Volný	Volný	Volný
		GSS	Od počátku	1						
Sb572	Standard	Abso	0,725		Pružný	Pružný	Volný	Volný	Volný	Volný
		GSS	Od počátku	1						
Sb573	Standard	Abso	1,208		Pružný	Pružný	Volný	Volný	Volný	Volný
		GSS	Od počátku	1						
Sb574	Standard	Abso	1,692		Pružný	Pružný	Volný	Volný	Volný	Volný
		GSS	Od počátku	1						
Sb575	Standard	Abso	2,175		Pružný	Pružný	Volný	Volný	Volný	Volný

Jméno	Typ	Souř.	Poz x [m]	dx [m]	X	Y	Z	Rx	Ry	Rz
		Systém	Poč	Poč.(n)						
		GSS	Od počátku	1						
Sb576	Standard	Abso	2,658		Pružný	Pružný	Volný	Volný	Volný	Volný
		GSS	Od počátku	1						
Sb577	Standard	Abso	0,242		Pružný	Pružný	Volný	Volný	Volný	Volný
		GSS	Od počátku	1						
Sb578	Standard	Abso	0,725		Pružný	Pružný	Volný	Volný	Volný	Volný
		GSS	Od počátku	1						
Sb579	Standard	Abso	1,208		Pružný	Pružný	Volný	Volný	Volný	Volný
		GSS	Od počátku	1						
Sb580	Standard	Abso	1,692		Pružný	Pružný	Volný	Volný	Volný	Volný
		GSS	Od počátku	1						
Sb581	Standard	Abso	2,175		Pružný	Pružný	Volný	Volný	Volný	Volný
		GSS	Od počátku	1						
Sb582	Standard	Abso	2,658		Pružný	Pružný	Volný	Volný	Volný	Volný
		GSS	Od počátku	1						
Sb583	Standard	Abso	0,242		Pružný	Pružný	Volný	Volný	Volný	Volný
		GSS	Od počátku	1						
Sb584	Standard	Abso	0,725		Pružný	Pružný	Volný	Volný	Volný	Volný
		GSS	Od počátku	1						
Sb585	Standard	Abso	1,208		Pružný	Pružný	Volný	Volný	Volný	Volný
		GSS	Od počátku	1						
Sb586	Standard	Abso	1,692		Pružný	Pružný	Volný	Volný	Volný	Volný
		GSS	Od počátku	1						
Sb587	Standard	Abso	2,175		Pružný	Pružný	Volný	Volný	Volný	Volný
		GSS	Od počátku	1						
Sb588	Standard	Abso	2,658		Pružný	Pružný	Volný	Volný	Volný	Volný
		GSS	Od počátku	1						
Sb589	Standard	Abso	0,242		Pružný	Pružný	Volný	Volný	Volný	Volný
		GSS	Od počátku	1						
Sb590	Standard	Abso	0,725		Pružný	Pružný	Volný	Volný	Volný	Volný
		GSS	Od počátku	1						
Sb591	Standard	Abso	1,208		Pružný	Pružný	Volný	Volný	Volný	Volný
		GSS	Od počátku	1						
Sb592	Standard	Abso	1,692		Pružný	Pružný	Volný	Volný	Volný	Volný
		GSS	Od počátku	1						
Sb593	Standard	Abso	2,175		Pružný	Pružný	Volný	Volný	Volný	Volný
		GSS	Od počátku	1						
Sb594	Standard	Abso	2,658		Pružný	Pružný	Volný	Volný	Volný	Volný
		GSS	Od počátku	1						
Sb595	Standard	Abso	0,242		Pružný	Pružný	Volný	Volný	Volný	Volný
		GSS	Od počátku	1						
Sb596	Standard	Abso	0,725		Pružný	Pružný	Volný	Volný	Volný	Volný
		GSS	Od počátku	1						
Sb597	Standard	Abso	1,208		Pružný	Pružný	Volný	Volný	Volný	Volný
		GSS	Od počátku	1						
Sb598	Standard	Abso	1,692		Pružný	Pružný	Volný	Volný	Volný	Volný
		GSS	Od počátku	1						
Sb599	Standard	Abso	2,175		Pružný	Pružný	Volný	Volný	Volný	Volný
		GSS	Od počátku	1						
Sb600	Standard	Abso	2,658		Pružný	Pružný	Volný	Volný	Volný	Volný
		GSS	Od počátku	1						
Sb601	Standard	Abso	0,242		Pružný	Pružný	Volný	Volný	Volný	Volný
		GSS	Od počátku	1						
Sb602	Standard	Abso	0,725		Pružný	Pružný	Volný	Volný	Volný	Volný
		GSS	Od počátku	1						
Sb603	Standard	Abso	1,208		Pružný	Pružný	Volný	Volný	Volný	Volný
		GSS	Od počátku	1						
Sb604	Standard	Abso	1,692		Pružný	Pružný	Volný	Volný	Volný	Volný
		GSS	Od počátku	1						
Sb605	Standard	Abso	2,175		Pružný	Pružný	Volný	Volný	Volný	Volný
		GSS	Od počátku	1						
Sb606	Standard	Abso	2,658		Pružný	Pružný	Volný	Volný	Volný	Volný
		GSS	Od počátku	1						
Sb607	Standard	Abso	0,242		Pružný	Pružný	Volný	Volný	Volný	Volný
		GSS	Od počátku	1						
Sb608	Standard	Abso	0,725		Pružný	Pružný	Volný	Volný	Volný	Volný
		GSS	Od počátku	1						
Sb609	Standard	Abso	1,208		Pružný	Pružný	Volný	Volný	Volný	Volný
		GSS	Od počátku	1						
Sb610	Standard	Abso	1,692		Pružný	Pružný	Volný	Volný	Volný	Volný
		GSS	Od počátku	1						
Sb611	Standard	Abso	2,175		Pružný	Pružný	Volný	Volný	Volný	Volný
		GSS	Od počátku	1						
Sb612	Standard	Abso	2,658		Pružný	Pružný	Volný	Volný	Volný	Volný
		GSS	Od počátku	1						

Jméno	Typ	Souř.	Poz x [m]	dx [m]	X	Y	Z	Rx	Ry	Rz
		Systém	Poč	Poč.(n)						
Sb613	Standard	Abso	0,242		Pružný	Pružný	Volný	Volný	Volný	Volný
		GSS	Od počátku	1						
Sb614	Standard	Abso	0,725		Pružný	Pružný	Volný	Volný	Volný	Volný
		GSS	Od počátku	1						
Sb615	Standard	Abso	1,208		Pružný	Pružný	Volný	Volný	Volný	Volný
		GSS	Od počátku	1						
Sb616	Standard	Abso	1,692		Pružný	Pružný	Volný	Volný	Volný	Volný
		GSS	Od počátku	1						
Sb617	Standard	Abso	2,175		Pružný	Pružný	Volný	Volný	Volný	Volný
		GSS	Od počátku	1						
Sb618	Standard	Abso	2,658		Pružný	Pružný	Volný	Volný	Volný	Volný
		GSS	Od počátku	1						
Sb619	Standard	Abso	0,242		Pružný	Pružný	Volný	Volný	Volný	Volný
		GSS	Od počátku	1						
Sb620	Standard	Abso	0,725		Pružný	Pružný	Volný	Volný	Volný	Volný
		GSS	Od počátku	1						
Sb621	Standard	Abso	1,208		Pružný	Pružný	Volný	Volný	Volný	Volný
		GSS	Od počátku	1						
Sb622	Standard	Abso	1,692		Pružný	Pružný	Volný	Volný	Volný	Volný
		GSS	Od počátku	1						
Sb623	Standard	Abso	2,175		Pružný	Pružný	Volný	Volný	Volný	Volný
		GSS	Od počátku	1						
Sb624	Standard	Abso	2,658		Pružný	Pružný	Volný	Volný	Volný	Volný
		GSS	Od počátku	1						
Sb625	Standard	Abso	0,242		Pružný	Pružný	Volný	Volný	Volný	Volný
		GSS	Od počátku	1						
Sb626	Standard	Abso	0,725		Pružný	Pružný	Volný	Volný	Volný	Volný
		GSS	Od počátku	1						
Sb627	Standard	Abso	1,208		Pružný	Pružný	Volný	Volný	Volný	Volný
		GSS	Od počátku	1						
Sb628	Standard	Abso	1,692		Pružný	Pružný	Volný	Volný	Volný	Volný
		GSS	Od počátku	1						
Sb629	Standard	Abso	2,175		Pružný	Pružný	Volný	Volný	Volný	Volný
		GSS	Od počátku	1						
Sb630	Standard	Abso	2,658		Pružný	Pružný	Volný	Volný	Volný	Volný
		GSS	Od počátku	1						
Sb631	Standard	Abso	0,242		Pružný	Pružný	Volný	Volný	Volný	Volný
		GSS	Od počátku	1						
Sb632	Standard	Abso	0,725		Pružný	Pružný	Volný	Volný	Volný	Volný
		GSS	Od počátku	1						
Sb633	Standard	Abso	1,208		Pružný	Pružný	Volný	Volný	Volný	Volný
		GSS	Od počátku	1						
Sb634	Standard	Abso	1,692		Pružný	Pružný	Volný	Volný	Volný	Volný
		GSS	Od počátku	1						
Sb635	Standard	Abso	2,175		Pružný	Pružný	Volný	Volný	Volný	Volný
		GSS	Od počátku	1						
Sb636	Standard	Abso	2,658		Pružný	Pružný	Volný	Volný	Volný	Volný
		GSS	Od počátku	1						
Sb637	Standard	Abso	0,242		Pružný	Pružný	Volný	Volný	Volný	Volný
		GSS	Od počátku	1						
Sb638	Standard	Abso	0,725		Pružný	Pružný	Volný	Volný	Volný	Volný
		GSS	Od počátku	1						
Sb639	Standard	Abso	1,208		Pružný	Pružný	Volný	Volný	Volný	Volný
		GSS	Od počátku	1						
Sb640	Standard	Abso	1,692		Pružný	Pružný	Volný	Volný	Volný	Volný
		GSS	Od počátku	1						
Sb641	Standard	Abso	2,175		Pružný	Pružný	Volný	Volný	Volný	Volný
		GSS	Od počátku	1						
Sb642	Standard	Abso	2,658		Pružný	Pružný	Volný	Volný	Volný	Volný
		GSS	Od počátku	1						
Sb643	Standard	Abso	0,242		Pružný	Pružný	Volný	Volný	Volný	Volný
		GSS	Od počátku	1						
Sb644	Standard	Abso	0,725		Pružný	Pružný	Volný	Volný	Volný	Volný
		GSS	Od počátku	1						
Sb645	Standard	Abso	1,208		Pružný	Pružný	Volný	Volný	Volný	Volný
		GSS	Od počátku	1						
Sb646	Standard	Abso	1,692		Pružný	Pružný	Volný	Volný	Volný	Volný
		GSS	Od počátku	1						
Sb647	Standard	Abso	2,175		Pružný	Pružný	Volný	Volný	Volný	Volný
		GSS	Od počátku	1						
Sb648	Standard	Abso	2,658		Pružný	Pružný	Volný	Volný	Volný	Volný
		GSS	Od počátku	1						
Sb649	Standard	Abso	0,242		Pružný	Pružný	Volný	Volný	Volný	Volný
		GSS	Od počátku	1						
Sb650	Standard	Abso	0,725		Pružný	Pružný	Volný	Volný	Volný	Volný

Jméno	Typ	Souř.	Poz x [m]	dx [m]	X	Y	Z	Rx	Ry	Rz
		Systém	Poč	Poč.(n)						
		GSS	Od počátku	1						
Sb651	Standard	Abso	1,208		Pružný	Pružný	Volný	Volný	Volný	Volný
		GSS	Od počátku	1						
Sb652	Standard	Abso	1,692		Pružný	Pružný	Volný	Volný	Volný	Volný
		GSS	Od počátku	1						
Sb653	Standard	Abso	2,175		Pružný	Pružný	Volný	Volný	Volný	Volný
		GSS	Od počátku	1						
Sb654	Standard	Abso	2,658		Pružný	Pružný	Volný	Volný	Volný	Volný
		GSS	Od počátku	1						
Sb655	Standard	Abso	0,242		Pružný	Pružný	Volný	Volný	Volný	Volný
		GSS	Od počátku	1						
Sb656	Standard	Abso	0,725		Pružný	Pružný	Volný	Volný	Volný	Volný
		GSS	Od počátku	1						
Sb657	Standard	Abso	1,208		Pružný	Pružný	Volný	Volný	Volný	Volný
		GSS	Od počátku	1						
Sb658	Standard	Abso	1,692		Pružný	Pružný	Volný	Volný	Volný	Volný
		GSS	Od počátku	1						
Sb659	Standard	Abso	2,175		Pružný	Pružný	Volný	Volný	Volný	Volný
		GSS	Od počátku	1						
Sb660	Standard	Abso	2,658		Pružný	Pružný	Volný	Volný	Volný	Volný
		GSS	Od počátku	1						
Sb661	Standard	Abso	0,242		Pružný	Pružný	Volný	Volný	Volný	Volný
		GSS	Od počátku	1						
Sb662	Standard	Abso	0,725		Pružný	Pružný	Volný	Volný	Volný	Volný
		GSS	Od počátku	1						
Sb663	Standard	Abso	1,208		Pružný	Pružný	Volný	Volný	Volný	Volný
		GSS	Od počátku	1						
Sb664	Standard	Abso	1,692		Pružný	Pružný	Volný	Volný	Volný	Volný
		GSS	Od počátku	1						
Sb665	Standard	Abso	2,175		Pružný	Pružný	Volný	Volný	Volný	Volný
		GSS	Od počátku	1						
Sb666	Standard	Abso	2,658		Pružný	Pružný	Volný	Volný	Volný	Volný
		GSS	Od počátku	1						
Sb667	Standard	Abso	0,242		Pružný	Pružný	Volný	Volný	Volný	Volný
		GSS	Od počátku	1						
Sb668	Standard	Abso	0,725		Pružný	Pružný	Volný	Volný	Volný	Volný
		GSS	Od počátku	1						
Sb669	Standard	Abso	1,208		Pružný	Pružný	Volný	Volný	Volný	Volný
		GSS	Od počátku	1						
Sb670	Standard	Abso	1,692		Pružný	Pružný	Volný	Volný	Volný	Volný
		GSS	Od počátku	1						
Sb671	Standard	Abso	2,175		Pružný	Pružný	Volný	Volný	Volný	Volný
		GSS	Od počátku	1						
Sb672	Standard	Abso	2,658		Pružný	Pružný	Volný	Volný	Volný	Volný
		GSS	Od počátku	1						
Sb673	Standard	Abso	0,242		Pružný	Pružný	Volný	Volný	Volný	Volný
		GSS	Od počátku	1						
Sb674	Standard	Abso	0,725		Pružný	Pružný	Volný	Volný	Volný	Volný
		GSS	Od počátku	1						
Sb675	Standard	Abso	1,208		Pružný	Pružný	Volný	Volný	Volný	Volný
		GSS	Od počátku	1						
Sb676	Standard	Abso	1,692		Pružný	Pružný	Volný	Volný	Volný	Volný
		GSS	Od počátku	1						
Sb677	Standard	Abso	2,175		Pružný	Pružný	Volný	Volný	Volný	Volný
		GSS	Od počátku	1						
Sb678	Standard	Abso	2,658		Pružný	Pružný	Volný	Volný	Volný	Volný
		GSS	Od počátku	1						
Sb679	Standard	Abso	0,242		Pružný	Pružný	Volný	Volný	Volný	Volný
		GSS	Od počátku	1						
Sb680	Standard	Abso	0,725		Pružný	Pružný	Volný	Volný	Volný	Volný
		GSS	Od počátku	1						
Sb681	Standard	Abso	1,208		Pružný	Pružný	Volný	Volný	Volný	Volný
		GSS	Od počátku	1						
Sb682	Standard	Abso	1,692		Pružný	Pružný	Volný	Volný	Volný	Volný
		GSS	Od počátku	1						
Sb683	Standard	Abso	2,175		Pružný	Pružný	Volný	Volný	Volný	Volný
		GSS	Od počátku	1						
Sb684	Standard	Abso	2,658		Pružný	Pružný	Volný	Volný	Volný	Volný
		GSS	Od počátku	1						
Sb685	Standard	Abso	0,242		Pružný	Pružný	Volný	Volný	Volný	Volný
		GSS	Od počátku	1						
Sb686	Standard	Abso	0,725		Pružný	Pružný	Volný	Volný	Volný	Volný
		GSS	Od počátku	1						
Sb687	Standard	Abso	1,208		Pružný	Pružný	Volný	Volný	Volný	Volný
		GSS	Od počátku	1						

Jméno	Typ	Souř.	Poz x [m]	dx [m]	X	Y	Z	Rx	Ry	Rz
		Systém	Poč	Poč.(n)						
Sb688	Standard	Abso	1,692		Pružný	Pružný	Volný	Volný	Volný	Volný
		GSS	Od počátku	1						
Sb689	Standard	Abso	2,175		Pružný	Pružný	Volný	Volný	Volný	Volný
		GSS	Od počátku	1						
Sb690	Standard	Abso	2,658		Pružný	Pružný	Volný	Volný	Volný	Volný
		GSS	Od počátku	1						
Sb691	Standard	Abso	0,242		Pružný	Pružný	Volný	Volný	Volný	Volný
		GSS	Od počátku	1						
Sb692	Standard	Abso	0,725		Pružný	Pružný	Volný	Volný	Volný	Volný
		GSS	Od počátku	1						
Sb693	Standard	Abso	1,208		Pružný	Pružný	Volný	Volný	Volný	Volný
		GSS	Od počátku	1						
Sb694	Standard	Abso	1,692		Pružný	Pružný	Volný	Volný	Volný	Volný
		GSS	Od počátku	1						
Sb695	Standard	Abso	2,175		Pružný	Pružný	Volný	Volný	Volný	Volný
		GSS	Od počátku	1						
Sb696	Standard	Abso	2,658		Pružný	Pružný	Volný	Volný	Volný	Volný
		GSS	Od počátku	1						
Sb697	Standard	Abso	0,242		Pružný	Pružný	Volný	Volný	Volný	Volný
		GSS	Od počátku	1						
Sb698	Standard	Abso	0,725		Pružný	Pružný	Volný	Volný	Volný	Volný
		GSS	Od počátku	1						
Sb699	Standard	Abso	1,208		Pružný	Pružný	Volný	Volný	Volný	Volný
		GSS	Od počátku	1						
Sb700	Standard	Abso	1,692		Pružný	Pružný	Volný	Volný	Volný	Volný
		GSS	Od počátku	1						
Sb701	Standard	Abso	2,175		Pružný	Pružný	Volný	Volný	Volný	Volný
		GSS	Od počátku	1						
Sb702	Standard	Abso	2,658		Pružný	Pružný	Volný	Volný	Volný	Volný
		GSS	Od počátku	1						
Sb703	Standard	Abso	0,242		Pružný	Pružný	Volný	Volný	Volný	Volný
		GSS	Od počátku	1						
Sb704	Standard	Abso	0,725		Pružný	Pružný	Volný	Volný	Volný	Volný
		GSS	Od počátku	1						
Sb705	Standard	Abso	1,208		Pružný	Pružný	Volný	Volný	Volný	Volný
		GSS	Od počátku	1						
Sb706	Standard	Abso	1,692		Pružný	Pružný	Volný	Volný	Volný	Volný
		GSS	Od počátku	1						
Sb707	Standard	Abso	2,175		Pružný	Pružný	Volný	Volný	Volný	Volný
		GSS	Od počátku	1						
Sb708	Standard	Abso	2,658		Pružný	Pružný	Volný	Volný	Volný	Volný
		GSS	Od počátku	1						
Sb709	Standard	Abso	0,242		Pružný	Pružný	Volný	Volný	Volný	Volný
		GSS	Od počátku	1						
Sb710	Standard	Abso	0,725		Pružný	Pružný	Volný	Volný	Volný	Volný
		GSS	Od počátku	1						
Sb711	Standard	Abso	1,208		Pružný	Pružný	Volný	Volný	Volný	Volný
		GSS	Od počátku	1						
Sb712	Standard	Abso	1,692		Pružný	Pružný	Volný	Volný	Volný	Volný
		GSS	Od počátku	1						
Sb713	Standard	Abso	2,175		Pružný	Pružný	Volný	Volný	Volný	Volný
		GSS	Od počátku	1						
Sb714	Standard	Abso	2,658		Pružný	Pružný	Volný	Volný	Volný	Volný
		GSS	Od počátku	1						
Sb715	Standard	Abso	0,242		Pružný	Pružný	Volný	Volný	Volný	Volný
		GSS	Od počátku	1						
Sb716	Standard	Abso	0,725		Pružný	Pružný	Volný	Volný	Volný	Volný
		GSS	Od počátku	1						
Sb717	Standard	Abso	1,208		Pružný	Pružný	Volný	Volný	Volný	Volný
		GSS	Od počátku	1						
Sb718	Standard	Abso	1,692		Pružný	Pružný	Volný	Volný	Volný	Volný
		GSS	Od počátku	1						
Sb719	Standard	Abso	2,175		Pružný	Pružný	Volný	Volný	Volný	Volný
		GSS	Od počátku	1						
Sb720	Standard	Abso	2,658		Pružný	Pružný	Volný	Volný	Volný	Volný
		GSS	Od počátku	1						

67. Dopravní pruh

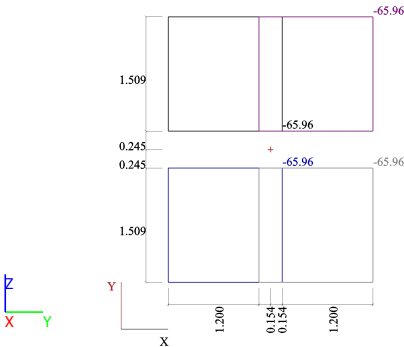
Jméno	Použité uzly	Uzel	Použit pro výpočet
TR1	3	Hlava	✓
		Hlava	
		Konec	
TR2	3	Hlava	✓
		Hlava	

Jméno	Použité uzly	Uzel	Použit pro výpočet
		Konec	
TR3	4	Hlava	✓
		Hlava	
		Hlava	
		Konec	
TR4	3	Hlava	✓
		Hlava	
		Konec	

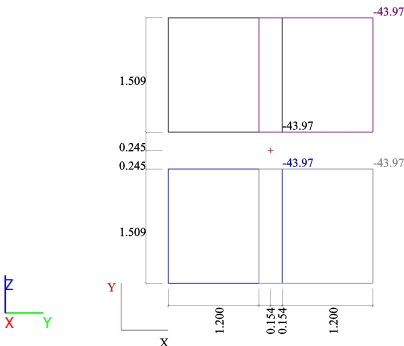
68. Správce zatížení pruhů

Jméno	Zatížení dopravou	Dopravní pruh	Skupina zatížení	Jméno zatěžovacího stavu	Krok [m]
LL1	TS1	TR1	LM1_TS1	TR1/TS1	0,500
LL2	TS2	TR2	LM1_TS2	TR2/TS2	0,500
LL3	LM3	TR3	LM3	LM3_	0,500
LL4	MIM	TR4	LM3	MIM_	0,500

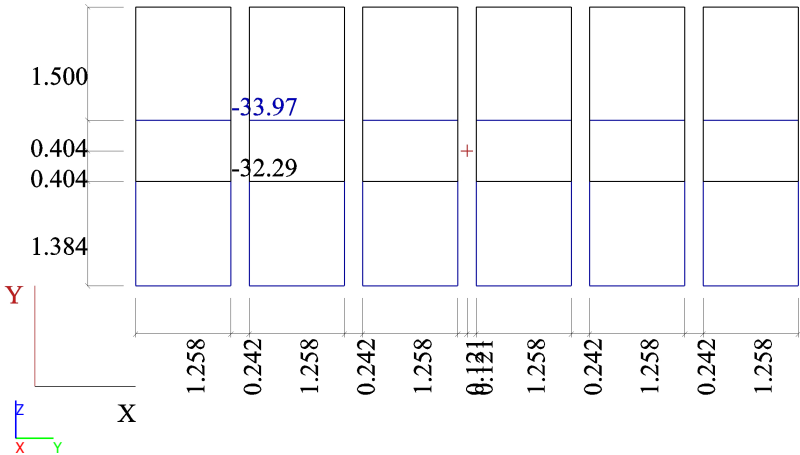
69. Zatížení TS1 (1:100)



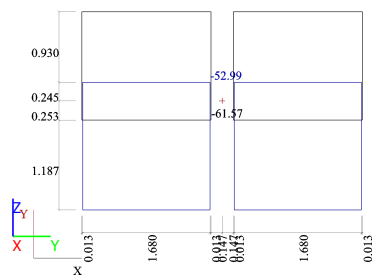
70. Zatížení TS2 (1:100)



71. Zatížení LM3 (1:100)



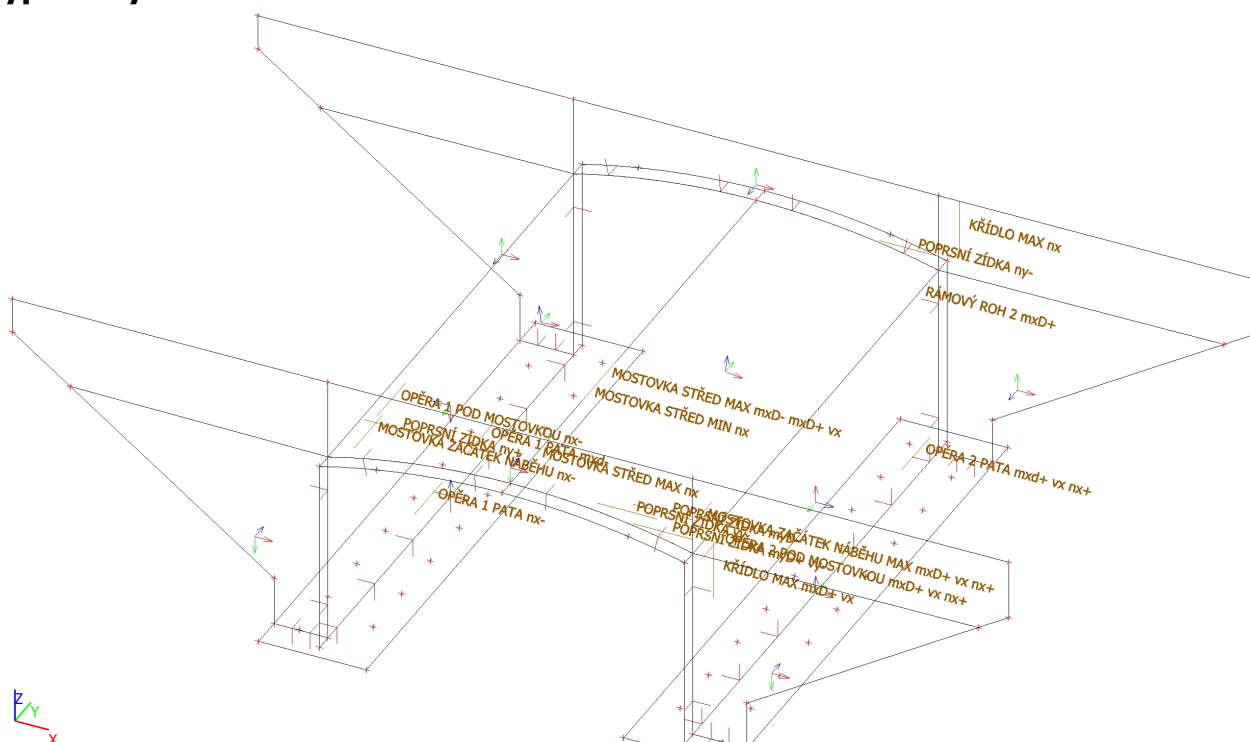
72. Zatížení vozidlem na římse (1:100)



73. Řezy plochami

Jméno	Kreslit	Směr řezu
OPĚRA 2 PATA mxd+ vx nx+	Kolmo k prvku	1.000000 / 0.000000 / 0.000000
OPĚRA 2 POD MOSTOVKOU mxD+ vx nx+	Kolmo k prvku	1.000000 / 0.000000 / 0.000000
RÁMOVÝ ROH 2 mxD+	Kolmo k prvku	0.000000 / 0.000000 / 1.000000
MOSTOVKA ZAČÁTEK NÁBĚHU MAX mxD+ vx nx+	Kolmo k prvku	0.000000 / 0.000000 / 1.000000
MOSTOVKA ZAČÁTEK NÁBĚHU nx-	Kolmo k prvku	0.000000 / 0.000000 / 1.000000
MOSTOVKA STŘED MAX nx	Kolmo k prvku	0.000000 / 0.000000 / 1.000000
MOSTOVKA STŘED MAX mxD- mxD+ vx	Kolmo k prvku	0.000000 / 0.000000 / 1.000000
MOSTOVKA STŘED MIN nx	Kolmo k prvku	0.000000 / 0.000000 / 1.000000
OPĚRA 1 POD MOSTOVKOU nx-	Kolmo k prvku	1.000000 / 0.000000 / 0.000000
OPĚRA 1 PATA mxd-	Kolmo k prvku	1.000000 / 0.000000 / 0.000000
OPĚRA 1 PATA nx-	Kolmo k prvku	1.000000 / 0.000000 / 0.000000
POPRSNÍ ZÍDKA ny-	Kolmo k prvku	0.000000 / 1.000000 / 0.000000
POPRSNÍ ZÍDKA myD-	Kolmo k prvku	0.000000 / 1.000000 / 0.000000
POPRSNÍ ZÍDKA myD+ vy-	Kolmo k prvku	0.000000 / 1.000000 / 0.000000
POPRSNÍ ZÍDKA ny+	Kolmo k prvku	0.000000 / 1.000000 / 0.000000
POPRSNÍ ZÍDKA vy	Kolmo k prvku	0.000000 / 1.000000 / 0.000000
KŘÍDLO MAX mxD+ vx	Kolmo k prvku	0.000000 / 1.000000 / 0.000000
KŘÍDLO MAX nx	Kolmo k prvku	0.000000 / 1.000000 / 0.000000

74. Výpočtový model



75. MSÚ - MOSTOVKA STŘED - MAX mx

Lineární výpočet, Extrém : Globální

Výběr : MOSTOVKA 1,MOSTOVKA 2,MOSTOVKA STŘED MAX mxD- mxD+ vx0

Kombinace : C034

Základní veličiny. V těžištích.

Řez	prvek	Stav	mx [kNm/m]	my [kNm/m]	mxy [kNm/m]	vx [kN/m]	vy [kN/m]	nx [kN/m]	ny [kN/m]	nxy [kN/m]
MOSTOVKA STŘED MAX mxD- mxD+ vx	1098	CO34	104,37	53,20	0,15	-13,66	-5,96	-178,65	-17,14	6,83

76. MSÚ - MOSTOVKA STŘED - MIN mx

Lineární výpočet, Extrém : Globální

Výběr : MOSTOVKA 1,MOSTOVKA 2,MOSTOVKA STŘED MAX mxD- mxD+ vx0

Kombinace : CO35

Základní veličiny. V těžištích.

Řez	prvek	Stav	mx [kNm/m]	my [kNm/m]	mxy [kNm/m]	vx [kN/m]	vy [kN/m]	nx [kN/m]	ny [kN/m]	nxy [kN/m]
MOSTOVKA STŘED MAX mxD- mxD+ vx	1098	CO35	-99,33	-20,63	1,72	-5,30	5,69	-32,47	-137,80	13,63

77. MSÚ - MOSTOVKA STŘED - MIN nx

Lineární výpočet, Extrém : Globální

Výběr : MOSTOVKA 1,MOSTOVKA 2,MOSTOVKA STŘED MIN nx0

Kombinace : CO36

Základní veličiny. V těžištích.

Řez	prvek	Stav	mx [kNm/m]	my [kNm/m]	mxy [kNm/m]	vx [kN/m]	vy [kN/m]	nx [kN/m]	ny [kN/m]	nxy [kN/m]
MOSTOVKA STŘED MIN nx	1096	CO36	-101,02	-23,53	1,72	-5,32	7,59	-99,54	-161,49	29,08

78. MSÚ - MOSTOVKA STŘED - MAX vx

Lineární výpočet, Extrém : Globální

Výběr : MOSTOVKA 1,MOSTOVKA 2,MOSTOVKA STŘED MAX mxD- mxD+ vx0

Kombinace : CO37

Základní veličiny. V těžištích.

Řez	prvek	Stav	mx [kNm/m]	my [kNm/m]	mxy [kNm/m]	vx [kN/m]	vy [kN/m]	nx [kN/m]	ny [kN/m]	nxy [kN/m]
MOSTOVKA STŘED MAX mxD- mxD+ vx	1098	CO37	28,48	18,27	-1,07	-57,91	-0,96	-112,67	-5,09	17,57

79. MSÚ - MOSTOVKA STŘED - MAX nx

Lineární výpočet, Extrém : Globální

Výběr : MOSTOVKA 1,MOSTOVKA 2,MOSTOVKA STŘED MAX nx0

Kombinace : CO38

Základní veličiny. V těžištích.

Řez	prvek	Stav	mx [kNm/m]	my [kNm/m]	mxy [kNm/m]	vx [kN/m]	vy [kN/m]	nx [kN/m]	ny [kN/m]	nxy [kN/m]
MOSTOVKA STŘED MAX nx	1089	CO38	43,28	19,93	1,42	-10,31	81,62	397,15	83,00	-0,90

80. MSÚ - MOSTOVKA ZAČÁTEK NÁBĚHU - MIN mx

Lineární výpočet, Extrém : Globální

Výběr : MOSTOVKA 1,MOSTOVKA 2,MOSTOVKA ZAČÁTEK NÁBĚHU MAX mxD+ vx nx+0

Kombinace : CO39

Základní veličiny. V těžištích.

Řez	prvek	Stav	mx [kNm/m]	my [kNm/m]	mxy [kNm/m]	vx [kN/m]	vy [kN/m]	nx [kN/m]	ny [kN/m]	nxy [kN/m]
MOSTOVKA ZAČÁTEK NÁBĚHU MAX mxD+ vx nx+	1437	CO39	-244,63	-149,96	34,22	-157,20	94,32	-223,34	429,15	-65,51

81. MSÚ - MOSTOVKA ZAČÁTEK NÁBĚHU - MAX vx

Lineární výpočet, Extrém : Globální

Výběr : MOSTOVKA 1,MOSTOVKA 2,MOSTOVKA ZAČÁTEK NÁBĚHU MAX mxD+ vx nx+0

Kombinace : CO40

Základní veličiny. V těžištích.

Řez	prvek	Stav	mx [kNm/m]	my [kNm/m]	mxy [kNm/m]	vx [kN/m]	vy [kN/m]	nx [kN/m]	ny [kN/m]	nxy [kN/m]
MOSTOVKA ZAČÁTEK NÁBĚHU MAX mxD+ vx nx+	1437	CO40	-135,76	-36,63	65,03	-208,36	5,86	-141,47	56,45	-40,75

82. MSÚ - MOSTOVKA ZAČÁTEK NÁBĚHU - MIN nx

Lineární výpočet, Extrém : Globální

Výběr : MOSTOVKA 1,MOSTOVKA 2,MOSTOVKA ZAČÁTEK NÁBĚHU nx-0

Kombinace : CO41

Základní veličiny. V těžištích.

Řez	prvek	Stav	mx [kNm/m]	my [kNm/m]	mxy [kNm/m]	vx [kN/m]	vy [kN/m]	nx [kN/m]	ny [kN/m]	nxy [kN/m]
MOSTOVKA ZAČÁTEK NÁBĚHU nx-	1350	CO41	-240,87	-99,67	-0,39	146,10	5,64	-467,07	137,35	-67,46

83. MSÚ - MOSTOVKA ZAČÁTEK NÁBĚHU - MAX nx

Lineární výpočet, Extrém : Globální

Výběr : MOSTOVKA 1,MOSTOVKA 2,MOSTOVKA ZAČÁTEK NÁBĚHU MAX mxD+ vx nx+0

Kombinace : CO42

Základní veličiny. V těžištích.

Řez	prvek	Stav	mx [kNm/m]	my [kNm/m]	mxy [kNm/m]	vx [kN/m]	vy [kN/m]	nx [kN/m]	ny [kN/m]	nxy [kN/m]
MOSTOVKA ZAČÁTEK NÁBĚHU MAX mxD+ vx nx+	1437	CO42	-90,80	-55,43	80,59	-118,84	41,65	219,22	317,22	-228,31

84. MSÚ - RÁMOVÝ ROH - MIN mx

Lineární výpočet, Extrém : Globální

Výběr : MOSTOVKA 1,MOSTOVKA 2,RÁMOVÝ ROH 2 mxD+0

Kombinace : CO43

Základní veličiny. V těžištích.

Řez	prvek	Stav	mx [kNm/m]	my [kNm/m]	mxy [kNm/m]	vx [kN/m]	vy [kN/m]	nx [kN/m]	ny [kN/m]	nxy [kN/m]
RÁMOVÝ ROH 2 mxD+	1432	CO43	-286,77	-197,34	-13,80	-171,55	-135,86	-145,13	1194,63	167,06

85. MSÚ - OPĚRA POD MOSTOVKOU - MIN mx

Lineární výpočet, Extrém : Globální

Výběr : OPĚRA O2,OPĚRA 2 POD MOSTOVKOU mxD+ vx nx+0

Kombinace : CO44

Základní veličiny. V těžištích.

Řez	prvek	Stav	mx [kNm/m]	my [kNm/m]	mxy [kNm/m]	vx [kN/m]	vy [kN/m]	nx [kN/m]	ny [kN/m]	nxy [kN/m]
OPĚRA 2 POD MOSTOVKOU mxD+ vx nx+	1049	CO44	-245,13	-265,67	-23,38	403,04	-158,21	1231,03	-153,98	101,33

86. MSÚ - OPĚRA POD MOSTOVKOU MAX nx

Lineární výpočet, Extrém : Globální

Výběr : OPĚRA O2,OPĚRA 2 POD MOSTOVKOU mxD+ vx nx+0

Kombinace : CO45

Základní veličiny. V těžištích.

Řez	prvek	Stav	mx [kNm/m]	my [kNm/m]	mxy [kNm/m]	vx [kN/m]	vy [kN/m]	nx [kN/m]	ny [kN/m]	nxy [kN/m]
OPĚRA 2 POD MOSTOVKOU mxD+ vx nx+	1049	CO45	-245,13	-265,67	-23,38	403,04	-158,21	1231,03	-153,98	101,33

87. MSÚ - OPĚRA POD MOSTOVKOU - MAX vx

Lineární výpočet, Extrém : Globální

Výběr : OPĚRA O2,OPĚRA 2 POD MOSTOVKOU mxD+ vx nx+0

Kombinace : CO46

Základní veličiny. V těžištích.

Řez	prvek	Stav	mx [kNm/m]	my [kNm/m]	mxy [kNm/m]	vx [kN/m]	vy [kN/m]	nx [kN/m]	ny [kN/m]	nxy [kN/m]
OPĚRA 2 POD MOSTOVKOU mxD+ vx nx+	1049	CO46	-172,81	-186,45	-31,14	423,53	-5,40	719,52	-130,05	144,01

88. MSÚ - OPĚRA POD MOSTOVKOU - MIN nx

Lineární výpočet, Extrém : Globální

Výběr : OPĚRA O1,OPĚRA 1 POD MOSTOVKOU nx-0

Kombinace : CO47

Základní veličiny. V těžištích.

Řez	prvek	Stav	mx [kNm/m]	my [kNm/m]	mxy [kNm/m]	vx [kN/m]	vy [kN/m]	nx [kN/m]	ny [kN/m]	nxy [kN/m]
OPĚRA 1 POD MOSTOVKOU nx-	713	CO47	-42,08	-188,00	6,75	32,30	106,85	-40,21	-295,87	-9,55

89. MSÚ - OPĚRA PATA - MIN mx

Lineární výpočet, Extrém : Globální
Výběr : OPĚRA O2,OPĚRA 2 PATA mxd+ vx nx+0
Kombinace : CO48
Základní veličiny. V těžištích.

Řez	prvek	Stav	mx [kNm/m]	my [kNm/m]	mxy [kNm/m]	vx [kN/m]	vy [kN/m]	nx [kN/m]	ny [kN/m]	nxy [kN/m]
OPĚRA 2 PATA mxd+ vx nx+	812	CO48	-79,15	-101,41	-37,15	-73,95	10,74	-76,23	-462,07	-154,81

90. MSÚ - OPĚRA PATA - MAX mx

Lineární výpočet, Extrém : Globální
Výběr : OPĚRA O1,OPĚRA 1 PATA mxd-0
Kombinace : CO49
Základní veličiny. V těžištích.

Řez	prvek	Stav	mx [kNm/m]	my [kNm/m]	mxy [kNm/m]	vx [kN/m]	vy [kN/m]	nx [kN/m]	ny [kN/m]	nxy [kN/m]
OPĚRA 1 PATA mxd-	466	CO49	34,41	158,55	-4,83	-3,61	80,60	-39,81	-264,14	-2,97

91. MSÚ - OPĚRA PATA - MAX nx

Lineární výpočet, Extrém : Globální
Výběr : OPĚRA O2,OPĚRA 2 PATA mxd+ vx nx+0
Kombinace : CO50
Základní veličiny. V těžištích.

Řez	prvek	Stav	mx [kNm/m]	my [kNm/m]	mxy [kNm/m]	vx [kN/m]	vy [kN/m]	nx [kN/m]	ny [kN/m]	nxy [kN/m]
OPĚRA 2 PATA mxd+ vx nx+	812	CO50	-7,09	39,76	-2,76	-29,80	-46,14	2,65	-154,97	-140,07

92. MSÚ - OPĚRA PATA - MAX vx

Lineární výpočet, Extrém : Globální
Výběr : OPĚRA O2,OPĚRA 2 PATA mxd+ vx nx+0
Kombinace : CO51
Základní veličiny. V těžištích.

Řez	prvek	Stav	mx [kNm/m]	my [kNm/m]	mxy [kNm/m]	vx [kN/m]	vy [kN/m]	nx [kN/m]	ny [kN/m]	nxy [kN/m]
OPĚRA 2 PATA mxd+ vx nx+	812	CO51	-68,58	-40,17	-22,33	-75,13	-11,25	-33,05	-309,09	-145,13

93. MSÚ - OPĚRA PATA - MIN nx

Lineární výpočet, Extrém : Globální
Výběr : OPĚRA O1,OPĚRA 1 PATA nx-0
Kombinace : CO52
Základní veličiny. V těžištích.

Řez	prvek	Stav	mx [kNm/m]	my [kNm/m]	mxy [kNm/m]	vx [kN/m]	vy [kN/m]	nx [kN/m]	ny [kN/m]	nxy [kN/m]
OPĚRA 1 PATA nx-	460	CO52	-15,53	-16,91	14,02	-9,32	15,34	-116,77	-344,10	-0,34

94. MSÚ - POPRSNÍ ZÍDKA - MAX my

Lineární výpočet, Extrém : Globální
Výběr : POPRS.ZEĎ 1,POPRSNÍ ZÍDKA myD-0
Kombinace : CO53
Základní veličiny. V těžištích.

Řez	prvek	Stav	mx [kNm/m]	my [kNm/m]	mxy [kNm/m]	vx [kN/m]	vy [kN/m]	nx [kN/m]	ny [kN/m]	nxy [kN/m]
POPRSNÍ ZÍDKA myD-	1747	CO53	-57,59	15,90	41,09	-82,06	-1,64	-548,51	-534,74	-387,06

95. MSÚ - POPRSNÍ ZÍDKA - MIN my

Lineární výpočet, Extrém : Globální
Výběr : POPRS.ZEĎ 1,POPRSNÍ ZÍDKA myD+ vy-0
Kombinace : CO54
Základní veličiny. V těžištích.

Řez	prvek	Stav	mx [kNm/m]	my [kNm/m]	mxy [kNm/m]	vx [kN/m]	vy [kN/m]	nx [kN/m]	ny [kN/m]	nxy [kN/m]
POPRSNÍ ZÍDKA myD+ vy-	1746	CO54	-211,52	-79,84	41,35	-520,07	-235,66	-1517,83	-391,33	-400,17

96. MSÚ - POPRSNÍ ZÍDKA - MIN ny

Lineární výpočet, Extrém : Globální
Výběr : POPRS.ZEĎ 2,POPRSNÍ ZÍDKA ny-0
Kombinace : CO55

Základní veličiny. V těžištích.

Řez	prvek	Stav	mx [kNm/m]	my [kNm/m]	mxy [kNm/m]	vx [kN/m]	vy [kN/m]	nx [kN/m]	ny [kN/m]	nxy [kN/m]
POPRSNÍ ZÍDKA ny-	1814	CO55	-263,11	-93,47	-24,71	-532,32	276,16	-2781,42	-662,50	409,87

97. MSÚ - POPRSNÍ ZÍDKA - MAX ny

Lineární výpočet, Extrém : Globální

Výběr : POPRS.ZEĎ 1,POPRSNÍ ZÍDKA ny+0

Kombinace : CO56

Základní veličiny. V těžištích.

Řez	prvek	Stav	mx [kNm/m]	my [kNm/m]	mxy [kNm/m]	vx [kN/m]	vy [kN/m]	nx [kN/m]	ny [kN/m]	nxy [kN/m]
POPRSNÍ ZÍDKA ny+	1775	CO56	-37,95	-2,47	-44,77	16,74	-2,90	-198,41	-47,18	404,23

98. MSÚ - POPRSNÍ ZÍDKA - MAX vy

Lineární výpočet, Extrém : Globální

Výběr : POPRS.ZEĎ 1,POPRSNÍ ZÍDKA vy0

Kombinace : CO57

Základní veličiny. V těžištích.

Řez	prvek	Stav	mx [kNm/m]	my [kNm/m]	mxy [kNm/m]	vx [kN/m]	vy [kN/m]	nx [kN/m]	ny [kN/m]	nxy [kN/m]
POPRSNÍ ZÍDKA vy	1786	CO57	-125,99	-24,98	23,79	-300,95	33,18	-2366,84	-48,95	-75,71

99. MSÚ - KŘÍDLO - MIN mx

Lineární výpočet, Extrém : Globální

Výběr : KŘÍDLO 3,KŘÍDLO MAX mxD+ vx0

Kombinace : CO58

Základní veličiny. V těžištích.

Řez	prvek	Stav	mx [kNm/m]	my [kNm/m]	mxy [kNm/m]	vx [kN/m]	vy [kN/m]	nx [kN/m]	ny [kN/m]	nxy [kN/m]
KŘÍDLO MAX mxD+ vx	2127	CO58	-320,28	-100,66	18,30	284,31	-23,72	-471,48	-1,49	-123,21

100. MSÚ - KŘÍDLO - MAX nx

Lineární výpočet, Extrém : Globální

Výběr : KŘÍDLO 4,KŘÍDLO MAX nx0

Kombinace : CO59

Základní veličiny. V těžištích.

Řez	prvek	Stav	mx [kNm/m]	my [kNm/m]	mxy [kNm/m]	vx [kN/m]	vy [kN/m]	nx [kN/m]	ny [kN/m]	nxy [kN/m]
KŘÍDLO MAX nx	2517	CO59	-302,16	-16,15	-0,65	100,79	79,30	747,26	129,52	-509,76

101. MSÚ - KŘÍDLO - MAX vx

Lineární výpočet, Extrém : Globální

Výběr : KŘÍDLO 3,KŘÍDLO MAX mxD+ vx0

Kombinace : CO60

Základní veličiny. V těžištích.

Řez	prvek	Stav	mx [kNm/m]	my [kNm/m]	mxy [kNm/m]	vx [kN/m]	vy [kN/m]	nx [kN/m]	ny [kN/m]	nxy [kN/m]
KŘÍDLO MAX mxD+ vx	2127	CO60	-320,28	-100,66	18,30	284,31	-23,72	-471,48	-1,49	-123,21

102. MSP - MOSTOVKA STŘED - MAX mx

Lineární výpočet, Extrém : Globální

Výběr : MOSTOVKA 1,MOSTOVKA 2,MOSTOVKA STŘED MAX mxD- mxD+ vx0

Kombinace : CO61

Základní veličiny. V těžištích.

Řez	prvek	Stav	mx [kNm/m]	my [kNm/m]	mxy [kNm/m]	vx [kN/m]	vy [kN/m]	nx [kN/m]	ny [kN/m]	nxy [kN/m]
MOSTOVKA STŘED MAX mxD- mxD+ vx	1098	CO61	74,30	38,54	0,15	-10,99	-4,18	-137,51	-12,76	5,83

103. MSP - MOSTOVKA STŘED MIN mx

Lineární výpočet, Extrém : Globální

Výběr : MOSTOVKA 1,MOSTOVKA 2,MOSTOVKA STŘED MAX mxD- mxD+ vx0

Kombinace : CO62

Základní veličiny. V těžištích.

Řez	prvek	Stav	mx [kNm/m]	my [kNm/m]	mxy [kNm/m]	vx [kN/m]	vy [kN/m]	nx [kN/m]	ny [kN/m]	nxy [kN/m]
MOSTOVKA STŘED MAX mxD- mxD+ vx	1098	CO62	-67,61	-13,76	1,17	-4,12	3,99	-25,12	-92,56	9,61

104. MSP - MOSTOVKA STŘED - MIN nx

Lineární výpočet, Extrém : Globální

Výběr : MOSTOVKA 1,MOSTOVKA 2,MOSTOVKA STŘED MIN nx0

Kombinace : CO63

Základní veličiny. V těžištích.

Řez	prvek	Stav	mx [kNm/m]	my [kNm/m]	mxy [kNm/m]	vx [kN/m]	vy [kN/m]	nx [kN/m]	ny [kN/m]	nxy [kN/m]
MOSTOVKA STŘED MIN nx	1096	CO63	-68,89	-15,71	1,17	-4,15	5,38	-70,00	-108,79	20,25

105. MSP - MOSTOVKA STŘED - MAX vx

Lineární výpočet, Extrém : Globální

Výběr : MOSTOVKA 1,MOSTOVKA 2,MOSTOVKA STŘED MAX mxD- mxD+ vx0

Kombinace : CO64

Základní veličiny. V těžištích.

Řez	prvek	Stav	mx [kNm/m]	my [kNm/m]	mxy [kNm/m]	vx [kN/m]	vy [kN/m]	nx [kN/m]	ny [kN/m]	nxy [kN/m]
MOSTOVKA STŘED MAX mxD- mxD+ vx	1098	CO64	19,12	13,54	-0,75	-43,75	-0,42	-88,68	-4,59	13,67

106. MSP - MOSTOVKA STŘED - MAX nx

Lineární výpočet, Extrém : Globální

Výběr : MOSTOVKA 1,MOSTOVKA 2,MOSTOVKA STŘED MAX nx0

Kombinace : CO65

Základní veličiny. V těžištích.

Řez	prvek	Stav	mx [kNm/m]	my [kNm/m]	mxy [kNm/m]	vx [kN/m]	vy [kN/m]	nx [kN/m]	ny [kN/m]	nxy [kN/m]
MOSTOVKA STŘED MAX nx	1089	CO65	28,53	14,23	1,18	-8,43	61,34	279,95	59,15	-0,90

107. MSP - MOSTOVKA ZAČÁTEK NÁBĚHU - MIN mx

Lineární výpočet, Extrém : Globální

Výběr : MOSTOVKA 1,MOSTOVKA 2,MOSTOVKA ZAČÁTEK NÁBĚHU MAX mxD+ vx nx+0

Kombinace : CO66

Základní veličiny. V těžištích.

Řez	prvek	Stav	mx [kNm/m]	my [kNm/m]	mxy [kNm/m]	vx [kN/m]	vy [kN/m]	nx [kN/m]	ny [kN/m]	nxy [kN/m]
MOSTOVKA ZAČÁTEK NÁBĚHU MAX mxD+ vx nx+	1437	CO66	-173,16	-104,10	25,65	-113,29	63,06	-156,11	295,87	-50,05

108. MSP - MOSTOVKA ZAČÁTEK NÁBĚHU - MAX vx

Lineární výpočet, Extrém : Globální

Výběr : MOSTOVKA 1,MOSTOVKA 2,MOSTOVKA ZAČÁTEK NÁBĚHU MAX mxD+ vx nx+0

Kombinace : CO67

Základní veličiny. V těžištích.

Řez	prvek	Stav	mx [kNm/m]	my [kNm/m]	mxy [kNm/m]	vx [kN/m]	vy [kN/m]	nx [kN/m]	ny [kN/m]	nxy [kN/m]
MOSTOVKA ZAČÁTEK NÁBĚHU MAX mxD+ vx nx+	1437	CO67	-113,85	-33,04	53,38	-165,53	2,83	-105,96	58,68	-44,47

109. MSP - MOSTOVKA ZAČÁTEK NÁBĚHU - MIN nx

Lineární výpočet, Extrém : Globální

Výběr : MOSTOVKA 1,MOSTOVKA 2,MOSTOVKA ZAČÁTEK NÁBĚHU nx-0

Kombinace : CO68

Základní veličiny. V těžištích.

Řez	prvek	Stav	mx [kNm/m]	my [kNm/m]	mxy [kNm/m]	vx [kN/m]	vy [kN/m]	nx [kN/m]	ny [kN/m]	nxy [kN/m]
MOSTOVKA ZAČÁTEK NÁBĚHU nx-	1350	CO68	-170,25	-70,25	-2,94	105,55	3,58	-318,68	100,57	-39,10

110. MSP - MOSTOVKA ZAČÁTEK NÁBĚHU - MAX nx

Lineární výpočet, Extrém : Globální

Výběr : MOSTOVKA 1,MOSTOVKA 2,MOSTOVKA ZAČÁTEK NÁBĚHU MAX mxD+ vx nx+0

Kombinace : CO69

Základní veličiny. V těžištích.

Řez	prvek	Stav	mx [kNm/m]	my [kNm/m]	mxy [kNm/m]	vx [kN/m]	vy [kN/m]	nx [kN/m]	ny [kN/m]	nxy [kN/m]
MOSTOVKA ZAČÁTEK NÁBĚHU MAX mxD+ vx nx+	1437	CO69	-76,36	-42,41	61,80	-96,72	27,77	151,03	231,27	-168,95

111. MSP - RÁMOVÝ ROH - MIN mx

Lineární výpočet, Extrém : Globální

Výběr : MOSTOVKA 1,MOSTOVKA 2,RÁMOVÝ ROH 2 mxD+0

Kombinace : CO70

Základní veličiny. V těžištích.

Řez	prvek	Stav	mx [kNm/m]	my [kNm/m]	mxy [kNm/m]	vx [kN/m]	vy [kN/m]	nx [kN/m]	ny [kN/m]	nxy [kN/m]
RÁMOVÝ ROH 2 mxD+	1432	CO70	-203,48	-136,91	-10,64	-125,11	-86,66	-104,51	819,12	120,56

112. MSP - OPĚRA POD MOSTOVKOU - MIN mx

Lineární výpočet, Extrém : Globální

Výběr : OPĚRA O2,OPĚRA 2 POD MOSTOVKOU mxD+ vx nx+0

Kombinace : CO71

Základní veličiny. V těžištích.

Řez	prvek	Stav	mx [kNm/m]	my [kNm/m]	mxy [kNm/m]	vx [kN/m]	vy [kN/m]	nx [kN/m]	ny [kN/m]	nxy [kN/m]
OPĚRA 2 POD MOSTOVKOU mxD+ vx nx+	1049	CO71	-169,91	-189,43	-16,96	282,11	-113,97	843,25	-116,43	76,57

113. MSP - OPĚRA POD MOSTOVKOU - MAX nx

Lineární výpočet, Extrém : Globální

Výběr : OPĚRA O2,OPĚRA 2 POD MOSTOVKOU mxD+ vx nx+0

Kombinace : CO72

Základní veličiny. V těžištích.

Řez	prvek	Stav	mx [kNm/m]	my [kNm/m]	mxy [kNm/m]	vx [kN/m]	vy [kN/m]	nx [kN/m]	ny [kN/m]	nxy [kN/m]
OPĚRA 2 POD MOSTOVKOU mxD+ vx nx+	1049	CO72	-169,91	-189,43	-16,96	282,11	-113,97	843,25	-116,43	76,57

114. MSP - OPĚRA POD MOSTOVKOU - MAX vx

Lineární výpočet, Extrém : Globální

Výběr : OPĚRA O2,OPĚRA 2 POD MOSTOVKOU mxD+ vx nx+0

Kombinace : CO73

Základní veličiny. V těžištích.

Řez	prvek	Stav	mx [kNm/m]	my [kNm/m]	mxy [kNm/m]	vx [kN/m]	vy [kN/m]	nx [kN/m]	ny [kN/m]	nxy [kN/m]
OPĚRA 2 POD MOSTOVKOU mxD+ vx nx+	1049	CO73	-130,23	-154,95	-24,49	316,24	-23,14	526,98	-124,89	117,83

115. MSP - OPĚRA POD MOSTOVKOU - MIN nx

Lineární výpočet, Extrém : Globální

Výběr : OPĚRA O1,OPĚRA 1 POD MOSTOVKOU nx-0

Kombinace : CO74

Základní veličiny. V těžištích.

Řez	prvek	Stav	mx [kNm/m]	my [kNm/m]	mxy [kNm/m]	vx [kN/m]	vy [kN/m]	nx [kN/m]	ny [kN/m]	nxy [kN/m]
OPĚRA 1 POD MOSTOVKOU nx-	713	CO74	-34,17	-151,71	5,31	26,35	87,92	-3,44	-232,07	-11,54

116. MSP - OPĚRA PATA - MIN mx

Lineární výpočet, Extrém : Globální

Výběr : OPĚRA 2 PATA mxd+ vx nx+0,OPĚRA O2

Kombinace : CO75

Základní veličiny. V těžištích.

Řez	prvek	Stav	mx [kNm/m]	my [kNm/m]	mxy [kNm/m]	vx [kN/m]	vy [kN/m]	nx [kN/m]	ny [kN/m]	nxy [kN/m]
OPĚRA 2 PATA mxd+ vx nx+	812	CO75	-54,68	-70,63	-25,96	-50,98	7,12	-54,32	-333,69	-110,36

117. MSP - OPĚRA PATA - MAX mx

Lineární výpočet, Extrém : Globální
Výběr : OPĚRA O1,OPĚRA 1 PATA mxd-0
Kombinace : CO76
Základní veličiny. V těžištích.

Řez	prvek	Stav	mx [kNm/m]	my [kNm/m]	mxy [kNm/m]	vx [kN/m]	vy [kN/m]	nx [kN/m]	ny [kN/m]	nxy [kN/m]
OPĚRA 1 PATA mxd-	466	CO76	22,87	108,56	-3,43	-2,36	54,50	-30,03	-194,48	-1,19

118. MSP - OPĚRA PATA - MAX nx

Lineární výpočet, Extrém : Globální
Výběr : OPĚRA O2,OPĚRA 2 PATA mxd+ vx nx+0
Kombinace : CO77
Základní veličiny. V těžištích.

Řez	prvek	Stav	mx [kNm/m]	my [kNm/m]	mxy [kNm/m]	vx [kN/m]	vy [kN/m]	nx [kN/m]	ny [kN/m]	nxy [kN/m]
OPĚRA 2 PATA mxd+ vx nx+	812	CO77	-7,33	30,01	-2,00	-23,78	-34,70	1,11	-138,47	-107,73

119. MSP - OPĚRA PATA - MAX vx

Lineární výpočet, Extrém : Globální
Výběr : OPĚRA O2,OPĚRA 2 PATA mxd+ vx nx+0
Kombinace : CO78
Základní veličiny. V těžištích.

Řez	prvek	Stav	mx [kNm/m]	my [kNm/m]	mxy [kNm/m]	vx [kN/m]	vy [kN/m]	nx [kN/m]	ny [kN/m]	nxy [kN/m]
OPĚRA 2 PATA mxd+ vx nx+	812	CO78	-46,85	-25,27	-14,98	-51,85	-9,17	-22,33	-220,37	-103,19

120. MSP - OPĚRA PATA MIN nx

Lineární výpočet, Extrém : Globální
Výběr : OPĚRA O1,OPĚRA 1 PATA nx-0
Kombinace : CO79
Základní veličiny. V těžištích.

Řez	prvek	Stav	mx [kNm/m]	my [kNm/m]	mxy [kNm/m]	vx [kN/m]	vy [kN/m]	nx [kN/m]	ny [kN/m]	nxy [kN/m]
OPĚRA 1 PATA nx-	460	CO79	-13,41	-16,80	10,41	-7,11	11,14	-93,83	-285,27	-1,37

121. MSP - POPRSNÍ ZÍDKA - MAX my

Lineární výpočet, Extrém : Globální
Výběr : POPRS.ZEĎ 1,POPRSNÍ ZÍDKA myD-0
Kombinace : CO80
Základní veličiny. V těžištích.

Řez	prvek	Stav	mx [kNm/m]	my [kNm/m]	mxy [kNm/m]	vx [kN/m]	vy [kN/m]	nx [kN/m]	ny [kN/m]	nxy [kN/m]
POPRSNÍ ZÍDKA myD-	1747	CO80	-50,66	11,86	32,86	-69,84	-3,41	-477,79	-450,40	-299,00

122. MSP - POPRSNÍ ZÍDKA - MIN my

Lineární výpočet, Extrém : Globální
Výběr : POPRS.ZEĎ 1,POPRSNÍ ZÍDKA myD+ vy-0
Kombinace : CO81
Základní veličiny. V těžištích.

Řez	prvek	Stav	mx [kNm/m]	my [kNm/m]	mxy [kNm/m]	vx [kN/m]	vy [kN/m]	nx [kN/m]	ny [kN/m]	nxy [kN/m]
POPRSNÍ ZÍDKA myD+ vy-	1746	CO81	-152,38	-55,10	30,60	-384,55	-169,00	-1228,94	-344,03	-338,96

123. MSP - POPRSNÍ ZÍDKA - MIN ny

Lineární výpočet, Extrém : Globální
Výběr : POPRS.ZEĎ 2,POPRSNÍ ZÍDKA ny-0
Kombinace : CO82
Základní veličiny. V těžištích.

Řez	prvek	Stav	mx [kNm/m]	my [kNm/m]	mxy [kNm/m]	vx [kN/m]	vy [kN/m]	nx [kN/m]	ny [kN/m]	nxy [kN/m]
POPRSNÍ ZÍDKA ny-	1814	CO82	-180,76	-62,96	-17,41	-370,59	189,17	-1969,84	-486,88	307,24

124. MSP - POPRSNÍ ZÍDKA - MAX ny

Lineární výpočet, Extrém : Globální
Výběr : POPRS.ZEĎ 1,POPRSNÍ ZÍDKA ny+0
Kombinace : CO83

Základní veličiny. V těžištích.

Řez	prvek	Stav	mx [kNm/m]	my [kNm/m]	mxy [kNm/m]	vx [kN/m]	vy [kN/m]	nx [kN/m]	ny [kN/m]	nxy [kN/m]
POPRSNÍ ZÍDKA ny+	1775	CO83	-31,37	-2,01	-35,60	14,51	-1,96	-154,72	-38,03	314,53

125. MSP - POPRSNÍ ZÍDKA - MAX vy

Lineární výpočet, Extrém : Globální

Výběr : POPRS.ZEĎ 1,POPRSNÍ ZÍDKA vy0

Kombinace : CO84

Základní veličiny. V těžištích.

Řez	prvek	Stav	mx [kNm/m]	my [kNm/m]	mxy [kNm/m]	vx [kN/m]	vy [kN/m]	nx [kN/m]	ny [kN/m]	nxy [kN/m]
POPRSNÍ ZÍDKA vy	1786	CO84	-86,71	-17,02	17,14	-209,59	22,72	-1685,43	-36,67	-69,87

126. MSP - KŘÍDLO - MIN mx

Lineární výpočet, Extrém : Globální

Výběr : KŘÍDLO 3,KŘÍDLO MAX mxD+ vx0

Kombinace : CO85

Základní veličiny. V těžištích.

Řez	prvek	Stav	mx [kNm/m]	my [kNm/m]	mxy [kNm/m]	vx [kN/m]	vy [kN/m]	nx [kN/m]	ny [kN/m]	nxy [kN/m]
KŘÍDLO MAX mxD+ vx	2127	CO85	-220,53	-68,79	12,41	195,62	-16,61	-325,38	0,08	-85,82

127. MSP - KŘÍDLO - MAX nx

Lineární výpočet, Extrém : Globální

Výběr : KŘÍDLO 4,KŘÍDLO MAX nx0

Kombinace : CO86

Základní veličiny. V těžištích.

Řez	prvek	Stav	mx [kNm/m]	my [kNm/m]	mxy [kNm/m]	vx [kN/m]	vy [kN/m]	nx [kN/m]	ny [kN/m]	nxy [kN/m]
KŘÍDLO MAX nx	2517	CO86	-207,79	-10,79	-0,72	69,45	54,28	533,37	94,08	-359,98

128. MSP - KŘÍDLO - MAX vx

Lineární výpočet, Extrém : Globální

Výběr : KŘÍDLO 3,KŘÍDLO MAX mxD+ vx0

Kombinace : CO87

Základní veličiny. V těžištích.

Řez	prvek	Stav	mx [kNm/m]	my [kNm/m]	mxy [kNm/m]	vx [kN/m]	vy [kN/m]	nx [kN/m]	ny [kN/m]	nxy [kN/m]
KŘÍDLO MAX mxD+ vx	2127	CO87	-220,53	-68,79	12,41	195,62	-16,61	-325,38	0,08	-85,82

129. KVAZISTÁLÁ - MOSTOVKA STŘED - MIN mx, MAX mx, MAX vx

Lineární výpočet, Extrém : Globální

Výběr : MOSTOVKA 1,MOSTOVKA 2,MOSTOVKA STŘED MAX mxD- mxD+ vx0

Kombinace : CO88

Základní veličiny. V těžištích.

Řez	prvek	Stav	mx [kNm/m]	my [kNm/m]	mxy [kNm/m]	vx [kN/m]	vy [kN/m]	nx [kN/m]	ny [kN/m]	nxy [kN/m]
MOSTOVKA STŘED MAX mxD- mxD+ vx	1098	CO88	-13,89	-0,09	0,02	-0,44	2,01	-34,69	-6,86	0,94

130. KVAZISTÁLÁ - MOSTOVKA STŘED - MAX nx

Lineární výpočet, Extrém : Globální

Výběr : MOSTOVKA 1,MOSTOVKA 2,MOSTOVKA STŘED MAX nx0

Kombinace : CO88

Základní veličiny. V těžištích.

Řez	prvek	Stav	mx [kNm/m]	my [kNm/m]	mxy [kNm/m]	vx [kN/m]	vy [kN/m]	nx [kN/m]	ny [kN/m]	nxy [kN/m]
MOSTOVKA STŘED MAX nx	1089	CO88	-23,40	-3,50	0,05	-0,47	7,38	-65,19	-12,27	1,91

131. KVAZISTÁLÁ - MOSTOVKA STŘED - MIN nx

Lineární výpočet, Extrém : Globální

Výběr : MOSTOVKA 1,MOSTOVKA 2,MOSTOVKA STŘED MIN nx0

Kombinace : CO88

Základní veličiny. V těžištích.

Řez	prvek	Stav	mx [kNm/m]	my [kNm/m]	mxy [kNm/m]	vx [kN/m]	vy [kN/m]	nx [kN/m]	ny [kN/m]	nxy [kN/m]
MOSTOVKA STŘED MIN nx	1096	CO88	-15,47	-0,24	0,02	-0,46	3,17	-36,32	-11,24	1,66

132. KVAZISTÁLÁ - MOSTOVKA ZAČÁTEK NÁBĚHU - MIN mx, MAX vx, MAX nx

Lineární výpočet, Extrém : Globální

Výběr : MOSTOVKA 1,MOSTOVKA 2,MOSTOVKA ZAČÁTEK NÁBĚHU MAX mxD+ vx nx+0

Kombinace : CO88

Základní veličiny. V těžištích.

Řez	prvek	Stav	mx [kNm/m]	my [kNm/m]	mxy [kNm/m]	vx [kN/m]	vy [kN/m]	nx [kN/m]	ny [kN/m]	nxy [kN/m]
MOSTOVKA ZAČÁTEK NÁBĚHU MAX mxD+ vx nx+	1437	CO88	-83,29	-33,74	26,33	-71,01	4,18	-32,56	96,19	-64,04

133. KVAZISTÁLÁ - MOSTOVKA ZAČÁTEK NÁBĚHU - MIN nx

Lineární výpočet, Extrém : Globální

Výběr : MOSTOVKA 1,MOSTOVKA 2,MOSTOVKA ZAČÁTEK NÁBĚHU nx-0

Kombinace : CO88

Základní veličiny. V těžištích.

Řez	prvek	Stav	mx [kNm/m]	my [kNm/m]	mxy [kNm/m]	vx [kN/m]	vy [kN/m]	nx [kN/m]	ny [kN/m]	nxy [kN/m]
MOSTOVKA ZAČÁTEK NÁBĚHU nx-	1350	CO88	-79,26	-30,46	-24,82	67,46	0,67	-33,51	88,47	58,89

134. KVAZISTÁLÁ - RÁMOVÝ ROH - MIN mx

Lineární výpočet, Extrém : Globální

Výběr : MOSTOVKA 1,MOSTOVKA 2,RÁMOVÝ ROH 2 mxD+0

Kombinace : CO88

Základní veličiny. V těžištích.

Řez	prvek	Stav	mx [kNm/m]	my [kNm/m]	mxy [kNm/m]	vx [kN/m]	vy [kN/m]	nx [kN/m]	ny [kN/m]	nxy [kN/m]
RÁMOVÝ ROH 2 mxD+	1432	CO88	-99,47	-43,58	-14,19	-87,34	36,92	-39,83	201,78	85,19

135. KVAZISTÁLÁ - OPĚRA POD MOSTOVKOU - MIN mx, MAX vx, MAX nx

Lineární výpočet, Extrém : Globální

Výběr : OPĚRA 02,OPĚRA 2 POD MOSTOVKOU mxD+ vx nx+0

Kombinace : CO88

Základní veličiny. V těžištích.

Řez	prvek	Stav	mx [kNm/m]	my [kNm/m]	mxy [kNm/m]	vx [kN/m]	vy [kN/m]	nx [kN/m]	ny [kN/m]	nxy [kN/m]
OPĚRA 2 POD MOSTOVKOU mxD+ vx nx+	1049	CO88	-56,73	-102,71	-11,70	126,06	-60,07	197,71	-107,43	76,75

136. KVAZISTÁLÁ - OPĚRA POD MOSTOVKOU - MIN nx

Lineární výpočet, Extrém : Globální

Výběr : OPĚRA 01,OPĚRA 1 POD MOSTOVKOU nx-0

Kombinace : CO88

Základní veličiny. V těžištích.

Řez	prvek	Stav	mx [kNm/m]	my [kNm/m]	mxy [kNm/m]	vx [kN/m]	vy [kN/m]	nx [kN/m]	ny [kN/m]	nxy [kN/m]
OPĚRA 1 POD MOSTOVKOU nx-	713	CO88	-25,25	-100,99	3,45	25,92	56,43	144,96	-95,57	-37,86

137. KVAZISTÁLÁ - OPĚRA PATA - MIN mx, MAX vx, MAX nx

Lineární výpočet, Extrém : Globální

Výběr : OPĚRA 02,OPĚRA 2 PATA mxD+ vx nx+0

Kombinace : CO88

Základní veličiny. V těžištích.

Řez	prvek	Stav	mx [kNm/m]	my [kNm/m]	mxy [kNm/m]	vx [kN/m]	vy [kN/m]	nx [kN/m]	ny [kN/m]	nxy [kN/m]
OPĚRA 2 PATA mxD+ vx nx+	812	CO88	-15,21	-7,62	-6,44	-17,21	-8,53	-18,99	-199,79	-67,91

138. KVAZISTÁLÁ - OPĚRA PATA - MAX mx

Lineární výpočet, Extrém : Globální

Výběr : OPĚRA 01,OPĚRA 1 PATA mxD-0

Kombinace : CO88

Základní veličiny. V těžištích.

Řez	prvek	Stav	mx [kNm/m]	my [kNm/m]	mxy [kNm/m]	vx [kN/m]	vy [kN/m]	nx [kN/m]	ny [kN/m]	nxy [kN/m]
OPĚRA 1 PATA mx-d-	466	CO88	-5,86	1,70	-0,25	-0,05	3,44	-43,38	-190,12	16,53

139. KVAZISTÁLÁ - OPĚRA PATA - MIN nx

Lineární výpočet, Extrém : Globální
Výběr : OPĚRA O1,OPĚRA 1 PATA nx-0
Kombinace : CO88
Základní veličiny. V těžištích.

Řez	prvek	Stav	mx [kNm/m]	my [kNm/m]	mxy [kNm/m]	vx [kN/m]	vy [kN/m]	nx [kN/m]	ny [kN/m]	nxy [kN/m]
OPĚRA 1 PATA nx-	460	CO88	-5,82	2,60	0,90	-1,17	3,07	-44,58	-191,33	-7,79

140. KVAZISTÁLÁ - POPRSNÍ ZÍDKA - MAX my

Lineární výpočet, Extrém : Globální
Výběr : POPRS.ZEĎ 1,POPRSNÍ ZÍDKA myD-0
Kombinace : CO88
Základní veličiny. V těžištích.

Řez	prvek	Stav	mx [kNm/m]	my [kNm/m]	mxy [kNm/m]	vx [kN/m]	vy [kN/m]	nx [kN/m]	ny [kN/m]	nxy [kN/m]
POPRSNÍ ZÍDKA myD-	1747	CO88	-51,55	0,22	17,34	-59,98	-13,49	-486,52	-336,35	-84,34

141. KVAZISTÁLÁ - POPRSNÍ ZÍDKA - MIN my

Lineární výpočet, Extrém : Globální
Výběr : POPRS.ZEĎ 1,POPRSNÍ ZÍDKA myD+ vy-0
Kombinace : CO88
Základní veličiny. V těžištích.

Řez	prvek	Stav	mx [kNm/m]	my [kNm/m]	mxy [kNm/m]	vx [kN/m]	vy [kN/m]	nx [kN/m]	ny [kN/m]	nxy [kN/m]
POPRSNÍ ZÍDKA myD+ vy-	1746	CO88	-52,26	-7,02	10,19	-158,70	-49,38	-1078,91	-399,13	-307,60

142. KVAZISTÁLÁ - POPRSNÍ ZÍDKA - MIN ny

Lineární výpočet, Extrém : Globální
Výběr : POPRS.ZEĎ 2,POPRSNÍ ZÍDKA ny-0
Kombinace : CO88
Základní veličiny. V těžištích.

Řez	prvek	Stav	mx [kNm/m]	my [kNm/m]	mxy [kNm/m]	vx [kN/m]	vy [kN/m]	nx [kN/m]	ny [kN/m]	nxy [kN/m]
POPRSNÍ ZÍDKA ny-	1814	CO88	-50,40	-6,64	-10,50	-155,37	47,73	-1047,86	-400,61	311,98

143. KVAZISTÁLÁ - POPRSNÍ ZÍDKA - MAX ny

Lineární výpočet, Extrém : Globální
Výběr : POPRS.ZEĎ 1,POPRSNÍ ZÍDKA ny+0
Kombinace : CO88
Základní veličiny. V těžištích.

Řez	prvek	Stav	mx [kNm/m]	my [kNm/m]	mxy [kNm/m]	vx [kN/m]	vy [kN/m]	nx [kN/m]	ny [kN/m]	nxy [kN/m]
POPRSNÍ ZÍDKA ny+	1775	CO88	-24,41	-2,32	-15,72	18,07	0,82	-81,82	-14,81	71,75

144. KVAZISTÁLÁ - POPRSNÍ ZÍDKA - MAX vy

Lineární výpočet, Extrém : Globální
Výběr : POPRS.ZEĎ 1,POPRSNÍ ZÍDKA vy0
Kombinace : CO88
Základní veličiny. V těžištích.

Řez	prvek	Stav	mx [kNm/m]	my [kNm/m]	mxy [kNm/m]	vx [kN/m]	vy [kN/m]	nx [kN/m]	ny [kN/m]	nxy [kN/m]
POPRSNÍ ZÍDKA vy	1786	CO88	-25,02	-4,48	12,16	-83,72	6,89	-1011,98	-24,36	-162,47

145. KVAZISTÁLÁ - KŘÍDLO - MIN mx, MAX vx

Lineární výpočet, Extrém : Globální
Výběr : KŘÍDLO 3,KŘÍDLO MAX mxD+ vx0
Kombinace : CO88
Základní veličiny. V těžištích.

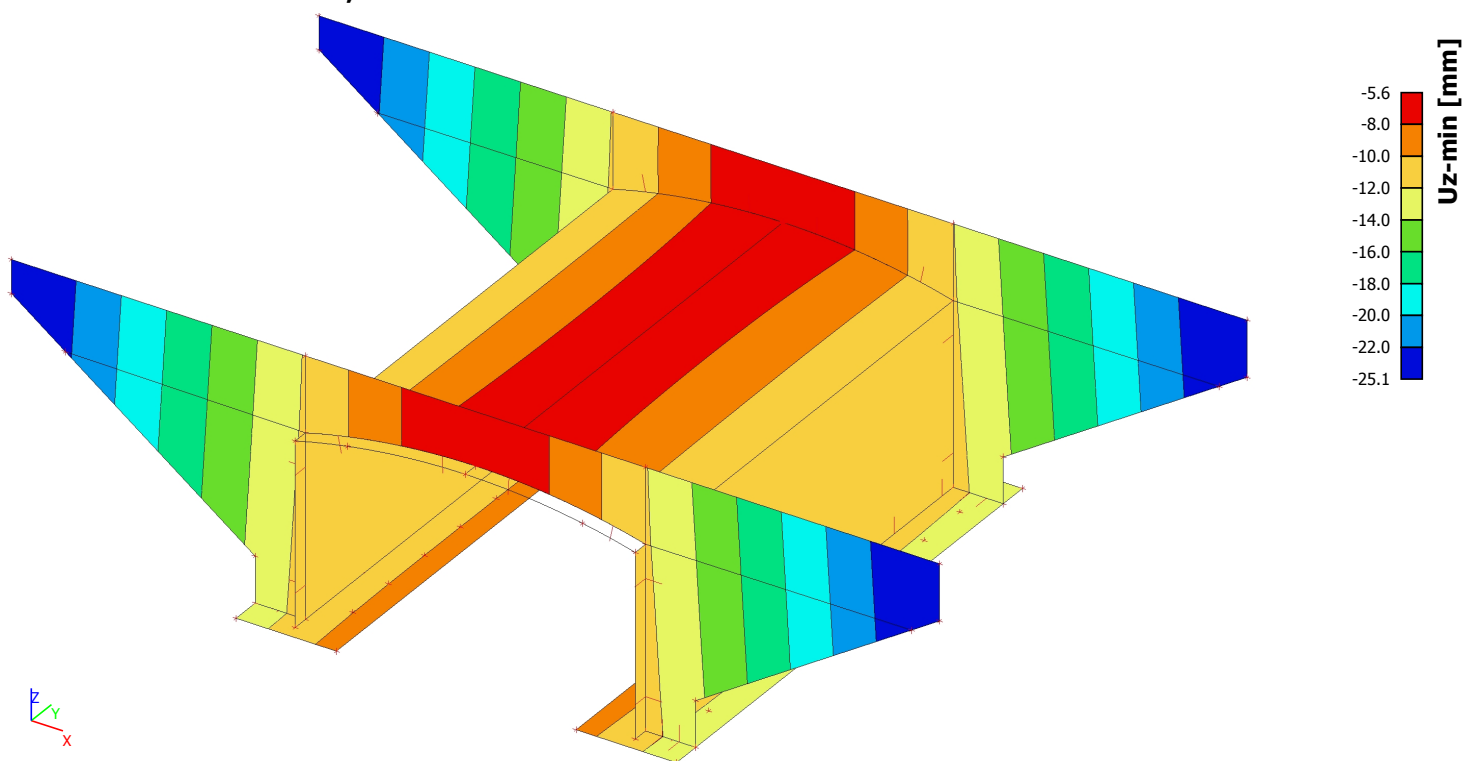
Řez	prvek	Stav	mx [kNm/m]	my [kNm/m]	mxy [kNm/m]	vx [kN/m]	vy [kN/m]	nx [kN/m]	ny [kN/m]	nxy [kN/m]
KŘÍDLO MAX mxD+ vx	2127	C088	-68,31	-16,74	1,87	59,21	-6,81	-181,81	-8,66	-11,98

146. KVAZISTÁLÁ - KŘÍDLO - MAX nx

Lineární výpočet, Extrém : Globální
Výběr : KŘÍDLO 4,KŘÍDLO MAX nx0
Kombinace : C088
Základní veličiny. V těžištích.

Řez	prvek	Stav	mx [kNm/m]	my [kNm/m]	mxy [kNm/m]	vx [kN/m]	vy [kN/m]	nx [kN/m]	ny [kN/m]	nxy [kN/m]
KŘÍDLO MAX nx	2517	C088	-63,58	-0,11	-3,20	21,60	14,74	271,80	85,26	-156,37

147. Přemístění uzlů; Uz od MSP



III/33312 ŘÍČANY, MOST EV.Č. 33312-3

SO 201 - MOST EV.Č. 33312-3 PŘES ŘÍČANSKÝ POTOK

STATICKÝ VÝPOČET

3.4 . NÁVRH BETONÁŘSKÉ VÝZTUŽE A JEJÍ POSOUZENÍ

Obsah

1 Data projektu
2 Stručné shrnutí výsledků posouzení řezů
3 Posouzení řezů
3.1 Řez MOSTOVKA ZAČÁTEK NÁBĚHU
3.2 Řez MOSTOVKA STŘED
3.3 Řez RÁMOVÝ ROH
3.4 Řez OPĚRA POD MOSTOVKOU
3.5 Řez OPĚRA PATA
3.6 Řez POPRSNÍ ZÍDKA
3.7 Řez KŘÍDLO

1 Data projektu

Jméno projektu	III/33312 ŘÍČANY, MOST EV.Č. 33312-3
Projekt číslo	2017592
Popis	SO 201 - MOST EV.Č. 33312-3 PŘES ŘÍČANSKÝ POTOK
Autor	Ing. Orsolya KUSTYÁNOVÁ
Datum vytvoření protokolu	25.4.2018

Národní norma

Národní norma	EN 1992-1-1, 2004
Národní příloha	Česká, červenec 2011
Návrhová životnost	100 let

2 Stručné shrnutí výsledků posouzení řezů

Dimenzační dílec	Počet řezů	Název extrémního řezu	Využití [%]	Status posudku
MOSTOVKA ZAČÁTEK NÁBĚHU (Deskostěna)	1	MOSTOVKA ZAČÁTEK NÁBĚHU	100,0	✓
MOSTOVKA STŘED (Deskostěna)	1	MOSTOVKA STŘED	72,7	✓
RÁMOVÝ ROH (Nosníková deska)	1	RÁMOVÝ ROH	67,7	✓
OPĚRA POD MOSTOVKOU (Deskostěna)	1	OPĚRA POD MOSTOVKOU	100,0	✓
OPĚRA PATA (Deskostěna)	1	OPĚRA PATA	49,0	✓
POPRSNÍ ZÍDKA (Deskostěna)	1	POPRSNÍ ZÍDKA	100,0	✓
KŘÍDLO (Deskostěna)	1	KŘÍDLO	100,0	✓

Název řezu	Dimenzační dílec	Vyztužený průřez	Využití [%]	Status posudku
MOSTOVKA ZAČÁTEK NÁBĚHU	MOSTOVKA ZAČÁTEK NÁBĚHU (Deskostěna)	MOSTOVKA ZAČÁTEK NÁBĚHU	100,0	✓
MOSTOVKA STŘED	MOSTOVKA STŘED (Deskostěna)	MOSTOVKA STŘED	72,7	✓
RÁMOVÝ ROH	RÁMOVÝ ROH (Nosníková deska)	RÁMOVÝ ROH	67,7	✓
OPĚRA POD MOSTOVKOU	OPĚRA POD MOSTOVKOU (Deskostěna)	OPĚRA POD MOSTOVKOU	100,0	✓
OPĚRA PATA	OPĚRA PATA (Deskostěna)	OPĚRA PATA	49,0	✓
POPRSNÍ ZÍDKA	POPRSNÍ ZÍDKA (Deskostěna)	POPRSNÍ ZÍDKA	100,0	✓
KŘÍDLO	KŘÍDLO (Deskostěna)	KŘÍDLO	100,0	✓

3 Posouzení řezů

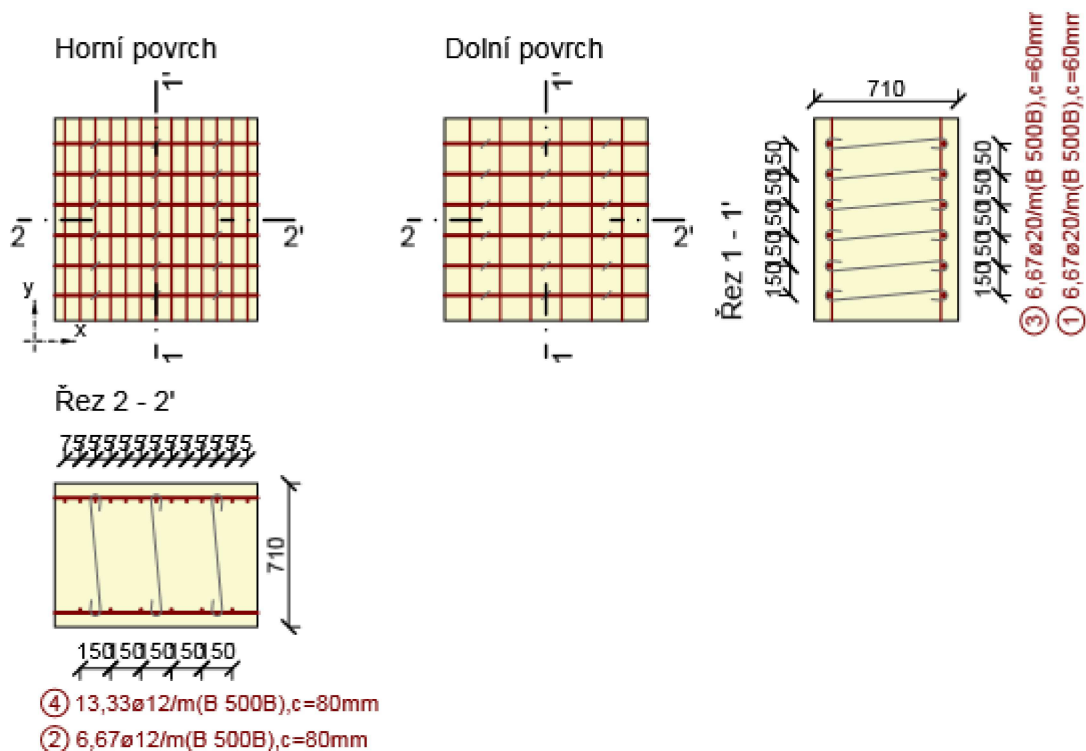
3.1 Řez MOSTOVKA ZAČÁTEK NÁBĚHU

3.1.1 Stručné shrnutí výsledků extrémů v řezu

Název extrému	Čas [d]	Využití [%]	Status posudku
MIN mx	28,0	100,0	✓
MAX vx	28,0	66,4	✓
MIN nx	28,0	64,7	✓
MAX nx	28,0	100,0	✓

3.1.2 Kritický extrém MIN mx

Dimenzační dílec	MOSTOVKA ZAČÁTEK NÁBĚHU
Vyztužený průřez	MOSTOVKA ZAČÁTEK NÁBĚHU



3.1.2.1 Souhrn

Rozhodující typ posudku	N_{Ed} [kN]	$M_{Ed,y}$ [kNm]	$M_{Ed,z}$ [kNm]	V_{Ed} [kN]	T_{Ed} [kNm]	Hodnota [%]	Posudek
Interakce	545,2	-160,7	0,0	183,3	0,0	100,0	OK
Typ posudku	N_{Ed} [kN]	$M_{Ed,y}$ [kNm]	$M_{Ed,z}$ [kNm]	V_{Ed} [kN]	T_{Ed} [kNm]	Hodnota [%]	Posudek
Únosnost N-M-M	545,2	-160,7	0,0			81,5	OK
Smyk	-131,0			183,3	0,0	30,0	OK
Interakce	545,2	-160,7	0,0	183,3	0,0	100,0	OK
Omezení napětí	-13,0	-193,4	0,0			12,1	OK
Šířka trhliny	70,9	-106,6	0,0			0,0	OK

Mezní hodnota využití průřezu: 100,0 %

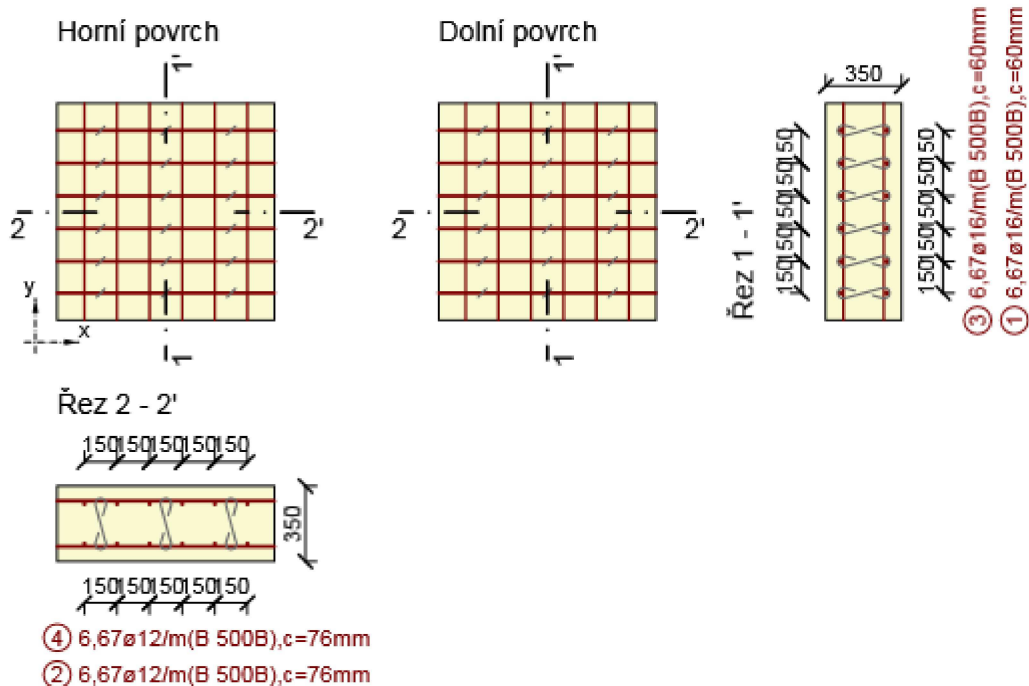
3.2 Řez MOSTOVKA STŘED

3.2.1 Stručné shrnutí výsledků extrémů v řezu

Název extrému	Čas [d]	Využití [%]	Status posudku
MAX mx	28,0	66,2	✓
MIN mx	28,0	65,5	✓
MIN nx	28,0	62,9	✓
MAX vx	28,0	36,0	✓
MAX nx	28,0	72,7	✓

3.2.2 Kritický extrém MAX nx

Dimenzační dílec	MOSTOVKA STŘED
Vyztužený průřez	MOSTOVKA STŘED



3.2.2.1 Souhrn

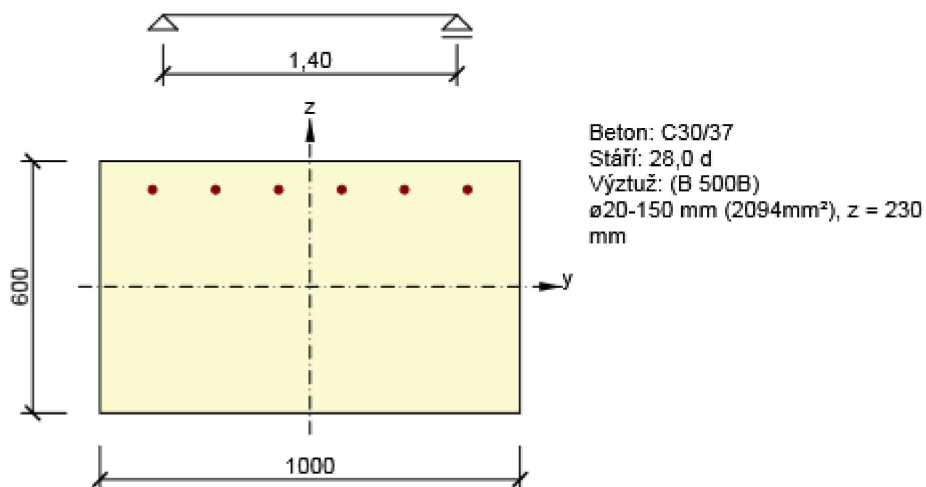
Rozhodující typ posudku	N_{Ed} [kN]	$M_{Ed,y}$ [kNm]	$M_{Ed,z}$ [kNm]	V_{Ed} [kN]	T_{Ed} [kNm]	Hodnota [%]	Posudek
Interakce	408,3	34,6	0,0	82,3	0,0	72,7	OK
Typ posudku	N_{Ed} [kN]	$M_{Ed,y}$ [kNm]	$M_{Ed,z}$ [kNm]	V_{Ed} [kN]	T_{Ed} [kNm]	Hodnota [%]	Posudek
Únosnost N-M-M	408,3	34,6	0,0			53,1	OK
Smyk	94,1			82,3	0,0	33,9	OK
Interakce	408,3	34,6	0,0	82,3	0,0	72,7	OK
Omezení napětí	-74,2	-28,6	0,0			11,4	OK
Šířka trhliny	-74,2	-28,6	0,0			0,0	OK

Mezní hodnota využití průřezu: 100,0 %

3.3 Řez RÁMOVÝ ROH

3.3.1 Kritický extrém MAX mx

Dimenzační dílec	RÁMOVÝ ROH
Vyztužený průřez	RÁMOVÝ ROH



3.3.1.1 Souhrn

Rozhodující typ posudku	N_{Ed} [kN]	$M_{Ed,y}$ [kNm]	$M_{Ed,z}$ [kNm]	V_{Ed} [kN]	T_{Ed} [kNm]	Hodnota [%]	Posudek
Smyk	-145,1			171,6	0,0	67,7	OK
Typ posudku	N_{Ed} [kN]	$M_{Ed,y}$ [kNm]	$M_{Ed,z}$ [kNm]	V_{Ed} [kN]	T_{Ed} [kNm]	Hodnota [%]	Posudek
Únosnost N-M-M	-145,1	-286,8	0,0			54,4	OK
Smyk	-145,1			171,6	0,0	67,7	OK
Interakce	-145,1	-286,8	0,0	171,6	0,0	67,7	OK
Omezení napětí	-104,5	-203,5	0,0			44,1	OK
Šířka trhliny	-39,8	-99,5	0,0			0,0	OK
Ohybová štíhlost	-39,8	-99,5	0,0			1,2	OK

Mezní hodnota využití průřezu: 100,0 %

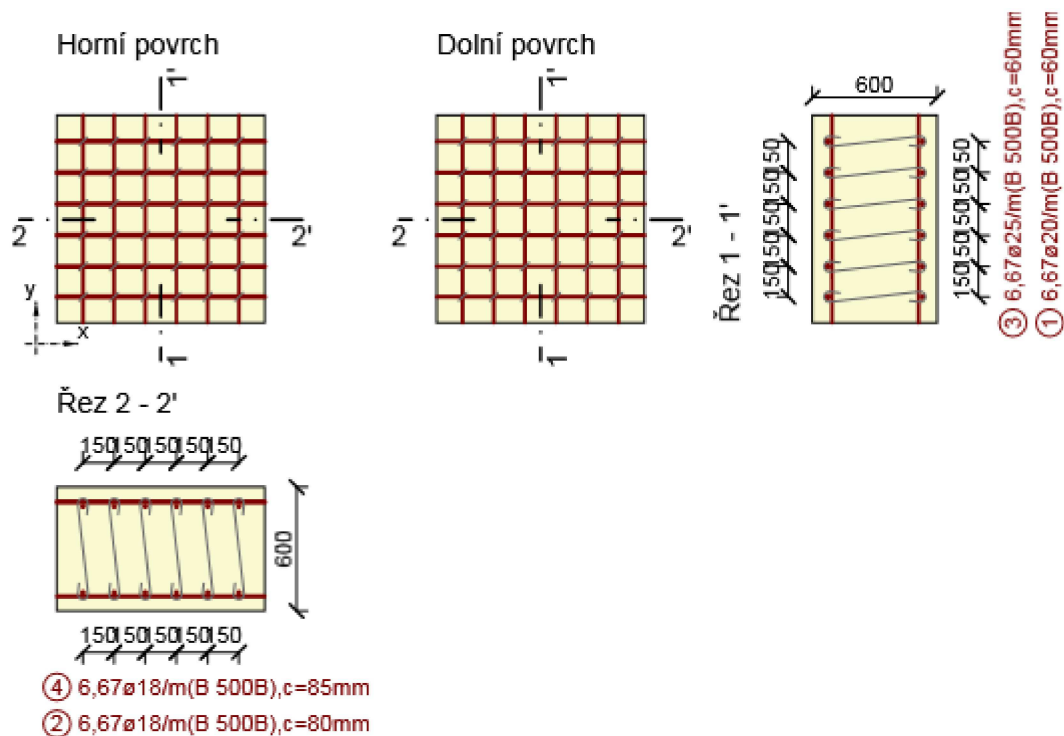
3.4 Řez OPĚRA POD MOSTOVKOU

3.4.1 Stručné shrnutí výsledků extrémů v řezu

Název extrému	Čas [d]	Využití [%]	Status posudku
MIN mx	28,0	100,0	✓
MAX nx	28,0	100,0	✓
MAX vx	28,0	100,0	✓
MIN nx	28,0	50,9	✓

3.4.2 Kritický extrém MIN mx

Dimenzační dílec	OPĚRA POD MOSTOVKOU
Vyztužený průřez	OPĚRA POD MOSTOVKOU



3.4.2.1 Souhrn

Rozhodující typ posudku	N_{Ed} [kN]	$M_{Ed,y}$ [kNm]	$M_{Ed,z}$ [kNm]	V_{Ed} [kN]	T_{Ed} [kNm]	Hodnota [%]	Posudek
Interakce	1332,4	-255,9	0,0	433,0	0,0	100,0	OK
Typ posudku	N_{Ed} [kN]	$M_{Ed,y}$ [kNm]	$M_{Ed,z}$ [kNm]	V_{Ed} [kN]	T_{Ed} [kNm]	Hodnota [%]	Posudek
Únosnost N-M-M	1332,4	-255,9	0,0			81,9	OK
Smyk	-202,7			433,0	0,0	48,5	OK
Interakce	1332,4	-255,9	0,0	433,0	0,0	100,0	OK
Omezení napětí	730,7	-189,1	0,0			93,5	OK
Šířka trhliny	6,8	-112,1	0,0			0,0	OK

Mezní hodnota využití průřezu: 100,0 %

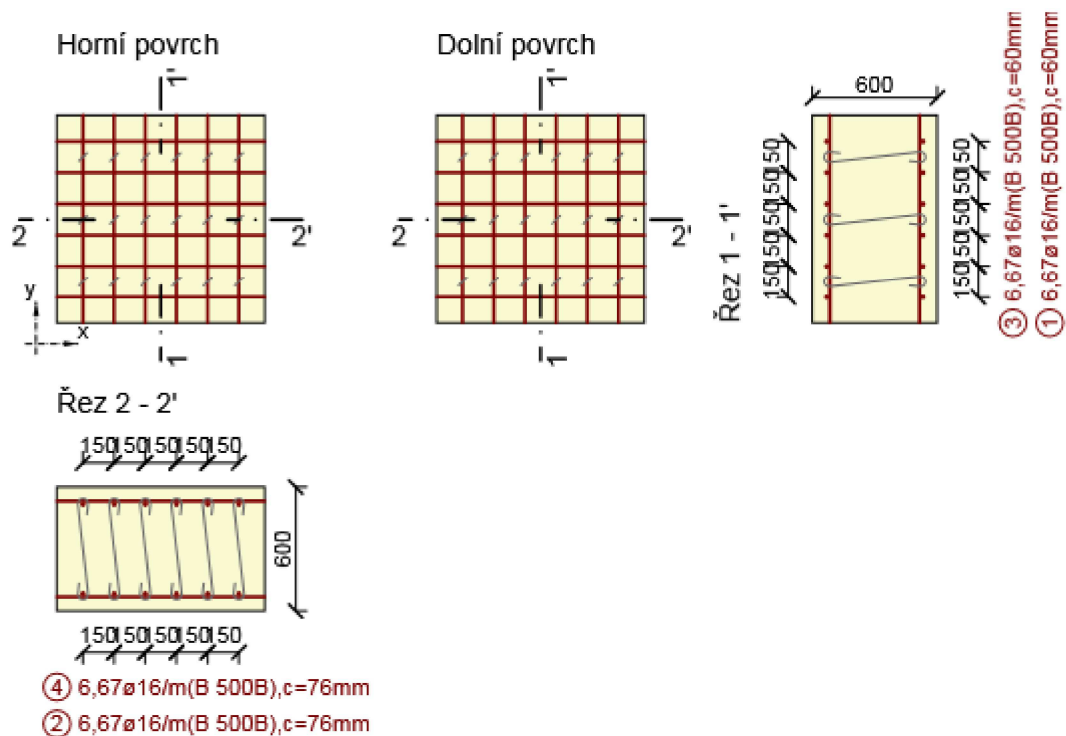
3.5 Řez OPĚRA PATA

3.5.1 Stručné shrnutí výsledků extrémů v řezu

Název extrému	Čas [d]	Využití [%]	Status posudku
MIN mx	28,0	30,9	✓
MAX mx	28,0	49,0	✓
MAX nx	28,0	22,1	✓
MAX vx	28,0	35,4	✓
MIN nx	28,0	12,5	✓

3.5.2 Kritický extrém MAX mx

Dimenzační dílec	OPĚRA PATA
Vyztužený průřez	OPĚRA PATA



3.5.2.1 Souhrn

Rozhodující typ posudku	N_{Ed} [kN]	$M_{Ed,y}$ [kNm]	$M_{Ed,z}$ [kNm]	V_{Ed} [kN]	T_{Ed} [kNm]	Hodnota [%]	Posudek
Interakce	-243,9	164,7	0,0	80,7	0,0	49,0	OK
Typ posudku	N_{Ed} [kN]	$M_{Ed,y}$ [kNm]	$M_{Ed,z}$ [kNm]	V_{Ed} [kN]	T_{Ed} [kNm]	Hodnota [%]	Posudek
Únosnost N-M-M	-243,9	164,7	0,0			35,3	OK
Smyk	-243,9			80,7	0,0	16,1	OK
Interakce	-243,9	164,7	0,0	80,7	0,0	49,0	OK
Omezení napětí	-219,6	124,3	0,0			13,0	OK
Šířka trhliny	-30,9	-6,3	0,0			0,0	OK

Mezní hodnota využití průřezu: 100,0 %

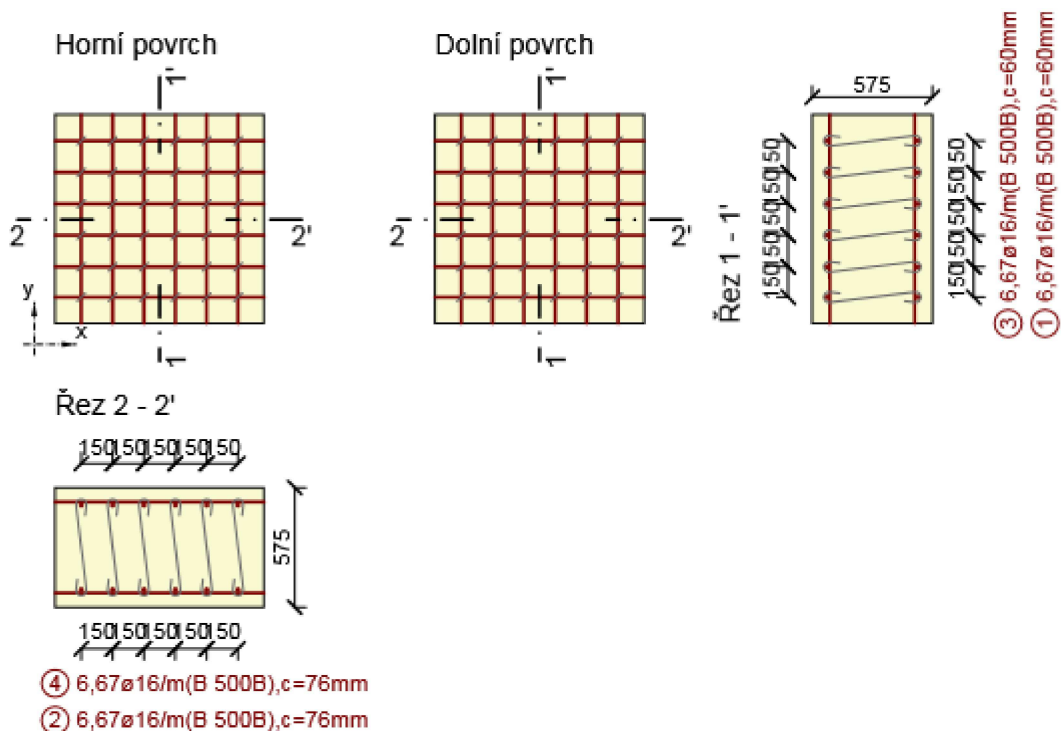
3.6 Řez POPRSNÍ ZÍDKA

3.6.1 Stručné shrnutí výsledků extrémů v řezu

Název extrému	Čas [d]	Využití [%]	Status posudku
MIN my	28,0	100,0	✓
MAX my	28,0	31,7	✓
MIN ny	28,0	100,0	✓
MAX ny	28,0	56,8	✓
MAX vy	28,0	70,3	✓

3.6.2 Kritický extrém MIN my

Dimenzační dílec	POPRSNÍ ZÍDKA
Vyztužený průřez	POPRSNÍ ZÍDKA



3.6.2.1 Souhrn

Rozhodující typ posudku	N_{Ed} [kN]	$M_{Ed,y}$ [kNm]	$M_{Ed,z}$ [kNm]	V_{Ed} [kN]	T_{Ed} [kNm]	Hodnota [%]	Posudek
Interakce	8,8	-121,0	0,0	571,0	0,0	100,0	OK
Typ posudku	N_{Ed} [kN]	$M_{Ed,y}$ [kNm]	$M_{Ed,z}$ [kNm]	V_{Ed} [kN]	T_{Ed} [kNm]	Hodnota [%]	Posudek
Únosnost N-M-M	8,8	-121,0	0,0			41,8	OK
Smyk	-1117,7			571,0	0,0	63,1	OK
Interakce	8,8	-121,0	0,0	571,0	0,0	100,0	OK
Omezení napětí	-906,1	-203,5	0,0			28,1	OK
Šířka trhliny	-138,4	-32,1	0,0			0,0	OK

Mezní hodnota využití průřezu: 100,0 %

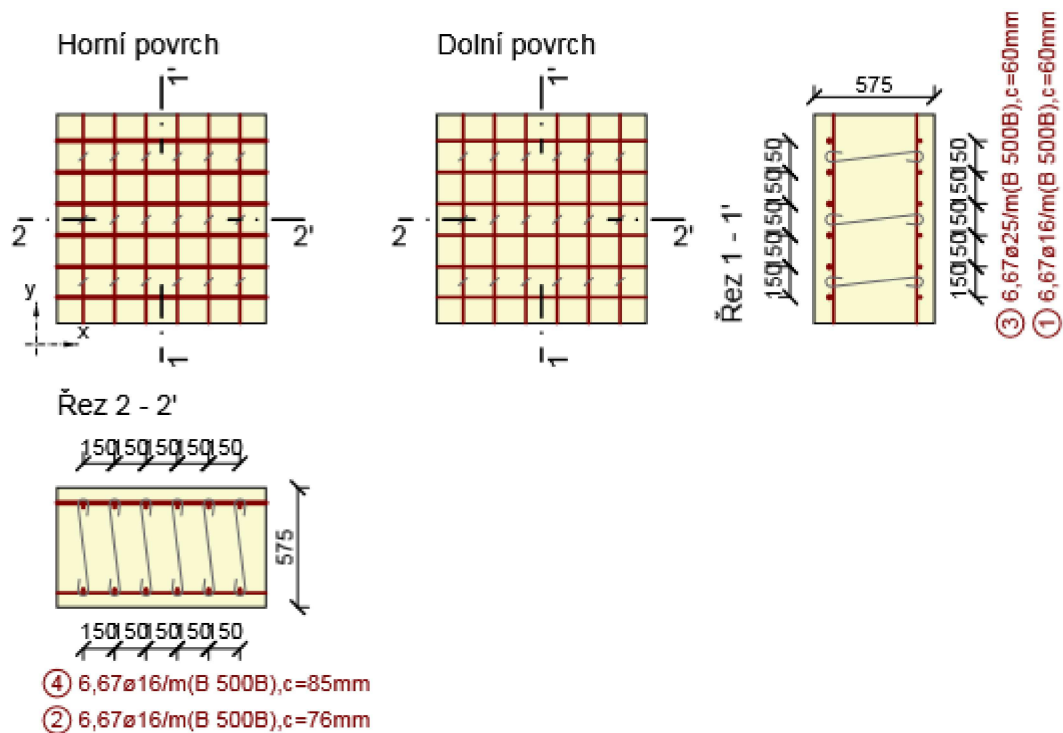
3.7 Řez KŘÍDLO

3.7.1 Stručné shrnutí výsledků extrémů v řezu

Název extrému	Čas [d]	Využití [%]	Status posudku
MIN mx	28,0	94,1	✓
MAX nx	28,0	100,0	✓
MAX vx	28,0	94,1	✓

3.7.2 Kritický extrém MAX nx

Dimenzační dílec	KŘÍDLO
Vyztužený průřez	KŘÍDLO



3.7.2.1 Souhrn

Rozhodující typ posudku	N_{Ed} [kN]	$M_{Ed,y}$ [kNm]	$M_{Ed,z}$ [kNm]	V_{Ed} [kN]	T_{Ed} [kNm]	Hodnota [%]	Posudek
Interakce	1257,0	-287,6	0,0	128,2	0,0	100,0	OK
Typ posudku	N_{Ed} [kN]	$M_{Ed,y}$ [kNm]	$M_{Ed,z}$ [kNm]	V_{Ed} [kN]	T_{Ed} [kNm]	Hodnota [%]	Posudek
Únosnost N-M-M	1257,0	-287,6	0,0			87,0	OK
Smyk	-1019,5			128,2	0,0	25,6	OK
Interakce	1257,0	-287,6	0,0	128,2	0,0	100,0	OK
Omezení napětí	679,3	-239,8	0,0			72,2	OK
Šířka trhliny	379,7	-82,3	0,0			0,0	OK

Mezní hodnota využití průřezu: 100,0 %

III/33312 ŘÍČANY, MOST EV.Č. 33312-3

SO 201 - MOST EV.Č. 33312-3 PŘES ŘÍČANSKÝ POTOK

STATICKÝ VÝPOČET

3.5 . SCHÉMA VYZTUŽENÍ

SCHÉMA VÝZTUŽE – PODÉLNÝ ŘEZ MOSTEM
M 1:50

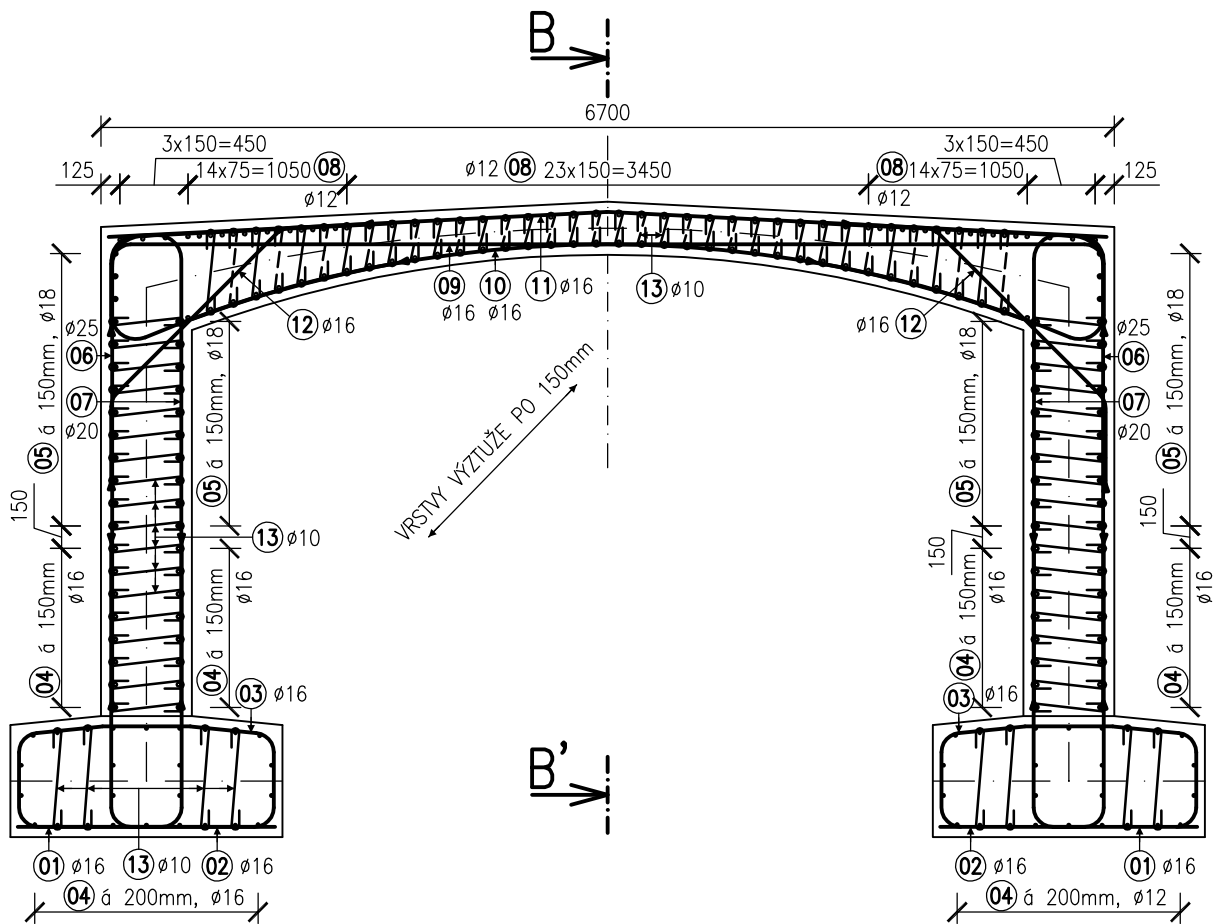
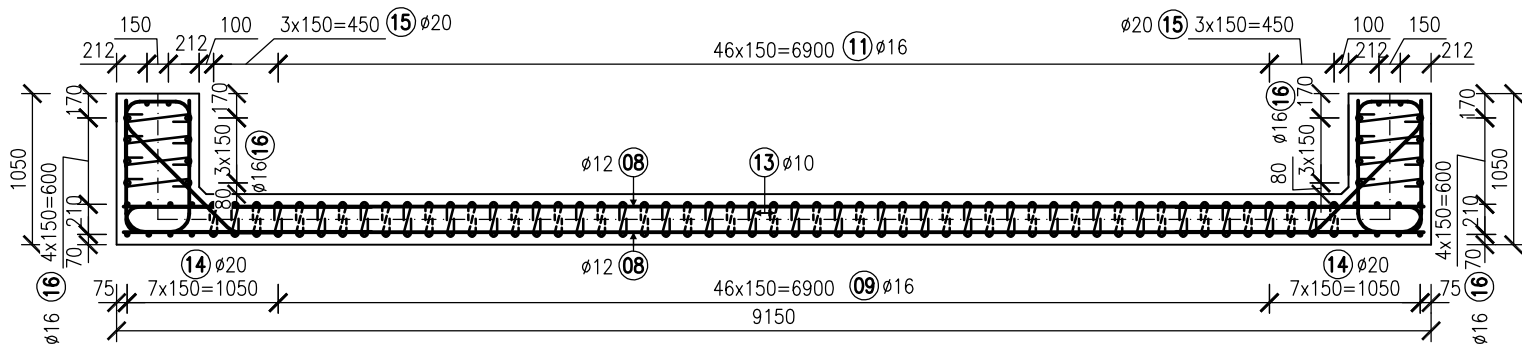


SCHÉMA VÝZTUŽE – PŘÍČNÝ ŘEZ MOSTEM
M 1:50



III/33312 ŘÍČANY, MOST EV.Č. 33312-3

SO 201 - MOST EV.Č. 33312-3 PŘES ŘÍČANSKÝ POTOK

STATICKÝ VÝPOČET

3.6 . POSOUZENÍ ZALOŽENÍ

Předložený statický výpočet obsahuje práce na hlubinném založení mostu ev. č. 33312-3 v Říčanech u Prahy. Založení mostu je navrženo z prostorových důvodů na trubkových injektovaných mikropilotách.

Při zpracování této dokumentace jsme vycházeli z následujících podkladů:

1. Stavební výkresy (pdf., dwg.) – půdorys, řezy – Ing. O. Kustýánová, IM-Projekt, inženýrské a mostní konstrukce, s.r.o., 05/2018.
2. Zatěžovací údaje na základovou spáru – Ing. O. Kustýánová, IM-Projekt, inženýrské a mostní konstrukce, s.r.o., 22.5. 2018.
3. Ř9čany u Prahy – most. Ev.č. 33312-2 – IG průzkum – HIG geologická služba s.r.o. 10/2017.

Výpočet zatížení do jednotlivých mikropilot byl zadán v podkladech od zpracovatele prováděcí dokumentace z výpočtového modelu mostu na jednu mikropilotu. Výpočet únosnosti kořene mikropilot byl proveden podle metodiky Lizziho (charakteristické zatížení) a návrh výztuže trubky mikropilot podle maximálních návrhových zatížení pomocí programu „OCEL“ (FINE).

Každá z krajních opěr mostu je založena na dvou řadách mikropilot, ukloněných od svislé o 10°.

Projekt je mimo jiné zpracován podle následujících norem:

- ČSN 73 1001 Základová půda pod plošnými základy.
- ČSN EN 1992-1-1(73 1201)-Eurokód 2: Navrhování betonových konstrukcí
- ČSN EN 1993-1-Eurokód 3: Navrhování ocelových konstrukcí
- ČSN EN 1997-1 -Eurokód 7: Navrhování geotechnických konstrukcí
- ČSN EN 14199- Provedení speciálních geotechnických prací- Mikropiloty.
- ČSN EN 206-1 Beton-Část 1: Specifikace, vlastnosti, výroba a shoda.
- ČSN EN 1991-1-1 Zatížení stavebních konstrukcí
- ČSN 73 0037 Zemní tlak na stavební konstrukce

Na základě provedeného ig. průzkumu lze stanovit následující předpokládané geologické profily v místě vrtání mikropilot. Uvedené údaje jsou od úrovně hlav mikropilot ... cca 324,9 m n. m.

Pro mikropiloty lze u obou opěr vycházet ze sondy J-1, resp. DP1.

0,0-4,2 jílovitý, F4, měkké konzistence

4,2-5,8 štěrky jílovitý, G5 s měkkou výplní

> 5,8 m břidlice (R6) rozložená na břidlicový štěrky, ulehlejší

Dle provedeného chemického rozboru podzemní vody, má tato slabě agresivní charakter - XA1 dle ČSN EN 206-1 (tab 2 –příloha č.6), síranová agresivita. Tomu musí odpovídat i složení zálivek a injektážních směsí.

Výpočet mikropilot

- max. charakteristické zatížení ... $N = 431,7 \text{ kN}$ (tlak)
.... $N = 12,0 \text{ kN}$ (tah)
- max. návrhové zatížení ... $N = 571,3 \text{ kN}$ (tlak)
.... $N = 38,3 \text{ kN}$ (tah)

Výpočet únosnosti injektovaného kořene... navržena mikropilota dl. 9,0/6,0 m.

$U_k = 0,18 \times 3,14 \times (1,2 \times 70 + 1,6 \times 90 + 3,2 \times 220) \times 0,9 = 474,1 \text{ kN} > 431,7 \text{ kN}$ (tlaková únosnost kořene vyhoví)

$U_k = 0,18 \times 3,14 \times (1,2 \times 70 + 1,6 \times 90 + 3,2 \times 220) \times 0,5 = 263,4 \text{ kN} > 431,7 \text{ kN}$ (tahová únosnost kořene vyhoví)

Fin10 - Ocel EC3 [ocel]

Parciální součinitele spolehlivosti:

Výpočet je proveden podle EC3 bez národního aplikačního dokumentu.

Hodnoty parciálních součinitelů pro ocelové konstrukce:

Průřezy třídy 1,2,3: $\gamma_{M0} = 1.100$

Průřezy třídy 4: $\gamma_{M1} = 1.100$

Oslabené průřezy: $\gamma_{M2} = 1.250$

89/16 S235

Vstupní hodnoty

Materiál: EN 10210-1 : S 235

Průřez: TK 89x16

Vnitřní síly:

Zatěžovací případ	N [kN]	Q3 [kN]	M2 [kNm]	Q2 [kN]	M3 [kNm]
Zat. případ řez 1	-571.300	0.000	0.000	0.000	0.000
Zat. případ 2	38.300	0.000	0.000	0.000	0.000

Vzpěr:

Počítá se bez vzpěru.

Délka úseku pro vzpěr $L_z = 2.500 \text{ m}$

Délka úseku pro vzpěr $L_y = 2.500 \text{ m}$

Délka úseku pro vzpěr $L_w = 2.500 \text{ m}$

Výsledky posouzení

Rozhodující zatěžovací případ: Zat. případ řez 1

Třída průřezu: 1

Vnitřní síly: $N = -571.300 \text{ kN}$; $M_y = 0.000 \text{ kNm}$; $M_z = 0.000 \text{ kNm}$

Posudek nejnepříznivější kombinace prostého tlaku a ohybu:

Únosnosti: $N_R = -783.913 \text{ kN}$

$| 0.729 + 0.000 + 0.000 | < 1$ **Vyhovuje**

Průřez vyhovuje

Využití průřezu: 72.9 %

89/10 S355

Vstupní hodnoty

Materiál: EN 10210-1 : S 355

Průřez: TK 89x10

Vnitřní síly:

Zatěžovací případ	N [kN]	Q3 [kN]	M2 [kNm]	Q2 [kN]	M3 [kNm]
Zat. případ řez 1	-571.300	0.000	0.000	0.000	0.000
Zat. případ 2	38.300	0.000	0.000	0.000	0.000

Vzpěr:

Počítá se bez vzpěru.

Délka úseku pro vzpěr $L_z = 2.500 \text{ m}$

Délka úseku pro vzpěr $L_y = 2.500 \text{ m}$

Délka úseku pro vzpěr $L_w = 2.500 \text{ m}$

Výsledky posouzení

Rozhodující zatěžovací případ: Zat. případ řez 1

Třída průřezu: 1

Vnitřní síly: $N = -571.300 \text{ kN}$; $M_y = 0.000 \text{ kNm}$; $M_z = 0.000 \text{ kNm}$

Posudek nejnepříznivější kombinace prostého tlaku a ohybu:

Únosnosti: $N_R = -800.963 \text{ kN}$

$| 0.713 + 0.000 + 0.000 | < 1$ **Vyhovuje**

Průřez vyhovuje

Využití průřezu: 71.3 %

Jako výztuž mikropilot jsou alternativně navrženy trubky:

- 89/10 mm, ocel S355
- 89/16 mm, ocel S235.

Navrženy mikropiloty: dl. 9,0 m s 6,0 m .

Předpoklady návrhu a podmínky provádění:

- Vrtly pro mikropiloty budou pažené ocelovými pažnicemi, min. průměr vrtů ... 160 mm.
- Pro zálivky a vysokotlaké injektáže kořenů mikropilot budou použita certifikovaná injektažní směs s odolností na agresivitu XA1 (ČSN EN 206-1, tab. 2). Minimální pevnost zálivky 25MPa, objemová hmotnost min. 1,9 g/cm³.
- Injektovaný kořen mikropilot bude vytvořen pomocí manžetových etází po 0,5 m nebo přiložených injektažních hadiček.

- Předpokládá se min. dvojnásobná vysokotlaká injektáž kořenů mikropilot. Při druhé injektáži musí být dosažen injektážní tlak min. 2,2 MPa.
- Spotřeby injektážní směsi se budou po délce kořenů měnit. V úsecích nesoudržnou geologií je možné očekávat spotřebu 25 + 10 l / etáž v úseku břidlic a 30+15l/etáž v úsecích písčitého jílu a jílovitého štěrku.
- Při vrtání mikropilot se musí sledovat geologický profil. V případě výrazných změn se musí návrh založení přehodnotit, což může mít za následek provádění úpravu dimenzí mikropilot.
- Minimální vzdálenost mezi mikropilotami je 0,8 m.
- Před osazením trubek (s distančními příložkami) do vrtů se musí vrt vyplnit v celé délce cementovou zálivkou.
- Mikropiloty musí mít konstrukci trubky vcelku nebo jejich části musí být spojené spojnicí s únosností větší než je zatížení trubky na tah!

5/2018

Vypracoval : Ing. Petr Lamparter

4 . KAPITOLA - ZÁVĚR

- Základy, opěry, křídla, poprsní zídky i nosná konstrukce budou zhotoveny z betonu C30/37 a betonářské výztuže B500B. Krytí výztuže opěr, křídel a nosné konstrukce včetně spon, bude 50mm.
- Opěry – pata - nosná výztuž v opěrách na líci - DN16mm po vzdálenosti 150mm a rozdělovací výztuž DN16mm po 150mm, na rubu nosná výztuž DN16mm po 150mm, rozdělovací výztuž DN16mm po vzdálenosti 150mm. Smykovou výztuž opěr budou tvořit spony DN10mm v rastru 150x300mm.
- Opěry – nosná výztuž v opěrách na líci - DN20mm po vzdálenosti 150mm a rozdělovací výztuž DN18mm po 150mm, na rubu nosná výztuž DN25mm po 150mm, rozdělovací výztuž DN18mm po vzdálenosti 150mm. Výztuž rámového rohu (opěra / mostovka) viz následující bod. Smykovou výztuž opěr budou tvořit spony DN10mm v rastru 150x150mm.
- Opěry / mostovka (rámový roh) - Nosná výztuž při horním povrchu - DN20mm po vzdálenosti 150mm. Nosná výztuž při spodním povrchu - DN20mm po vzdálenosti 150mm. Rozdělovací výztuž při horním povrchu - DN12mm po vzdálenosti 75mm, při dolním povrchu – DN12mm po vzdálenosti 150mm. Smykovou výztuž mostovky budou tvořit spony DN10mm v rastru 150x300mm + případně ohyby z podélné výztuže.
- Mostovka (střed) - Nosná výztuž při spodním povrchu - DN16 po vzdálenosti 150mm. Rozdělovací výztuž při spodním povrchu - DN12mm po vzdálenosti 150mm. Výztuž při horním povrchu - DN16 po vzdálenosti 150mm. Rozdělovací výztuž při horním povrchu DN12mm po vzdálenosti 150mm. Smykovou výztuž budou tvořit spony DN10mm v rastru 150x300mm.
- Poprsní zeď – Nosná výztuž na líci – DN16 po vzdálenosti 150mm. Nosná výztuž na rubu – DN16 po vzdálenosti 150mm. Rozdělovací výztuž při líci i rubu DN16 po 150mm. Smykovou výztuž budou tvořit spony DN10 v rastru 150x150mm.
- Zavěšená mostní křídla - Vodorovná nosná výztuž zavěšených křídel bude tvořena – po obvodu 4x DN22mm. Vodorovná výztuž na líci bude DN16mm po vzdálenosti 150mm. Vodorovná výztuž na rubu bude DN25mm po vzdálenosti 150mm. Svislá výztuž bude na obou stranách DN16mm po vzdálenosti 150mm. Smykovou výztuž zavěšených křídel budou tvořit spony DN10mm v rastru 150x300mm.
- Maximální svislé deformace na konstrukci, při uvažování průřezu porušeného trhlinami, budou mít hodnotu 25,1 mm.

V Brně, duben 2020

Vypracovala: Ing. Orsolya KUSTYÁNOVÁ

Kontroloval: Ing. Pavel KALÍŠEK